

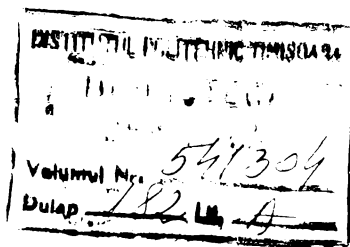
INSTITUTUL POLITEHNIC "TRAIAN VUIA" TIMISOARA  
FACULTATEA DE ELECTROTEHNICA

Ing. EMILIA BERINDE

" PROCESE TRANZITORII IN GENERATORUL DE INDUCTIE CU DOUA  
VITEZE DE ROTATIE INTR-O INSTALATIE AEROELECTRICA "

BIBLIOTECA CENTRALĂ  
UNIVERSITATEA "POLITEHNICA"  
TIMIȘOARA

- TEZA DE DOCTORAT -



Conducător științific,  
Prof.dr.ing. CONSTANTIN SORA



## INTRODUCERE

Ca urmare a sarcinilor complexe ale construcției socialiste, în țara noastră consumul de energie a crescut. Criza energetică declanșată în deceniul trecut nu a întrerupt ritmul industrializării socialiste în România, datorită politicii energetice a partidului nostru cu obiectivul conturat clar, de obținere a independenței energetice.

Rolul surselor noi și regenerabile de energie este deosebit la sfârșitul deceniului acestuia urmînd a avea în balanța energetică a țării o pondere de 12%.

Dintre sursele noi și regenerabile de energie, vîntul va putea avea o pondere importantă în producerea energiei electrice în țara noastră, ținînd pe de o parte de faptul că în conversia energiei traseul său este direct, respectiv de la axul turbinei eoliene se poate antrena generatorul electric, și, pe de altă parte, de faptul că, pe baza estimărilor generale potențialul tehnic și economic minim amenajabil al țării noastre are valoarea de 2-3,5 milioane tone combustibil convențional/an.

În Institutul Politehnic "Traian Vuia" din Timișoara există un colectiv interdisciplinar sub conducerea catedrei de Magini Hidraulice care este integrat în cercetări în domeniul utilizării energiei vîntului, în cadrul problemelor prioritare coordonate de Consiliul Național pentru Știință și Tehnologie. Dintre cercetările întreprinse în cadrul colectivului interdisciplinar de la Inst. Politehnic "Traian Vuia" din Timișoara, cele referitoare la studiul posibilităților de realizare în țara noastră a unei instalații aeroelectrice de 1000 kW, a condus și la realizarea prezentei lucrări.

Lucrarea, înscrisă în preocupările colectivului de Electrotehnică și Magini Electrice din cadrul Facultății de Electrotehnică Timișoara, studiază procesele tranzitorii dintr-o mașină electrică de inducție avînd două trepte ale vitezei de rotație, folosită ca generator electric într-o instalație eoliană, la trecerea de la o treaptă a vitezei de rotație a mașinii la cea de a doua, trecere necesară pentru creșterea randamentului instalației.

Lucrarea cuprinde 8 capitole. In capitolul 1 se prezintă principalele scheme de conversie a energiei vântului în energia electrică cunoscute și utilizate pe plan mondial

Capitolul 2 este consacrat funcționării unei instalații aeroelectrice utilizând ca generator electric o mașină de inducție cu rotor în colivie. Pornind de la caracteristicile mecanice ale turbinei eoliene se studiază problemele legate de alegerea și funcționarea generatorului electric.

În capitolul 3 se deduc ecuațiile mașinii de curent alternativ simetrice la repartiția sinusoidală a inducției magnetice în lungul pasului polar (teoria celor două axe) cu considerarea pierderilor în fier. Se prezintă ipotezele de calcul, relațiile de legătură între mărimile mașinii reale și cele ale mașinii echivalente, numite ecuații de transformare, se deduc ecuațiile care descriu comportarea mașinii echivalente. În finalul capitolului se prezintă ecuațiile mașinii electrice fără considerarea pierderilor în fier.

Capitolul 4 este consacrat metodelor de rezolvare a ecuațiilor mașinilor electrice de curent alternativ în teoria celor două axe cu și fără considerarea pierderilor în fier. Se prezintă rezolvarea acestor ecuații cu ajutorul calculului operațional, determinându-se parametrii operaționali ai mașinii în cazul considerării pierderilor în fier. De asemenea se prezintă metode numerice de rezolvare a ecuațiilor mașinilor electrice de curent alternativ și în principal metoda Runge-Kutta-Gill.

În capitolul 5, mașina de inducție cu rotor în colivie, având două trepte de viteză de rotație și înfășurări repartizate zonal, se echivalează cu o mașină de inducție trifazată în stator și în rotor, având înfășurări repartizate sinusoidal de-a lungul pasului polar. Se determină parametrii mașinii echivalente și ecuațiile care descriu comportarea mașinii.

În capitolul 6 se prezintă ipotezele, valorile inițiale și ecuațiile mașinii la deconectarea de la o treaptă a vitezei de rotație și reconectarea la a doua treaptă a vitezei de rotație, în cazul considerării pierderilor în fier, respectiv în cazul neglijării acestora.

Procese tranzitorii din mașina de inducție cu rotor în scurtcircuit, având două viteze de rotație, funcționând cu gene-



rator electric într-o instalație eoliană de 1000 kW, sînt prezentate în capitolul 7. Se prezintă influența valorilor inițiale, a momentului de inerție al sistemului turbină eoliană-multiplicator al vitezei de rotație, asupra solicitărilor electromagnetice și mecanice din mașină în timpul proceselor tranzitorii.

De asemenea, sînt prezentate rezultatele experimentale, obținute în laborator, în cazul unei mașini de inducție de 3,3/1 kW, funcționînd ca generator electric cu două trepte ale vitezei de rotație de 1500/1000 rpm.



## C U P R I N S

	Pag.:
INTRODUCERE . . . . .	.
Cap.1. CONVERSIA ENERGIEI EOLIENE ÎN ENERGIE ELECTRICĂ . .	.
1.1. Instalații de conversie a energiei eoliene în energie electrică . . . . .	.1
1.2. Scheme de conversie a energiei vântului în energie electrică . . . . .	.2
1.3. Energia obținabilă cu un sistem de conversie . . .4	.
Cap.2. MASINA DE INDUCȚIE CU ROTOR ÎN COLIVIE-GENERA- TOR ÎNTR-O ÎNSTALATIE AEROELECTRICĂ . . . . .	.
2.1. Puterea și cuplul obținabil cu o turbină eoliană . . . . .	.6
2.2. Alegerea generatorului electric . . . . .	.8
2.3. Caracteristicile generatorului electric . . . . .	.9
2.3.1. Caracteristicile de moment și de putere ale generatorului electric în regim permanent, fără considerarea efectului pelicular . . . . .	.10
2.3.2. Caracteristicile de moment și de putere ale generatorului electric, în regim permanent, cu considerarea efectului pelicular . . . . .	.11
2.4. Determinarea punctului de funcționare a gene- ratorului electric . . . . .	.13
2.5. Ecuația dinamică a instalației . . . . .	.14
Cap.3. ECUAȚIILE MAȘINILOR ELECTRICE DE CURENT ALTERNATIV . . . . .	.
3.1. Considerații generale . . . . .	.17
3.2. Ecuațiile mașinii electrice simetrice la repar- tiția sinusoidală a inducției magnetice în lungul pasului polar (teoria celor două axe)- cu considerarea pierderilor în fier . . . . .	.18
3.2.1. Ecuațiile de transformare a mărimilor statorice . . . . .	.24
3.2.1.1. Ecuațiile de transformare a curenților . . . . .	.24
3.2.1.2. Ecuațiile de transformare a tensiunilor . . . . .	.26
3.2.1.3. Ecuațiile de transformare a fluxurilor . . . . .	.28
3.2.2. Ecuațiile de transformare a mărimilor rotorice . . . . .	.30

3.2.3.	Ecuatiile tensiunilor . . . . .	32
3.2.4.	Relatiile dintre rezistente și inductivități. . . . .	34
3.2.4.1.	Relatiile dintre rezistențele celor două mașini. . . . .	34
3.2.4.2.	Relatiile dintre inductivitățile celor două mașini . . . . .	36
3.2.5.	Ecuatiile mașinii echivalente . . . . .	38
3.3.	Ecuatiile mașinii electrice simetrice la reparti- ția sinusoidală a inducției magnetice în lungul pasului polar (teoria celor două axe)-Cura con- sid. pierderilor în fier . . . . .	41
Cap.4.	REZOLVAREA ECUATIILOR MASINILOR DE CURENT ALTERN- NATIV DIN TEORIA CELOR DOUA AXE . . . . .	
4.1.	Considerații generale . . . . .	43
4.2.	Rezolvarea ecuațiilor mașinilor electrice de curent alternativ din teoria celor două axe, cu considerarea pierderilor în fier, aplicând calculul operațional . . . . .	43
4.2.1.	Exprimarea în operațional a ecuațiilor. . . . .	44
4.2.2.	Rezolvarea ecuațiilor transpuse în imagini. . . . .	45
4.2.3.	Rezolvarea ecuațiilor mașinilor de curent alternativ, din teoria celor două axe, fără considerarea pierderilor în fier, aplicând calculul operațional. . . . .	48
4.2.4.	Concluzii. . . . .	49
4.3.	Metode numerice pentru rezolvarea ecuațiilor mașinilor de curent alternativ . . . . .	50
4.3.1.	Considerații generale. . . . .	50
4.3.2.	Metode de tip Runge-Kutta. . . . .	51
4.3.3.	Rezolvarea ecuațiilor mașinilor de curent alter- nativ cu metoda Runge-Kutta-Gill . . . . .	53
Cap.5.	ECUATIILE SI PARAMETRII MASINII ELECTRICE DE INDUC- TIE AVIND DOUA VITEZE DE ROTATIE . . . . .	
5.1.	Echivalența mașinii electrice de inducție cu rotorul în scurtcircuit și înfășurări repartizate zonal cu mașină de inducție trifazată în stator și în rotor, cu înfășurări repartizate sinusoidal. . . . .	58
5.2.	Determinarea parametrilor înfășurărilor auxiliare. . . . .	61
5.3.	Ecuatiile și parametrii mașinii de inducție cu rotorul în scurtcircuit în teoria celor două axe . . . . .	68

5.3.1.	Parametrii maşinii echivalente. . . . .	68
5.3.2.	Ecuatiile de transformare a mărimilor statorice şi rotorice . . . . .	71
5.3.3.	Ecuatiile dintre tensiuni şi curenţi pentru maşina echivalentă. . . . .	74
Cap.6.	PROCESE TRANZITORII ÎN MASINA DE INDUCŢIE CU DOUA VITEZE DE ROTATIE LA TRECEREA DE LA O VITEZA DE ROTATIE LA ALTA. . . . .	
6.1.	Consideraţii generale. . . . .	76
6.2.	Ecuatiile maşinii de inducţie cu rotorul în scurtcircuit exprimate funcţie numai de flu- xurile magnetice, cu considerarea pierderilor în fier. . . . .	78
6.3.	Deconectarea maşinii funcţionând la o treaptă a vitezei de rotaţie . . . . .	84
6.3.1.	Ipozeze şi valori iniţiale . . . . .	84
6.3.2.	Ecuatiile maşinii la deconectare . . . . .	86
6.4.	Reconectarea maşinii electrice, funcţionând la a doua treaptă a vitezei de rotaţie. . . . .	88
6.4.1.	Ipozeze şi valori iniţiale. . . . .	88
6.4.2.	Ecuatiile maşinii la reconectare. . . . .	93
6.5.	Ecuatiile maşinii de inducţie cu rotorul în scurtcircuit exprimate funcţie numai de fluxu- rile magnetice fără considerarea pierderilor în fier. . . . .	96
Cap.7.	GENERATORUL ELECTRIC DE INDUCŢIE CU ROTOR ÎN SCURTCIRCUIT AVIND DOUA VITEZE DE ROTATIE ÎNTR-O INSTALATIE AEROELECTRICA DE 1000 kW. . . . .	
7.1.	Parametrii electrice ai generatorului de inducţie . . . . .	100
7.2.	Trecerea de la viteza de rotaţie $n_I$ la viteza de rotaţie $n_{II}$ . . . . .	104
7.2.1.	Fenomene tranzitorii la deconectare-cu considerarea pierderilor în fier . . . . .	104
7.2.2.	Fenomene tranzitorii la deconectare-fără considerarea pierderilor în fier - . . . . .	114
7.2.3.	Fenomene tranzitorii la reconectare-cu con- siderarea pierderilor în fier. . . . .	116
7.2.3.1.	Fenomene tranzitorii în cazul reconectării la viteza de rotaţie mare. . . . .	123

7.2.3.2. Fenomene tranzitorii în cazul reconectării la viteza de rotație mică. . . . .	138
7.3. Încercări experimentale. . . . .	152
Cap.8. CONCLUZII FINALE. . . . .	159
BIBLIOGRAFIE . . . . .	161
ANEXE:	
1. ANEXA 4.1. Calculul expresiilor impedanțelor operaționale. . . . .	169
2. ANEXA 4.2. Calculul expresiilor coeficienților A, B și Q. . . . .	177
3. ANEXA 6.1. Algoritmul metodei Runge-Kutta-Gill la deconectare. . . . .	185
4. ANEXA 6.2. Algoritmul metodei Runge-Kutta-Gill la reconectare. . . . .	189
5. ANEXA 7.1. Notății utilizate în programele de calcul. . . . .	195

## 1. CONVERSIJA ENERGIEI EOLIENE IN ENERGIE ELECTRICA

### 1.1. Instalație de conversie a energiei eoliene în energie electrică

O sursă de energie care a fost folosită încă din antichitate și a cărei utilizare s-a perpetuat intens pînă în secolul trecut, este energia vîntului.

Vîntul este o sursă curată și reînnoibilă de energie și, constituie o sursă bogată și practic nefolosită de energie. Energia eoliană este o "energie de calitate" [37], deoarece se poate transforma relativ simplu în energie electrică. De asemenea, ea este practic inepuizabilă, nepoluantă, disponibilă practic pretutindeni, gratuită - deoarece nu cere o extracție primară - ,dar prezintă dezavantaje prin faptul că are un caracter neregulat în timp și spațiu, fiind diluată - adică avînd o concentrație mică pe unitatea de suprafață - ceea ce conduce ca la utilizarea unor instalații eoliene de putere mare să fie utilizate rotoare de dimensiuni mari.

Orice instalație eoliană dezvoltată constă din trei părți distincte (fig.1.1) și anume: sistemul aerodinamic - turbina eoliană T, transmisia mecanică - multiplicatorul vitezei de rotație, M și echipamentul de conversie - generatorul electric G.

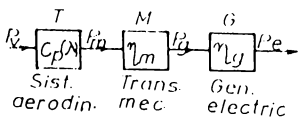


Fig.1.1

Puterea disponibilă a vîntului,  $P_v$ , care variază cu cubul vitezei acestuia, este convertită în putere mecanică prin intermediul sistemului aerodinamic, fiind afectată de coeficientul de putere  $C_p$ . Coeficientul de putere este o funcție de viteza specifică  $\lambda$  - adică de raportul dintre viteza de rotație a turbinei și viteza vîntului.

Puterea la intrarea în transmisie este  $P_w = C_p(\lambda) \cdot P_v$ . Presupunind că randamentul acestuia  $\eta_m$  este constant în întregul domeniu de lucru, puterea la axul generatorului electric este  $P_g = \eta_m P_w = \eta_m C_p(\lambda) P_v$ .

Sistemele de conversie a energiei eoliene pot lucra la viteza de rotație a turbinei constantă sau variabilă.

În sistemele cu turație variabilă, viteza de rotație a turbinei eoliene, respectiv a generatorului electric, variază în funcție de viteza vântului, în timp ce frecvența curentului generat se menține constantă, iar în cele cu turație constantă, viteza de rotație a turbinei eoliene este menținută constantă într-un domeniu larg de variație a vitezei vântului.

### 1.2. Scheme de conversie a energiei vântului în energie electrică

Există o multitudinea de posibilități de alegere a unei scheme de conversie, avînd la bază diferite criterii. Se cunosc scheme de:

a) conversie în curent continuu, cu stocare pe baterii de acumuloare, pentru turbine de putere mică. Generatorul electric poate fi de c.c. sau un generator sincron cuplat cu un invertor (fig.1.2);

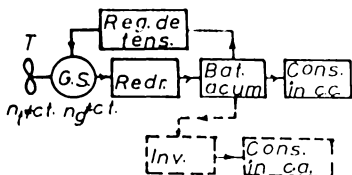


Fig.1.2

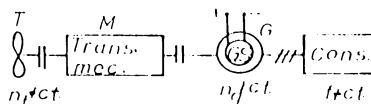


Fig.1.3

b) conversie în curent alternativ de frecvență variabilă în limite restrinse cu generator sincron, care debitează pe o rețea proprie (fig.1.3);

c) conversie în curent alternativ de frecvență constantă, cu generator sincron, care debitează pe o rețea de putere infinită. Schema bloc este aceeași cu cea din fig.1.3, dar mărimile  $n_t$  (viteza de rotație a turbinei),  $n_g$  (viteza de rotație a generatorului) și  $f$  (frecvența curentului debitat) sînt constante. Dezavantajele sistemelor de conversie echipate cu generatoare sincrone sînt: necesitatea mecanismului de reglare a paletelor turbinei, variația puterii de ieșire în funcție de fluctuațiile vitezei vântului, riscul ieșirii din sincronism.

d) conversie în curent alternativ de frecvență constantă,



cu generator asincron cu rotor în scurtcircuit, care debitează pe o rețea de putere infinită (fig.1.4). În întreg domeniul de

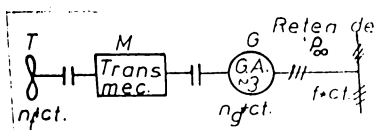


Fig.1.4

indeplinirea unor condiții speciale când lucrează în paralel, cu alte generatoare electrice. Suportă de asemenea supraîncărcarea și deci se comportă avantajos la fluctuații ale vitezei vântului (rafale).

variație a turației, frecvența este menținută constantă de către rețea. Generatorul asincron cu rotorul în scurtcircuit este un tip de generator ieftin, simplu, robust și nu necesită

e) conversie în curent alternativ de frecvență constantă cu generator asincron cu inele de contact în circuitul rotoric, care debitează pe o rețea de putere infinită (fig.1.5,a,1.5,b).

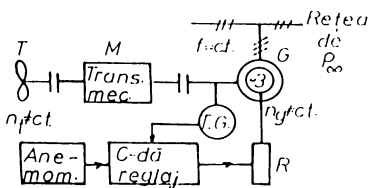


Fig.1.5,a

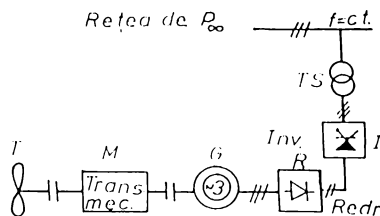


Fig.1.5,b

Sistemul permite - cu ajutorul unei scheme de comandă și reglare corespunzătoare - ca turbina să lucreze pe caracteristica pe care coeficientul de putere este maxim, iar generatorul, pe caracteristica corespunzătoare puterii maxime debitate în rețea și a pierderilor minime în rețea.

Dezavantajul sistemului constă în faptul că o bună parte a energiei produse este disipată pe rezistența rotorică, costul ridicat și fiabilitatea scăzută a sistemului de comandă și reglaj.

f) conversie în curent alternativ de frecvență constantă, cu generator de curent continuu și invertor cu tiristoare, care debitează pe o rețea de putere infinită (fig.1.6).

Schema lucrează la turație variabilă și frecvență constantă

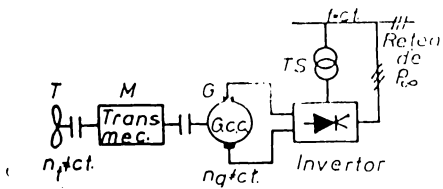


Fig.1.6

sincronizarea făcându-se prin intermediul transferatorului TS. De asemenea prezintă avantajul transmiterii fără dificultate a puterii la rafale de vânt, dar și un cost ridicat, respectiv o fiabilitate mai scăzută în func-

ționare.

g) conversie în curent alternativ de frecvență constantă, utilizând dubla conversie: curent alternativ - curent continuu - curent alternativ (fig.1.7). În această schemă, generatorul de curent continuu a fost înlocuit cu un generator sincron și redresor, ceea ce conduce la creșterea costului instalației și scăderea fiabilității în funcționare.

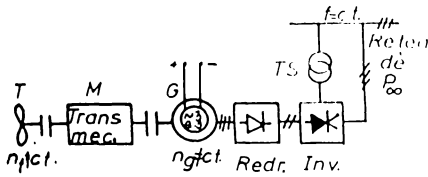


Fig.1.7

f) conversie în curent alternativ de frecvență constantă, utilizând un generator cu cîmp modulat [37]. Această schemă de conversie este mult mai pețisitoare decît schemele clasice, dar reduce problemele de stabilitate ale sistemului.

Există deci o multitudine de posibilități de a converti energia vîntului în energie electrică, dar întotdeauna trebuie să se aleagă schema cea mai avantajoasă din punct de vedere economic, al energiei produse și - nu în ultimul rînd - al robusteții și fiabilității sistemului.

În ultimul deceniu au început să fie folosite tot mai mult în instalațiile eoliene de mare, dar și de mică putere, generatoarele asincrone cu reter în scurtcircuit [37], [48], [53]

### 1.3. Energia obținabilă cu un sistem de conversie

Ceea ce este caracteristic sistemelor de conversie a energiei eoliene nu este puterea generată - care este variabilă în funcție de viteza vîntului - ci energia produsă în decursul unui an.

Există diferiți factori de eficiență - coeficient de putere  $C_p(\lambda)$ , randamentul generatorului  $\eta_g(P_n)$  - care influențează puterea generată, fiind funcții neliniare de viteza vântului și sarcină.

Energia generată în decursul unui an este o funcție complexă de forma:

$$W_e = \int P_v(t) \cdot C_p(\lambda) \cdot \eta_m \cdot \eta_g(P_n) \cdot dt$$

Ea poate fi totuși estimată, utilizând caracteristica putere-durată, similară graficelor de sarcină utilizate în analiza sistemelor energetice [37], cunoscând curba viteză vânt - frecvență a acesteia pentru amplasamentul turbinei.

Efectuând calcule estimative, pentru un spectru de viteze ale vântului dat la un amplasament posibil, a rezultat că pentru o instalație aeroelectrică avînd puterea de 1 MW, funcționînd cu un generator electric de inducție de 1000/500 kW avînd două viteze de rotație - respectiv 1000/750 rotații pe minut - se poate obține anual o energie electrică de aproximativ 3,5 GWh [80].

## 2. MASINA DE INDUCTIE CU ROTOR IN COLIVIE-GENERATOR INTR-O INSTALATIE AEROLECTRICA

Asamblarea mașinii primare - turbina eoliană - cu mașina electrică necesită cunoașterea caracteristicilor mecanice ale celor două părți componente.

### 2.1. Puterea și cuplul obținabil cu o turbină eoliană

Puterea mecanică furnizată de către turbina eoliană la arborele instalației depinde de diametrul turbinei  $D$ , aria baleiată de paletetele turbinei  $S$ , raportul  $\lambda$  dintre viteza periferică a turbinei  $u_M$  și viteza vântului  $v$ , densitatea aerului  $\rho_0$ , precum și de cubul vitezei vântului, expresia ei fiind dată de rel. (2.1):

$$P_{at} = \lambda \cdot C_M \cdot v^3 \cdot \frac{\rho_0}{2} \cdot S \cdot 10^{-3} \quad \text{kW} \quad (2.1)$$

în care:

$$\lambda = \frac{u_M}{v} = \frac{\pi D \cdot n_t}{60 \cdot v} \quad (2.2)$$

iar  $C_M$ , coeficientul de moment este o funcție de variabila  $\lambda$ . Caracteristica coeficientului de moment  $C_M$ , ca funcție de variabila  $\lambda$ , respectiv de viteza de rotație a turbinei  $n_t$  și viteza vântului  $v$ , este dată analitic prin relațiile (2.3):

$$\begin{aligned} C_M &= M_0 + A \cdot \lambda + B \cdot \lambda^3 - C \cdot \lambda^5 && \text{pentru } \lambda \in [0, \lambda_{\max 1}] \\ C_M &= A_1 - B_1 \cdot \lambda + C_1 \cdot \lambda^{-1} && \text{pentru } \lambda \in [\lambda_{\max 1}, \lambda_{\max 2}] \end{aligned} \quad (2.3)$$

$M_0, A, B, C, A_1, B_1, C_1, \lambda_{\max 1}, \lambda_{\max 2}$  sînt constante ce depind de tipul constructiv al turbinei și care sînt cunoscute.

Momentul (cuplul) dat de turbină la arborele său,  $M_{ta}$ , este dat de relația (2.4):

$$M_{ta} = C_M \cdot \frac{\rho_0}{2} \cdot S \cdot R \cdot v^2 \cdot 10^{-3} \quad \text{kN.m} \quad (2.4)$$

Momentul dat de turbină la arborele generatorului electric  $M_t$ , considerat ca moment mecanic, trebuie redus prin intermediul raportului de multiplicare  $k_T$  al multiplicatorului de viteză (rel.2.5):

$$M_t = M_{ta} / k_T \quad (2.5)$$

De asemenea, puterea mecanică obținabilă la arborele generatorului electric  $P_t$ , este diferită de cea obținută la arborele turbinei datorită prezenței multiplicatorului vitezei de rotație și, deci, la calcularea ei se va ține seama de randamentul multiplicatorului  $\eta_m$  (rel.2.6):

$$P_t = \int_m P_{dt} \quad (2.6)$$

Multiplicatorul de viteză de rotație contribuie cu un moment rezistent  $M_{rt}$  care depinde de puterea transmisă generatorului electric  $P_g$ . Deoarece generatorul de inducție funcționează la alunecare mică (sub 1%) se poate considera că momentul rezistent datorită prezenței multiplicatorului este:

$$M_{rt} = - \frac{(1 - \eta_m) \cdot P_n}{2 \pi n_1}$$

$n_1$  reprezentînd viteza de rotație a cîmpului învîrtitor din generator, iar  $P_n$  puterea nominală a acestuia.

Deci, momentul rezultat produs de ansamblul turbină eoliană-multiplicator, la arborele generatorului electric este  $M_t$ :

$$M_t = \frac{M_{ta}}{k_T} + M_{rt} \quad (2.8)$$

Momentul obținabil la arborele generatorului electric  $M_t$  și puterea mecanică transmisă acestuia  $P_t$ , sînt funcții de două variabile: viteza vîntului (mărime aleatoare) și viteza de rotație a paletelor turbinei (mărime ce depinde de viteza vîntului).

Deoarece interesează modul în care aceste mărimi sînt dependente de viteza de rotație, se consideră viteza vîntului  $v$  ca parametru, deci se studiază comportarea sistemului la viteze ale vîntului constante.

In cazul unei turbine eoliene avînd razele paletelor de

25 m, caracteristicile mecanice  $M_t=f(n)$  și respectiv caracteristica putere-viteză de rotație, avînd ca parametru viteza vîntului  $v$  sînt date în fig.2.1 respectiv fig.2.2.

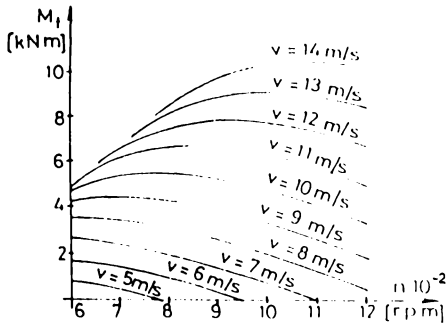


Fig.2.1

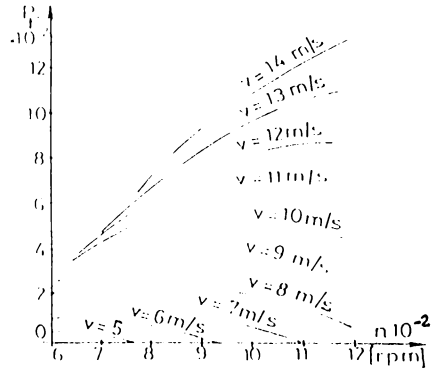


Fig.2.2

### 2.2. Alegerea generatorului electric

Puterea maximă obținabilă la arborele generatorului  $P_{tmax}$ , variază după o curbă apropiată de o cubică (fig.2.3) și deci, pentru a utiliza cât mai complet energia vîntului ar trebui ca generatorului de inducție să i se poată regla viteza de rotație în limite largi.

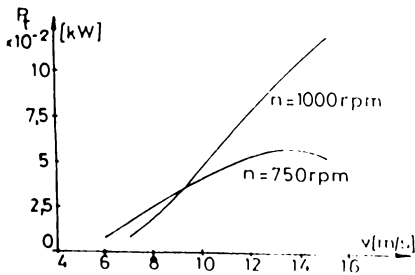


Fig.2.3

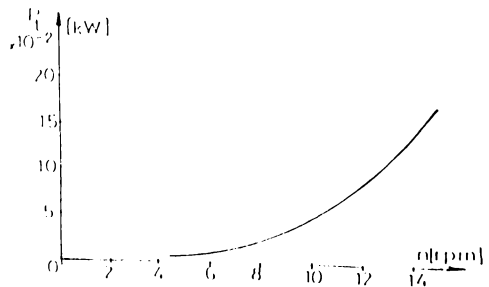


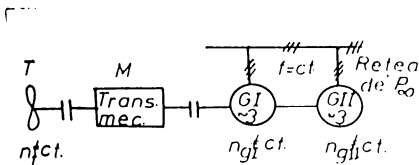
Fig.2.4

Deoarece puterea sistemului este limitată la o anumită va-

leare  $P_N$ , care în cazul luat în considerare este de 1000 kW, ar rezulta necesitatea reglării vitezei de rotație a generatorului între 500 și 1250 rpm. Această reglare nu se poate realiza la un generator de inducție cu rotorul în scurtcircuit.

Studiind comportarea sistemului funcție de viteza vântului, la viteze de rotație constante (fig.2.4), rezultă că o exploatare mai completă a instalației aereoelectrice necesită fie utilizarea a două generatoare de inducție, de putere nominale și viteze de rotație diferite, fie a unui singur generator de inducție, având două viteze de rotație diferite..

Utilizarea a două generatoare de inducție cuplate pe aceeași axă (fig.2.5) unul având viteza de rotație  $n_{II}$  și puterea nominală  $P_{nII}$ , celălalt



$n_{III}$ ,  $P_{nIII}$ , impune funcționarea cu primul generator electric  $G_I$  pînă la o anumită viteză a vântului  $v_c$  (numită viteză critică), după care se recomandă cuplarea celui

Fig.2.5

de al doilea generator  $G_{II}$ .

Utilizarea a două generatoare pe o axă prezintă o serie de inconveniente atât din punct de vedere al investiției, cât și din punct de vedere al randamentului și deci, al energiei obținute.

Folosirea unui singur generator asincron, cu poli comutabili, în care se pot obține mai multe viteze de rotație, corespunzătoare numărului perechilor de poli, prezintă avantaje economice și de fiabilitate, față de cazul a două generatoare asincrone, având viteze de rotație și putere nominală diferite.

În cazul considerat, s-a ales ca generator electric o mașină de inducție având puterea nominală de 1000 kW pentru viteza de rotație 1000 rpm, respectiv de 500 kW pentru viteza de rotație de 750 rpm, mașină produsă de Electroputere Craiova.

### 2.3. Caracteristicile generatorului electric

Momentul electromagnetic și puterea electromagnetică ale mașinii depind de parametrii electrici ai acestuia, precum și de viteza de rotație transmisă mașinii. Parametrii electrici influențează în mod considerabil caracteristicile de funcționare ale

mașinii electrice, ei depinzînd de fenomenele ce au loc în mașină. Unul dintre aceste fenomene, care apare și în regim permanent, atunci cînd mașina funcționează la alunecări relativ mari, este efectul pelicular.

Mașina de inducție considerată, are înfășurările formate din bare în formă de "T invers", plasate în creștături dreptunghiulare și prezintă un efect pelicular destul de pronunțat la alunecări mai mari decît alunecarea critică, ceea ce influențează caracteristicile de moment și de putere ale generatorului, chiar și în cazul regimului permanent . . .

2.3.1. Caracteristicile de moment și de putere ale generatorului electric în regim permanent fără considerarea efectului pelicular

În cazul regimului permanent, fără considerarea efectului pelicular, momentul electromagnetic este dat de relația (2.9)

$$M_g = \frac{3pU_1^2}{2\pi f} \cdot \frac{\frac{R_2^*}{s}}{(R_1 + C_1 \frac{R_2^*}{s})^2 + (X_1 + C_1 X_2^*)^2} \quad (2.9)$$

în care:

- p - numărul perechilor de poli ai mașinii;
- $U_1$  - tensiunea de fază nominală ;
- f - frecvența ;
- $R_1, X_1$  - rezistența, respectiv reactanța unei faze statorice a mașinii ;
- $R_2^*, X_2^*$  - rezistența, respectiv reactanța unei faze rotorice a mașinii, raportate la stator;
- s - alunecarea ;
- $C_1$  - modulul constantei complexe a mașinii  $C_1 = 1 + \frac{Z_1}{Z_{1m}}$

Puterea stereomecanică transmisă mașinii va fi :

$$P_g = \frac{\omega_1}{p} (1+s) \cdot M \quad \text{în care } \omega_1 = 2\pi f \quad (2.10)$$

Caracteristicile mecanice  $M=f(n)$  și  $P=f(n)$  au fost calcu-



late pentru ambele viteze de rotație.

2.3.2. Caracteristicile de moment și de putere ale generatorului electric, în regim permanent, cu considerarea efectului pelicular

Mașinile de inducție cu rotorul în scurtcircuit se construiesc pentru puteri mari - cu colivii avînd bare înalte, adică raportul dintre înălțimea și lățimea bazei creștăturii mai mare decît 4 [15], [28], [63], obținîndu-se astfel rezultate mai bune în ceea ce privește pornirea și funcționarea lor.

La mașinile de inducție cu rotor în scurtcircuit cu bare înalte, se manifestă un efect pelicular pronunțat, datorită căruia - la frecvențe mari ale curentului din bară - repartiția densității de curent pe înălțimea barei nu mai este uniformă, ceea ce conduce la modificarea parametrilor înfășurării rotorului față de valoarea lor din timpul funcționării mașinii în regim nominal, cînd frecvența din rotor este mică. Astfel rezistența fazei rotorice crește, iar reactanța de dispersie a aceluiași faze, scade.

Pentru a determina factorii de creștere a rezistenței rotorice  $k_R$ , respectiv micșorare a reactanței  $k_X$  s-a calculat - pentru cazul considerat - factorii de refulare  $\xi_R$  și  $\xi_X$  (rel.2.11) [24],

$$\xi_R = a |s|^b ; \quad \xi_X = c |s|^d \quad (2.11)$$

în care a, b, c, d sînt constante ce depind de tipul și dimensiunile geometrice ale creștăturii rotorice, iar s este alunecarea la care funcționează mașina.

Cu ajutorul factorilor de refulare  $\xi_R$  și  $\xi_X$  se calculează funcțiile  $k_R$  și  $k_X$  (rel.2.12) [63] de mărire, respectiv micșorarea rezistenței, respectiv reactanței rotorice:

$$k_R = \xi_R \cdot \frac{\operatorname{sh} 2 \xi_R + \sin 2 \xi_R}{\operatorname{ch} 2 \xi_R - \cos 2 \xi_R} \quad (2.12)$$

$$k_X = \frac{3}{2 \xi_X} \cdot \frac{\operatorname{sh} 2 \xi_X - \sin 2 \xi_X}{\operatorname{ch} 2 \xi_X - \cos 2 \xi_X}$$

Rezistența, respectiv reactanța de dispersie ale fazei rotorice, reduse la stator, devin:

$$R_2 = k_R \cdot R_2^0 ; X_2 = k_X \cdot X_2^0 \quad (2.13)$$

relații în care parametrii  $R_2^0$  și  $X_2^0$  sînt cei care caracterizează funcționarea neafectată de efectul pelicular.

Introducînd parametrii dați de rel.(2.13) în expresia momentului electromagnetic (2.9), respectiv a puterii stereomecanice a generatorului se pot determina caracteristicile de moment  $M=f(n)$  sau  $M=f(s)$  și respectiv de putere  $P=f(n)$  sau  $P=f(s)$ .

În fig.2.6 și 2.7 sînt reprezentate caracteristicile de moment, respectiv de putere pentru cazul cînd mașina funcționează cu un număr de perechi de poli, iar în fig.2.8 și 2.9 sînt reprezentate aceleași caracteristici, pentru celălalt număr de perechi de poli.

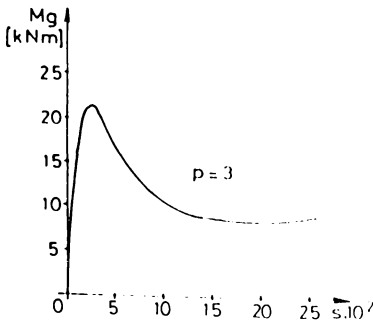


Fig.2.6

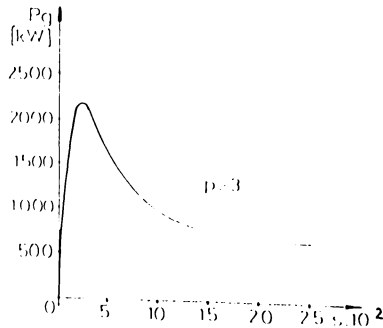


Fig.2.7

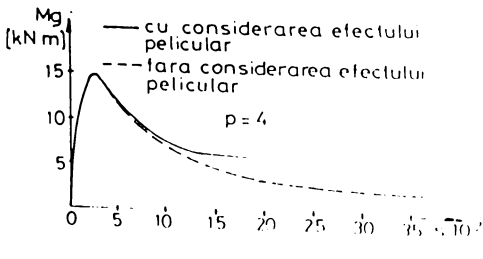


Fig.2.8

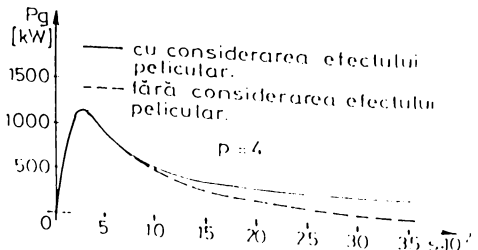


Fig.2.9

Din studiul caracteristicilor de moment și de putere rezultă că efectul pelicular influențează puternic valorile coreșpunzătoare unor alunecări mai mari decât alunecarea critică, deci porțiunea de funcționare instabilă a mașinii.

#### 2.4. Determinarea punctului de funcționare a generatorului electric

Punctul de funcționare a generatorului se obține din egalitatea momentelor (rel.2.14), respectiv a puterilor (rel.2.15) la arborele generatorului:

$$\Sigma M = M_t + M_g + M_{rg} = 0 \quad (2.14)$$

$$\Sigma P = P_t + P_g = 0 \quad (2.15)$$

în care  $M_t$ ,  $M_g$ ,  $P_t$  și  $P_g$  sînt date de relațiile (2.8), (2.9), (2.6) și (2.10), iar momentul rezistent al generatorului fiind dat de:

$$M_{rg} = - \frac{P_{mec}}{2\bar{u}(f/p)} \quad (2.16)$$

Relațiile (2.14) și (2.15) furnizează ecuații de grad superior în  $n$  - viteza de rotație a generatorului electric - și  $v$  - viteza vîntului, a căror rezolvare s-a făcut numeric, cu metoda Newton - , considerînd viteza vîntului ca parametru. Pentru a reduce timpul de calcul, s-a considerat - pentru început - intervalul vitezelor de rotație coreșpunzătoare pornirii și valorii critice a alunecării, apoi s-a redus acest interval.

Valorile vitezelor de rotație coreșpunzătoare punctelor de funcționare la diferite viteze ale vîntului, rezultate din calcul (tabelul nr.1), corespund cu cele rezultate grafic, din intersecția curbelor de moment, respectiv putere ale generatorului electric și ale turbinei (fig.2.10, 2.11).

În tabelul nr.1 s-a notat cu  $n_I$  viteza de rotație a generatorului electric coreșpunzătoare funcționării cu prima treaptă a vitezei de rotație și cu  $n_{II}$ , punctul de funcționare cu treapta a doua a acestuia.

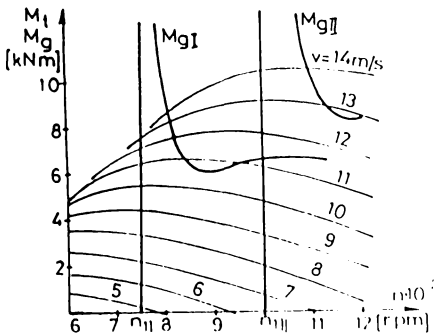


Fig. 2.10

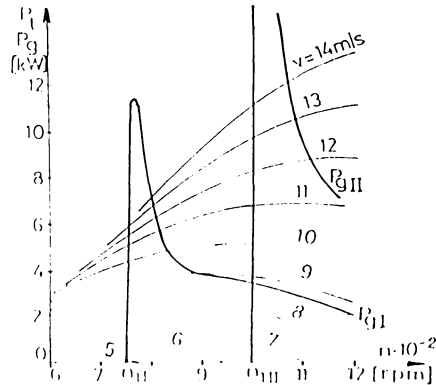


Fig. 2.11

Tabelul nr. 1

v m/s	6	7	8	8,5	9	10	11	12	13
$n_I$ (rpm)	750,75	751,45	752,3	752,8	753,04	753,82	754,5	755,05	755,35
$n_{II}$ (rpm)	-	1000,35	1000,99	1001,38	1001,88	1002,75	1003,5	1004,38	1005,25

Prin urmare, pentru viteze ale vîntului cuprinse între 6 și 13 m/sec, mașina funcționează cu o alunecare între 0,1-0,4% la funcționarea cu prima treaptă a vitezei de rotație, pînă la viteza vîntului de 9 m/s, respectiv între 0,27-0,52% la funcționarea cu treapta a doua a vitezei de rotație, pentru viteze ale vîntului mai mari de 9 m/sec.

### 2.5. Ecuația dinamicii instalației

Parametrii nominali ai oricărei mașini fie ea eoliană, fie electrică, nu caracterizează complet comportarea acesteia. Este deci, necesar să se facă o analiză de comportare a ansamblului turbină eoliană-generator electric, atât în regim normal de funcționare, cît și în cazul pornirii instalației, oprii ei, dar mai ales, trebuie studiată comportarea ansamblului turbină eoliană- mașină electrică la trecerea de la o viteză de rotație la

cealaltă, trecere care depinde de parametrul aleator care este viteza vântului.

Ecuatia dinamicii instalației este:

$$\frac{d(J \cdot \omega_m)}{dt} = M_t - M_r \quad (2.17)$$

relație în care  $J$  este momentul de inerție rezultat, al tuturor părților aflate în mișcare,  $\omega_m$  - viteza unghiulară mecanică a instalației,  $M_t$  - momentul activ, produs de turbină la arborele său,  $M_r$  reprezintă suma tuturor momentelor rezistente, deci inclusiv al generatorului electric. Trebuie precizat încă de la început că prezența transmisiei mecanice - respectiv a multiplicatorului vitezei de rotație a turbinei - conduce la necesitatea ca să se scrie ecuația mișcării cu toate mărimile reduse la arborele generatorului electric, pentru a putea studia dinamica mașinii electrice în funcție de viteza vântului  $v$  și viteza de rotație a turbinei  $n_t$ .

Astfel, momentul de inerție al ansamblului turbină eoliană-multiplicator de viteză de rotație  $J_{t1}$  este redus la arborele generatorului electric cu pătratul raportului de multiplicare al multiplicatorului  $k_{\mu}$ , deci:

$$J_t = J_{t1} / k_{\mu}^2 \quad (2.17, a)$$

- momentul produs de turbina eoliană este redus la arborele generatorului electric cu raportul de multiplicare al multiplicatorului de viteză  $k_{\mu}$  (rel.2.5);

- momentul rezistent introdus de către multiplicatorul vitezei de rotație se consideră constant, dat de relația (2.7);

- momentul rezistent al mașinii electrice este suma dintre momentul electromagnetic  $M$  și momentul rezistent propriu mașinii electrice  $M_{rg}$  (rel.2.16);

- viteza de rotație a turbinei eoliene  $n_t$  devine la arborele generatorului electric  $n = n_t \cdot k_{\mu}$ ;

Mașina electrică are și ea un moment de inerție al rotorului, notat cu  $J_g$ . Reducînd toate mărimile la arborele mașinii electrice și ținînd cont de legătura dintre viteza unghiulară

mecanică  $\omega_m$ , unghiul electric dintre două faze ale mașinii electrice  $\psi$  și numărul perechilor de poli ai acesteia,  $p$ , ecuația mișcării devine:

$$\frac{J}{p} \cdot \frac{d^2\psi}{dt^2} = M_{mec} + M \quad \text{cu } J = J_t + J_g \quad (2.18)$$

în care  $M_{mec}$  reprezintă suma dintre momentul activ produs de turbină la arborele generatorului electric,  $M_t$  (pozitiv) și momentul rezistent al generatorului electric,  $M_{rg}$  (negativ), deci:

$$M_{mec} = M_t + M_{rg} \quad (2.19)$$

iar  $M$  reprezintă momentul electromagnetic al mașinii electrice (considerat negativ în cazul funcționării ca generator).

Ecuația mișcării evidențiază faptul că orice modificare a unei mărimi mecanice influențează mărimile electrice și invers. Modificarea valorii unei mărimi, conduce la modificarea valorii mărimilor ce depind de prima de la valori inițiale la valori ce corespund noii situații. Această variație are loc într-un anumit interval de timp, dependent de parametrii instalației, interval în care procesele au o desfășurare în timp diferită de cea corespunzătoare regimurilor staționare, ele numindu-se procese tranzitorii [24], iar regimul de funcționare, regim tranzitoriu.

Trecerea mașinii electrice de la o viteză de rotație la cealaltă, trecere ce are loc pentru anumite viteze ale vântului determină deci procese tranzitorii în mașina electrică. Pentru a studia comportarea acesteia în regimul tranzitoriu, este necesar să se precizeze ecuațiile de funcționare ale acesteia.

### 3. ECUATIILE MASINILOR ELECTRICE DE CURENT ALTERNATIV

#### 3.1. Considerații generale

Mașinile electrice de curent alternativ au numai cuplaj magnetic între înfășurările celor două părți, statorul și rotorul.

Studiul analitic al funcționării mașinilor electrice de curent alternativ se simplifică dacă, schemele mașinilor reale, în care înfășurările statorice și rotorice, cuplate între ele magnetic, se înlocuiesc cu scheme echivalente, ale căror elemente sînt cuplate între ele numai galvanic, cu condiția echivalenței energetice.

Înfășurările rotorului și ale statorului se execută, în general, cu un număr diferit de faze, un număr de spire pe fază diferit și diferiți factori de înfășurare. De aceea, pentru alcătuirea schemelor echivalente, ecuațiile referitoare la mărimile rotorice trebuie reduse la înfășurările statorice sau invers. În calcule practice este mai comodă reducerea ecuațiilor rotorice la stator.

La o mașină electrică dată, se consideră că se cunosc mărimile geometrice, proprietățile mecanice, electrice, termice ale materialelor din care este construită. Ca urmare, rezistențele și inductivitățile înfășurărilor sînt cunoscute în funcție de poziția rotorului față de stator, poziție determinată prin unghiul electric  $\varphi$  făcut de două axe, una fixă față de stator, iar alta fixă față de rotor.

Mașinile electrice au miezuri feromagnetice pentru închiderea cîmpului magnetic. Cîmpurile magnetice variabile în timp provoacă pierderi în miezul feromagnetic prin intermediul fenomenelor de histerază magnetică și curenți turbionari.

La materialele cu histerază magnetică, legătura dintre inducția magnetică  $B$  și intensitatea cîmpului magnetic  $H$  este neliniară și neunivocă, ceea ce face ca inductivitățile unei mașini electrice să fie dependente de curenți în mod neunivoc.

De asemenea cîmpul magnetic de dispersie, care se închide atât în mediu nemagnetic, cît și în cel feromagnetic, este influențat de fenomenul de saturație, fenomen care - în general - îl reduce, deci reduce inductivitatea de dispersie.

541.309  
182 A

Un alt fenomen care influențează parametrii electrici ai mașinii este efectul pelicular. Efectul pelicular deformează repartiția densității curentului electric pe suprafața secțiunii conductorului din creștătură și are ca efect modificarea rezistenței și inductivității părții din conductor plasată în creștătură.

Valorile parametrilor au influență considerabilă asupra caracterului proceselor ce se desfășoară în mașinile electrice și asupra regimurilor de funcționare ale acestora, dar mai ales asupra proceselor tranzitorii din mașină.

Deci, la scrierea ecuațiilor care caracterizează procesele și fenomenele ce au loc în timpul funcționării mașinii electrice, trebuie întotdeauna precizat cum au fost definiți parametrii mașinii.

### 3.2. Ecuațiile mașinii electrice simetrice la repartiția sinusoidală a inducției magnetice în lungul pasului polar (teoria celor două axe)-cu considerarea pierderilor în fier.

În mod obișnuit, mașinile electrice au întrefier variabil în lungul pasului polar și sînt astfel construite încît au două axe de simetrie în cvadratură electrică. La aceste mașini, inducția magnetică are o repartiție oarecare în lungul pasului polar, dar după o curbă alternativă, care poate fi descompusă în serie Fourier. Comportarea mașinii este determinată în cea mai mare măsură de armonica fundamentală a curbei de repartiție. Din acest motiv, se consideră cazul unei mașini electrice care are două axe de simetrie magnetice: axa d și axa q, în cvadratură electrică, cu repartiția sinusoidală a inducției magnetice în lungul pasului polar.

Se obține o repartiție sinusoidală a inducției magnetice în lungul pasului polar dacă:

- circuitul magnetic al mașinii este nesaturat și are permeabilitatea magnetică a miezului feromagnetic,  $\mu_{Fe}$  foarte mare, teoretic  $\mu_{Fe} \rightarrow \infty$ ;

- toate înfășurările mașinii sînt repartizate sinusoidal de-a lungul pasului polar ;

- întrefierul mașinii este constant în lungul pasului polar. Această ultimă condiție, este întotdeauna satisfăcută la



mașinile electrice de inducție.

La mașina cu două axe de simetrie magnetică, aceleași solenități determină cîmpuri magnetice diferite după cele două axe. Una din axele de simetrie, numită axă transversală și notată cu  $q$ , o considerăm decalată înainte, în sensul rotației, față de cealaltă axă numită longitudinală, notată cu  $d$ .

La o mașină cu întrefier constant se poate obține o astfel de situație dacă în rotor are loc un interstițiu nemagnetic după axa  $d$  [24]. În acest caz, cîmpul magnetic în lungul axei  $d$  nu străbate interstițiul, iar cel în lungul axei  $q$  îl străbate.

În fig.3.1 este dată schema electrică a mașinii pentru care sînt valabile ipotezele enunțate, notîndu-se cu  $\lambda$  înfășurarea fixă statorică de ordinul  $\lambda$ , iar cu  $\lambda'$  înfășurarea fixă rotorică de ordinul  $\lambda'$ .

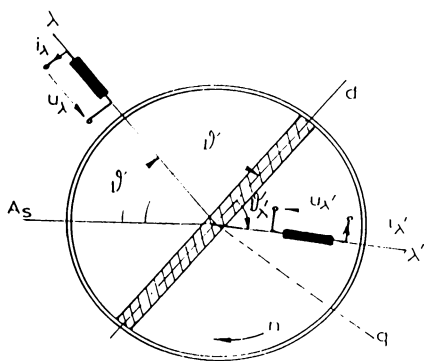


Fig.3.1

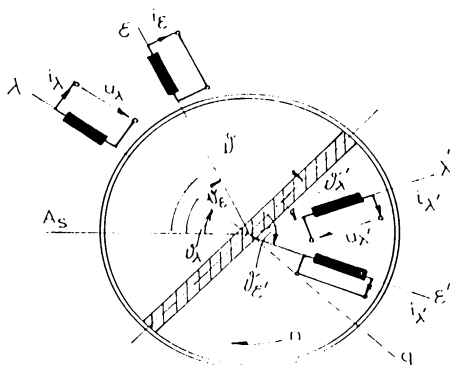


Fig.3.2

Pentru a ține seama de influența pierderilor în fier asupra cîmpului magnetic, considerînd că între inducția magnetică  $B$  și intensitatea cîmpului magnetic  $H$  are loc o legătură liniară - condiție satisfăcută de curenții turbionari - pierderile prin histereză magnetică se echivalează cu pierderi prin curenți turbionari.

Fluxul cîmpului magnetic generat de curenții turbionari se consideră ca fiind produs de curenți de conducție stabiliți într-un sistem  $\mathcal{E}$  de înfășurări auxiliare scurtcircuitate, fixe față de stator, respectiv  $\mathcal{E}'$  fixe față de rotor, înfășurări cu-

plate cu înfășurările reale numai prin intermediul câmpului magnetic principal. Rezistența electrică și inductivitatea unei astfel de înfășurări auxiliare sînt mărimi care trebuie considerate cunoscute la o mașină dată. În fig.3.2 este prezentată schema electrică a mașinii pentru care sînt valabile toate ipotezele enunțate.

$A_g$  reprezintă axa de origine pentru unghiuri fiind o axă fixă față de stator. Dacă ea se suprapune cu axa fazei 1, atunci  $\phi_1 = 0$ . Forma dată este generală, cînd nu se suprapune.

La o mașină simetrică în stator, cu  $m$  faze, vom avea:

$$\phi_\lambda = \phi_1 + (\lambda - 1) \frac{2\pi}{m} \quad (3.1)$$

Dacă mașina are  $m'$  înfășurări și în rotor, atunci:

$$\phi_{\lambda'} = \phi_1 + (\lambda' - 1) \frac{2\pi}{m'} \quad (3.2)$$

Relațiile (3.1) și (3.2) se scriu analog și pentru înfășurările auxiliare  $\mathcal{E}$ , respectiv  $\mathcal{E}'$ , în care  $\mathcal{E} = 1, 2, \dots, m$ , iar  $\mathcal{E}' = 1', 2', \dots, m'$ .

Fie:

$R_\lambda, R_{\lambda'}$  - rezistențele electrice ale fazelor statorice, respectiv rotorice ale înfășurărilor principale;

$R_{\mathcal{E}}, R_{\mathcal{E}'}$  - rezistențele electrice ale fazelor statorice, respectiv rotorice ale înfășurărilor auxiliare;

$u_\lambda, u_{\lambda'}$  - tensiunile la borne ale fazelor  $\lambda$  și  $\lambda'$ ;

$i_\lambda, i_{\lambda'}$  - curenții electrici stabiliți în înfășurările principale;

$i_{\mathcal{E}}, i_{\mathcal{E}'}$  - curenții electrici stabiliți în înfășurările auxiliare;

$w, w'$  - numărul de spire pe o fază statorică, respectiv rotorică;

$\psi_\lambda, \psi_{\lambda'}$  - fluxurile totale pentru faza de ordinul  $\lambda$  a înfășurării principale statorice, respectiv cea rotorică de ordinul  $\lambda'$  a înfășurării principale rotorice.

Fluxurile totale ale unei faze se consideră ca fiind suma dintre fluxurile principale  $\psi_{\lambda h}, \psi_{\lambda' h}$  ale înfășurărilor de ordinul  $\lambda$ , respectiv  $\lambda'$ , fluxurile de dispersie proprie  $\psi_{\lambda 0}, \psi_{\lambda' 0}$  ale in-

făgurărilor principale și respectiv fluxurile de dispersie mutuală  $\Psi_{\lambda m \sigma}$ ,  $\Psi_{\lambda' m \sigma}$  ale acelorăși infăgurări (rel.3.3):

$$\begin{aligned} \Psi_{\lambda} &= \Psi_{\lambda h} + \Psi_{\lambda \sigma} + \Psi_{\lambda m \sigma} \\ \Psi_{\lambda'} &= \Psi_{\lambda' h} + \Psi_{\lambda' \sigma} + \Psi_{\lambda' m \sigma} \end{aligned} \quad (3.3)$$

În mod analog se definesc fluxurile totale pentru infăgurările auxiliare de ordinul  $\varepsilon$ , respectiv  $\varepsilon'$ :

$$\begin{aligned} \Psi_{\varepsilon} &= \Psi_{\varepsilon h} + \Psi_{\varepsilon \sigma} + \Psi_{\varepsilon m \sigma} \\ \Psi_{\varepsilon'} &= \Psi_{\varepsilon' h} + \Psi_{\varepsilon' \sigma} + \Psi_{\varepsilon' m \sigma} \end{aligned} \quad (3.4)$$

în care  $\Psi_{\varepsilon h}$ ,  $\Psi_{\varepsilon' h}$  sînt fluxurile principale,  $\Psi_{\varepsilon \sigma}$ ,  $\Psi_{\varepsilon' \sigma}$  sînt fluxurile de dispersie și  $\Psi_{\varepsilon m \sigma}$ ,  $\Psi_{\varepsilon' m \sigma}$  sînt fluxurile de dispersie mutuală ale infăgurărilor auxiliare de ordinul  $\varepsilon$ , respectiv  $\varepsilon'$ .

Determinarea variației în raport cu timpul a curenților, tensiunilor și unghiului  $\theta$  se poate face rezolvînd ecuațiile generale ale mașinii (3.5):

$$\begin{aligned} u_{\lambda} &= -K_{\lambda} i_{\lambda} - \frac{d\Psi_{\lambda}}{dt} & u_{\lambda'} &= -K_{\lambda'} i_{\lambda'} - \frac{d\Psi_{\lambda'}}{dt} \\ 0 &= K_{\varepsilon} i_{\varepsilon} + \frac{d\Psi_{\varepsilon}}{dt} & 0 &= K_{\varepsilon'} i_{\varepsilon'} + \frac{d\Psi_{\varepsilon'}}{dt} \end{aligned} \quad (3.5)$$

căroră li se atașează ecuația mișcării (2.18):

$$M + M_{\text{mec}} = \frac{d}{p} \cdot \frac{d^2 \theta}{dt^2}$$

În cazul considerat se poate proceda mai simplu, făcînd uz de o altă mașină, ideală, echivalentă din punct de vedere energetic cu mașina dată. Mașina echivalentă are schema din fig.3.3. și are:

-  $m+m_1$  infăgurări fixe față de stator și  $m'+m_1'$  infăgurări fixe față de rotor, necuplate între ele și nici cu infăgurările din cealaltă parte, cu axele în axele infăgurărilor principale,

respectiv auxiliare ale mașinii reale, repartizate sinusoidal de-a lungul pasului polar. Aceste înfășurări nu produc câmp magnetic în intrefier;

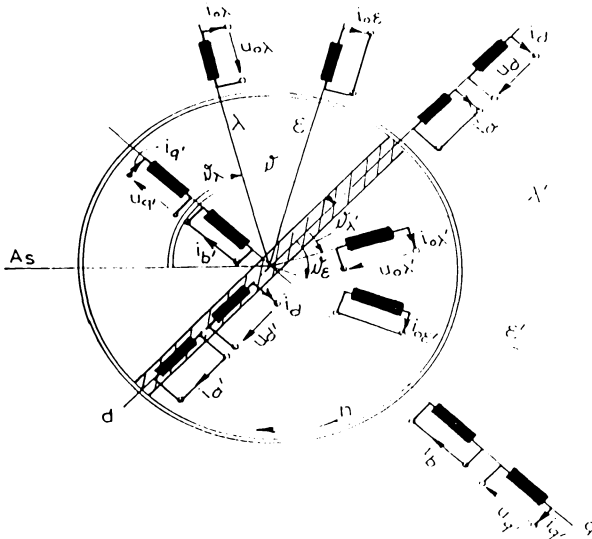


Fig.3.3

- patru înfășurări statorice, repartizate sinusoidal, mobile față de stator, fixe față de rotor, cu axele suprapuse două peste axa  $d$ , două peste axa  $q$ , și patru înfășurări rotorice similare celor statorice; dar fixe față de rotor, cu axele în axele  $d$  și respectiv  $q$ . Curenții acestor înfășurări, produc câmpul magnetic din intrefierul mașinii (câmpul principal), fiind cuplate magnetic două câte două între ele.

- același intrefier, același diametru, același număr de perechi de poli, același moment de inerție și același pierderi în fier ca și mașina reală;

Infășurarea fixă statorică de ordinul  $\lambda$  (corespunzătoare infășurării statorice principale  $\lambda$  din mașina reală) are  $w_{0\lambda}$  spire, inductivitatea  $L_{0\lambda}$ , rezistența  $R_{0\lambda}$ , tensiunea la borne  $u_{0\lambda}$ , fluxul total  $\psi_{0\lambda}$  și curentul  $i_{0\lambda}$ . Mărimile similare ale celor-

alte înfășurări sint pentru:

- înfășurările fixe rotorice de ordinul  $\lambda'$ , corespunzătoare înfășurărilor principale rotorice de ordinul  $\lambda'$ :  $w_{0\lambda'}$ ;  $L_{0\lambda'}$ ;  $R_{0\lambda'}$ ;  $u_{0\lambda'}$ ;  $\psi_{0\lambda'}$ ;  $i_{0\lambda'}$

- înfășurările fixe statorice de ordinul  $\varepsilon$ , corespunzătoare înfășurărilor auxiliare statorice de ordinul  $\varepsilon$ :  $w_{0\varepsilon}$ ;  $L_{0\varepsilon}$ ;  $R_{0\varepsilon}$ ;  $0$ ;  $\psi_{0\varepsilon}$ ;  $i_{0\varepsilon}$

- înfășurările fixe rotorice de ordinul  $\varepsilon'$ , corespunzătoare înfășurărilor auxiliare rotorice de ordinul  $\varepsilon'$ :  $w_{0\varepsilon'}$ ;  $L_{0\varepsilon'}$ ;  $R_{0\varepsilon'}$ ;  $0$ ;  $\psi_{0\varepsilon'}$ ;  $i_{0\varepsilon'}$

- înfășurările mobile statorice din axa d, respectiv q, corespunzătoare înfășurărilor principale ale mașinii:  $w_d$ ,  $L_{dd}$ ,  $R_d$ ,  $u_d$ ,  $\psi_d$ ,  $i_d$ , respectiv  $w_q$ ,  $L_{qq}$ ,  $R_q$ ,  $u_q$ ,  $\psi_q$ ,  $i_q$ ;

- înfășurările mobile statorice din axa d, respectiv q, corespunzătoare înfășurărilor auxiliare ale mașinii:  $w_a$ ,  $L_{aa}$ ,  $R_a$ ,  $0$ ,  $\psi_a$ ,  $i_a$ , respectiv  $w_b$ ,  $L_{bb}$ ,  $R_b$ ,  $0$ ,  $\psi_b$ ,  $i_b$ ;

- înfășurările fixe rotorice din axa d', respectiv q', corespunzătoare înfășurărilor principale ale mașinii:  $w_{d'}$ ,  $L_{d'd'}$ ,  $R_{d'}$ ,  $u_{d'}$ ,  $\psi_{d'}$ ,  $i_{d'}$ , respectiv  $w_{q'}$ ,  $L_{q'q'}$ ,  $R_{q'}$ ,  $u_{q'}$ ,  $\psi_{q'}$ ,  $i_{q'}$ .

- înfășurările fixe rotorice din axa d', respectiv q', corespunzătoare înfășurărilor auxiliare ale mașinii:  $w_{a'}$ ,  $L_{a'a'}$ ,  $R_{a'}$ ,  $0$ ,  $\psi_{a'}$ ,  $i_{a'}$ , respectiv  $w_{b'}$ ,  $L_{b'b'}$ ,  $R_{b'}$ ,  $0$ ,  $\psi_{b'}$ ,  $i_{b'}$ .

Numerele de spire  $w_{0\lambda}$ ,  $w_{0\lambda'}$ ,  $w_{0\varepsilon}$ ,  $w_{0\varepsilon'}$ ,  $w_d$ ,  $w_q$ ,  $w_a$ ,  $w_b$ ,  $w_{d'}$ ,  $w_{q'}$ ,  $w_{a'}$ ,  $w_{b'}$ , se pot alege arbitrare. Pentru simplificarea calculelor, fără a reduce generalitatea ecuațiilor, alegem

$w_{0\lambda} = w_{0\varepsilon} = w_d = w_q = w_a = w_b = w$  și  $w_{0\lambda'} = w_{0\varepsilon'} = w_{d'} = w_{q'} = w_{a'} = w_{b'} = w'$ .

Fluxurile  $\psi_d$ ,  $\psi_q$ ,  $\psi_a$ ,  $\psi_b$  cuprind atât fluxurile principale, cât și cele de dispersie.

Mașina echivalentă are același moment electromagnetic  $M$ , aceeași putere electrică totală în orice moment, aceeași energie magnetică separat pe stator și rotor, aceeași inducție magnetică în întrefier și aceeași pierderi în fier ca și mașina reală.

Pe baza acestor considerente, se pot stabili relațiile de legătură între mărimile mașinii reale și cele ale mașinii echivalente. Relațiile respective se numesc ecuații de transformare.

3.2.1. Ecuatiile de transformare a mărimilor statorice

3.2.1.1. Ecuatiile de transformare a curenților

Mașina reală și mașina echivalentă avînd aceleași inducții magnetice în întrefieruri de aceeași valoare au și aceleași solenați

Solenațiile în axele d și q ale mașinii reale  $\theta_d$  și  $\theta_q$  contribuție ale înfășurărilor statorice principale sînt:

$$\theta_d = \sum_{\lambda=1}^m w_{\lambda} i_{\lambda} \cos(\theta - \theta_{\lambda}); \quad \theta_q = \sum_{\lambda=1}^m w_{\lambda} i_{\lambda} \sin(\theta - \theta_{\lambda}) \quad (3.6)$$

respectiv cele corespunzătoare înfășurărilor statorice auxiliare  $\theta_a$  și  $\theta_b$  sînt:

$$\theta_a = \sum_{\xi=1}^{m'} w_{\xi} i_{\xi} \cos(\theta - \theta_{\xi}); \quad \theta_b = \sum_{\xi=1}^{m'} w_{\xi} i_{\xi} \sin(\theta - \theta_{\xi}) \quad (3.7)$$

Solenațiile corespunzătoare înfășurărilor statorice ale mașinii echivalente, în aceleași axe sînt:

$$\begin{aligned} \theta_d &= w \cdot i_d & \theta_a &= w \cdot i_a \\ \theta_q &= w \cdot i_q & \theta_b &= w \cdot i_b \end{aligned} \quad (3.8)$$

Din condiția de egalitate a solenațiilor se obțin curenții din înfășurările mașinii echivalente:

$$i_d = \sum_{\lambda=1}^m \frac{w_{\lambda}}{w} i_{\lambda} \cos(\theta - \theta_{\lambda}); \quad i_a = -\sum_{\xi=1}^{m'} \frac{w_{\xi}}{w} i_{\xi} \cos(\theta - \theta_{\xi}) \quad (3.9)$$

$$i_q = -\sum_{\lambda=1}^m \frac{w_{\lambda}}{w} i_{\lambda} \sin(\theta - \theta_{\lambda}); \quad i_b = \sum_{\xi=1}^{m'} \frac{w_{\xi}}{w} i_{\xi} \sin(\theta - \theta_{\xi})$$

În ipoteza repartiției sinusoidale a solenațiilor de-a lungul pasului polar, solenația înfășurării  $\nu$  care contribuie la producerea cîmpului magnetic în întrefier este  $w_{\nu}(i_{\nu} - i_{0\nu})$ , deoarece curenții  $i_{0\nu}$  nu contribuie la solenația din axa d, respectiv q, și această solenație poate fi scrisă ca o parte din solenațiile  $\theta_d$  și  $\theta_q$ , respectiv  $\theta_a$  și  $\theta_b$  considerate în axa fazei  $\nu$  și deci:

$$\begin{aligned} w_{\nu}(i_{\nu} - i_{0\nu}) &= \int_{\nu} [w \cdot i_d \cos(\theta - \theta_{\nu}) - w i_q \sin(\theta - \theta_{\nu})] \\ w_{\nu w}(i_{\nu w} - i_{0\nu w}) &= \int_{\nu w} [w i_a \cos(\theta - \theta_{\nu w}) - w i_b \sin(\theta - \theta_{\nu w})] \end{aligned} \quad (3.10)$$

(S-a utilizat indicele  $w$  pentru mărimile corespunzătoare fazei  $\nu$  a înfugurilor auxiliare).

Inlocuind în (3.10) expresiile curenților  $i_d, i_q, i_A, i_B$  dați de (3.9) și în urma unor transformări simple rezultă:

$$i_{0\nu} = i_\nu - \rho_\nu \frac{w}{w_\nu} \sum_{\lambda=1}^m \frac{w_\lambda}{w} i_\lambda \cos(\theta_\nu - \theta_\lambda) \quad (3.11)$$

$$i_{0w} = i_{\nu w} - \rho_{\nu w} \frac{w}{w_{\nu w}} \sum_{\varepsilon=1}^{m1} \frac{w_\varepsilon}{w} i_\varepsilon \cos(\theta_{\nu w} - \theta_\varepsilon)$$

Punind condiția ca solenația corespunzătoare curenților  $i_{0\nu}$  în axa  $d$  să fie zero avem:

$$\begin{aligned} 0 &= \sum_{\nu=1}^m i_{0\nu} \cos(\theta - \theta_\nu) = \sum_{\nu=1}^m i_\nu \cos(\theta - \theta_\nu) - \sum_{\nu=1}^m \rho_\nu \frac{w}{w_\nu} \cdot \\ &\cdot \cos(\theta - \theta_\nu) \cdot \sum_{\lambda=1}^m \frac{w_\lambda}{w} i_\lambda \cos(\theta_\nu - \theta_\lambda) = \sum_{\nu=1}^m i_\nu \cos(\theta - \theta_\nu) - \\ &- \sum_{\nu=1}^m \rho_\nu \frac{w}{w_\nu} \cdot \frac{1}{2} \cdot \sum_{\lambda=1}^m i_\lambda \cos(\theta - \theta_\lambda) - \sum_{\nu=1}^m \rho_\nu \frac{w}{w_\nu} \cdot \frac{1}{2} \cos 2\theta_\nu \cdot \\ &\cdot \sum_{\lambda=1}^m \frac{w_\lambda}{w} i_\lambda \cos(\theta + \theta_\lambda) - \sum_{\nu=1}^m \rho_\nu \frac{w}{w_\nu} \cdot \frac{1}{2} \sin 2\theta_\nu \sum_{\lambda=1}^m \frac{w_\lambda}{w} i_\lambda \sin(\theta + \theta_\lambda) \end{aligned} \quad (3.13)$$

Relațiile (3.13) sînt satisfăcute independent de  $i_\lambda$  și  $\theta$  dacă sînt îndeplinite condițiile (3.14):

$$\sum_{\nu=1}^m \rho_\nu = 2; \quad \sum_{\nu=1}^m \rho_\nu \cos 2\theta_\nu = 0; \quad \sum_{\nu=1}^m \rho_\nu \sin 2\theta_\nu = 0 \quad (3.14)$$

În cazul în care magina este simetrică, adică dacă:

$$\theta = \theta_1 + (\lambda - 1) \frac{2\pi}{m} \quad (3.15)$$

relațiile (3.14) conduc la:

$$\rho_\nu = \frac{2}{m} \quad (3.16)$$

În mod analog, punind condiția ca solenația corespunzătoare curenților  $i_{0w}$  în axa  $d$  să fie zero, conduce la necesitatea îndeplinirii condițiilor:

$$\sum_{\nu=1}^{m_1} f_{\nu W} = 2; \quad \sum_{\nu=1}^{m_1} f_{\nu W} \cos 2\theta_{\nu W} = 0; \quad \sum_{\nu=1}^{m_1} f_{\nu W} \sin 2\theta_{\nu W} = 0 \quad (3.17)$$

Dacă mașina este simetrică, adică dacă este îndeplinită condiția (3.15), atunci relațiile (3.17) conduc la egalitatea:

$$f_{\nu W} = \frac{2}{m_1} \quad (3.18)$$

Deci, cu ajutorul relațiilor (3.9), (3.11), (3.15) și (3.16) determinăm curenții din înfășurările statorice ale mașinii echivalente în funcție de curenții din înfășurările mașinii reale. Din rel. (3.10) obținem și curenții din înfășurările reale, când se cunosc cei din înfășurările mașinii echivalente:

$$i_{\nu} = i_{0\nu} + f_{\nu W} \frac{W}{w_{\nu W}} \left[ i_d \cos(\theta - \theta_{\nu}) - i_q (\sin(\theta - \theta_{\nu})) \right] \quad (3.19)$$

$$i_{\nu W} = i_{0\nu W} + f_{\nu W} \frac{W}{w_{\nu W}} \left[ i_a \cos(\theta - \theta_{\nu W}) - i_b \sin(\theta - \theta_{\nu W}) \right]$$

Relațiile (3.9), (3.11), (3.15), (3.16) și (3.19), reprezintă ecuațiile de transformare ale curenților.

### 3.2.1.2. Ecuațiile de transformare a tensiunilor

Condiția de echivalență este ca, în orice moment, independent de  $\theta$ , suma puterilor electrice momentane ale înfășurărilor mașinii reale să fie egală cu suma puterilor electrice momentane ale înfășurărilor mașinii echivalente, deci:

$$\sum_{\lambda=1}^m u_{\lambda} i_{\lambda} = u_d i_d + u_q i_q + \sum_{\lambda=1}^m u_{0\lambda} i_{0\lambda} \quad (3.20)$$

Infășurările auxiliare atât din mașina reală, cât și cele din mașina echivalentă fiind scurtcircuitate, tensiunile la bornele lor sînt în ambele cazuri zero.

Inlocuind în rel. (3.20) curenții  $i_d, i_q, i_{0\lambda}$  cu expresiile lor din relațiile de transformare a curenților, obținem:

$$\begin{aligned} \sum_{\lambda=1}^m u_{0\lambda} i_{0\lambda} &= u_d \sum_{\lambda=1}^m \frac{w_{\lambda}}{W} i_{\lambda} \cos(\theta - \theta_{\lambda}) - u_q \sum_{\lambda=1}^m \frac{w_{\lambda}}{W} i_{\lambda} \sin(\theta - \theta_{\lambda}) + \\ &+ \sum_{\lambda=1}^m u_{0\lambda} i_{\lambda} - \sum_{\lambda=1}^m u_{0\lambda} f_{\lambda} \frac{W}{w_{\lambda}} \sum_{\nu=1}^m \frac{w_{\nu}}{W} i_{\nu} \cos(\theta - \theta_{\nu}) \end{aligned}$$



adică:

$$\sum_{\lambda=1}^m i_{\lambda} \left[ u_{\lambda} - u_{0\lambda} - \frac{w_{\lambda}}{w} u_d \cos(\theta - \theta_{\lambda}) + \frac{w_{\lambda}}{w} u_q \sin(\theta - \theta_{\lambda}) \right] =$$

$$= - \sum_{\lambda=1}^m u_{0\lambda} \xi_{\lambda} \frac{w}{w_{\lambda}} \sum_{\nu=1}^m \frac{w_{\nu}}{w} i_{\nu} \cos(\theta_{\lambda} - \theta_{\nu}) \quad (3.21)$$

Inlocuind în (3.20) pe  $i_{\lambda}$  dat de (3.19) obținem:

$$i_d \left[ u_d - \sum_{\lambda=1}^m u_{\lambda} \xi_{\lambda} \frac{w}{w_{\lambda}} \cos(\theta - \theta_{\lambda}) \right] + i_q \left[ u_q + \sum_{\lambda=1}^m u_{\lambda} \xi_{\lambda} \cdot \frac{w}{w} \cdot \sin(\theta - \theta_{\lambda}) \right] = \sum_{\lambda=1}^m (u_{\lambda} - u_{0\lambda}) \cdot i_{0\lambda} \quad (3.22)$$

Relațiile (3.21) și (3.22) trebuie să fie satisfăcute oricare ar fi  $i_{\lambda}$ , respectiv  $i_d$ ,  $i_q$ , ceea ce este posibil dacă sînt nuli factorii care înmulțesc pe  $i_{\lambda}$  din rel. (3.21) și  $i_d$ ,  $i_q$  din rel. (3.22), adică:

$$u_d = \sum_{\lambda=1}^m u_{\lambda} \xi_{\lambda} \frac{w}{w_{\lambda}} \cos(\theta - \theta_{\lambda})$$

$$u_q = - \sum_{\lambda=1}^m u_{\lambda} \xi_{\lambda} \frac{w}{w_{\lambda}} \sin(\theta - \theta_{\lambda}) \quad (3.23)$$

$$u = \frac{w_{\lambda}}{w} u_d \cos(\theta - \theta_{\lambda}) - \frac{w_{\lambda}}{w} u_q \sin(\theta - \theta_{\lambda}) + u_{0\lambda}$$

și totodată:

$$\sum_{\lambda=1}^m u_{0\lambda} \xi_{\lambda} \frac{w}{w_{\lambda}} \sum_{\nu=1}^m \frac{w_{\nu}}{w} i_{\nu} \cos(\theta_{\lambda} - \theta_{\nu}) = 0 \quad (3.24)$$

$$\sum_{\lambda=1}^m (u_{\lambda} - u_{0\lambda}) i_{0\lambda} = 0$$

Inlocuind în expresia lui  $u_{\lambda}$  din relația (3.23) pe  $\lambda$  cu  $\nu$  și pe  $u_d$ ,  $u_q$  din aceleași relații, obținem:

$$u_{0\nu} = u_{\nu} - \frac{w_{\nu}}{w} \sum_{\lambda=1}^m u_{\lambda} \xi_{\lambda} \frac{w}{w_{\lambda}} \cos(\theta_{\lambda} - \theta_{\nu}) \quad (3.25)$$

Deci relațiile de transformare a tensiunilor sînt:

$$\begin{aligned}
 u_d &= \sum_{\lambda=1}^m u_{\lambda} \beta_{\lambda} \frac{w}{w_{\lambda}} \cos(\theta - \theta_{\lambda}) \\
 u_q &= - \sum_{\lambda=1}^m u_{\lambda} \beta_{\lambda} \frac{w}{w_{\lambda}} \sin(\theta - \theta_{\lambda}) \\
 u_{o\lambda} &= u_{\lambda} - \frac{w_{\lambda}}{w} \sum_{\lambda=1}^m u_{\lambda} \beta_{\lambda} \frac{w}{w_{\lambda}} \cos(\theta_{\lambda} - \theta_{\lambda}) \\
 u_{\lambda} &= u_{o\lambda} + \frac{w_{\lambda}}{w} [u_d \cos(\theta - \theta_{\lambda}) - u_q \sin(\theta - \theta_{\lambda})]
 \end{aligned}
 \tag{3.26}$$

Cu primele trei relații din (3.26) se obțin tensiunile la bornele înfășurărilor din mașina echivalentă, când se cunosc tensiunile la bornele înfășurărilor din mașina reală, iar cu ultima relație din (3.26) se obțin tensiunile la bornele înfășurărilor mașinii reale când se cunosc tensiunile la bornele înfășurărilor mașinii echivalente.

### 3.2.1.3. Ecuațiile de transformare a fluxurilor

Cele două mașini trebuie să aibă același energie magnetice în stator și deci:

$$\begin{aligned}
 \sum_{\lambda=1}^m i_{\lambda} \Psi_{\lambda} &= i_d \Psi_d + i_q \Psi_q + \sum_{\lambda=1}^m i_{o\lambda} \Psi_{o\lambda} \\
 \sum_{\varepsilon=1}^{m'} i_{\varepsilon} \Psi_{\varepsilon} &= i_a \Psi_a + i_b \Psi_b + \sum_{\varepsilon=1}^{m'} i_{o\varepsilon} \Psi_{o\varepsilon}
 \end{aligned}
 \tag{3.27}$$

Ecuațiile (3.28) sînt similare relațiilor (3.20), cu deosebirea că aici, în locul tensiunilor intervin fluxurile magnetice. Deci, urmînd aceeași cale, vom obține ecuațiile de transformare a fluxurilor:

$$\begin{aligned}
 \Psi_d &= \sum_{\lambda=1}^m \Psi_{\lambda} \beta_{\lambda} \frac{w}{w_{\lambda}} \cos(\theta - \theta_{\lambda}) \\
 \Psi_q &= - \sum_{\lambda=1}^m \Psi_{\lambda} \beta_{\lambda} \frac{w}{w_{\lambda}} \sin(\theta - \theta_{\lambda}) \\
 \Psi_{o\lambda} &= \Psi_{\lambda} - \frac{w_{\lambda}}{w} \sum_{\lambda=1}^m \Psi_{\lambda} \beta_{\lambda} \frac{w}{w_{\lambda}} \cos(\theta_{\lambda} - \theta_{\lambda}) \\
 \Psi_a &= \sum_{\varepsilon=1}^{m'} \Psi_{\varepsilon} \beta_{\varepsilon} \frac{w}{w_{\varepsilon}} \cos(\theta - \theta_{\varepsilon})
 \end{aligned}
 \tag{3.28}$$

$$\Psi_b = \sum_{\varepsilon=1}^{m_1} \Psi_{\varepsilon} \xi_{\varepsilon} \frac{w}{w_{\varepsilon}} \sin(\theta - \theta_{\varepsilon}) \quad (3.27)$$

$$\Psi_{0\sim w} = \Psi_{\sim w} - \frac{w_{\sim w}}{w} \sum_{\varepsilon=1}^{m_1} \Psi_{\varepsilon} \xi_{\varepsilon} \frac{w}{w_{\varepsilon}} \cos(\theta - \theta_{\varepsilon w})$$

și respectiv:

$$\Psi_{\sim} = \Psi_{0\sim} + \frac{w_{\sim}}{w} [\Psi_d \cos(\theta - \theta_{\sim}) - \Psi_q \sin(\theta - \theta_{\sim})] \quad (3.28)$$

$$\Psi_{\sim w} = \Psi_{0\sim w} + \frac{w_{\sim w}}{w} [\Psi_q \cos(\theta - \theta_{\sim w}) - \Psi_b \sin(\theta - \theta_{\sim w})]$$

Cu relațiile de transformare (3.28) obținem fluxurile magnetice totale din magina echivalentă atunci când cunoaștem fluxurile magnetice din magina reală, iar cu relațiile (3.29) realizăm operațiunea inversă.

Fluxul magnetic total al unei faze statorice de ordinul este:

$$\Psi_{\lambda} = \Psi_{\lambda h} + \Psi_{\lambda m\sigma} + \Psi_{\lambda\sigma} \quad (3.30)$$

în care:  $\Psi_{\lambda h}$  - fluxul principal,  $\Psi_{\lambda m\sigma}$  - fluxul de dispersie mutuală

$$\Psi_{\lambda m\sigma} = \sum_{\nu=1}^m \frac{w_{\sim} w_{\lambda}}{w^2} L_{m\sigma} i_{\nu}$$

Fluxul magnetic total al înfășurărilor statorice din axa d, respectiv q va fi:

$$\begin{aligned} \Psi_d &= \Psi_{dh} + \Psi_{d\sigma}; \quad \Psi_{d\sigma} = L_{d\sigma} i_d; \quad \Psi_a = \Psi_{ah} + \Psi_{a\sigma}; \quad \Psi_{a\sigma} = L_{a\sigma} i_a \\ \Psi_q &= \Psi_{qh} + \Psi_{q\sigma}; \quad \Psi_{q\sigma} = L_{q\sigma} i_q; \quad \Psi_b = \Psi_{bh} + \Psi_{b\sigma}; \quad \Psi_{b\sigma} = L_{b\sigma} i_b \end{aligned} \quad (3.31)$$

Relațiile de transformare a fluxurilor (3.28) și (3.29) sînt satisfăcute și de fluxurile principale  $\Psi_{dh}, \Psi_{qh}, \Psi_{\nu h}, \Psi_{ah}, \Psi_{bh}, \Psi_{\nu wh}$ , dar  $\Psi_{0\sim h} = 0$  și  $\Psi_{0\sim wh} = 0$ . Deci pentru fluxurile principale relațiile de transformare devin:

$$\Psi_{dh} = \sum_{\lambda=1}^m \Psi_{\lambda h} \xi_{\lambda} \frac{w}{w_{\lambda}} \cos(\theta - \theta_{\lambda}); \quad \Psi_{ah} = \sum_{\varepsilon=1}^{m_1} \Psi_{\varepsilon} \xi_{\varepsilon} \frac{w}{w_{\varepsilon}} \cos(\theta - \theta_{\varepsilon})$$

$$\psi_{qh} = - \sum_{\lambda=1}^m \psi_{\lambda h} \frac{w}{w_{\lambda}} \sin(\theta - \theta_{\lambda}) \quad \psi_{bh} = - \sum_{\varepsilon=1}^{m_1} \psi_{\varepsilon h} \frac{w}{w_{\varepsilon}} \sin(\theta - \theta_{\varepsilon})$$

$$\psi_{ovh} = 0 \quad \psi_{ovwh} = 0$$

$$\psi_{wh} = \frac{w_w}{w} [\psi_{dh} \cos(\theta - \theta_w) - \psi_{qh} \sin(\theta - \theta_w)] \quad (3.32)$$

$$\psi_{whw} = \frac{w_w}{w} [\psi_{ah} \cos(\theta - \theta_{w'}) - \psi_{bh} \sin(\theta - \theta_{w'})]$$

Fluxul total al înfășurărilor fixe față de stator va fi:

$$\psi_{o\lambda} = L_{o\lambda} i_{o\lambda} \quad \lambda=1,2,\dots,m \text{ și } \psi_{o\varepsilon} = L_{o\varepsilon} i_{o\varepsilon} \quad \varepsilon=1,2,\dots,m_1 \quad (3.33)$$

### 3.2.2. Ecuatiile de transformare a mărimilor rotorice

Deoarece înfășurările rotorice ale mașinii echivalente sînt fixe față de rotor, ca și cele ale mașinii reale, ecuațiile de transformare corespunzătoare mărimilor rotorice se deduc din cele ale mărimilor statorice, în care se face  $\theta = 0$ , deci:

a) ecuațiile de transformare a curenților sînt (3.34):

$$i_{d'} = \sum_{\lambda=1}^{m'} \frac{w_{\lambda'}}{w'} i_{\lambda'} \cos \theta_{\lambda'} \quad i_{u'} = \sum_{\varepsilon=1}^{m_1'} \frac{w_{\varepsilon'}}{w'} i_{\varepsilon'} \cos \theta_{\varepsilon'}$$

$$i_{q'} = \sum_{\lambda=1}^{m'} \frac{w_{\lambda'}}{w'} i_{\lambda'} \sin \theta_{\lambda'} \quad i_{b'} = \sum_{\varepsilon=1}^{m_1'} \frac{w_{\varepsilon'}}{w'} i_{\varepsilon'} \sin \theta_{\varepsilon'} \quad (3.34)$$

$$i_{ov'} = i_{v'} - \frac{w'}{w_{v'}} \sum_{\lambda=1}^{m'} i_{\lambda'} \cos(\theta_{v'} - \theta_{\lambda'})$$

$$i_{ov'w} = i_{v'w} - \frac{w'}{w_{v'w}} \sum_{\varepsilon=1}^{m_1'} i_{\varepsilon'} \cos(\theta_{v'w} - \theta_{\varepsilon'})$$

pentru transformarea curenților din mașina reală în mașina echivalentă și (3.34) pentru transformarea din mașina echivalentă în mașina reală.

$$i_{N'} = i_{0N'} + \sum_{\nu'} \frac{w^*}{w_{\nu'}} [i_d \cos \theta_{\nu'} + i_q \sin \theta_{\nu'}] \quad (3.35)$$

$$i_{N'w} = i_{0N'w} + \sum_{\nu'} \frac{w^*}{w_{\nu'w}} [i_a \cos \theta_{\nu'w} + i_b \sin \theta_{\nu'w}]$$

relație în care  $\sum_{\nu'}$  și  $\sum_{\nu'w}$  sînt date de (3.36), dacă magina este simetrică:

$$\sum_{\nu'} \delta_{\nu'} = \frac{2}{m^*} \quad (3.36)$$

$$\sum_{\nu'w} \delta_{\nu'w} = \frac{2}{m_{\ddagger}}$$

În cazul general, din condiția ca solenația curenților  $i_{0N'}$ , respectiv  $i_{0N'w}$  în axa d să fie zero, se obțin (3.37):

$$\sum_{\nu'=1}^{m'} \delta_{\nu'} = 2; \quad \sum_{\nu'=1}^{m'} \delta_{\nu'} \cos 2\theta_{\nu'} = 0; \quad \sum_{\nu'=1}^{m'} \delta_{\nu'} \sin 2\theta_{\nu'} = 0 \quad (3.37)$$

$$\sum_{\nu'w=1}^{m'} \delta_{\nu'w} = 2; \quad \sum_{\nu'w=1}^{m'} \delta_{\nu'w} \cos 2\theta_{\nu'w} = 0; \quad \sum_{\nu'w=1}^{m'} \delta_{\nu'w} \sin 2\theta_{\nu'w} = 0$$

b) ecuațiile de transformare a tensiunilor sînt:

$$u_d = \sum_{\lambda'=1}^{m'} u_{\lambda'} \delta_{\lambda'} \frac{w^*}{w_{\lambda'}} \cos \theta_{\lambda'}; \quad u_q = - \sum_{\lambda'=1}^{m'} u_{\lambda'} \delta_{\lambda'} \frac{w^*}{w_{\lambda'}} \sin \theta_{\lambda'}; \quad (3.38)$$

$$u_{0N'} = u_{N'} - \frac{w_{N'}}{w^*} \sum_{\lambda'=1}^{m'} u_{\lambda'} \delta_{\lambda'} \frac{w^*}{w_{\lambda'}} \cos(\theta_{\lambda'} - \theta_{N'})$$

și respectiv:

$$u_{N'w} = u_{0N'w} + \frac{w_{N'w}}{w^*} [u_d \cos \theta_{N'} + u_q \sin \theta_{N'}] \quad (3.39)$$

c) ecuațiile de transformare a fluxurilor sînt:

$$\psi_d = \sum_{\lambda'=1}^{m'} \psi_{\lambda'} \delta_{\lambda'} \frac{w^*}{w_{\lambda'}} \cos \theta_{\lambda'}; \quad \psi_q = \sum_{\lambda'=1}^{m'} \psi_{\lambda'} \frac{w^*}{w_{\lambda'}} \sin \theta_{\lambda'}$$

$$\psi_{0N'} = \psi_{N'} - \frac{w_{N'}}{w^*} \sum_{\lambda'=1}^{m'} \psi_{\lambda'} \delta_{\lambda'} \frac{w^*}{w_{\lambda'}} \cos(\theta_{\lambda'} - \theta_{N'})$$

$$\psi_a = \sum_{\xi'=1}^{m'} \psi_{\xi'} \sum_{\xi} \frac{w}{w_{\xi'}} \cos \theta_{\xi'}, \quad \psi_b = \sum_{\xi'=1}^{m'} \psi_{\xi'} \sum_{\xi} \frac{w}{w_{\xi'}} \sin \theta_{\xi'}, \quad (3.40)$$

$$\psi_{0v'w} = \psi_{v'w} - \frac{w_{v'w}}{w'} \sum_{\xi'=1}^{m'} \psi_{\xi'} \sum_{\xi} \cos(\theta_{\xi'} - \theta_{v'w}) \frac{w}{w_{\xi'}}$$

și respectiv:

$$\psi_{v'} = \psi_{0v'w} + \frac{w_{v'w}}{w'} [\psi_a \cos \theta_{v'w} + \psi_b \sin \theta_{v'w}] \quad (3.41)$$

$$\psi_{w'} = \psi_{0v'w} + \frac{w_{v'w}}{w'} [\psi_a \cos \theta_{v'w} + \psi_b \sin \theta_{v'w}]$$

### 3.2.3. Ecuațiile tensiunilor

Ecuațiile dintre tensiuni și curenți pentru înfăgurările d și q ale mașinii echivalente se deduc din ecuațiile mașinii reale, ținând seama de ecuațiile de transformare.

Considerăm ecuația tensiunii la bornele fazei principale  $\lambda$ , respectiv ale fazei auxiliare  $\varepsilon$  din mașina reală.

$$u_{\lambda} = -R_{\lambda} i_{\lambda} - \frac{d\psi_{\lambda}}{dt} ; \quad 0 = -R_{\varepsilon} i_{\varepsilon} - \frac{d\psi_{\varepsilon}}{dt} \quad (3.42)$$

Înlocuind în expresia lui  $u_{\lambda}$  pe  $i_{\lambda}$  și  $\psi_{\lambda}$  funcție de mărimile corespunzătoare din mașina echivalentă, respectiv  $u_d, u_q, u_{0\lambda}, i_d, i_q, i_{0\lambda}, \psi_d, \psi_q, \psi_{0\lambda}$ , obținem:

$$\begin{aligned} u_{\lambda} = & -R_{\lambda} \left\{ i_{0\lambda} + \sum_{\lambda} \frac{w}{w_{\lambda}} [i_d \cos(\theta - \theta_{\lambda}) - i_q \sin(\theta - \theta_{\lambda})] \right\} - \\ & - \frac{d\psi_{0\lambda}}{dt} - \frac{w_{\lambda}}{w} \left[ \frac{d\psi_d}{dt} \cos(\theta - \theta_{\lambda}) - \psi_d \sin(\theta - \theta_{\lambda}) \frac{d\theta}{dt} - \frac{d\psi_q}{dt} \sin(\theta - \theta_{\lambda}) - \right. \\ & \left. - \psi_q \cos(\theta - \theta_{\lambda}) \frac{d\theta}{dt} \right] \end{aligned}$$

respectiv:

$$u_{0\lambda} + \frac{w_{\lambda}}{w} u_d \cos(\theta - \theta_{\lambda}) - \frac{w}{w} u_q \sin(\theta - \theta_{\lambda}) = -R_{\lambda} i_{0\lambda} - \frac{d\psi_{0\lambda}}{dt} -$$

$$\begin{aligned}
 & - \left[ R_{\lambda} \int_{\lambda} \frac{w}{w_{\lambda}} i_d + \frac{w_{\lambda}}{w} \frac{d\psi_d}{dt} - \psi_q \frac{d\theta}{dt} \right] \cos(\theta - \theta_{\lambda}) + \left[ R_{\lambda} \int_{\lambda} \frac{w}{w_{\lambda}} i_q + \right. \\
 & \left. + \frac{d\psi_q}{dt} + \psi_d \frac{d\theta}{dt} \right] \sin(\theta - \theta_{\lambda}) \quad (3.43)
 \end{aligned}$$

Relația (3.43) trebuie satisfăcută indiferent de valcările lui  $\theta$ , deci obținem :

$$\begin{aligned}
 u_{o\lambda} &= -R_{\lambda} i_{o\lambda} - \frac{d\psi_{o\lambda}}{dt} \\
 u_d &= -R_{\lambda} \int_{\lambda} \left(\frac{w}{w_{\lambda}}\right)^2 i_d - \frac{d\psi_d}{dt} + \psi_q \frac{d\theta}{dt} \quad (3.44)
 \end{aligned}$$

$$u_q = -R_{\lambda} \int_{\lambda} \left(\frac{w}{w_{\lambda}}\right)^2 i_q - \frac{d\psi_q}{dt} - \psi_d \frac{d\theta}{dt}$$

Notînd:  $R_{o\lambda} = R_{\lambda}$  ;  $R_d = R_q = R_{\lambda} \int_{\lambda} \left(\frac{w}{w_{\lambda}}\right)^2$ , obținem:

$$\begin{aligned}
 u_{o\lambda} &= -R_{o\lambda} i_{o\lambda} - \frac{d\psi_{o\lambda}}{dt} \\
 u_d &= -R_d i_d - \frac{d\psi_d}{dt} + \psi_q \frac{d\theta}{dt} \quad (3.45) \\
 u_q &= -R_q i_q - \frac{d\psi_q}{dt} - \psi_d \frac{d\theta}{dt}
 \end{aligned}$$

Analog, pentru fazele  $\varepsilon$  ale înfășurărilor auxiliare se obține:

$$\begin{aligned}
 0 &= -R_{o\varepsilon} i_{o\varepsilon} - \frac{d\psi_{o\varepsilon}}{dt} \\
 0 &= -R_a i_a - \frac{d\psi_a}{dt} + \psi_b \frac{d\theta}{dt} \quad \text{cu: } R_{o\varepsilon} = R_{\varepsilon} ; R_a = R_b = R_{\varepsilon} \int_{\varepsilon} \left(\frac{w}{w_{\varepsilon}}\right)^2 \quad (3.46)
 \end{aligned}$$

$$0 = -R_b i_b - \frac{d\psi_b}{dt} - \psi_a \frac{d\theta}{dt}$$

Relațiile (3.45) și (3.46) reprezintă ecuațiile dintre curenți și tensiuni pentru înfășurările statorice ale mașinii

echivalente. Ultimele două ecuații din (3.45) și (3.46) sînt aceleași, oricare ar fi faza considerată a mașinii reale. Caracteristică fiecărei faze îi este numai prima ecuație din (3.45) respectiv (3.46).

Ecuațiile dintre curenți și tensiunea pentru înfășurările rotorice ale mașinii echivalente se obțin analog, considerînd tensiunea  $u_{\lambda'}$ , respectiv 0 la bornele fazei rotorice  $\lambda'$ , respectiv  $\mathcal{E}'$  ale mașinii reale:

$$\begin{aligned} u_{\lambda'} &= -R_{\lambda'} i_{\lambda'} - \frac{d\psi_{\lambda'}}{dt} \\ 0 &= -R_{\mathcal{E}'} i_{\mathcal{E}'} - \frac{d\psi_{\mathcal{E}'}}{dt} \end{aligned} \quad (3.47)$$

în care, înlocuind pe  $u_{\lambda'}$ ,  $i_{\lambda'}$ ,  $\psi_{\lambda'}$ ,  $i_{\mathcal{E}'}$ ,  $\psi_{\mathcal{E}'}$  cu mărimile corespunzătoare din mașina echivalentă, respectiv cu  $u_{o\lambda'}$ ,  $u_d$ ,  $u_q$ ,  $i_{o\lambda'}$ ,  $i_d$ ,  $i_q$ ,  $\psi_{o\lambda'}$ ,  $\psi_d$ ,  $\psi_q$ ,  $i_{o\mathcal{E}'}$ ,  $i_a$ ,  $i_b$ ,  $\psi_{o\mathcal{E}'}$ ,  $\psi_a$ ,  $\psi_b$  se obțin relațiile dintre curenții și tensiunile mașinii echivalente:

$$\begin{aligned} u_{o\lambda'} &= -R_{o\lambda'} i_{o\lambda'} - \frac{d\psi_{o\lambda'}}{dt} & R_{o\lambda'} &= R_{\lambda'} \\ u_d &= -R_d i_d - \frac{d\psi_d}{dt} & \text{în care: } R_d' &= \sum_{\lambda'} \left(\frac{w}{w_{\lambda'}}\right)^2 R_{\lambda'} \\ u_q &= -R_q i_q - \frac{d\psi_q}{dt} & R_q &= R_d \end{aligned}$$

respectiv:

$$\begin{aligned} 0 &= R_{o\mathcal{E}'} i_{o\mathcal{E}'} + \frac{d\psi_{o\mathcal{E}'}}{dt} & R_{o\mathcal{E}'} &= R_{\mathcal{E}'} \\ 0 &= R_a i_a + \frac{d\psi_a}{dt} & \text{în care } R_a' &= R_{b'} = \sum_{\mathcal{E}'} \left(\frac{w}{w_{\mathcal{E}'}}\right)^2 R_{\mathcal{E}'} \\ 0 &= R_b i_b + \frac{d\psi_b}{dt} \end{aligned}$$

### 3.2.4. Relațiile dintre rezistențe și inductivități

#### 3.2.4.1. Relațiile dintre rezistențele celor două mașini

Între rezistențele înfășurărilor principale statorice  $R_{\lambda}$ , respectiv cele ale înfășurărilor auxiliare statorice  $R_{\mathcal{E}}$ , ale ma-



șinii reale și rezistențele înfășurărilor statorice din mașina echivalentă.  $R_{0\lambda}$ ,  $R_d$ ,  $R_q$ ,  $R_{0\varepsilon}$ ,  $R_a$ ,  $R_b$  există relațiile:

$$R_{0\lambda} = R_\lambda \quad (1) ; \quad R_d = R_q = \int_{\lambda} \left(\frac{w}{w_\lambda}\right)^2 R_\lambda \quad (2) ; \quad (3.50)$$

$$R_{0\varepsilon} = R_\varepsilon \quad (3) ; \quad R_a = R_b = \int_{\varepsilon} \left(\frac{w}{w_\varepsilon}\right)^2 R_\varepsilon \quad (4)$$

relații ce au fost deduse anterior, din ecuațiile dintre tensiuni și curenți. Relații similare se stabilesc și între rezistențele fazelor înfășurărilor principale, rotorice  $R_{\lambda'}$ , respectiv înfășurărilor auxiliare rotorice  $R_{\varepsilon'}$  ale înfășurării reale și rezistențele înfășurărilor rotorice  $R_{0\lambda'}$ ,  $R_{d'}$ ,  $R_{q'}$ ,  $R_{0\varepsilon'}$ ,  $R_{a'}$ ,  $R_{b'}$  ale mașinii echivalente:

$$R_{0\lambda'} = R_{\lambda'} \quad (1) , \quad R_{d'} = R_{q'} = \int_{\lambda'} \left(\frac{w}{w_{\lambda'}}\right)^2 R_{\lambda'} \quad (2) \quad (3.51)$$

$$R_{0\varepsilon'} = R_{\varepsilon'} \quad (3) , \quad R_{a'} = R_{b'} = \int_{\varepsilon'} \left(\frac{w}{w_{\varepsilon'}}\right)^2 R_{\varepsilon'} \quad (4)$$

Egalitățile (3.44.2), (3.44.4), (3.45.2), (3.45.4) trebuiesc satisfăcute pentru orice fază și deci:

$$\int_{\nu} \left(\frac{w}{w_\nu}\right)^2 R_\nu = \int_{\lambda} \left(\frac{w}{w_\lambda}\right)^2 R_\lambda ; \quad \int_{\nu} w \left(\frac{w}{w_\nu}\right)^2 R_{\nu w} = \int_{\varepsilon} \left(\frac{w}{w_\varepsilon}\right)^2 R_\varepsilon \quad (3.52)$$

$$\int_{\nu'} \left(\frac{w}{w_{\nu'}}\right)^2 R_{\nu'} = \int_{\lambda'} \left(\frac{w}{w_{\lambda'}}\right)^2 R_{\lambda'} ; \quad \int_{\nu'} w \left(\frac{w}{w_{\nu'}}\right)^2 R_{\nu' w} = \int_{\varepsilon'} \left(\frac{w}{w_{\varepsilon'}}\right)^2 R_{\varepsilon'}$$

adică:

$$\frac{\int_{\nu} R_{\nu}}{w_\nu^2} = \frac{\int_{\lambda} R_\lambda}{w_\lambda^2} ; \quad \frac{\int_{\nu} w R_{\nu w}}{w_\nu^2} = \frac{\int_{\varepsilon} R_\varepsilon}{w_\varepsilon^2} \quad (3.53)$$

$$\frac{\int_{\nu'} R_{\nu'}}{w_{\nu'}^2} = \frac{\int_{\lambda'} R_{\lambda'}}{w_{\lambda'}^2} ; \quad \frac{\int_{\nu'} w R_{\nu' w}}{w_{\nu'}^2} = \frac{\int_{\varepsilon'} R_{\varepsilon'}}{w_{\varepsilon'}^2}$$

Coeficienții  $\int_{\nu}$ ,  $\int_{\nu'}$  în număr de  $m$ , respectiv  $m'$  trebuie să satisfacă ecuațiile:

$$\sum_{\nu=1}^m \beta_{\nu} = 2 ; \quad \sum_{\nu'=1}^{m'} \beta_{\nu'} = 2 ; \quad \sum_{\nu=1}^m \beta_{\nu} \sin 2\theta_{\nu} = 0 ; \quad \sum_{\nu=1}^m \beta_{\nu} \cos 2\theta_{\nu} = 0 \quad (3.54)$$

$$\sum_{\nu=1}^{m'} \beta_{\nu'} \sin 2\theta_{\nu'} = 0 ; \quad \sum_{\nu'=1}^{m'} \beta_{\nu'} \cos 2\theta_{\nu'} = 0$$

ecuații obținute din condiția de echivalență a solenaițiilor.

Coeficienții  $\beta_{\nu w}$ ,  $\beta_{\nu' w}$ , în număr de  $m_1$ , respectiv  $m_1'$  trebuie să satisfacă ecuații, similare:

$$\sum_{\nu w=1}^{m_1'} \beta_{\nu w} = 2 ; \quad \sum_{\nu w=1}^{m_1} \beta_{\nu w} = 2 ; \quad \sum_{\nu w=1}^{m_1} \beta_{\nu w} \sin 2\theta_{\nu w} = 0 , \quad (3.55)$$

$$\sum_{\nu w=1}^{m_1} \beta_{\nu w} \cos 2\theta_{\nu w} = 0 ; \quad \sum_{\nu w=1}^{m_1'} \beta_{\nu w} \sin 2\theta_{\nu w} = 0 ; \quad \sum_{\nu w=1}^{m_1'} \beta_{\nu w} \cos 2\theta_{\nu w} = 0$$

obținute din aceeași condiție de echivalență a solenaițiilor.

### 3.2.4.2. Relațiile dintre inductivitățile celor două magini.

Din definiția inductivităților principale obținem:

$$\frac{L_{ddh}}{L_{\lambda\lambda dh}} = \frac{L_{qqh}}{L_{\lambda\lambda qh}} = \left(\frac{w}{w'}\right)^2 ; \quad \frac{L_{d'd'h}}{L_{\lambda\lambda'd'h}} = \frac{L_{q'q'h}}{L_{\lambda\lambda'q'h}} = \left(\frac{w'}{w}\right)^2 \quad (3.56)$$

Fluxul magnetic total al înfășurării  $\lambda$  este:

$$\Psi_{\lambda} = \Psi_{\lambda h} + \Psi_{\lambda m\sigma} + \Psi_{\lambda\sigma} \quad (3.57)$$

Fluxurile magnetice de dispersie  $\Psi_{\lambda m\sigma}$  și  $\Psi_{\lambda\sigma}$  satisfac ecuațiile de transformare [27]:

$$\Psi_{\lambda m\sigma} = \frac{w\lambda}{w} L_{m\sigma} i_d \cos(\theta - \theta_{\lambda}) - \frac{w\lambda}{w} L_{m\sigma} i_q \sin(\theta - \theta_{\lambda})$$

$$\Psi_{\lambda\sigma} = \Psi_{o\lambda\sigma} + \frac{w\lambda}{w} \left[ \Psi_d \cos(\theta - \theta_{\lambda}) - \Psi_q \sin(\theta - \theta_{\lambda}) \right] \quad (3.58)$$

deoarece s-a admis repartiție sinusoidală și pentru fluxurile magnetice de dispersie  $\Psi_{\lambda\sigma}$ , respectiv de dispersie mutuală  $\Psi_{\lambda m\sigma}$ .

fluxul de dispersie al înfășurării de ordinul  $\lambda$ ,  $\Psi_{\lambda\sigma}$  este:

$$\Psi_{\lambda\sigma} = L_{\lambda\sigma} \cdot i_{\lambda} \quad (3.59)$$

De asemenea, avem următoarele relații între fluxuri, curenți și inductivități:

$$\Psi_{\lambda 0\sigma} = L_{0\lambda} i_{0\lambda}; \quad \Psi_{d\sigma} = L_{d\sigma} i_d; \quad \Psi_{q\sigma} = L_{q\sigma} i_q \quad (3.60)$$

Tinând seama de relațiile de transformare pentru fluxuri și curenți, obținem din (3.59):

$$i_{0\lambda} (L_{\lambda\sigma} - L_{0\lambda}) + i_d \cos(\theta - \theta_\lambda) \left[ \frac{w_\lambda}{w} L_{m\sigma} + \int_{\lambda} \frac{w}{w_\lambda} L_{\lambda\sigma} - \frac{w_\lambda}{w} L_{d\sigma} \right] - i_q \sin(\theta - \theta_\lambda) \left[ \frac{w_\lambda}{w} L_{m\sigma} + \int_{\lambda} \frac{w}{w_\lambda} L_{\lambda\sigma} - \frac{w_\lambda}{w} L_{q\sigma} \right] = 0 \quad (3.61)$$

Relația (3.61) trebuie satisfăcută indiferent de valorile curenților și ale unghiului  $\theta$ , deci fiecare coeficient trebuie să fie zero. Obținem astfel:

$$L_{\lambda\sigma} = L_{0\lambda}; \quad L_{d\sigma} = L_{q\sigma} = L_{m\sigma} + \int_{\lambda} \left( \frac{w}{w_\lambda} \right)^2 L_{\lambda\sigma} \quad (3.62)$$

Relații similare se obțin și pentru inductivitățile corespunzătoare înfășurărilor statorice auxiliare:

$$L_{\varepsilon\sigma} = L_{0\varepsilon}; \quad L_{a\sigma} = L_{b\sigma} = L_{m\sigma} + \int_{\varepsilon} \left( \frac{w}{w_\varepsilon} \right)^2 L_{\varepsilon\sigma} \quad (3.63)$$

ca și pentru cele ale înfășurărilor rotorice:

$$L_{\lambda'\sigma} = L_{0\lambda'}; \quad L_{d'\sigma} = L_{q'\sigma} = L_{m'\sigma} + \int_{\lambda'} \left( \frac{w'}{w_{\lambda'}} \right)^2 L_{\lambda'\sigma} \quad (3.64)$$

$$L_{\varepsilon'\sigma} = L_{0\varepsilon'}; \quad L_{a'\sigma} = L_{b'\sigma} = L_{m'\sigma} + \int_{\varepsilon'} \left( \frac{w'}{w_{\varepsilon'}} \right)^2 L_{\varepsilon'\sigma}$$

Dacă relațiile (3.50) - (3.64) sînt satisfăcute (mașini cu nesimetrie particulară), teoria celor două axe se aplică nemijlocit.

Dacă o mașină electrică are înfășurări repartizare zonal, cu  $w_{\lambda_2}$  spire pe fază, mașina corespunzătoare cu înfășurări repartizate sinusoidal (se ține seama numai de armonicile fundamentale de spațiu ale inducției magnetice și solenație) are  $w_\lambda$  spire pe faza  $\lambda$ , între  $w_\lambda$  și  $w_{\lambda_2}$  existînd relația:

$$w_\lambda = \frac{4}{\pi} \int_0^{\pi} w_{\lambda_2} \quad (3.65)$$

### 3.2.5. Ecuatiile mașinii echivalente

Ecuatiile ansamblului stator-rotor, în care fluxurile se reprezintă prin intermediul inductivităților proprii și mutuale sînt următoarele:

$$\begin{aligned}
 u_d &= -R_d i_d - \frac{d\psi_d}{dt} + \psi_q \frac{d\theta}{dt} & ; & \quad u_{d'} = -R_{d'} i_{d'} - \frac{d\psi_{d'}}{dt} \\
 u_q &= -R_q i_q - \frac{d\psi_q}{dt} - \psi_d \frac{d\theta}{dt} & ; & \quad u_{q'} = -R_{q'} i_{q'} - \frac{d\psi_{q'}}{dt} \\
 u_{o\lambda} &= -R_{o\lambda} i_{o\lambda} - \frac{d\psi_{o\lambda}}{dt} & ; & \quad u_{o\lambda'} = -R_{o\lambda'} i_{o\lambda'} - \frac{d\psi_{\lambda'}}{dt} \\
 0 &= R_a i_a + \frac{d\psi_a}{dt} + \psi_b \frac{d\theta}{dt} & ; & \quad 0 = R_{a'} i_{a'} + \frac{d\psi_{a'}}{dt} \\
 0 &= R_b i_b + \frac{d\psi_b}{dt} + \psi_a \frac{d\theta}{dt} & ; & \quad 0 = R_{b'} i_{b'} + \frac{d\psi_{b'}}{dt} \quad (3.66) \\
 0 &= R_{o\varepsilon} i_{o\varepsilon} + \frac{d\psi_{o\varepsilon}}{dt} & ; & \quad 0 = R_{o\varepsilon'} i_{o\varepsilon'} + \frac{d\psi_{o\varepsilon'}}{dt} \\
 \psi_{\gamma} &= L_{d\gamma} i_d + L_{a\gamma} i_a + L_{d\gamma} i_{d'} + L_{a\gamma} i_{a'} \quad \gamma = d, a, d', a' \\
 \psi_{\alpha} &= L_{q\alpha} i_q + L_{b\alpha} i_b + L_{q\alpha} i_{q'} + L_{b\alpha} i_{b'} \quad \alpha = q, b, q', b' \\
 \psi_{o\lambda} &= L_{o\lambda} i_{o\lambda} & \quad \psi_{o\lambda'} &= L_{o\lambda'} i_{o\lambda'} \\
 \psi_{o\varepsilon} &= L_{o\varepsilon} i_{o\varepsilon} & \quad \psi_{o\varepsilon'} &= L_{o\varepsilon'} i_{o\varepsilon'}
 \end{aligned}$$

La aceste ecuații se adaugă și ecuația mișcării:

$$M_{mec} + M = \frac{1}{p} \cdot \frac{d}{dt} \left( J \frac{d\theta}{dt} \right) \quad (3.67)$$

în care mărimile sînt cele precizate în capitolul 2.

Momentul electromagnetic  $M$  se determină din energia magne-

tică a mașinii  $W_m$  :

$$M = p \left( \frac{\partial W_m}{\partial \theta} \right)_{i=\text{const.}} \quad (3.68)$$

Mașina echivalentă are aceeași energie magnetică  $W_m$  ca și mașina reală. Deci:

$$W_m = \frac{1}{2} \left[ \psi_d i_d + \psi_q i_q + \psi_a i_a + \psi_b i_b + \sum_{\lambda=1}^m \psi_{o\lambda} i_{o\lambda} + \sum_{\varepsilon=1}^{m'} \psi_{o\varepsilon} i_{o\varepsilon} + \right. \\ \left. + \psi_d^* i_d^* + \psi_q^* i_q^* + \psi_a^* i_a^* + \psi_b^* i_b^* + \sum_{\lambda=1}^{m'} \psi_{o\lambda}^* i_{o\lambda}^* + \sum_{\varepsilon=1}^{m'} \psi_{o\varepsilon}^* i_{o\varepsilon}^* \right] \quad (3.69)$$

Înlocuind expresia energiei magnetice  $W_m$  dată de relația (3.69) în expresia momentului electromagnetic (3.68) și aplicînd regulile de derivare în raport cu unghiul  $\theta$  se obține pentru mărimile din stator:

$$\frac{\partial i_d}{\partial \theta} = i_q ; \quad \frac{\partial i_a}{\partial \theta} = i_b ; \quad \frac{\partial i_q}{\partial \theta} = -i_d ; \quad \frac{\partial i_b}{\partial \theta} = -i_a$$

$$\frac{\partial \psi_d}{\partial \theta} = L_{dd} i_q + L_{ad} i_b ; \quad \frac{\partial \psi_a}{\partial \theta} = L_{da} i_q + L_{aa} i_b \quad (3.70)$$

$$\frac{\partial \psi_q}{\partial \theta} = -L_{qq} i_d - L_{bq} i_a ; \quad \frac{\partial \psi_b}{\partial \theta} = -L_{qb} i_d - L_{bb} i_a$$

$$\frac{\partial}{\partial \theta} \left[ \sum_{\lambda=1}^m \psi_{o\lambda} i_{o\lambda} \right] = 0 ; \quad \frac{\partial}{\partial \theta} \left[ \sum_{\varepsilon=1}^{m'} \psi_{o\varepsilon} i_{o\varepsilon} \right] = 0$$

iar pentru mărimile din rotor:

$$\frac{\partial i_d^*}{\partial \theta} = 0 ; \quad \frac{\partial i_a^*}{\partial \theta} = 0 ; \quad \frac{\partial i_q^*}{\partial \theta} = 0 ; \quad \frac{\partial i_b^*}{\partial \theta} = 0$$

$$\frac{\partial \psi_d^*}{\partial \theta} = L_{dd}^* i_q^* + L_{ad}^* i_b^* ; \quad \frac{\partial \psi_a^*}{\partial \theta} = L_{da}^* i_q^* + L_{aa}^* i_b^* \quad (3.71)$$

$$\frac{\partial \psi_q^*}{\partial \theta} = -L_{qq}^* i_d^* - L_{bq}^* i_a^* ; \quad \frac{\partial \psi_b^*}{\partial \theta} = -L_{qb}^* i_d^* - L_{bb}^* i_a^*$$

$$\frac{\partial}{\partial \theta} \left[ \sum_{\lambda, \lambda'}^{m'} \psi_{0\lambda'0\lambda'} \right] = 0 \quad ; \quad \frac{\partial}{\partial \theta} \left[ \sum_{\varepsilon, \varepsilon'}^{m'} \psi_{0\varepsilon'0\varepsilon'} \right] = 0$$

Deci derivata energiei magnetice în raport cu unghiul  $\theta$ , pentru curent constant va fi:

$$\begin{aligned} \frac{\partial W_m}{\partial \theta} = & \psi_d i_q + \psi_a i_b - \psi_q i_d - \psi_b i_a + \frac{1}{2} \left[ i_a i_q (L_{da} - L_{ad}) + i_q i_d \cdot \right. \\ & (L_{dd} - L_{d \cdot d}) + i_q i_a \cdot (L_{da} - L_{a \cdot d}) + i_b i_d (L_{bd} - L_{d \cdot b}) + i_d i_b (L_{ud} - L_{d \cdot a}) \\ & + i_b i_a \cdot (L_{aa} - L_{a \cdot a}) - i_d i_b (L_{qb} - L_{b \cdot q}) - i_d i_q \cdot (L_{qq} - L_{q \cdot q}) - i_d i_b \cdot \\ & \left. + (L_{qb} - L_{b \cdot q}) - i_a i_q (L_{bq} - L_{q \cdot b}) - i_a i_q \cdot (L_{bq} - L_{q \cdot b}) - i_a i_b \cdot (L_{bb} - L_{b \cdot b}) \right] \end{aligned} \quad (3.72)$$

Dacă sînt îndeplinite condițiile:

$$L_{da} = L_{ad}; \quad L_{dd} = L_{d \cdot d}; \quad L_{d \cdot a} = L_{a \cdot d}; \quad L_{ad} = L_{d \cdot a}; \quad L_{aa} = L_{a \cdot a} \quad (3.73)$$

$$L_{qb} = L_{b \cdot q}; \quad L_{qq} = L_{q \cdot q}; \quad L_{qb} = L_{b \cdot q}; \quad L_{b \cdot q} = L_{q \cdot b}; \quad L_{bb} = L_{b \cdot b}$$

atunci expresia momentului electromagnetic este:

$$M = p \left[ \psi_d i_q + \psi_a i_b - \psi_q i_d - \psi_b i_a \right] \quad (3.74)$$

Din expresia momentului electromagnetic se observă că datorită pierderilor în fier este posibil să existe moment electromagnetic și atunci cînd înfăgurările principale sînt deschise.

Ecuatiile (3.66), (3.67) și (3.74) descriu comportarea mașinii echivalente, avînd  $2(m+m_1+m_2+m_3)+9$  ecuații și tot atitea necunoscute:  $i_d, i_q, i_a, i_b, \psi_d, \psi_q, \psi_a, \psi_b, \theta, i_{0d}, \psi_{0d}, i_{0\varepsilon}, \psi_{0\varepsilon}, i_d', i_q', i_a', i_b', \psi_d', \psi_q', \psi_a', \psi_b', i_{0\lambda'}, \psi_{0\lambda'}, i_{0\varepsilon'}, \psi_{0\varepsilon}'$ . Cu ecuațiile de transformare se poate determina apoi dependența în raport cu timpul a mărimilor mașinii reale.

3.3. Ecuatiile mașinii electrice simetrice la repartiția sinusoidală a inducției magnetice în lungul pasului polar (teoria celor două axe) - fără considerarea pierderilor în fier.

Ecuatiile mașinii electrice simetrice la repartiția sinusoidală a inducției magnetice în lungul pasului polar, fără considerarea pierderilor în fier, sînt cunoscute în literatura de specialitate [24], [46], [18], etc.

Ele pot fi obținute din sistemul de ecuații (3.60), considerînd că înfășurările auxiliare sînt deschise, deci  $R_a, R_b, R_{a'}, R_{b'} \rightarrow \infty$ , iar curenții care le străbat, respectiv  $i_a, i_b, i_{a'}, i_{b'}$  sînt zero.

În acest caz, ecuațiile de transformare a mărimilor statorice, au aceeași formă cu ecuațiile de transformare a mărimilor corespunzătoare înfășurărilor principale din mașina echivalentă cu considerarea pierderilor în fier.

Ecuatiile mașinii echivalente sînt în acest caz [24]:

$$\begin{aligned}
 u_d &= -R_d i_d - \frac{d\psi_d}{dt} + \psi_q \frac{d\theta}{dt}; & u_{d'} &= -R_{d'} i_{d'} - \frac{d\psi_{d'}}{dt} \\
 u_q &= -R_q i_q - \frac{d\psi_q}{dt} - \psi_d \frac{d\theta}{dt}; & u_{q'} &= -R_{q'} i_{q'} - \frac{d\psi_{q'}}{dt} \\
 u_{o\lambda} &= -R_{o\lambda} i_{o\lambda} - \frac{d\psi_{o\lambda}}{dt}; & u_{o\lambda'} &= -R_{o\lambda'} i_{o\lambda'} - \frac{d\psi_{o\lambda'}}{dt} \\
 \psi_d &= L_{dd} i_d + L_{d'a} i_{d'}; & \psi_{d'} &= L_{d'd} i_d + L_{d'a'} i_{d'} \\
 \psi_q &= L_{qq} i_q + L_{q'a} i_{q'}; & \psi_{q'} &= L_{q'q} i_q + L_{q'a'} i_{q'} \\
 \psi_{o\lambda} &= L_{o\lambda} i_{o\lambda}; & \psi_{o\lambda'} &= L_{o\lambda'} i_{o\lambda'}
 \end{aligned} \tag{3.75}$$

expresia cuplului electromagnetic devine:

$$M = p(\psi_d i_q - \psi_q i_d)$$

iar ecuația mișcării este :

$$M_{\text{mec}} + p (\Psi_d i_q - \Psi_q i_d) = \frac{J}{p} \frac{d^2 \theta}{dt^2} \quad (3.77)$$

Ecuațiile (3.75), (3.76); (3.77) descriu comportarea mașinii echivalente, având  $2(m+m')+9$  ecuații și tot atâtea necunoscute: curenții  $i_d, i_q, i_d', i_q', i_{o\lambda}, i_{o\lambda}'$ , fluxurile  $\Psi_d, \Psi_q, \Psi_d', \Psi_q', \Psi_{o\lambda}, \Psi_{o\lambda}'$  și unghiul  $\theta$ .



#### 4. REZOLVAREA ECUATIILOR MASINILOR ELECTRICE DE CURENT ALTERNATIV DIN TEORIA CELOR DOUA AXE

##### 4.1. Considerații generale

Sistemul de ecuații diferențiale (3.66), la care se atașează ecuația mișcării (3.67) este un sistem de ecuații neliniare. Soluționarea sistemelor de ecuații diferențiale neliniare este o problemă dificilă și nu există metode generale de rezolvare [72]. Analiza matematică a proceselor tranzitorii necesită rezolvarea acestui sistem de ecuații diferențiale [46].

În cazul ecuațiilor neliniare, este necesar să se aplice metode aproximative: metoda diferențelor finite, metoda de aproximare Runge-kutta [72].

Dacă în cursul fenomenelor viteza de rotație a mașinii nu se modifică de loc sau variațiile sînt atît de mici încît, practic ea poate fi considerată constantă, atunci ecuațiile din sistemul (3.66) pot fi considerate liniare și ele se vor rezolva aplicîndu-se metode operaționale. Prin urmare, considerînd că viteza  $\omega = d\theta/dt$  este constantă, dar curenții și tensiunile au o variație oarecare, în timp, se poate utiliza calculul operațional.

##### 4.2. Rezolvarea ecuațiilor mașinilor electrice de curent alternativ, din teoria celor două axe, cu considerația pierderilor în fier, aplicînd calculul operațional

Admițînd ipoteza că viteza  $\omega = d\theta/dt$  este constantă, sistemul de ecuații diferențiale (3.66) se transformă într-un sistem de ecuații algebrice în care intervin funcțiile imagine ale curenților, tensiunilor, fluxurilor, precum și impedanțe sau admitanțe operaționale.

Deoarece ecuația integrală a lui Carson (4.1)

$$\tilde{f}(p) = p \int_0^{\infty} f(t) e^{-pt} dt \quad (4.1)$$

intervine în mod natural în studiul circuitelor electrice, iar funcțiile imagine din transformarea lui Carson păstrează dimensiunile fizice ale mărimilor originale, vom folosi în continuare această transformare. Funcția imagine se scrie cu semnul "  $\sim$  "

pus deasupra, iar valoarea inițială a funcției origine se scrie cu literă mare.

4.2.1. Exprimarea în operațional a ecuațiilor

Aplicind regulile de analiză simbolică sistemului de ecuații (3.66) se obțin expresiile corespunzătoare în operațional:

$$\begin{aligned}
 \tilde{u}_d &= -R_d \tilde{i}_d - p(\tilde{\Psi}_d - \Psi_d) + \omega \tilde{\Psi}_q; \quad \tilde{u}_d' = -R_d \tilde{i}_d' - p(\tilde{\Psi}_d' - \Psi_d') \\
 \tilde{u}_q &= -R_q \tilde{i}_q - p(\tilde{\Psi}_q - \Psi_q) - \omega \tilde{\Psi}_d; \quad \tilde{u}_q' = -R_q \tilde{i}_q' - p(\tilde{\Psi}_q' - \Psi_q') \\
 \tilde{u}_{o\lambda} &= -R_{o\lambda} \tilde{i}_{o\lambda} - p(\tilde{\Psi}_{o\lambda} - \Psi_{o\lambda}); \quad u_{o\lambda}' = -R_{o\lambda}' \tilde{i}_{o\lambda}' - p(\tilde{\Psi}_{o\lambda}' - \Psi_{o\lambda}') \\
 0 &= R_a \tilde{i}_a + p(\tilde{\Psi}_a - \Psi_a) - \omega \tilde{\Psi}_b; \quad 0 = R_a \tilde{i}_a' + p(\tilde{\Psi}_a' - \Psi_a') \\
 0 &= R_b \tilde{i}_b + p(\tilde{\Psi}_b - \Psi_b) + \omega \tilde{\Psi}_a; \quad 0 = R_b \tilde{i}_b' + p(\tilde{\Psi}_b' - \Psi_b') \\
 0 &= R_{o\lambda} \tilde{i}_{o\lambda} + p(\tilde{\Psi}_{o\lambda} - \Psi_{o\lambda}); \quad 0 = R_{o\lambda}' \tilde{i}_{o\lambda}' + p(\tilde{\Psi}_{o\lambda}' - \Psi_{o\lambda}') \\
 \tilde{\Psi}_d &= L_{d\alpha} \tilde{i}_d + L_{a\alpha} \tilde{i}_a + L_{d\alpha} \tilde{i}_d' + L_{a\alpha} \tilde{i}_a'; \quad \alpha = d, a, d', a' \\
 \tilde{\Psi}_q &= L_{q\alpha} \tilde{i}_q + L_{b\alpha} \tilde{i}_b + L_{q\alpha} \tilde{i}_q' + L_{b\alpha} \tilde{i}_b'; \quad \alpha = q, b, q', b' \\
 \tilde{\Psi}_{o\lambda} &= L_{o\lambda} \tilde{i}_{o\lambda}; \quad \tilde{\Psi}_{o\lambda}' = L_{o\lambda}' \tilde{i}_{o\lambda}'; \quad \tilde{\Psi}_{o\lambda} = L_{o\lambda} \tilde{i}_{o\lambda}; \quad \tilde{\Psi}_{o\lambda}' = L_{o\lambda}' \tilde{i}_{o\lambda}'
 \end{aligned} \tag{4.2}$$

Înlocuind în ecuațiile tensiunilor imaginile fluxurilor și ordonând după imaginile curenților  $\tilde{i}_d, \tilde{i}_a, \tilde{i}_d', \tilde{i}_a', \tilde{i}_q, \tilde{i}_b, \tilde{i}_q', \tilde{i}_b'$ , se obțin:

$$\begin{aligned}
 \tilde{u}_d &= -(R_d + pL_{dd}) \tilde{i}_d - pL_{ad} \tilde{i}_a - pL_{d,d'} \tilde{i}_d' - pL_{a,d'} \tilde{i}_a' + \omega (L_{dq} \tilde{i}_q + L_{bq} \tilde{i}_b + \\
 &\quad + L_{q,q'} \tilde{i}_q' + L_{b,q'} \tilde{i}_b') + p \Psi_d \\
 0 &= pL_{da} \tilde{i}_d + (R_a + pL_{aa}) \tilde{i}_a + pL_{d,a'} \tilde{i}_d' + pL_{a,a'} \tilde{i}_a' - \omega (L_{qb} \tilde{i}_q + L_{bb'} \tilde{i}_b' + \\
 &\quad + L_{q,b'} \tilde{i}_q' + L_{b,b'} \tilde{i}_b') - p \Psi_a \\
 \tilde{u}_d' &= -pL_{dd'} \tilde{i}_d' - pL_{ad'} \tilde{i}_a' - (R_d' + pL_{d,d'}) \tilde{i}_d' - pL_{a,d'} \tilde{i}_a' + p \Psi_d'
 \end{aligned} \tag{4.3}$$

$$\begin{aligned}
 0 &= pL_{da} \tilde{i}_d + pL_{aa} \tilde{i}_a + pL_{d'a'} \tilde{i}_{d'} + (R_{a'} + pL_{a'a'}) \tilde{i}_{a'} - p\psi_{a'} \\
 \tilde{u}_q &= -\omega(L_{dd} \tilde{i}_d + L_{ad} \tilde{i}_a + L_{d'd'} \tilde{i}_{d'} + L_{a'd'} \tilde{i}_{a'}) - (R_q + pL_{qq}) \tilde{i}_q - pL_{bq} \tilde{i}_b - \\
 &\quad - pL_{q'q'} \tilde{i}_{q'} - pL_{b'q'} \tilde{i}_{b'} + p\psi_q \\
 0 &= \omega(L_{da} \tilde{i}_d + L_{aa} \tilde{i}_a + L_{d'a'} \tilde{i}_{d'} + L_{a'a'} \tilde{i}_{a'}) + pL_{qb} \tilde{i}_q + (R_b + pL_{bb}) \tilde{i}_b + \\
 &\quad + pL_{q'b'} \tilde{i}_{q'} + pL_{b'b'} \tilde{i}_{b'} - p\psi_b \\
 \tilde{u}_{q'} &= -pL_{qq'} \tilde{i}_q - pL_{bq'} \tilde{i}_b - (R_{q'} + pL_{q'q'}) \tilde{i}_{q'} - pL_{b'q'} \tilde{i}_{b'} + p\psi_{q'} \\
 0 &= pL_{qb} \tilde{i}_q + pL_{bb} \tilde{i}_b + pL_{q'b'} \tilde{i}_{q'} + (R_{b'} + pL_{b'b'}) \tilde{i}_{b'} - p\psi_{b'} \\
 \tilde{u}_{o\lambda} &= -(R_{o\lambda} + pL_{o\lambda}) \tilde{i}_{o\lambda} + p\psi_{o\lambda} ; \quad \tilde{u}_{o\lambda'} = -(R_{o\lambda'} + pL_{o\lambda'}) \tilde{i}_{o\lambda'} + p\psi_{o\lambda'} \\
 0 &= (R_{o\varepsilon} + pL_{o\varepsilon}) \tilde{i}_{o\varepsilon} - p\psi_{o\varepsilon} ; \quad 0 = (R_o + pL_o) \tilde{i}_o - p\psi_{o\varepsilon'}
 \end{aligned} \tag{4.3}$$

Sînt 12 ecuații cu 12 necunoscute și anume: imaginile curenților  $i_\lambda, i_{o\lambda}, i_{o\lambda'}, i_{o\varepsilon}, i_{o\varepsilon'}$  ( $\lambda = d, a, d', a', q, b, q', b'$ ). Ultimei patru curenți se obțin din ultimele patru ecuații ale sistemului, fiind independenți de imaginile  $\tilde{i}_\lambda$  ale curenților. Deci:

$$\begin{aligned}
 \tilde{i}_{o\lambda} &= \frac{p\psi_{o\lambda} - \tilde{u}_{o\lambda}}{R_{o\lambda} + pL_{o\lambda}} ; & \tilde{i}_{o\lambda'} &= \frac{p\psi_{o\lambda'} - \tilde{u}_{o\lambda'}}{R_{o\lambda'} + pL_{o\lambda'}} \\
 \tilde{i}_{o\varepsilon} &= \frac{p\psi_{o\varepsilon}}{R_{o\varepsilon} + pL_{o\varepsilon}} ; & \tilde{i}_{o\varepsilon'} &= \frac{p\psi_{o\varepsilon'}}{R_{o\varepsilon'} + pL_{o\varepsilon'}}
 \end{aligned} \tag{4.3'}$$

Pentru a obține imaginile celorlalți opt curenți, trebuie rezolvat sistemul format cu primele opt ecuații ale lui (4.2).

#### 4.2.2. Rezolvarea ecuațiilor transpuse în imagini

(\*) Împărțind ecuațiile densiunilor pentru înfășurările din axele  $d, a, d', a'$  cu produsul dintre  $p$  și inductivitatea principa-

lă după axa  $d$ ,  $L_{ddh}$ , respectiv pentru înfăşurările din axele  $q, b, q', b'$  cu produsul dintre  $p$  şi inductivitatea principală după axa  $q$ ,  $L_{qqh}$ , şi introducând următoarele notaţii:

$$\begin{aligned} \tilde{V}_{\nu\lambda} &= \frac{L_{\nu\lambda}}{L_{ddh}} \quad (\nu, \lambda = d, a, d', a') & \tilde{\eta}_{\alpha\beta} &= \frac{L_{\alpha\beta}}{L_{qqh}} \quad (\alpha, \beta = q, b, q', b') \\ T_{\nu} &= \frac{L_{\nu k}}{R k} \quad (k = d, a, d', a', q, b, q', b') & k &= \frac{L_{ddh}}{L_{qqh}} \end{aligned} \quad (4.4)$$

$$\tilde{V}'_{\nu} = \tilde{V}_{\nu} \left(1 + \frac{1}{pT_{\nu}}\right) \quad (\nu = d', a, d', a') \quad \tilde{\eta}'_{\alpha\alpha} = \tilde{\eta}_{\alpha\alpha} \left(1 + \frac{1}{pT_{\alpha}}\right) \quad (\alpha = q', b, q', b')$$

obţinem un sistem de ecuaţii liniare în raport cu imaginile  $i$  ale curenţilor.

Notînd cu  $\Delta_D$  determinantul principal al sistemului şi rezolvîndu-l prin transformarea lui în sumă de produse de determinanţi de ordinul 4, (se obţine:

$$\Delta_D = \frac{1}{p^6} \sum_{\alpha=0}^8 C_{D\alpha} \omega^{\alpha} \quad (4.5)$$

Coeficienţii  $C_{D\alpha}$  sînt polinoame de gradul 4 în  $\omega$ :

$$C_{D\alpha} = C_{D\alpha 0} + C_{D\alpha 2} \cdot \omega^2 + C_{D\alpha 4} \cdot \omega^4 \quad (4.6)$$

în care  $C_{D\alpha 0}$ ,  $C_{D\alpha 2}$ ,  $C_{D\alpha 4}$  sînt constante cedepind numai de rapoar-tele  $\tilde{V}_{\nu}$ ,  $\tilde{\eta}_{\alpha\beta}$  în care  $\nu, k = d, a, d', a'$  şi  $\alpha, \beta = q, b, q', b'$ .

(De remarcat că:  $C_{D\alpha 2} = 0$  pentru  $\alpha = 0, 7$ ;  $C_{D\alpha 2} \neq 0$  pt.  $\alpha = 0, 1, \dots, 6$

$C_{D\alpha 4} = 0$  pentru  $\alpha = 0, 7, 6, 5$ ;  $C_{D\alpha 4} \neq 0$  pentru  $\alpha = 0, 1, 2, 3, 4$

Notînd cu  $\Delta_{\nu}$  determinantul obţinut în determinantul principal al sistemului, prin înlocuirea coloanei  $k$  cu expresiile termenilor liberi şi rezolvîndu-l obţinem:

$$\tilde{i}_{\nu} = \frac{\Delta_{\nu}}{\Delta_D} \quad k = d, q, a, b, d', q', a', b' \quad (4.7)$$

Dacă dezvoltăm determinantul  $\Delta_{\nu}$  după coloana  $k$  (coloana

ce conține termenii liberi) se obține:

$$\tilde{i}_\mu = \sum_{\alpha} \tilde{Y}_{\alpha\mu}(p) \tilde{u}_\alpha + \sum_{\nu} \tilde{G}_{\nu\mu}(p) \tilde{\gamma}_\nu \quad (4.8)$$

în care:  $(\mu, \nu) = d, a, q, b, d', q', a', b'$ ;  $\alpha = d, q, d', q'$ , iar  $\tilde{Y}_{\alpha\mu}(p)$  și  $\tilde{G}_{\nu\mu}(p)$  sînt parametrii operaționali, care reprezintă coeficienții tensiunilor înfășurărilor din axele  $d, q, d', q'$  și respectiv valorile inițiale ale fluxurilor, coeficienți obținuți prin dezvoltarea determinantului  $\Delta_\mu$  după coloana corespunzătoare termenilor liberi.

Al doilea termen care intervine în membrul drept al relației (4.8) poate fi considerat ca valoare inițială a curentului  $i_\mu$  și prin urmare:

$$\tilde{i}_\mu = \sum_{\alpha} \tilde{Y}_{\alpha\mu}(p) \tilde{u}_\alpha + I_\mu(p) \quad (4.9)$$

Mărimile  $\tilde{Y}_{\alpha\mu}(p)$  din expresiile imaginilor curenților au dimensiuni de admitanțe și din acest motiv pot fi denumite admitanțe operaționale. Admitanțele operaționale se obțin rezolvînd sistemul de ecuații în operațional, considerînd cunoscute tensiunile și valorile inițiale ale fluxurilor magnetice după axele  $d, q, a, b, d', q', a', b'$  (anexa 4.1).

Admitanțele operaționale sînt fracții raționale în raport cu  $p$ , constituite dintr-un raport de două polinoame în  $p$  de ordinul 8 (numitor) și respectiv mai mic sau egal cu 8 (numărător), cele două polinoame avînd coeficienți de forma (4.6).

Dacă însă rezolvăm sistemul de ecuații (4.2) considerînd cunoscute imaginile curenților  $\tilde{i}_d, \tilde{i}_q$ , a tensiunilor  $\tilde{u}_d, \tilde{u}_q$ , precum și valorile inițiale ale fluxurilor  $\tilde{\gamma}_\mu$  și dacă notăm cu  $\Delta'$  determinantul sistemului astfel obținut, atunci vom obține funcțiile imagine ale curenților  $\tilde{i}_\xi$  ( $\xi = a, b, d', q', a', b'$ ) în funcție numai de  $\tilde{i}_d, \tilde{i}_q, \tilde{u}_d, \tilde{u}_q$  și valorile inițiale ale fluxurilor  $\tilde{\gamma}_\xi$  (anexa 4.2).

Notînd cu  $\Delta_\xi$  determinantul ce se obține din determinantul principal al sistemului  $\Delta'$ , prin eliminarea coloanei  $\xi$ , și înlocuirea ei cu coloana termenilor liberi, atunci funcția imagine a curentului  $\tilde{i}_\xi$  va fi:

$$\tilde{i}_\xi = \Delta_\xi / \Delta' = A_{d\xi} \tilde{i}_d + A_{q\xi} \tilde{i}_q + B_{d\xi} \tilde{u}_d + B_{q\xi} \tilde{u}_q + I_\xi \quad (4.10)$$

ier  $I_{\varphi}$  va fi de forma:

$$I_{\varphi} = \sum_{\delta} Q_{\delta} \mathcal{Y}_{\delta} \quad \text{unde } \delta = a, b, d', q', a', b' \quad (4.11)$$

Mărimile  $I_{\varphi}$  depind numai de valorile inițiale ale fluxurilor și, în raport cu imaginile curenților și tensiunilor, îndeplinesc rolul unor constante.

Imaginile fluxurilor înfășurărilor  $d, a, q$  și  $b$  se exprimă sub forma:

$$\tilde{\Psi}_{\mu} = L_{d\mu}(p) \tilde{i}_d + L_{q\mu}(p) \tilde{i}_q + G_{d\mu}(p) \tilde{u}_d + G_{q\mu}(p) \tilde{u}_q + F_{\mu} \quad (4.12)$$

cu  $\mu = d, a, q, b$

Mărimile  $L(p)$  și  $G(p)$  sînt parametrii operaționali ai mașinii, în cazul considerării pierderilor în fier. Mărimile  $F(p)$  depind numai de valorile inițiale ale fluxurilor și - la fel ca și  $I_{\varphi}$  - îndeplinesc, în raport cu imaginile curenților și ale tensiunilor, rolul unor constante.

Se remarcă faptul că atât determinantul principal  $\Delta$  al sistemului (4.2), cit și cel  $\Delta'$  al aceluiași sistem, se exprimă sub forma unui raport între un polinom de gradul 8, respectiv 6, în  $p$  și  $p^8$ , determinarea lor în continuare, sub forma laterală a expresiilor mărimilor care intervin, neputînd fi făcută decît în cazuri particulare. Din acest motiv, determinarea expresiilor în funcție de timp ale diferitelor mărimi variabile în cazul considerării pierderilor în fier, se poate face numai numeric, în situații concrete.

Între admitanțele operaționale  $\mathcal{Y}(p)$  și parametrii operaționali  $L(p), G(p), F(p)$  există relații de legătură, care se stabilesc prin calcularea imaginilor curenților, utilizînd pe cele ale fluxurilor.

Prin urmare, calculînd funcțiile originale, se poate calcula cuplul dezvoltat în mașină în regim tranzitoriu și, prin urmare, se cunoaște funcționarea mașinii.

#### 4.2.3. Rezolvarea ecuațiilor mașinilor de curent alternativ, din teoria celor două axe, fără considerarea pierderilor în fier, aplicînd calculul operațional

În acest caz, sistemul de ecuații diferențiale (4.1) scris în operațional devine:

$$\begin{aligned} \tilde{u}_d &= -K_d \tilde{i}_d - p(\tilde{\psi}_d - \tilde{\gamma}_d) + \omega \tilde{\psi}_q ; \tilde{u}_d = -K_d \tilde{i}_d - p(\tilde{\psi}_d - \tilde{\gamma}_d) \\ \tilde{u}_q &= -R_q \tilde{i}_q - p(\tilde{\psi}_q - \tilde{\gamma}_q) - \omega \tilde{\psi}_d ; \tilde{u}_q = -R_q \tilde{i}_q - p(\tilde{\psi}_q - \tilde{\gamma}_q) \end{aligned} \quad (4.13)$$

$$\begin{aligned} \tilde{\psi}_d &= L_{dd} \tilde{i}_d + L_{d \cdot d} \tilde{i}_q \\ \tilde{\psi}_q &= L_{dd} \tilde{i}_d + L_{d \cdot d} \tilde{i}_q \\ \tilde{\psi}_q &= L_{qq} \tilde{i}_q + L_{q \cdot q} \tilde{i}_d \\ \tilde{\psi}_q &= L_{qq} \tilde{i}_q + L_{q \cdot q} \tilde{i}_q \end{aligned}$$

Introducînd și în acest sistem notațiile anterioare și rezolvîndu-l în raport cu imaginile curenților  $i_d, i_q, i_d, i_q$ , se obțin expresiile imaginilor curenților de forma:

$$i_q = Y_{qk}(p) \cdot u_k(p) + I_q \quad \text{cu } q, k = d, d', q, q' \quad (4.14)$$

în care mărimea  $I_q$  joacă rolul unei constante în raport cu imaginea curenților  $i_q$ , iar  $Y_{qk}(p)$  reprezintă admitanțele operaționale. Admitanțele operaționale sînt rapoarte de polinoame de gradul 4 în  $p$  la numitor, respectiv de gradul 3 în  $p$  la numărător și prin urmare rezolvarea ecuațiilor în continuare poate fi făcută numai numeric, pentru cazuri concrete.

Desigur că, în acest caz, problema se simplifică față de cazul considerării pierderilor în fier, deoarece se reduce numărul de ecuații ce trebuie rezolvat.

#### 4.2.4. Concluzii

Aplicarea calculului operațional la studiul regimurilor tranzitorii se poate face numai dacă viteza  $\omega$  variază lent în timp, deci ea - pe porțiuni - poate fi considerată constantă. Această ipoteză, limitează posibilitățile de aplicare a calculului operațional la studiul regimurilor tranzitorii din cazul mașinilor de inducție din sistemele eoliene.

În plus, rezolvarea sistemului de ecuații în operațional (4.3), respectiv (4.13), conduce la calcule laborioase. Parametrii operaționali ai mașinii  $Y(p), G(p), F(p)$  pot fi determinați,

în cazul general, dar obținerea funcției originale se poate face numai numeric, în cazuri concrete, deoarece revine la a soluționa ecuații lineare de grad mai mare decât 4.

#### 4.3. Metode numerice pentru rezolvarea ecuațiilor masinilor de curent alternativ

##### 4.3.1. Considerații generale

Metodele numerice de integrare a sistemelor de ecuații diferențiale se bazează pe un procedeu pas cu pas, pe baza căruia soluția se obține sub forma unui șir de valori ale variabilelor corespunzătoare diferitelor valori ale timpului  $t$ , plecând de la valoarea inițială a soluției [72].

Există două tipuri de metode numerice: metodele multiple, în care soluția este dată pe baza informațiilor de la mai mulți pași anteriori, și metodele pas cu pas sau unipas, care au informații numai din pasul imediat anterior și, eventual, din intervalul pasului considerat. [4].

Metodele unipas (pas cu pas) prezintă avantaje față de metodele multiple, printre ele fiind: posibilitatea folosirii pasului variabil și startul nemijlocit, pe baza condițiilor inițiale [4]. În ceea ce privește dezavantajele, acestea provin, în general, din complexitatea mai mare a calculelor pentru deducerea algoritmilor respectivi și din expresiile destul de complicate ale algoritmului, ceea ce face ca aplicarea pe ordinator a metodelor pas cu pas să ceară timpi de calcul superiori față de metodele multiple.

O metodă numerică este cu atât adecvată cu cât eroarea ei la fiecare iterație (eroarea de metodă) este mai mică. Afirmatia este adevărată numai dacă metoda este și stabilă sau, cu alte cuvinte, numai dacă mecanismul de propagare a erorilor poate fi ținut sub control. Convergența metodei este asigurată dacă aceasta este consistentă și stabilă [73].

Printre metodele numerice prezentate în literatura de specialitate, metodele de tip Runge-Kutta sînt cele mai utilizate atât în rezolvarea ecuațiilor diferențiale, cît și a sistemelor de ecuații diferențiale.



4.3.2. Metode de tip Runge-Kutta

Fie un sistem de ecuații diferențiale scris sub formă matricială (4.14):

$$\frac{d[X(x)]}{dx} = f(x, [X]) \quad (4.14)$$

în care:

$$[X] = \begin{bmatrix} [X^{(1)}(x)] \\ [X^{(2)}(x)] \\ \vdots \\ [X^{(m)}(x)] \end{bmatrix}, \quad f(x, [X]) = \begin{bmatrix} f^1(x, [X^{(1)}(x)], [X^{(2)}(x)], \dots, [X^{(m)}(x)]) \\ f^2(x, [X^{(1)}(x)], [X^{(2)}(x)], \dots, [X^{(m)}(x)]) \\ \vdots \\ f^m(x, [X^{(1)}(x)], [X^{(2)}(x)], \dots, [X^{(m)}(x)]) \end{bmatrix} \quad (4.15)$$

$[X^{(i)}(x)]$  reprezentând derivata de ordinul  $i$  a matricei  $[X]$  ( $i=1, 2, \dots, m$ ) iar funcțiile  $f^m$  fiind funcții cunoscute, pentru care se cunosc condițiile inițiale, adică:

$$[X(a)] = [X_0] \quad (4.16)$$

Metodele de tip Runge-Kutta își propun să asigure soluția sistemului (4.14) pe baza unei relații unipas de tipul:

$$[\bar{X}_{k+1}] = [\bar{X}_k] + [c_{k, k+1}] \quad (4.17)$$

unde  $[c_{k, k+1}]$  este o funcție care depinde de "istoria" problemei în intervalul  $[x_k, x_{k+1}]$  și în plus, poate fi scrisă ca o combinație liniară:

$$[c_{k, k+1}] = \sum_{i=1}^s d_i [K_i]$$

în care  $[K_i]$  sînt produse dintre  $h = x_{k+1} - x_k$  și valorile funcției  $f(x, [X])$  în anumite puncte:

$$\begin{aligned} [K_1] &= hf(x_k, [\bar{X}_k]) \\ [K_2] &= hf(x_k + \alpha_0 h, [\bar{X}_k] + \beta_0 [K_1]) \end{aligned}$$

$$[K_3] = hf(x_k + \alpha_1 h, [\bar{X}_k] + \beta_1 [K_1] + \gamma_1 [K_2]) \quad (4.19)$$

$$K_4 = hf(x_k + \alpha_2 h, [\bar{X}_k] + \beta_2 [K_1] + \gamma_2 [K_2] + \delta_2 [K_3])$$

iar  $[\bar{X}_{k+1}]$ ,  $[\bar{X}_k]$  sînt soluțiile calculate numeric în punctele  $x_{k+1}$ , respectiv  $x_k$ .

Cu  $[X]$  se notează soluția exactă a ecuației diferențiale (4.14).

Dacă se găsesc ponderile  $d_1, d_2, \dots, d_s$  și coeficienții

$\alpha_0, \alpha_1, \dots, \alpha_{s-2}, \beta_0, \beta_1, \dots, \beta_{s-2}, \gamma_1, \gamma_2, \dots, \gamma_{s-2}, \delta_2, \delta_3, \dots, \delta_{s-2}$  așa încît  $[\bar{X}_{k+1}]$  dat (4.14)-(4.17) să coincidă în primii  $N$  termeni cu dezvoltarea în serie a soluției exacte pe intervalul  $[x_k, x_{k+1}]$ , cu aceeași condiție inițială  $[\bar{X}_k]$  atunci vom spune că am realizat o metodă de tip Runge-Kutta de ordinul  $N$ . Pentru  $s=2, 3, 4$  există relația simplă  $N=s$ ,  $N$  numindu-se ordinul sau gradul metodei.

Eroarea de metodă are o expresie complicată și este de ordinul  $h^{s+1}$ , dar metodele de tip Runge-Kutta sînt convergente și în cazul lor nu mai este necesar și studiul stabilității [4].

Metode de tip Runge-Kutta cu  $s=4$  au eroarea de metodă de ordinul  $h^5$ . Soluția aproximativă se scrie sub forma (4.20)

$$[\bar{X}_{k+1}] = [\bar{X}_k] + d_1 [K_1] + d_2 [K_2] + d_3 [K_3] + d_4 [K_4] \quad (4.20)$$

în care  $[K_1], [K_2], [K_3], [K_4]$  sînt de forma (4.19), iar valorile numerice ale lui  $\alpha_0, \alpha_1, \alpha_2, \beta_0, \beta_1, \gamma_1, \gamma_2, \beta_2$  și  $d_1, d_2, d_3, d_4$  se determină în așa fel încît termenii pînă la  $h^4$  inclusiv să coincidă în seriile de puteri ale lui  $h$  pentru  $[\bar{X}_{k+1}]$  și  $[X(x_{k+1})]$ . Se obțin mai multe seturi de valori pentru algoritm, dintre care amintim :

a) Metoda Runge-Kutta standard, cu  $d_1=d_4=1/6, d_2=d_3=1/3,$   
 $\alpha_0=\alpha_1=\beta_0=\beta_1=1/2, \alpha_2=\delta_2=1, \beta_2=\gamma_2=\delta_3=0.$

b) Metoda Runge-Kutta de trei optimi, cu parametrii  $d_1=d_4=1/8, d_2=d_3=3/8, \alpha_0=\beta_0=1/3, \gamma_1=2/3, \alpha_2=\beta_2=\gamma_2=\delta_2=1, \beta_1=-1/3;$

c) Metoda Runge-Kutta-Gill cu parametrii  $d_1=d_4=1/6,$

$d_2 = \frac{1}{3}(1 - \frac{\sqrt{2}}{2}), d_3 = \frac{1}{3}(1 + \frac{\sqrt{2}}{2}), \alpha_0=\alpha_1=\beta_0 = \frac{1}{2}, \alpha_2=1, \beta_1 = \frac{1}{2}(\sqrt{2}-1), \beta_2=0,$   
 $\gamma_1 = 1 - \frac{\sqrt{2}}{2}, \gamma_2 = -\frac{\sqrt{2}}{2}, \delta_2 = 1 + \frac{\sqrt{2}}{2}.$

Un studiu comparativ al acestor variante [4] arată că varianta c este mai bună în ceea ce privește memoria, cerînd un număr mai mic de alocății și algoritmul ei poate fi scris astfel

incît să diminueze puternic influența erorilor de rotunjire. Această superioritate este contrabalansată de faptul că timpul de calcul este sensibil mai mare decît la celelalte două variante. Se arată de asemenea că algoritmul Kutta de trei optimi, implică pe ordinator operații ale căror erori de rotunjire nu se compensează una pe alta, ca în cazul metodei Runge-Kutta-Gill, și că, metodele Runge-Kutta standard și Kutta de trei optimi, dau rezultate afectate mult mai puternic de erorile de rotunjire, pe cînd în varianta Runge-Kutta-Gill abaterea datorată acestora este sensibil mai mică dar timpul de calcul este mai mare. Deci, pentru ordinatoarele cu operații rapide, în dublă precizie, sînt de preferat primele două variante ale metodelor Runge-Kutta de ordinul 4, iar în cazul celor în simplă precizie se recomandă varianta Runge-Kutta-Gill.

Metodele de tip Runge-Kutta - că și toate metodele unipase - au avantajul că, folosind numai informații din nodul imediat anterior, pot folosi pas variabil. De asemenea, ele se pot aplica și sistemelor de  $m$  ecuații diferențiale de ordin  $s$ , prin transformarea acestora în sisteme de  $m \cdot s$  ecuații diferențiale de ordinul întâi, cu condiții inițiale cunoscute, atunci cînd ordinul sistemului și respectiv al ecuațiilor diferențiale este mic.

#### 4.3.3. Rezolvarea ecuațiilor mașinilor de curent alternativ cu metoda Runge-Kutta-Gill

Utilizarea metodei Runge-Kutta-Gill presupune cunoașterea condițiilor inițiale, precum și reordonarea sistemului de ecuații (3.66), (3.67) în sensul separării derivatelor necunoscute. Pentru a reduce timpul de calcul, reducînd numărul de ecuații cu care se operează în cadrul metodei numerice se pot urma două căi, considerînd ea și necunoscute, expresiile curenților  $i$  și sau a fluxurilor  $\Psi$  ( $\Psi = d, q, a, b, d', q', a', b'$ ).

a) Se consideră necunoscute curenții  $i$ . În acest caz, în sistemul de ecuații (3.66), ca și în ecuația mișcării (3.67) se înlocuiesc fluxurile în funcție de curenți și parametrii mașinii, obținînd:

$$u_d = -R_d i_d - L_{dd} \frac{di_d}{dt} - L_{ad} \frac{di_a}{dt} - L_{d'd} \frac{di_{d'}}{dt} - L_{a'd} \frac{di_{a'}}{dt} + (L_{qq} i_q + L_{bq} i_b + L_{q'q'} i_{q'} + L_{b'q'} i_{b'}) \frac{d\psi}{dt} \quad (4.21.1)$$

$$u_q = -(L_{dd}i_d + L_{ad}i_a + L_{d'a'}i_{d'} + L_{a'a'}i_{a'}) \frac{d\psi}{dt} - R_q i_q - L_{qq} \frac{di_q}{dt} - L_{bq} \frac{di_b}{dt} - L_{q'q'} \frac{di_{q'}}{dt} - L_{b'q'} \frac{di_{b'}}{dt} \quad (4.21.2)$$

$$0 = L_{da} \frac{di_d}{dt} + R_a i_a + L_{aa} \frac{di_a}{dt} + L_{d'a'} \frac{di_{d'}}{dt} + L_{a'a'} \frac{di_{a'}}{dt} - (L_{qb}i_b + L_{bb}i_b + L_{q'b'}i_{q'} + L_{b'b'}i_{b'}) \frac{d\psi}{dt} \quad (4.21.3)$$

$$0 = (L_{da}i_d + L_{aa}i_a + L_{d'a'}i_{d'} + L_{a'a'}i_{a'}) \frac{d\psi}{dt} + L_{qb} \frac{di_q}{dt} + R_b i_b + L_{bb} \frac{di_b}{dt} + L_{q'b'} \frac{di_{q'}}{dt} + L_{b'b'} \frac{di_{b'}}{dt} \quad (4.21.4)$$

$$u_d = -L_{dd} \frac{di_d}{dt} - L_{ad} \frac{di_a}{dt} - R_d i_d - L_{d'a'} \frac{di_{d'}}{dt} - L_{a'a'} \frac{di_{a'}}{dt} \quad (4.21.5)$$

$$u_q = -L_{qq} \frac{di_q}{dt} - L_{bq} \frac{di_b}{dt} - R_q i_q - L_{q'q'} \frac{di_{q'}}{dt} - L_{b'q'} \frac{di_{b'}}{dt} \quad (4.21.6)$$

$$0 = L_{da} \frac{di_d}{dt} + L_{aa} \frac{di_a}{dt} + L_{d'a'} \frac{di_{d'}}{dt} + R_a i_a + L_{a'a'} \frac{di_{a'}}{dt} \quad (4.21.7)$$

$$0 = L_{qb} \frac{di_q}{dt} + L_{bb} \frac{di_b}{dt} + L_{q'b'} \frac{di_{q'}}{dt} + R_b i_b + L_{b'b'} \frac{di_{b'}}{dt} \quad (4.21.8)$$

respectiv expresia momentului electromagnetic:

$$M = p [(L_{dd} - L_{qq})i_d i_q + (L_{aa} - L_{bb})i_a i_b + i_d (L_{d'a'} i_q + L_{d'a'} i_b) + i_a (L_{a'a'} i_q + L_{a'a'} i_b) - i_q (L_{q'b'} i_d + L_{q'b'} i_a) - i_b (L_{b'q'} i_d + L_{b'q'} i_a)] \quad (4.21.9)$$

Înlocuind expresia momentului electromagnetic dat de (4.21.9) în ecuația mișcării și separînd din (4.21.1)-(4.21.8) expresiile derivatelor curenților  $\frac{di^k}{dt}$ , obținem:

$$\frac{di^k}{dt} = F_k \left( i^k, \frac{di^\alpha}{dt}, u^k, \frac{d\phi}{dt}, R_k, L_k \right) \quad (4.22)$$

$$\frac{d}{dt} \left( \frac{d\phi}{dt} \right) = F_m \left( i^k, \frac{d\phi}{dt}, R_k, L_k \right) + M_{mec} \left( v, \frac{d\phi}{dt} \right)$$

Un sistem de 9 ecuații cu 9 necunoscute,  $i^k, \frac{d\phi}{dt}$ , în care  $\alpha, \beta, \gamma = d, a, q, b, d', a', q', b', \alpha \neq k$ . Introducînd substituția:

$$\frac{d\phi}{dt} = Z \quad (4.23)$$

Sistemul de ecuații diferențiale (4.22) devine:

$$\frac{di^k}{dt} = F_k \left( i^k, \frac{di^\alpha}{dt}, u^k, Z, R_k, L_k \right) \text{ în care: } \mathcal{S} = d, a, q, b, d', a', q', b'$$

$$\frac{dZ}{dt} = F_m \left( i^k, Z, R_k, L_k \right) + F_{mec} \left( Z, v \right)$$

$$\frac{d\phi}{dt} = Z$$

(4.24)

Sistemul de ecuații diferențiale (4.24) conține 10 ecuații diferențiale de ordinul întâi și tot atîtea necunoscute: curenții  $i^k(t)$ , unghiul  $\phi(t)$  și derivata acestuia în raport cu timpul,  $Z$ . Rezolvarea sistemului de ecuații diferențiale (4.24) necesită cunoașterea expresiilor funcțiilor  $F_k, F_m, F_{mec}$ , precum și a valorilor mărimilor necunoscute la momentul  $t=0$ , numite valori inițiale.

Funcțiile  $F_k, F_m$  depind și de parametrii mașinii  $R_k, L_k$  iar în expresia momentului mecanic intervine și viteza vîntului,

care - în cursul rezolvării - va fi considerată parametru constant.

De asemenea în expresiile funcțiilor  $F_m$  și  $F_{mec}$  intervine momentul de inerție total al ansamblului turbină eoliană - multiplicator - mașină electrică,  $J$ , precum și numărul de perechi de poli ai mașinii electrice  $p$ .

b) Se consideră necunoscute fluxurile  $\Psi_\mu$ . În acest caz, se exprimă toți curenții  $i$  ca funcții de fluxurile  $\Psi_\mu$ :

$$i_\mu = F'_\mu(\Psi_\mu, \frac{d\theta}{dt}, u_\mu, R_\mu, L_\mu) \quad (4.25)$$

și apoi expresiile curenților se înlocuiesc, în sistemul (3.60), respectiv în ecuația momentului electromagnetic (3.68), obținându-se:

$$\frac{d\Psi_\mu}{dt} = G_\mu(\Psi_\mu, Z, u_\mu, R_\mu, L_\mu) \quad \alpha_\mu = d, a, d', a', q, b, q', b'$$

$$\frac{dZ}{dt} = G_m(\Psi_\mu, Z, u_\mu, R_\mu, L_\mu) + G_{mec}(Z, v) \quad (4.26)$$

$$\frac{d\theta}{dt} = Z$$

în care  $\alpha_\mu = d, a, q, b, d', a', q', b'$ , dar  $\alpha \neq \theta$ .

Sistemul de ecuații diferențiale de ordinul întâi (4.26) cuprinde 10 ecuații, cu tot atâtea necunoscute: valorile fluxurilor ( $\Psi_\mu$ ) ale unghiului  $\theta$  și a derivatei acestuia în raport cu timpul  $Z$ . Rezolvarea lui necesită cunoașterea expresiilor funcțiilor  $G_\mu, G_m, G_{mec}$ , precum și a valorilor mărimilor necunoscute la momentul  $t=0$ , numite valori inițiale.

Funcțiile  $G_\mu, G_m$  depind și de parametrii mașinii  $R_\mu, L_\mu$ , iar în expresia momentului mecanic intervine și viteza vântului  $v$ , care în cursul rezolvării - va fi considerată parametru constant. De asemenea în expresiile funcțiilor  $G_m$  și  $G_{mec}$  intervine momentul de inerție total al ansamblului turbină eoliană-multiplicator - mașină electrică  $J$ , precum și numărul de perechi de poli ai mașinii electrice,  $p$ .

Rezolvarea în continuare fie a sistemului (4.24), fie (4.26) se face în mod similar, aplicînd algoritmul metodei Runge-Kutta-Gill și determinînd expresiile funcțiilor de aproximare  $[K_1]$ ,  $[K_2]$ ,  $[K_3]$ ,  $[K_4]$ . Cum s-a precizat prima ecuație atât a sistemului (4.24) cît și a sistemului (4.26) este scrisă sub formă matricială,  $i_{\mu}$  și respectiv  $\Psi_{\mu}$  reprezentînd matricea coloană a curenților  $i_{\mu}$ , respectiv a fluxurilor  $\Psi_{\mu}$ , iar funcțiile  $F_{\mu}$ ,  $G_{\mu}$  sînt matrici ale cîror expresii se deduc din sistemul de ecuații (3.66).

Expresiile funcțiilor de aproximare Runge-Kutta-Gill de ordinul IV sînt mai simple în cazul considerării ca necunoscute a valorilor fluxurilor  $\Psi_{\mu}$ , deoarece în expresia lui  $G_{\mu}$  apar numai valorile fluxurilor  $\Psi_{\mu}$ , nu și a derivatelor acestora. De aceea, în cele ce urmează se consideră necunoscute valorile fluxurilor  $\Psi_{\mu}$ , curenții  $i_{\mu}$  determinîndu-se din (4.27):

$$\Psi_{\mu} = L_d \Psi_d + L_a \Psi_a + L_{d^*} \Psi_{d^*} + L_{a^*} \Psi_{a^*}, \text{ pentru } \mu = d, a, d^*, a^* \quad (4.27)$$

$$\Psi_{\mu} = L_q \Psi_q + L_b \Psi_b + L_{q^*} \Psi_{q^*} + L_{b^*} \Psi_{b^*}, \text{ pentru } \mu = q, b, q^*, b^*$$

## 5. ECUATIILE SI PARAMETRII MASINII ELECTRICE DE INDUCTIE AVIND DOUA VITEZE DE ROTATIE

### 5.1. Echivalarea mașinii electrice de inducție cu rotorul în scurtcircuit și înfășurări repartizate zonal cu mașină electrică de inducție trifazată în stator și în rotor, cu înfășurări repartizate sinusoidal

Pentru a obține o repartiție sinusoidală a inducției magnetice în lungul pasului polar - condiție necesară pentru a putea aplica nemijlocit teoria celor două axe - este necesar ca toate înfășurările statorice și rotorice ale mașinii reale să fie repartizate sinusoidal de-a lungul pasului polar.

Mașina electrică de inducție cu două viteze de rotație, folosită în instalația aeroelectrică, are înfășurările statorice și rotorice repartizate zonal, în creștături. De asemenea, mașina electrică considerată este  $m$  fazată în rotor, ceea ce ar necesita calcularea lui  $\psi_r'$ , respectiv  $\psi_w'$  date de relațiile (3.30) la fiecare iterație, funcție de curenți, precum și rezolvarea ecuațiilor diferențiale pentru mărimile omopolare rotorice. Acest lucru nu ar mai fi necesar în cazul în care mașina de inducție este trifazată atât în stator, cât și în rotor. De aceea, în cele ce urmează, se echivalează mașina reală, cu înfășurări repartizate zonal și  $m$  fazată în rotor cu o mașină ideală, trifazată atât în stator, cât și în rotor, având toate înfășurările repartizate sinusoidal în lungul pasului polar.

Mașina reală are  $m=3$  faze în stator, având  $N_1$  spire pe fază și factorul de bobinaj  $kb_1$ , iar în rotor  $m_2$  faze, având  $N_2=1/2$  spire pe o fază și factorul de bobinaj  $kb_2=1$ . Numărul de faze rotorice  $m_2$  este egal cu numărul de creștături rotorice notat  $NC_2$ . Această mașină se echivalează cu o mașină trifazată atât în stator cât și în rotor, având  $w_1$  spire pe o fază statorică și același număr de spire  $w_1$  pe o fază rotorică, înfășurările statorice și rotorice ale mașinii echivalente fiind repartizate sinusoidal de-a lungul pasului polar. Mașina echivalentă are același moment electromecanic, aceeași putere electrică totală în orice moment, aceeași energie magnetică separat pe stator și rotor, aceeași inducție în



intrefier și aceleași pierderi în cupru și în fier ca și mașina reală.

Mașina reală și mașina echivalentă având aceleași inducții magnetice în intrefier au aceleași solenații în stator și în rotor. Astfel, se obține pentru stator:

$$\sqrt{2} I_{1e} \cdot w_1 \cdot \frac{3}{2} = 3 \frac{2}{\pi} \sqrt{2} (N_1 \cdot k_{b1}) I_{1r} \quad (5.1)$$

în care  $I_{1r}$  este valoarea efectivă a curentului ce parcurge înfășurarea statorică a mașinii reale, iar  $I_{1e}$  este valoarea efectivă a curentului din înfășurarea statorică a mașinii echivalente. Punând condiția de echivalență a celor doi curenți, adică:

$$I_{1e} = I_{1r} = I_1 \quad (5.2)$$

se obține din (5.1):

$$w_1 = \frac{4}{\pi} (N_1 \cdot k_{b1}) \quad (5.3)$$

Echivalarea rotorului  $m_2$ -fazat având înfășurările repartizate zonal cu rotor  $m_2$ -fazat, dar având înfășurările repartizate sinusoidal conduce de asemenea la egalitatea solenațiilor:

$$m_2 \cdot \frac{2\sqrt{2}}{\pi} \cdot N_2 \cdot k_{b2} \cdot I_{2r} = \frac{m_2}{2} \cdot w_{2sm} \cdot I_{2m} \cdot \sqrt{2} \quad (5.4)$$

în care:  $m_2$  - numărul de faze ale rotorului;

$N_2$  - numărul de spire pe faza rotorică a mașinii reale ( $N_2=1/2$ );

$k_{b2}$  - factorul de bobinaj al rotorului mașinii reale;

$I_{2r}$  - valoarea efectivă a curentului rotoric din mașina reală, neraportat la stator;

$w_{2sm}$  - numărul de spire al unei faze rotorice a mașinii  $m_2$ -fazate, dar cu înfășurările repartizate sinusoidal;

$I_{2m}$  - valoarea efectivă a curentului ce străbate înfășurarea rotorică  $m_2$ -fazată repartizată sinusoidal.

Punând condiția de echivalență a celor doi curenți rotorici:

$$I_{2r} = I_{2m} = I_2 \quad (5.5)$$

se obține:

$$w_{2sm} = \frac{4}{k} \quad (5.6)$$

Rotorul  $m_2$ -fazat, având înfășurările repartizate sinusoidal se echivalează cu rotor trifazat având înfășurări repartizate sinusoidal și  $w_1$  spire pe o fază rotorică, obținându-se din egalitatea solenațiilor rotorice:

$$\frac{m_2}{2} \cdot w_{2sm} \cdot I_2 \sqrt{2} = \frac{3}{2} w_1 \cdot \sqrt{2} \cdot I_{2,3f} \quad (5.7)$$

în care  $I_{2,3f}$  este valoarea efectivă a curentului fazei rotorice din mașina echivalentă - expresia curentului  $I_{2,3f}$ :

$$I_{2,3f} = \frac{\frac{m_2}{6}}{N_1 \cdot k_{b1}} \cdot I_2 = I_2^* \quad (5.8)$$

Din condiția de echivalență a puterilor active și reactive ale rotoarelor celor două mașini - reală și echivalentă - în mod analog, se determină rezistența înfășurării rotorice trifazate repartizate sinusoidal  $R_{2,3f}$ , respectiv reactanța ei de dispersie  $X_{2,3f}$ , în funcție de rezistența rotorică  $R_2$ , respectiv reactanța de dispersie rotorică  $X_2$  a mașinii reale:

$$R_{2,3f} = R_2^* ; \quad X_{2,3f} = X_2^* \quad (5.9)$$

în care  $R_2^*$ ,  $X_2^*$  reprezintă rezistența, respectiv reactanța de dispersie rotorică raportate la stator ale mașinii reale.

Prin urmare, mașina echivalentă trifazată în stator și în rotor, cu înfășurări repartizate sinusoidal în lungul pasului polar are:  $w_1$  spire pe o fază statorică, parcursă de un curent ce are aceeași valoare efectivă  $I_1$  ca și curentul statoric al mașinii reale,  $w_1$  spire pe o fază rotorică, parcursă de un curent ce are aceeași valoare efectivă  $I_2$  ca și curentul rotoric raportat la stator al mașinii reale. Rezistența unei faze rotorice, respectiv reactanța de dispersie rotorică, din mașina echivalentă au aceleași valori ca și mărimile similare (rezistență rotorică,

reactanță de dispersie rotorică) raportat la stator ale mașinii reale, respectiv  $R_2^i$ ,  $X_2^i$ . Mașina echivalentă are de asemenea aceeași rezistență statorică,  $R_1$ , aceeași reactanță de dispersie statorică  $X_1$ , aceleași tensiuni la borne, același număr de perechi de poli, același întrefier ca și mașina reală.

### 5.2. Determinarea parametrilor înfășurărilor auxiliare

Pentru a ține seama de influența pierderilor în fier asupra cîmpului magnetic, pierderile prin histereză magnetică se echivalează cu pierderi prin curenți turbionari.

Fluxul cîmpului magnetic generat de curenții turbionari se consideră ca fiind produs de curenți de conducție stabiliți într-un sistem de  $\varepsilon$  înfășurări auxiliare scurtcircuitate, fixe față de stator, respectiv  $\varepsilon'$  fixe față de rotor. Aceste înfășurări au proprietățile următoare:

- sînt cuplate magnetic între ele și cu înfășurările reale ale mașinii numai prin intermediul cîmpului magnetic principal;
- înfășurările auxiliare nu au cîmp de dispersie, ci numai cîmp principal ;
- sînt scurtcircuitate atât în stator, cît și în rotor;
- curenții stabiliți în ele, determină ca suma puterilor care se obțin la bornele lor să corespundă pierderilor în fier, separat pentru stator și rotor ;

Pentru a determina fluxurile magnetice produse de curenții de conducție din înfășurările auxiliare din mașina de inducție cu rotorul în scurtcircuit se admit în plus, următoarele ipoteze:

a) mașina  $m_2$  fazată în rotor, cu înfășurări repartizate zonal, se echivalează cu o mașină trifazată în rotor, cu înfășurări repartizate zonal. Din echivalarea solenaițiilor celor două mașini se obține că mașina trifazată în rotor are:

$$N_2 = \frac{m_2}{6} \quad (5.10)$$

spire în rotor, iar înfășurarea rotorică este parcursă de același curent  $I_2$  ca și înfășurarea rotorică din mașina reală.

b) înfășurările auxiliare - trei în stator și trei în rotor - au axele suprapuse peste axele înfășurărilor principale ale mașinii (fig.5.1).

c) înfășurările auxiliare statorice, respectiv rotorice au același număr de spire ca și înfășurările principale statorice  $N_1$ , respectiv rotorice  $N_2$ .

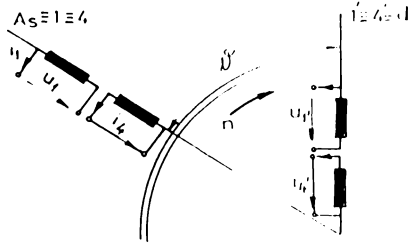


Fig.5.1

axă se suprapune peste axa înfășurării fazei statorice 2, respectiv 3.

Se notează cu indicele 4 mărimile corespunzătoare înfășurării statorice auxiliare a cărei axă se suprapune peste axa înfășurării fazei 1, cu 5 și respectiv 6, mărimile corespunzătoare înfășurării statorice auxiliare a cărei

axă se suprapune peste axa înfășurării fazei statorice 2, respectiv 3.

În mod similar, se notează cu indicii 4', 5', 6' mărimile corespunzătoare înfășurărilor auxiliare rotorice.

Notînd cu  $\lambda$  ordinul unei înfășurări statorice principale ( $\lambda=1,2,3$ ) și cu  $\varepsilon$  ordinul unei înfășurări statorice auxiliare ( $\varepsilon=4,5,6$ ) respectiv  $\lambda'$  și  $\varepsilon'$  pentru înfășurările rotorice principale, respectiv auxiliare ( $\lambda'=1',2',3'$ ,  $\varepsilon'=4',5',6'$ ) atunci fluxul magnetic al înfășurării auxiliare statorice 4 care are axa suprapusă peste axa fazei 1 statorice, este:

$$\Psi_{4h} = \sum_{\lambda=1}^3 L_{\lambda 4h} i_{\lambda} + \sum_{\varepsilon=4}^6 L_{\varepsilon 4h} i_{\varepsilon} + \sum_{\lambda'=1'}^3 L_{\lambda' 4h} i_{\lambda'} + \sum_{\varepsilon'=4'}^6 L_{\varepsilon' 4h} i_{\varepsilon'} \quad (5.11)$$

în care inductivitățile  $L_{\lambda 4h}$ ,  $L_{\varepsilon 4h}$ ,  $L_{\lambda' 4h}$ ,  $L_{\varepsilon' 4h}$  au expresiile:

$$\begin{aligned} L_{\lambda 4h} &= L_{11h} \cdot \cos \theta_{\lambda} & \theta_{\lambda} &= \frac{(\lambda-1)2\tilde{\alpha}}{3} & \lambda &= 1, 2, 3 \\ L_{\varepsilon 4h} &= L_{11h} \cdot \cos \theta_{\varepsilon} & \theta_{\varepsilon} &= \frac{(\varepsilon-4)2\tilde{\alpha}}{3} & \varepsilon &= 4, 5, 6 \\ L_{\lambda' 4h} &= L_{12h} \cos \left[ \theta + \frac{(\lambda'-1)2\tilde{\alpha}}{3} \right] & & & \lambda' &= 1', 2', 3' \\ L_{\varepsilon' 4h} &= L_{12h} \cos \left[ \theta + \frac{(\varepsilon'-4)2\tilde{\alpha}}{3} \right] & & & \varepsilon' &= 4', 5', 6' \end{aligned} \quad (5.12)$$

$$\theta = (\omega_1 - \omega_2)t$$

iar pentru curenții  $i_{\lambda}, i_{\varepsilon}, i_{\lambda'}, i_{\varepsilon'}$  avem:

$$\begin{aligned}
 i_{\lambda} &= I_1 \sqrt{2} \sin \left[ \omega_1 t - \varphi_1 - \frac{(\lambda-1)2\bar{u}}{3} \right], \quad \lambda=1,2,3 \\
 i_{\varepsilon} &= I_3 \sqrt{2} \sin \left[ \omega_1 t - \varphi_3 - \frac{(\varepsilon-4)2\bar{u}}{3} \right], \quad \varepsilon=4,5,6 \\
 i_{\lambda'} &= I_2 \sqrt{2} \sin \left[ \omega_2 t - \varphi_2 - \frac{(\lambda'-1)2\bar{u}}{3} \right], \quad \lambda'=1',2',3' \\
 i_{\varepsilon'} &= I_4 \sqrt{2} \sin \left[ \omega_2 t - \varphi_4 - \frac{(\varepsilon'-4)2\bar{u}}{3} \right], \quad \varepsilon'=4',5',6'
 \end{aligned} \tag{5.13}$$

Introducând expresiile inductivităților și ale curenților date de (5.12), respectiv (5.13) în expresia fluxului magnetic (5.11) și ținând cont că  $L_{11h} = k_i \cdot L_{12h}$  ( $k_i$  - raportul de transformare a curenților), se obține:

$$\begin{aligned}
 \psi_{4h} &= \frac{3}{2} \sqrt{2} L_{11h} \left[ I_1 \sin(\omega_1 t - \varphi_1) + I_3 \sin(\omega_1 t - \varphi_3) + \right. \\
 &\quad \left. + \frac{1}{k_i} I_2 \sin(\omega_1 t - \varphi_2) + \frac{1}{k_i} I_4 \sin(\omega_1 t - \varphi_4) \right] \tag{5.14}
 \end{aligned}$$

În mod analog, fluxul magnetic al înfășurării auxiliare rotorice 4', care are axa suprapusă peste axa fazei 1' rotorice,  $\psi_{4'h}$  este:

$$\psi_{4'h} = \sum_{\lambda=1}^3 L_{\lambda 4'h} i_{\lambda} + \sum_{\varepsilon=4}^6 L_{\varepsilon 4'h} i_{\varepsilon} + \sum_{\lambda'=1'}^{3'} L_{\lambda' 4'h} i_{\lambda'} + \sum_{\varepsilon'=4'}^{6'} L_{\varepsilon' 4'h} i_{\varepsilon'} \tag{5.15}$$

în care inductivitățile  $L_{\lambda 4'h}, L_{\varepsilon 4'h}, L_{\lambda' 4'h}, L_{\varepsilon' 4'h}$  au expresiile:

$$\begin{aligned}
 L_{\lambda 4'h} &= L_{12h} \cdot \cos \left( \theta - \frac{(\lambda-1)2\bar{u}}{3} \right), \quad \lambda=1,2,3 \\
 L_{\varepsilon 4'h} &= L_{12h} \cdot \cos \left[ \theta - \frac{(\varepsilon-4)2\bar{u}}{3} \right], \quad \varepsilon=4,5,6 \\
 L_{\lambda' 4'h} &= L_{22h} \cdot \cos \frac{(\lambda'-1)2\bar{u}}{3}, \quad \lambda'=1',2',3'
 \end{aligned} \tag{5.16}$$

$$L_{\varepsilon'4'h} = L_{22h} \cdot \cos \frac{(\varepsilon' - 1)2\bar{u}}{3} \quad \varepsilon' = 4', 5', 6'$$

iar pentru curenții  $i_A, i_E, i_A', i_E'$  sînt valabile expresiile date de (5.13).

Ținînd seama de expresiile inductivităților și curenților din (5.16), respectiv (5.13), precum și de relația de legătură dintre inductivități [26] prin raportul de transformare a curenților:

$$k_i = \frac{L_{11h}}{L_{12h}} = \frac{L_{12h}}{L_{22h}} \quad (5.17)$$

se obține pentru fluxul magnetic total al înfășurării auxiliare rotorului de ordinul 4':

$$\begin{aligned} \psi_{4'h} = & \frac{3}{2} \cdot \frac{1}{k_i} \cdot L_{11h} \cdot [ I_1 \sqrt{2} \sin(\omega_2 t - \varphi_1) + I_3 \sqrt{2} \sin(\omega_2 t - \varphi_3) + \\ & + \frac{1}{k_i} I_2 \sqrt{2} \sin(\omega_2 t - \varphi_2) + \frac{1}{k_i} I_4 \sqrt{2} \sin(\omega_2 t - \varphi_4) ] \quad (5.18) \end{aligned}$$

Dacă  $R_3$  și  $R_4$  sînt rezistențele electrice ale înfășurării auxiliare din stator, respectiv din rotor, cu asocierea sensurilor pozitive corespunzătoare sursei și ținînd cont că tensiunile  $u_{\varepsilon}, u_{\varepsilon'}$  la bornele înfășurărilor auxiliare sînt zero (înfășurări scurtcircuitate), ecuațiile dintre curenți și tensiuni scrise pentru aceste înfășurări conduc la:

$$0 = -R_4 i_4 - \frac{d\psi_{4h}}{dt} \quad ; \quad 0 = -R_4' i_4' - \frac{d\psi_{4'h}}{dt} \quad (5.19)$$

Introducînd în (5.19) expresiile fluxurilor magnetice  $\psi_{4h}$  și  $\psi_{4'h}$  date de (5.14), respectiv (5.18), efectuînd operațiile de derivare în raport cu timpul și ținînd cont că  $\omega_2 = s \omega_1$  ( $s$ -alunecarea):

$$\begin{aligned} - \frac{3}{2} L_{11h} \omega_1 I_1 \sqrt{2} \cos(\omega_1 t - \varphi_1) - R_3 I_3 \sqrt{2} \sin(\omega_1 t - \varphi_3) - \\ - \frac{3}{2} L_{11h} \omega_1 I_3 \sqrt{2} \cos(\omega_1 t - \varphi_3) - \frac{3}{2} \frac{1}{k_i} L_{11h} \omega_1 I_2 \sqrt{2} \cos(\omega_1 t - \varphi_2) - \\ - \frac{3}{2} \frac{1}{k_i} L_{11h} \omega_1 I_4 \sqrt{2} \cos(\omega_1 t - \varphi_4) = 0 \end{aligned}$$

$$\begin{aligned}
 & - \frac{3}{2} \cdot \frac{1}{k_i} L_{11h} \omega_1 \cdot s \cdot I_1 \sqrt{2} \cos(\omega_2 t - \varphi_1) - \frac{3}{2} \frac{1}{k_i} L_{11h} \cdot \omega_1 \cdot s \cdot I_3 \sqrt{2} \cos \\
 & (\omega_2 t - \varphi_3) - \frac{3}{2} \frac{1}{k_i^2} L_{11h} \cdot \omega_1 \cdot s \cdot I_2 \sqrt{2} \cos(\omega_2 t - \varphi_2) - R_4 I_4 \sqrt{2} \sin(\omega_2 t - \varphi_4) - \\
 & - \frac{3}{2} \frac{1}{k_i^2} L_{11h} \omega_1 \cdot s \cdot I_4 \sqrt{2} \cos(\omega_2 t - \varphi_4) = 0
 \end{aligned} \tag{5.20}$$

Dezvoltind funcțiile trigonometrice, introducînd notația  $x_3 = \frac{3}{2} \omega_1 L_{11h}$  și împărțind relațiile (5.20) cu  $\sqrt{2}$ , acestea devin:

$$\begin{aligned}
 & \sin \omega_1 t \left[ x_3 I_1 \sin \varphi_1 + R_3 I_3 \cos \varphi_3 + x_3 I_3 \sin \varphi_3 + \frac{1}{k_i} x_3 I_2 \sin \varphi_2 + \right. \\
 & \left. + \frac{1}{k_i} x_3 I_4 \sin \varphi_4 \right] + \cos \omega_1 t \left[ x_3 I_1 \cos \varphi_1 - R_3 I_3 \sin \varphi_3 + x_3 I_3 \cos \varphi_3 + \right. \\
 & \left. + \frac{1}{k_i} x_3 I_2 \cos \varphi_2 + \frac{1}{k_i} x_3 I_4 \cos \varphi_4 \right] = 0 \\
 & \sin \omega_2 t \left[ \frac{1}{k_i} s x_3 I_1 \sin \varphi_1 + \frac{1}{k_i} s x_3 I_3 \sin \varphi_3 + \frac{1}{k_i} x_3 s I_2 \sin \varphi_2 + \right. \\
 & \left. + R_4 I_4 \cos \varphi_4 + \frac{1}{k_i} x_3 s I_4 \sin \varphi_4 \right] + \cos \omega_2 t \left[ \frac{1}{k_i} x_3 s I_1 \cos \varphi_1 + \right. \\
 & \left. + \frac{1}{k_i} x_3 s I_3 \cos \varphi_3 + \frac{1}{k_i} s x_3 I_2 \cos \varphi_2 - R_4 I_4 \sin \varphi_4 + \frac{1}{k_i} x_3 s I_4 \cos \varphi_4 \right] = 0
 \end{aligned} \tag{5.21}$$

Relațiile (5.21) trebuie satisfăcute în orice moment, ceea ce este posibil dacă sînt nuli factorii care înmulțesc pe  $\sin \omega_1 t$ ,  $\cos \omega_1 t$ ,  $\sin \omega_2 t$  și  $\cos \omega_2 t$ , adică:

$$\begin{aligned}
 & x_3 I_1 \sin \varphi_1 + R_3 I_3 \cos \varphi_3 + x_3 I_3 \sin \varphi_3 + \frac{1}{k_i} x_3 I_2 \sin \varphi_2 + \frac{1}{k_i} x_3 I_4 \sin \varphi_4 = 0 \\
 & x_3 I_1 \cos \varphi_1 - R_3 I_3 \sin \varphi_3 + x_3 I_3 \cos \varphi_3 + \frac{1}{k_i} x_3 I_2 \cos \varphi_2 + \frac{1}{k_i} x_3 I_4 \cos \varphi_4 = 0 \\
 & \frac{1}{k_i} s x_3 I_1 \sin \varphi_1 + \frac{1}{k_i} s x_3 I_3 \sin \varphi_3 + \frac{1}{k_i} x_3 s I_2 \sin \varphi_2 + R_4 I_4 \cos \varphi_4 + \frac{1}{k_i} x_3 s I_4 \sin \varphi_4 = 0
 \end{aligned}$$

(5.22)

$$\frac{1}{k_i} X_3 I_1 \cos \varphi_1 + \frac{1}{k_i} X_3 I_3 \cos \varphi_3 + \frac{1}{k_i^2} X_3^2 I_2 \cos \varphi_2 - R_4 I_4 \sin \varphi_4 + \frac{1}{k_i} X_3 I_4 \cos \varphi_4 = 0$$

Sistemul de ecuații (5.22) conține 4 ecuații cu 6 necunoscute: valorile efective ale curenților înfășurărilor auxiliare statorice  $I_3$ , respectiv rotorice  $I_4$ , defazațele acestora  $\varphi_3$ , respectiv  $\varphi_4$ , precum și valorile rezistențelor  $R_3$  și  $R_4$ . Condiția ca pierderile în fier să fie egale de suma puterilor disipate în înfășurările auxiliare de curenți se le străbat, conduc la:

$$\begin{aligned} p_{Fe1} &= 3R_3 I_3^2 \\ p_{Fe2} &= 3R_4 I_4^2 \end{aligned} \quad (5.23)$$

în care  $p_{Fe1}$ , respectiv  $p_{Fe2}$  reprezintă pierderile totale în fierul statoric, respectiv rotoric al mașinii reale. Așazănd cele două ecuații (5.23) sistemului (5.22) se obține un sistem de 6 ecuații cu 6 necunoscute. Introducând următoarele notații:

$$I_4^* = \frac{1}{k_i} I_4 \quad \begin{array}{l} \text{valoarea raportată la stator la curenții} \\ \text{înfășurării auxiliare rotorice } I_4 \end{array} \quad (5.24)$$

$$R_4^* = k_i \cdot k_e \cdot R_4 \quad \begin{array}{l} \text{valoarea raportată la stator a rezistenței} \\ \text{înfășurării auxiliare rotorice } R_4 \end{array} \quad (5.25)$$

$$\begin{aligned} I_{01R} &= I_1 \cos \varphi_1 + \frac{1}{k_i} I_2 \cos \varphi_2 \\ I_{01X} &= I_1 \sin \varphi_1 + \frac{1}{k_i} I_2 \sin \varphi_2 \\ I_{01} &= \sqrt{I_{01R}^2 + I_{01X}^2} \end{aligned} \quad (5.26)$$

și rezolvind sistemul de ecuații (5.22), la care se adaugă (5.23) se obține:

$$R_3 = \frac{3}{2} \frac{X_3^2}{p_{Fe1}} \left[ I_{01}^2 + \sqrt{I_{01}^4 - \frac{2}{3} \frac{1}{X_3} (p_{Fe1} + \frac{p_{Fe2}}{8})} \right] \quad (5.27)$$



$$R_4^* = R_3 \frac{p_{Fe1} \cdot s^2}{p_{Fe2}} \quad (5.28)$$

$$I_3 = \frac{X_3 I_{0a}}{\sqrt{R_3^2 + X_3^2 \left(1 + \frac{p_{Fe2}}{s p_{Fe1}}\right)^2}} \quad (5.29)$$

$$I_4^* = \frac{I_3}{s} \cdot \frac{p_{Fe2}}{p_{Fe1}} \quad (5.30)$$

$$\varphi_3 = \varphi_4 = \arctg \frac{X_3 \cdot I_{01} X (R_4^* + s R_3) - I_{01} e R_3 R_4^*}{I_{01} X^2 R_3 R_4^* - X_3 (R_4^* + s R_3) I_{01} e} \quad (5.31)$$

Relațiile (5.27) - (5.31) furnizează expresiile rezistențelor înfășurărilor auxiliare statorice și rotorice, și curenților ce parcurg aceste înfășurări, precum și ale defazașelor acestora, în funcție de mărimile statorice și rotorice ale mașinii reale ( $I_1, I_2$ ) de viteza de rotație a acesteia - prin intermediul alunecării  $s$  - dar și de mărimea pierderilor în fier statorice  $p_{Fe1}$ , respectiv rotorice  $p_{Fe2}$ .

Rezistențele înfășurărilor principale statorice și rotorice ( $R_1, R_2^*$ ), respectiv reactanțele de dispersie ale acestora ( $X_1, X_2^*$ ) sînt mărimi cunoscute pentru o mașină dată. Din ecuațiile mașinii cu mărimi reduse, scrise în complex [24], se obțin expresiile curenților statoric  $I_1$  și respectiv rotoric redus la stator  $I_2^*$ , în funcție de parametrii mașinii  $R_1, R_2^*, X_1, X_2^*, R_{1m}, X_m$ , tensiunea de la bornele înfășurării statorice  $U_1$  ( $U_2^* = 0$ , mașina fiind cu rotor în scurtcircuit), precum și de viteza de rotație a mașinii - prin alunecarea  $s$ :

$$I_1 = \frac{(Z_{1m} + Z_2^*) U_1}{Z_1 Z_{1m} + Z_2^* (Z_1 + Z_{1m})} \quad (5.32)$$

$$I_2^* = \frac{Z_{1m} \cdot U_1}{Z_1 Z_{1m} + Z_2^* (Z_1 + Z_{1m})}$$

in care impedanțele  $Z_1$ ,  $Z_2$ ,  $Z_{1m}$  au expresiile cunoscute

$$\underline{Z}_1 = R_1 + jX_1; \underline{Z}_2 = R_2 + jX_2; \underline{Z}_{1m} = R_{1m} + jX_{1m}$$

### 5.3. Ecuatiile și parametrii mașinii de inducție cu rotorul în scurtcircuit în teoria celor două axe

#### 5.3.1. Parametrii mașinii electrice echivalente

Mașina de inducție trifazată, cu înfășurările principale și auxiliare, repartizate sinusoidal în lungul pasului polar are:

- $w_1$  spire pe o fază a înfășurării principale și auxiliare, atât în stator, cât și în rotor;
- rezistența înfășurării principale statorice  $R_1$ , respectiv auxiliare statorice  $R_3$ ;
- rezistența înfășurării principale rotorice  $R_2$ , respectiv auxiliare rotorice  $R_4$ ;
- reactanța de dispersie a înfășurării principale statorice  $X_1$ , respectiv rotorice  $X_2$ ;
- același număr de perechi de poli ca și mașina reală, respectiv  $p_1$ , corespunzător primei viteze de rotație a mașinii, și  $p_2$ , corespunzător celei de a doua viteze de rotație a mașinii;
- tensiunea la bornele înfășurării principale statorice  $U_1$ , respectiv 0 la bornele înfășurărilor principale rotorice și auxiliare statorice, respectiv rotorice;
- inductivitatea unei faze principale statorice,  $L_{11}$ , respectiv rotorice  $L_{1\cdot 1}$ , acestea fiind date de relațiile:

$$L_{11} = L_{11h} + L_{1\sigma} \quad ; \quad L_{1\cdot 1} = L_{11h} + L_{2\sigma} \quad (5.33)$$

in care  $L_{11h}$  este inductivitatea principală a mașinii,  $L_{1\sigma}$ , respectiv  $L_{2\sigma}$  sunt inductivitățile de dispersie.

(-) inductivitatea unei faze auxiliare statorice, respectiv auxiliare rotorice, egală cu inductivitatea principală a mașinii  $L_{11h}$ .

Inductivitățile de dispersie statorice, respectiv rotorice se obțin din reactanțele respective:

$$L_{1\sigma} = X_1 / 2\bar{\omega}f ; L_{2\sigma} = X_2' / 2\bar{\omega}f \quad \text{în care } f \text{ este frecvența} \quad (5.34)$$

Inductivitatea principală a unei faze [24] depinde de:  
- numărul de spire al înfășurării  $w_1$ , dat de relația  
(5.3);

- lungimea axială a mașinii  $L_1$ ;
- pasul polar  $\tau$  ;
- numărul perechilor de poli  $p$  ;
- întrefierul mașinii  $\delta$  și factorul lui Carter  $k_f, k_g$  ;
- factorul de inclinare  $k_c$  ;

iar expresia ei este dată de:

$$L_{1lh} = \frac{\mu_0}{4} \cdot \frac{w_1^2}{k_c^2} \cdot \frac{L_1 \tau}{p \cdot \delta'} \quad \text{în care } \delta' = \delta \cdot k_f \cdot k_c \text{ [m]} \quad (5.35)$$

$$\mu_0 = 4\pi \cdot 10^{-7} \text{ [H/m]}$$

pentru înfășurarea repartizată sinusoidal în lungul pasului polar. . )

Mașina de inducție trifazată, cu înfășurările principale și auxiliare repartizate sinusoidal în lungul pasului polar se echivalează în continuare, în mașina echivalentă din teoria celor două axe. Trebuie subliniat faptul că mașina fiind trifazată simetrică în stator și în rotor, are toate mărimile omopolare (curenți, tensiuni, fluxuri) egale cu zero și prin urmare, mașina echivalentă are în stator patru înfășurări repartizate sinusoidal, mobile față de stator fixe față de rotor, cu axele suprapuse două peste axa d și două peste axa q, câte una în fiecare axă corespunzătoare înfășurărilor principale ale mașinii (respectiv notate cu indicii d și q) și câte una în fiecare axă corespunzătoare înfășurărilor auxiliare ale mașinii (respectiv notate cu indicii a și b). De asemenea mașina echivalentă prezintă patru înfășurări în rotor, similare celor statorice, dar fixe față de rotor. Mărimile corespunzătoare înfășurărilor rotorice cu axele suprapuse peste axa d se notează cu indicele d', respectiv a' (după cum corespund înfășurărilor principale, respectiv celor auxiliare), iar cele corespunzătoare înfășurărilor rotorice cu axele suprapuse peste axa q, se notează în mod analog cu indicele q', respectiv b'. De asemenea, în acest caz,

coeficienții  $\xi_\lambda, \xi_\varepsilon, \xi_{\lambda'}, \xi_{\varepsilon'}$ , sînt:

$$\xi_\lambda = \xi_\varepsilon = \xi_{\lambda'} = \xi_{\varepsilon'} = \frac{2}{3} \quad (3.36)$$

Aplicînd relațiile de transformare pentru rezistențe (3.50) și (3.51) obținem rezistențele mașinii echivalente:

$$\begin{aligned} R_d = R_q = \frac{2}{3} R_1 & \quad ; \quad R_a = R_b = \frac{2}{3} R_3 \\ R_{d^*} = R_{q^*} = \frac{2}{3} R_2^* & \quad ; \quad R_{a^*} = R_{b^*} = \frac{2}{3} R_4^* \end{aligned} \quad (5.37)$$

Inductivitățile principale ale mașinii echivalente (rel.3.56) sînt egale cu cele ale mașinii trifazate în stator și în rotor, deoarece ea prezintă același număr de spire  $w_1$  atît în stator, cît și în rotor, număr de spire egal cu numărul de spire și al înfășurărilor mașinii echivalente. Deci:

$$L_{ddh} = L_{qqh} = L_{d^*d^*h} = L_{q^*q^*h} = L_{11h} \quad (5.40)$$

Se pot determina și inductivitățile de dispersie ale mașinii echivalente (3.62), (3.63), (3.64):

$$\begin{aligned} L_{d\sigma} = L_{q\sigma} = \frac{2}{3} L_{1\sigma} = \frac{2}{3} \frac{X_1}{2\omega f} & \quad ; \quad L_{a\sigma} = L_{b\sigma} = 0 \\ L_{d^*\sigma} = L_{q^*\sigma} = \frac{2}{3} L_{2\sigma} = \frac{2}{3} \frac{X_2^*}{2\omega f} & \quad ; \quad L_{a^*\sigma} = L_{b^*\sigma} = 0 \end{aligned} \quad (5.41)$$

Se consideră că nu există dispersie mutuală și deci  $L_{m\sigma} = 0$ ,  $L_{m^*\sigma} = 0$ .

Prin urmare, inductivitățile totale ale mașinii echivalente sînt:

$$L_{\lambda\lambda} = L_{\lambda\lambda h} + L_{\lambda\sigma} \quad \text{pentru } \lambda = d, q, d^*, q^*$$

$$L_{\lambda\lambda} = L_{\lambda\lambda h} \quad \text{pentru } \lambda = a, b, a^*, b^*$$

$$L_{\lambda\alpha} = L_{\lambda\lambda h} \quad \text{pentru } \lambda, \alpha = d, a, d^*, a^*, \text{ respectiv}$$

$$\lambda, \alpha = q, b, q^*, b^*, \text{ dar } \lambda \neq \alpha$$

5.3.2. Ecuațiile de transformare a mărimilor statorice și rotorice

În cele ce urmează se utilizează denumirea de "transformare directă" pentru transformarea mărimilor din mașina de inducție trifazată cu înfășurări repartizate sinusoidal în lungul pasului polar, în mașina echivalentă, cu înfășurări în axele d și q, și respectiv de "transformare inversă" în cazul obținerii mărimilor din mașina trifazată, când se cunosc mărimile din mașina echivalentă.

Ecuațiile de transformare se obțin din particularizarea ecuațiilor prezentate în capitolul 3.2.1, respectiv 3.2.2.

a) ecuațiile de transformare a curenților statorici:

- transformarea directă:

$$i_d = \sum_{\lambda=1}^3 i_{\lambda} \cos(\theta - \theta_{\lambda}) \quad i_a = - \sum_{\varepsilon=4}^6 i_{\varepsilon} \cos(\theta - \theta_{\varepsilon})$$

$$i_q = - \sum_{\lambda=1}^3 i_{\lambda} \sin(\theta - \theta_{\lambda}) \quad i_b = \sum_{\varepsilon=4}^6 i_{\varepsilon} \sin(\theta - \theta_{\varepsilon})$$

(5.43)

în care:

$$\theta_{\lambda} = \frac{(\lambda-1)2\bar{u}}{3}, \quad i_{\lambda} = I_1 \sqrt{2} \left[ \sin \omega_1 t - \varphi_1 - \frac{(\lambda-1)2\bar{u}}{3} \right] \text{ pentru } \lambda=1,2,3,$$

$$\theta_{\varepsilon} = \frac{(\varepsilon-4)2\bar{u}}{3}, \quad i_{\varepsilon} = I_3 \sqrt{2} \sin \left[ \omega_1 t - \varphi_3 - \frac{(\varepsilon-4)2\bar{u}}{3} \right] \text{ pentru } \varepsilon=4,5,6$$

$$\theta = (\omega_1 - \omega_2)t \quad \text{S-a ales } \theta_0 = 0$$

iar  $I_1$ , respectiv  $I_3$  au expresiile date de (5.29), respectiv (5.32).

Înlocuind pe  $i_{\lambda}$  și  $\theta_{\lambda}$  în relațiile (5.43), în urma unor calcule simple se obțin expresiile curenților statorici din mașina echivalentă:

$$i_d = \frac{3}{2} I_1 \sqrt{2} \sin(\omega_1 t - \theta - \varphi_1) \quad i_a = - \frac{3}{2} I_3 \sqrt{2} \sin(\omega_1 t - \theta - \varphi_3)$$

$$i_q = - \frac{3}{2} I_1 \sqrt{2} \cos(\omega_1 t - \theta - \varphi_1); \quad i_b = \frac{3}{2} I_3 \sqrt{2} \cos(\omega_1 t - \theta - \varphi_3)$$

(5.44)

- transformarea inversă:

$$i_{\lambda} = \frac{2}{3} [i_d \cos(\theta - \theta_{\lambda}) - i_q \sin(\theta - \theta_{\lambda})] \text{ cu } \theta_{\lambda} = \frac{(\lambda-1)2\bar{u}}{3} \text{ pentru } \lambda=1,2,3$$

$$i_{\varepsilon} = -\frac{2}{3} [i_a \cos(\theta - \theta_{\varepsilon}) - i_b \sin(\theta - \theta_{\varepsilon})] \text{ cu } \theta_{\varepsilon} = \frac{(\varepsilon-4)2\bar{u}}{3} \text{ pentru } \varepsilon=4,5,6 \quad (5.45)$$

b) ecuațiile de transformare a tensiunilor

- transformarea directă:

$$u_d = \sum_{\lambda=1}^3 \frac{2}{3} u_{\lambda} \cos(\theta - \theta_{\lambda}) \quad (5.46)$$

$$u_q = -\sum_{\lambda=1}^3 \frac{2}{3} u_{\lambda} \sin(\theta - \theta_{\lambda})$$

în care:  $\theta_{\lambda} = \frac{(\lambda-1)2\bar{u}}{3}$ ,  $u_{\lambda} = U_1 \sqrt{2} \sin\left[\omega_1 t - \frac{(\lambda-1)2\bar{u}}{3}\right]$ ,  $\lambda=1,2,3$

$U_1$  fiind tensiunea de fază la bornele înfășurării statorice a mașinii reale.

Înlocuind pe  $u_{\lambda}$  și  $\theta_{\lambda}$  în relațiile (5.46) se obțin expresiile tensiunilor la bornele înfășurărilor mașinii echivalente:

$$u_d = U_1 \sqrt{2} \sin(\omega_1 t - \theta) \quad (5.47)$$

$$u_q = -U_1 \sqrt{2} \cos(\omega_1 t - \theta)$$

- transformarea inversă:

$$u_{\lambda} = u_d \cos(\theta - \theta_{\lambda}) - u_q \sin(\theta - \theta_{\lambda}) \quad \theta_{\lambda} = \frac{(\lambda-1)2\bar{u}}{3}, \quad \lambda=1,2,3, \quad (5.48)$$

Tensiunile la bornele înfășurărilor auxiliare statorice, precum și la bornele înfășurărilor rotorice, atât principalele cât și auxiliare, sînt teate nule, în ambele transformări.

c) ecuațiile de transformare a fluxurilor statorice:

- transformarea directă:

$$\psi_d = \frac{2}{3} \sum_{\lambda=1}^3 \psi_{\lambda} \cos(\theta - \theta_{\lambda}) \text{ cu } \theta_{\lambda} = \frac{(\lambda-1)2\bar{u}}{3} \quad \lambda=1,2,3$$

$$\psi_q = -\frac{2}{3} \sum_{\lambda=1}^3 \psi_{\lambda} \sin(\theta - \theta_{\lambda})$$

$$\psi_{\varepsilon} = \frac{2}{3} \sum_{\varepsilon=4}^6 \psi_{\varepsilon} \cos(\theta - \theta_{\varepsilon}) \text{ cu } \theta_{\varepsilon} = \frac{(\varepsilon-4)2\bar{u}}{3} \quad \varepsilon=4,5,6 \quad (5.49)$$

$$\psi_b = -\frac{2}{3} \sum_{\varepsilon=4}^6 \psi_{\varepsilon} \sin(\theta - \theta_{\varepsilon})$$

- transformarea inversă:

$$\begin{aligned} \psi_{\lambda} &= \psi_d \cos(\theta - \theta_{\lambda}) - \psi_q \sin(\theta - \theta_{\lambda}) \quad \theta_{\lambda} = \frac{(\lambda-1)2\pi}{3}, \quad \lambda=1,2,3 \\ \psi_{\varepsilon} &= \psi_a \cos(\theta - \theta_{\varepsilon}) - \psi_b \sin(\theta - \theta_{\varepsilon}) \quad \theta_{\varepsilon} = \frac{(\varepsilon-4)2\pi}{3}, \quad \varepsilon=4,5,6 \end{aligned} \quad (5.50)$$

d) ecuațiile de transformare a curenților rotorici:

- transformarea directă:

$$\begin{aligned} i_d &= \sum_{\lambda'=1}^3 i_{\lambda'} \cos \theta_{\lambda'}, \quad \theta_{\lambda'} = \frac{(\lambda'-1)2\pi}{3} \quad \lambda'=1,2,3 \\ i_q &= \sum_{\lambda'=1}^3 i_{\lambda'} \sin \theta_{\lambda'}, \quad i_{\lambda'} = I_2 \sqrt{2} \sin \left[ \omega_2 t - \varphi_2 - \frac{(\lambda'-1)2\pi}{3} \right] \\ i_a &= \sum_{\varepsilon'=4}^6 i_{\varepsilon'} \cos \theta_{\varepsilon'}, \quad \theta_{\varepsilon'} = \frac{(\varepsilon'-4)2\pi}{3} \quad \varepsilon'=4,5,6 \\ i_b &= \sum_{\varepsilon'=4}^6 i_{\varepsilon'} \sin \theta_{\varepsilon'}, \quad i_{\varepsilon'} = I_4 \sqrt{2} \sin \left[ \omega_2 t - \varphi_4 - \frac{(\varepsilon'-4)2\pi}{3} \right] \end{aligned} \quad (5.51)$$

Inlocuind în (5.51) curenții  $i_{\lambda'}$ ,  $i_{\varepsilon'}$ ,  $\theta_{\lambda'}$ ,  $\theta_{\varepsilon'}$ , se obțin curenți rotorici din mașina echivalentă în forma (5.52):

$$\begin{aligned} i_d &= \frac{3}{2} I_2 \sqrt{2} \sin(\omega_2 t - \varphi_2) & i_q &= -\frac{3}{2} I_2 \sqrt{2} \cos(\omega_2 t - \varphi_2) \\ i_a &= \frac{3}{2} I_4 \sqrt{2} \sin(\omega_2 t - \varphi_4) & i_b &= \frac{3}{2} I_4 \sqrt{2} \cos(\omega_2 t - \varphi_4) \end{aligned} \quad (5.52)$$

- transformarea inversă:

$$\begin{aligned} i_{\lambda'} &= \frac{2}{3} (i_d \cos \theta_{\lambda'} + i_q \sin \theta_{\lambda'}) & \theta_{\lambda'} &= \frac{(\lambda'-1)2\pi}{3} \quad \lambda'=1,2,3 \\ i_{\varepsilon'} &= \frac{2}{3} (i_a \cos \theta_{\varepsilon'} + i_b \sin \theta_{\varepsilon'}) & \theta_{\varepsilon'} &= \frac{(\varepsilon'-4)2\pi}{3} \quad \varepsilon'=4,5,6 \end{aligned} \quad (5.53)$$

e) ecuațiile de transformare a fluxurilor rotorice:

- transformarea directă:

$$\begin{aligned} \psi_d &= \frac{2}{3} \sum_{\lambda'=1}^3 \cos \theta_{\lambda'} \psi_{\lambda'}, \quad \psi_{\lambda'} = \frac{2}{3} \sum_{\lambda'=1}^3 \psi_{\lambda'} \sin \theta_{\lambda'}, \quad \theta_{\lambda'} = \frac{(\lambda'-1)2\pi}{3}, \quad \lambda'=1,2,3 \\ \psi_a &= \frac{2}{3} \sum_{\varepsilon'=4}^6 \psi_{\varepsilon'} \cos \theta_{\varepsilon'}, \quad \psi_b = \frac{2}{3} \sum_{\varepsilon'=4}^6 \psi_{\varepsilon'} \sin \theta_{\varepsilon'}, \quad \theta_{\varepsilon'} = \frac{(\varepsilon'-4)2\pi}{3}, \quad \varepsilon'=4,5,6 \end{aligned} \quad (5.54)$$

- transformarea inversă:

$$\Psi_{\lambda'} = \Psi_d \cdot \cos \theta_{\lambda'} + \Psi_q \cdot \sin \theta_{\lambda'} \quad , \quad \theta_{\lambda'} = \frac{(\lambda'-1)2\pi}{3} \quad , \quad \lambda' = 1, 2, 3 \quad (5.55)$$

$$\Psi_{\varepsilon'} = \Psi_a \cdot \cos(\theta_{\varepsilon'}) + \Psi_b \cdot \sin(\theta_{\varepsilon'}) \quad , \quad \theta_{\varepsilon'} = \frac{(\varepsilon'-4)2\pi}{3} \quad , \quad \varepsilon' = 4, 5, 6$$

5.3.3. Ecuațiile dintre tensiuni și curenți pentru mașina echivalentă

Mașina echivalentă are inductivitățile principale ale înfășurărilor auxiliare:

$$L_{aa} = L_{bb} = L_{a \cdot a} = L_{b \cdot b} = L_{11h} \quad (5.56)$$

iar inductivitățile mutuale:

$$L_{ad} = L_{da} = L_{a \cdot d} = L_{d \cdot a} = L_{d \cdot d} = L_{dd} = L_{d \cdot a} = L_{ad} = L_{11h} \quad (5.57)$$

$$L_{qb} = L_{bq} = L_{q \cdot b} = L_{b \cdot q} = L_{q \cdot q} = L_{qq} = L_{11h}$$

Prin urmare în acest caz fluxurile magnetice ale înfășurărilor auxiliare din axa d,  $\Psi_a$  și  $\Psi_a'$ , respectiv din axa q,  $\Psi_b$  și  $\Psi_b'$ , sînt egale:

$$\Psi_a = L_{da} i_d + L_{aa} i_a + L_{d \cdot a} i_d' + L_{a \cdot a} i_a' = L_{11h} (i_d + i_a + i_d' + i_a')$$

$$\Psi_a' = L_{da} i_d + L_{aa} i_a + L_{d \cdot a} i_d' + L_{a \cdot a} i_a' = L_{11h} (i_d + i_a + i_d' + i_a') \quad (5.58)$$

$$\Psi_b = L_{qb} i_q + L_{bb} i_b + L_{q \cdot b} i_q' + L_{b \cdot b} i_b' = L_{11h} (i_q + i_b + i_q' + i_b')$$

$$\Psi_b' = L_{qb} i_q + L_{bb} i_b + L_{q \cdot b} i_q' + L_{b \cdot b} i_b' = L_{11h} (i_q + i_b + i_q' + i_b')$$

deci:

$$\Psi_a = \Psi_a' \quad ; \quad \Psi_b = \Psi_b'$$

fluxurile magnetice ale înfășurărilor principale din axa d, respectiv q sînt:

$$\begin{aligned} \Psi_d &= L_d r i_d + \Psi_a & \Psi_d &= L_d r i_d + \Psi_a \\ \Psi_q &= L_q r i_q + \Psi_b & \Psi_q &= L_q r i_q + \Psi_b \end{aligned} \quad (5.59)$$



Sistemul de ecuații diferențiale (3.66), cărui a se atașează ecuația mișcării (3.67) cuprinde - în cazul mașinii de inducție echivalente - doar opt ecuații diferențiale, întrucât - așa cum s-a precizat anterior - componentele omopolare ale curenților și fluxurilor sînt nule, Deci sistemul de ecuații care descrie comportarea mașinii este:

$$\begin{aligned}
 u_d &= -R_d i_d - \frac{d\psi_d}{dt} + \psi_q \frac{d\theta}{dt}; & 0 &= R_d i_d + \frac{d\psi_d}{dt} \\
 u_q &= +R_q i_q - \frac{d\psi_q}{dt} + \psi_d \frac{d\theta}{dt}; & 0 &= R_q i_q + \frac{d\psi_q}{dt} \\
 0 &= R_a i_a + \frac{d\psi_a}{dt} - \psi_b \frac{d\theta}{dt}; & 0 &= R_a i_a + \frac{d\psi_a}{dt} \\
 0 &= R_b i_b + \frac{d\psi_b}{dt} + \psi_a \frac{d\theta}{dt}; & 0 &= R_b i_b + \frac{d\psi_b}{dt} \\
 \frac{J}{p} \cdot \frac{d^2\theta}{dt^2} &= M_{mec} + p(\psi_d i_q + \psi_a i_b - \psi_q i_d - \psi_b i_a)
 \end{aligned} \tag{5.60}$$

în care fluxurile au expresiile date de (5.58) și (5.59), iar rezistențele înfășurărilor mașinii echivalente au expresiile date de (5.37).

Ecuațiile (5.58), (5.59) și sistemul de ecuații diferențiale (5.60) descriu comportarea mașinii echivalente în orice fel de regim. Rezolvarea sistemului de ecuații (5.60) nu se poate face în cazul general, ci numai în cazuri concrete, cînd se aplică metode numerice.

## 6. PROCESE TRĂNZITORII ÎN MASINA DE INDUCȚIE CU DOUA VITEZE DE ROTATIE LA TRECEREA DE LA O VITEZA DE ROTATIE LA ALTA

### 6.1. Considerații generale

Ori de câte ori are loc schimbarea unei mărimi, curent tensiune, frecvență, putere, etc., variația mărimii care se modifică de la valoarea inițială la valoarea corespunzătoare noii situații, precum și variația celorlalte mărimi care depind de aceasta, are loc într-un anumit interval de timp. Acest interval are o durată dependentă de parametrii mașinii, ai circuitelor exterioare și poate fi de la fracțiuni de secundă până la mai multe secunde. În acest interval tranzitoriu, procesele au o desfășurare în timp diferită de cea corespunzătoare regimurilor staționare și se numesc procese tranzitorii, iar regimul de funcționare, regim tranzitoriu [24].

În regimurile tranzitorii, mărimile electrice - fluxuri și curenți numai variază sinusoidal în timp. Au loc componente periodice și aperiodice care se amortizează cu diferite constante de timp.

Valorile componentelor tranzitorii depind de condițiile inițiale, care diferă de la o fază la alta. De aceea calculul pe fiecare fază este laborios și complicat. Aceste dificultăți se pot înlătura prin utilizarea ecuațiilor mașinii stabilite în teoria celor două axe.

În mașinile electrice funcționând în instalații de producere a energiei electrice au loc procese tranzitorii ori de câte ori se modifică brusc condițiile de funcționare, cum sînt: variația bruscă a impedanțelor consumatorilor pe care debitează sau variația bruscă a cuplului mașinii primare. În mașina de inducție cu două viteze de rotație folosită în instalații aeroelectrice, au loc procese tranzitorii și la trecerea de la o viteză de rotație a mașinii electrice la cealaltă viteză de rotație, trece-se impusă de modificarea puterii mecanice transmisă arborelui de către mașina primară, respectiv de modificarea vitezei vîntului. Așa cum se precizează și în capitolul 2.4 pentru viteze ale vîntului pînă la o anumită valoare a acestuia este avantajoasă func-

ționarea mașinii electrice cu prima treaptă a vitezei de rotație iar pentru viteze ale vântului mai mari este avantajoasă funcționarea mașinii electrice cu a doua treaptă a vitezei de rotație.

Modificarea vitezei de rotație a mașinii electrice se obține prin deconectarea înfășurării statorice corespunzătoare unui număr de perechi de poli și comutarea înfășurării statorice corespunzătoare celui de al doilea număr de perechi de poli, conectarea putându-se face:

- a) fără temporizare, deci se deconectează întrerupătorul  $C_1$  (fig.6.1) și se conectează întrerupătorul  $C_2$  sau invers, se deconectează întrerupătorul  $C_2$  și se conectează întrerupătorul  $C_1$ ,
- b) cu temporizare, deci se deconectează întrerupătorul  $C_1$ , respectiv  $C_2$  și numai după un interval de timp se conectează  $C_2$ , respectiv  $C_1$ .

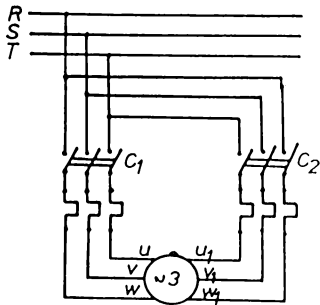


Fig.6.1

rupătoarele au ele însăși un timp de deschidere respectiv închidere a contactelor.

Prin urmare, la trecerea de la o viteză de rotație a mașinii electrice la cealaltă viteză de rotație distingem procese tranzitorii ce au loc la :

- a) deconectare ;
- b) reconectare.

În cadrul proceselor tranzitorii de la deconectarea înfășurării statorice corespunzătoare unui număr de perechi de poli se disting: un proces electromagnet tranzitoriu, care provoacă supratensiuni și scăderea cuplului electromagnetic, urmat de un proces tranzitoriu în care mărimile electrice (curenți, fluxuri, tensiuni) se amortizează, tinzând spre valoarea zero, concomitent cu creșterea vitezei de rotație a instalației, datorită prezenței cuplului mecanic.

În mod analog, la conectarea înfășurării statorice corespunzătoare

punzătoare celui de al doilea număr de perechi de poli, se distinge un proces electromagnetic tranzitoriu general, în care apar valori mari ale curenților și respectiv ale cuplului electromagnetic, proces ce se amortizează cu o anumită constantă de timp, urmat de procesul tranzitoriu de accelerare sau decelerare a mașinii, după cum are loc trecerea de la viteza de rotație mică la viteza de rotație mare sau invers.

În ambele cazuri, cuplul mecanic nu este constant, deoarece el însuși este funcție de viteza de rotație. Se admite însă ipoteza că în timpul proceselor tranzitorii, viteza vîntului rămîne constantă.

De asemenea, în continuare se studiază procesele tranzitorii pe baza ecuațiilor și parametrilor mașinii de inducție cu rotorul în scurtcircuit, prezentate în capitolul 5.3.

#### 6.2. Ecuațiile mașinii de inducție cu rotorul în scurtcircuit exprimate funcție numai de fluxurile magnetice cu considerarea pierderilor în fier.

Deoarece fluxurile înfășurărilor auxiliare din axa d, respectiv q, sînt aceleași atât în stator, cit și în rotor, adică:

$$\begin{aligned} \psi_a &= \psi_{a^*} = L_{11h}(i_d + i_a + i_{d^*} + i_{a^*}) \\ \psi_b &= \psi_{b^*} = L_{11h}(i_q + i_b + i_{q^*} + i_{b^*}) \end{aligned} \quad (6.1)$$

rezultă că și derivatele lor sînt egale, deci:

$$\frac{d\psi_a}{dt} = \frac{d\psi_{a^*}}{dt} \quad ; \quad \frac{d\psi_b}{dt} = \frac{d\psi_{b^*}}{dt} \quad (6.2)$$

Prin urmare dacă considerăm necunoscute valorile fluxurilor magnetice, acestea fiind în număr de 6, obținem o reducere a numărului de ecuații diferențiale care trebuiesc rezolvate.

Fluxurile magnetice din mașina echivalentă sînt date de relațiile (5.58), respectiv (5.59), relații din care se obțin și expresiile curenților  $i_d$ ,  $i_q$ ,  $i_{d^*}$ ,  $i_{q^*}$ :

$$\begin{aligned} i_d &= \frac{\psi_d - \psi_a}{L_{d\sigma}} \quad ; \quad i_q = \frac{\psi_q - \psi_b}{L_{q\sigma}} \\ i_{d^*} &= \frac{\psi_{d^*} - \psi_a}{L_{d^*\sigma}} \quad ; \quad i_{q^*} = \frac{\psi_{q^*} - \psi_b}{L_{q^*\sigma}} \end{aligned} \quad (6.3)$$

Curenții din înfășurările auxiliare, respectiv  $i_a, i_a', i_b, i_b'$ , se obțin din relațiile (6.1), cărora li se stăgează ecuațiile diferențiale corespunzătoare, deci obținem sistemul (6.4):

$$\begin{aligned} i_a + i_a' &= \frac{\psi_a}{L_{11h}} - (i_d + i_d') & i_b + i_b' &= \frac{\psi_b}{L_{11h}} - (i_q + i_q') \\ R_a i_a + \frac{d\psi_a}{dt} - \psi_b \frac{d\theta}{dt} &= 0 & R_b i_b + \frac{d\psi_b}{dt} + \psi_a \frac{d\theta}{dt} &= 0 \\ R_a i_a' + \frac{d\psi_a'}{dt} &= 0 & R_b i_b' + \frac{d\psi_b'}{dt} &= 0 \end{aligned} \quad (6.4)$$

în care s-a folosit egalitatea derivatelor fluxurilor dată de relația (6.2):

Introducînd în (6.4) expresiile curenților  $i_d, i_d'$ , respectiv  $i_q, i_q'$ , date de (6.3) și eliminînd expresiile derivatelor fluxurilor se obțin curenții din înfășurările auxiliare (6.5):

$$\begin{aligned} i_a &= -\frac{R_a'}{R_a + R_a'} \cdot \frac{\psi_d}{L_d \sigma} - \frac{R_a}{R_a + R_a'} \cdot \frac{\psi_d'}{L_d \sigma} + \frac{R_a'}{R_a + R_a'} \left( \frac{1}{L_{11h}} + \frac{1}{L_d \sigma} + \frac{1}{L_d \sigma} \right) \psi_a + \frac{\psi_b'}{R_a + R_a'} \cdot \frac{d\theta}{dt} \\ i_a' &= -\frac{R_a}{R_a + R_a'} \cdot \frac{\psi_d}{L_d \sigma} - \frac{R_a'}{R_a + R_a'} \cdot \frac{\psi_d'}{L_d \sigma} + \frac{R_a}{R_a + R_a'} \left( \frac{1}{L_{11h}} + \frac{1}{L_d \sigma} + \frac{1}{L_d \sigma} \right) \psi_a - \frac{\psi_b'}{R_a + R_a'} \cdot \frac{d\theta}{dt} \\ i_b &= -\frac{R_b'}{R_b + R_b'} \cdot \frac{\psi_q}{L_q \sigma} - \frac{R_b}{R_b + R_b'} \cdot \frac{\psi_q'}{L_q \sigma} + \frac{R_b'}{R_b + R_b'} \left( \frac{1}{L_{11h}} + \frac{1}{L_q \sigma} + \frac{1}{L_q \sigma} \right) \psi_b + \frac{\psi_a'}{R_b + R_b'} \cdot \frac{d\theta}{dt} \\ i_b' &= -\frac{R_b}{R_b + R_b'} \cdot \frac{\psi_q}{L_q \sigma} - \frac{R_b'}{R_b + R_b'} \cdot \frac{\psi_q'}{L_q \sigma} + \frac{R_b}{R_b + R_b'} \left( \frac{1}{L_{11h}} + \frac{1}{L_q \sigma} + \frac{1}{L_q \sigma} \right) \psi_b - \frac{\psi_a'}{R_b + R_b'} \cdot \frac{d\theta}{dt} \end{aligned} \quad (6.5)$$

$$+ \frac{1}{L_q \cdot \sigma} \psi_{b^*} + \frac{\psi_{a^*}}{R_b + R_{b^*}} \cdot \frac{d\theta}{dt}$$

Inlocuind curenții dați de (6.3) și (6.5) în sistemul de ecuații diferențiale (6.60) și separînd derivatele fluxurilor magnetice în raport cu timpul se obține:

$$\frac{d\psi_d}{dt} = - \frac{R_d}{L_d} (\psi_d - \psi_a) + \psi_q \frac{d\theta}{dt} - u_d$$

$$\frac{d\psi_q}{dt} = - \frac{R_q}{L_q} (\psi_q - \psi_b) - \psi_d \frac{d\theta}{dt} - u_q$$

$$\begin{aligned} \frac{d\psi_a}{dt} = & \frac{R_a R_{a^*}}{R_a + R_{a^*}} \cdot \frac{1}{L_d \sigma} \psi_d + \frac{R_a R_{a^*}}{R_a + R_{a^*}} \cdot \frac{1}{L_d \cdot \sigma} \psi_{d^*} - \frac{R_a R_{a^*}}{R_a + R_{a^*}} \left( \frac{1}{L_{11h}} + \right. \\ & \left. + \frac{1}{L_d \sigma} + \frac{1}{L_d \cdot \sigma} \right) \psi_a + \frac{R_{a^*}}{R_a + R_{a^*}} \cdot \psi_b \frac{d\theta}{dt} \end{aligned} \quad (6.6)$$

$$\begin{aligned} \frac{d\psi_b}{dt} = & \frac{R_b R_{b^*}}{R_b + R_{b^*}} \cdot \frac{1}{L_q \sigma} \psi_q + \frac{R_b R_{b^*}}{R_b + R_{b^*}} \cdot \frac{1}{L_q \cdot \sigma} \psi_{q^*} - \frac{R_b R_{b^*}}{R_b + R_{b^*}} \left( \frac{1}{L_{11h}} + \right. \\ & \left. + \frac{1}{L_q \sigma} + \frac{1}{L_q \cdot \sigma} \right) \psi_b - \frac{R_{b^*}}{R_b + R_{b^*}} \cdot \psi_a \frac{d\theta}{dt} \end{aligned}$$

$$\frac{d\psi_{d^*}}{dt} = - \frac{R_{d^*}}{L_{d^*} \sigma} (\psi_{d^*} - \psi_a)$$

$$\frac{d\psi_{q^*}}{dt} = - \frac{R_{q^*}}{L_{q^*} \sigma} (\psi_{q^*} - \psi_b)$$

Deci se înlocuiesc curenții  $i_\lambda$  ( $\lambda = a, b, d^*, q^*, a^*, b^*$ ) dați de (6.3) și (6.5) în expresia cuplului electromagnetic (3.74), ținînd cont de egalitatea parametrilor, respectiv de:  $R_d = R_q$ ,  $R_{d^*} = R_{q^*}$ ,  $R_a = R_b$ ,  $R_{a^*} = R_{b^*}$ ,  $R_{a^*} = R_{b^*}$ ,  $L_d = L_q$ ,  $L_{d^*} = L_{q^*}$ , și se obține cuplul electromagnetic funcție numai de fluxuri:

$$M = \frac{p}{L_d \sigma} \cdot \frac{R_a}{R_a + R_a} (\psi_d \psi_b - \psi_q \psi_a) + \frac{p}{L_d \sigma} \cdot \frac{R_a}{R_a + R_a} (\psi_d \psi_b - \psi_a \psi_q) - \frac{p}{R_a + R_a} (\psi_a^2 + \psi_b^2) \frac{d\theta}{dt} \quad (6.7)$$

Cuplul activ dat de turbina eoliană  $M_{ta}$ , este funcție de viteza de rotație a paletelor turbinei  $n_t$  (rel. 2.4). Intre viteza de rotație  $n_t$  și viteza de rotație a arborelui mașinii electrice  $n$ , respectiv derivata în raport cu timpul a unghiului există relația de legătură:

$$n = \frac{1}{2ap} \cdot \frac{d\theta}{dt} = k_T n_t \quad (6.8)$$

în care  $p$  - reprezintă numărul perechilor de poli ai mașinii electrice, iar  $k_T$  - raportul de multiplicare a vitezei de rotație a paletelor turbinei.

Variabila  $\lambda$  dată de relația (2.2) se exprimă și ea funcție de razapaletelor turbinei  $R_0$ , viteza vîntului  $v$ , raportul de multiplicare  $k_T$  și derivata în raport cu timpul a unghiului  $\frac{d\theta}{dt}$ :

$$\lambda = \frac{R_0}{v k_T} \cdot \frac{d\theta}{dt} \quad (6.9)$$

Exprimarea coeficientului de moment  $C_M$  dat de relația (2.3) funcție de parametrii instalației aeroelectrice, viteza vîntului  $v$ ,  $\frac{d\theta}{dt}$  nu este de loc dificilă. În cazul turbinei eoliene considerate, pentru viteze de rotație ale mașinii electrice cuprinse între cele două viteze sincrone  $n_{II}$  și  $n_{III}$ , pentru viteze ale vîntului  $v \geq 9$  m/s, variabila  $\lambda$  este cuprinsă între  $\lambda_{max1}$  și  $\lambda_{max2}$  și, prin urmare, coeficientul de moment are expresia:

$$C_M = A_1 - B_1 \lambda + C_1 \lambda^2$$

coeficienții  $A_1, B_1, C_1$ , precum și  $\lambda_{max1}, \lambda_{max2}$  fiind cunoscuți. Cu aceste precizări, expresia cuplului mecanic activ al turbinei, raportat la arborele mașinii electrice și notat cu  $M_{ta}$  este:

$$M_{\text{ta}} = \frac{\xi S v^2 R A_1}{2k_T} + \frac{-\xi S v R^2 B_1}{2k_T^2} \cdot \frac{d\theta}{dt} + \frac{\xi S v^3 C_1}{\frac{d\theta}{dt}} \quad (6.10)$$

iar expresia cuplului mecanic,  $M_{\text{mec}}$ , definit de relația (2.19) (este:

$$M_{\text{mec}} = \frac{(1-\gamma)P}{2kf} \eta - \frac{P_{\text{mec}}}{2kf} + \frac{\xi S v^2 R A_1}{2k_T} + \frac{-\xi S v R^2 B_1}{2k_T^2} \cdot \frac{d\theta}{dt} + \frac{\xi S v^3 C_1 P}{2} \frac{1}{\frac{d\theta}{dt}} \quad (6.10')$$

Relațiile (6.7) și (6.10) furnizează expresiile cuplului electromagnetic, respectiv mecanic în funcție de necunoscutele sistemului (5.60), adică: fluxurile magnetice  $\psi_\lambda$  ( $\lambda = d, q, a, b, d^0, q^0$ ) și derivata în raport cu timpul a unghiului  $\theta$ ,  $\frac{d\theta}{dt}$ . Înlocuind expresiile cuplului electromagnetic,  $M_e$ , respectiv mecanic,  $M_{\text{mec}}$ , în ecuația dinamicii sistemului și separând derivata de ordinul doi în raport cu timpul  $\frac{d^2\theta}{dt^2}$  se obține:

$$\frac{d^2\theta}{dt^2} = \frac{(1-\gamma)P}{2kf \cdot J} - \frac{P_{\text{mec}} \cdot P}{2kf \cdot J} + \frac{\xi S v^2 R A_1 P}{2k_T J} - \frac{p}{L_d \sigma} \cdot \frac{R_a}{R_a + R_a} \cdot \frac{p}{J} \cdot (\psi_d \psi_b - \psi_q \psi_a) -$$

$$- \left[ \frac{\xi S v R^2 B_1}{2J k_T^2} + \frac{p}{R_a + R_a} \cdot \frac{p}{J} (\psi_a^2 + \psi_b^2) \right] \frac{d\theta}{dt} + \frac{\xi S v^3 p^2 C_1}{2J} \frac{1}{\frac{d\theta}{dt}} \quad (6.11)$$

Se introduc următoarele notații pentru coeficienții necunoscutelor:

$$b_1 = -\frac{R_d}{L_d \sigma} = -\frac{R_q}{L_q \sigma} \quad ; \quad b_2 = -\frac{R_d^0}{L_d^0 \sigma} = -\frac{R_q^0}{L_q^0 \sigma}$$

$$b_3 = \frac{R_a R_a^0}{R_a + R_a} \cdot \frac{1}{L_d \sigma} = \frac{R_b R_b^0}{R_b + R_b} \cdot \frac{1}{L_q \sigma} \quad ; \quad b_4 = \frac{R_a R_a^0}{R_a + R_a} \cdot \frac{1}{L_d \sigma} = \frac{R_b R_b^0}{R_b + R_b} \cdot \frac{1}{L_q \sigma}$$

$$b_5 = -\frac{R_a R_a^0}{R_a + R_a} \left( \frac{1}{L_{11h}} + \frac{1}{L_d \sigma} + \frac{1}{L_d^0 \sigma} \right) = -\frac{R_b R_b^0}{R_b + R_b} \left( \frac{1}{I_{11h}} + \frac{1}{L_q \sigma} + \frac{1}{L_q^0 \sigma} \right)$$



$$b_6 = \frac{R_a}{R_a + R_a} = \frac{R_b}{R_b + R_b}$$

$$b_7 = - \frac{R_a R_a}{R_a + R_a} \left( \frac{1}{L_{11h}} + \frac{1}{L_d \sigma} \right) = - \frac{R_b R_b}{R_b + R_b} \left( \frac{1}{L_{11h}} + \frac{1}{L_d \sigma} \right)$$

$$b_8 = - \frac{(1-\eta) P_n p^2}{2 \bar{u} f J} - \frac{P_{mec} p^2}{2 \bar{u} f J} + \frac{\rho S v^2 R \Delta l p}{2 k_T J}$$

$$b_9 = - \frac{\rho S v R^2 B_1}{2 J k_T^2} ; \quad b_{10} = \frac{\rho S v^3 p^2 C_1}{2 J}$$

$$b_{11} = - \frac{(1-\eta) P_n \cdot p}{2 \bar{u} f} - \frac{P_{mec} \cdot p}{2 \bar{u} f} + \frac{\rho S v^2 R \Delta l}{2 k_T} \quad (6.12)$$

$$b_{12} = - \frac{\rho S v R^2 B_1}{2 k_T^2} ; \quad b_{13} = \frac{\rho S v^3 C_1 p}{2}$$

$$b_{14} = \frac{p}{L_d \sigma} \cdot \frac{R_a}{R_a + R_a} \cdot \frac{p}{J} ; \quad b_{15} = - \frac{p}{R_a + R_a} \cdot \frac{p}{J} ;$$

$$b_{16} = - \frac{p}{L_d \sigma} \cdot \frac{R_a}{R_a + R_a} \cdot \frac{p}{J}$$

De asemenea se notează  $\theta$  cu  $y$ , se introduce substituția:

$Z = \frac{d\theta}{dt}$ . Cu aceste precizări sistemul de ecuații diferențiale

(5.60) ce trebuie rezolvat este:

$$\frac{d\psi_a}{dt} = b_1(\psi_d - \psi_a) + \psi_q \cdot Z - U_1 \sqrt{2} \sin(\omega_1 t - y)$$

$$\frac{d\psi_q}{dt} = b_1(\psi_q + \psi_b) - \psi_d Z + U_1 \sqrt{2} \cos(\omega_1 t - y) \quad (6.13)$$

$$\frac{d\psi_a}{dt} = b_2(\psi_d - \psi_a)$$

$$\frac{d\psi_{q^*}}{dt} = b_2(\psi_{q^*} - \psi_b)$$

$$\frac{d\psi_a}{dt} = b_3\psi_d + b_4\psi_{d^*} + b_5\psi_a + b_6z\psi_b$$

(6.13)

$$\frac{d\psi_b}{dt} = b_3\psi_q + b_4\psi_{q^*} + b_5\psi_a - b_6z\psi_a$$

$$\frac{dz}{dt} = b_8 + b_9z + \frac{b_{10}}{z} + b_{14}(\psi_d \cdot \psi_b - \psi_a \psi_{q^*}) + b_{16}(\psi_d \psi_b - \psi_q \psi_a) +$$

$$b_{15} \cdot z (\psi_a^2 + \psi_b^2)$$

$$\frac{dy}{dt} = z$$

În care s-au înlocuit tensiunile  $u_d$  și  $u_q$  cu expresiile date de relațiile de transformare (5.47). De asemenea sistemul de ecuații diferențiale descrie comportarea mașinii de inducție considerate în diferite regimuri tranzitorii.

### 6.3. Deconectarea mașinii funcționând la o treaptă a vitezei de rotație

#### 6.3.1. Ipoteze și valori inițiale

Înainte de deconectare - la momentul  $t=0_-$  - mașina funcționează în regim permanent (stabilizat) la o anumită viteză de rotație  $n_1$ , respectiv alunecare  $s_1$ , înfășurările statorice având tensiunea la borne  $U_1$ , iar curenții ce parcurg înfășurările mașinii - mărimi notate cu indicele "i" se determină cu relațiile (5.32) -  $I_{1i}$ ,  $I_{2i}^*$ , respectiv (5.29) -  $I_{3i}$ ,  $I_{4i}^*$ . Aplicând relațiile de transformare pentru curenții statorici (5.43) și pentru curenții rotorici (5.51) se pot determina curenții din înfășurările principale și auxiliare din axele d și q ale mașinii la momentul  $t=0_+$ , respectiv  $i_{\lambda_1}$  ( $\lambda = d, q, a, b, d^*, q^*, a', b'$ ). Trebuie subliniat faptul că mașina funcționând la o anumită viteză de rotație  $n_1$ , corespunzătoare unui număr de perechi de poli  $p_1$  toți parametrii mașinii utilizați în calcule, sînt cei corespunzători

mașinii cu un număr de perechi de poli  $p_r$ .

Cunoscînd curenții din înfășurările principale și auxiliare ale mașinii, înainte de deconectare, precum și parametrii acestuia - rezistențe și inductivități - se determină fluxurile magnetice din mașină înainte de deconectare,  $\Psi_{\lambda i}$  ( $\lambda = d, q, a, b, d', q', a', b'$ ), respectiv:

$$\begin{aligned} \Psi_{d i} &= L_d \sigma_i^i d_i + \Psi_{a i} & \Psi_{q i} &= L_q \sigma_i^i q_i + \Psi_{b i} \\ \Psi_{d' i} &= L_{d'} \sigma_i^i d' i + \Psi_{a i} & \Psi_{q' i} &= L_{q'} \sigma_i^i q' i + \Psi_{b i} \\ \Psi_{a i} &= L_{11h} (i_{d i} + i_{a i} + i_{d' i} + i_{a' i}) \\ \Psi_{b i} &= L_{11h} (i_{q i} + i_{b i} + i_{q' i} + i_{b' i}) \end{aligned} \quad (6.14)$$

Mărimile din mașină din momentul imediat de după deconectare - moment notat în regimurile tranzitorii  $t=0_+$  - le notăm cu indicii "0".

După deconectarea mașinii, dacă nu se consideră procesele tranzitorii rapide de deconectare, determinate de puterea rețelei și a înfășurărilor [45], fluxurile magnetice ce trec prin înfășurările conectate în scurtcircuit, deci prin înfășurările auxiliare statorice și înfășurările rotorice, nu se schimbă în primul moment, deci putem spune că fluxurile acestor înfășurări se conservă, deci:

$$\Psi_{d' 0} = \Psi_{d' i}; \quad \Psi_{q' 0} = \Psi_{q' i}; \quad \Psi_{a 0} = \Psi_{a i}; \quad \Psi_{b 0} = \Psi_{b i} \quad (6.15)$$

O altă mărime care se conservă este viteza de rotație a mașinii și deci:

$$Z_0 = Z_i = 2 \bar{u} p \cdot n_0 \quad (6.16)$$

în care:  $p$  - este numărul perechilor de poli ai mașinii care se deconectează;

$n_0 = n_i$  - viteza de rotație a mașinii în momentul deconectării

Valoarea inițială a unghiului  $\theta$ ,  $y_0$  se poate alege arbi-

trar, deci inclusiv egală cu zero.

### 6.3.2. Ecuatiile maginii la deconectare

La deconectare, curenții din înfășurările principale staționale  $i_d$  și  $i_q$  sînt nuli, deoarece acestea sînt deschise. Prin urmare, fluxurile magnetice vor fi:

$$\psi_d = \psi_a; \quad \psi_q = \psi_b; \quad \psi_{d^*} = L_d \cdot i_d + \psi_a; \quad \psi_{q^*} = L_q \cdot i_q + \psi_b \quad (6.17)$$

$$\psi_a = L_{11h}(i_a + i_d + i_a); \quad \psi_b = L_{11h}(i_b + i_q + i_b)$$

iar sistemul de ecuații diferențiale devine:

$$\begin{aligned} \frac{d\psi_{d^*}}{dt} &= b_2(\psi_{d^*} - \psi_a) & \frac{d\psi_{q^*}}{dt} &= b_2(\psi_{q^*} - \psi_a) \\ \frac{d\psi_a}{dt} &= b_4\psi_{d^*} + b_7\psi_a + b_6Z\psi_b & \frac{d\psi_b}{dt} &= b_4\psi_{q^*} + b_7\psi_b - b_6Z\psi_a \\ \frac{dZ}{dt} &= b_8 + b_9Z + \frac{b_{10}}{Z} + b_{14}(\psi_{d^*}\psi_b - \psi_{q^*}\psi_a) + b_{15}Z(\psi_a^2 + \psi_b^2) \end{aligned} \quad (6.18)$$

$$\frac{dy}{dt} = Z$$

Sistemul de ecuații diferențiale cuprinde 6 ecuații și 6 necunoscute; fluxurile magnetice  $\psi_{d^*}$ ,  $\psi_{q^*}$ ,  $\psi_a$ ,  $\psi_b$ , derivata în raport cu timpul a unghiului  $\theta$ ,  $Z$  și respectiv unghiul  $\theta$ , notat cu  $y$ . Rezolvarea sistemului de ecuații diferențiale neliniare (6.18) se face numeric, aplicînd metoda Runge-Kutta-Gill.

Prin urmare, matricea  $[X]$  a funcțiilor necunoscute este o matrice coloană cu 6 elemente:  $\psi_{d^*}$ ,  $\psi_{q^*}$ ,  $\psi_a$ ,  $\psi_b$ ,  $Z$ ,  $y$ , iar matricea funcțiilor  $f(t, [X])$  este și ea o matrice coloană cu șase elemente, expresiile lor fiind date de (6.20):

$$X = \begin{bmatrix} \psi_d \\ \psi_q \\ \psi_a \\ \psi_b \\ z \\ y \end{bmatrix}; \quad f(t, [X]) = \begin{bmatrix} b_2(\psi_d - \psi_a) \\ b_2(\psi_q - \psi_b) \\ b_4\psi_d + b_7\psi_a + b_6z\psi_b \\ b_4\psi_q + b_7\psi_b - b_6z\psi_a \\ b_8 + b_9z + \frac{b_{10}}{z} + b_{14}(\psi_d, \psi_b - \psi_q, \psi_a) + \\ + b_{15}z(\psi_a^2 + \psi_b^2) \\ z \end{bmatrix} \quad (6.20)$$

Valorile inițiale ale necunoscutelor sînt cuprinse în matricea  $[X_0]$  iar valorile necunoscutelor corespunzătoare momentului  $t_k$  sînt date de matricea  $[\bar{X}_k]$

$$[X_0] = \begin{bmatrix} \psi_{d \cdot 0} \\ \psi_{q \cdot 0} \\ \psi_{a0} \\ \psi_{b0} \\ z_0 \\ y_0 \end{bmatrix}; \quad [\bar{X}_k] = \begin{bmatrix} \psi_{d \cdot k} \\ \psi_{q \cdot k} \\ \psi_{ak} \\ \psi_{bk} \\ z_k \\ y_k \end{bmatrix}$$

în care:  $\psi_{d \cdot 0}, \psi_{q \cdot 0}, \psi_{a0}, \psi_{b0}, z_0$  sînt date de relațiile (6.14), (6.15), (6.16), iar pentru  $y_0$  s-a ales valoarea zero.

Se mai introduc următoarele notații:

$$[X_{1k}] = [\bar{X}_k] + \beta_0 [K_1]; \quad [X_{2k}] = [\bar{X}_k] + \beta_1 [K_1] + \gamma_1 [K_2]; \quad (6.22)$$

$$[X_{3k}] = [\bar{X}_k] + \beta_2 [K_1] + \gamma_2 [K_2] + \delta_2 [K_3]$$

Cu acestea, matricele funcțiilor de aproximare  $[K_i] (i=1,2,3,4)$  sînt:

$$[K_1] = h f([\bar{X}_k]); \quad [K_2] = h f([X_{1k}]), \quad [K_3] = h f([X_{2k}]) \quad (6.23)$$

$$[K_4] = h f([X_{3k}])$$

iar valoarea aproximativă a soluției sistemului (6.18) la momentul  $t_{k+1} = t_k + h$  vor fi elementele matricei  $[\bar{X}_{k+1}]$ , adică:

$$[\bar{x}_{k+1}] = [\bar{x}_k] + \sum_{i=1}^4 d_i [K_i] \quad (6.24)$$

valorile ponderilor  $d_i$ , respectiv a coeficienților  $\beta_0, \beta_1, \beta_2$ ,  $\gamma_1, \delta_2, \delta_2$  fiind cunoscute (capitolul 4.3.2).

În continuare, rezolvarea sistemului de ecuații diferențiale nu mai poate fi făcută în caz general, ci numai concret, pentru mașina considerată.

Cunoscând valorile fluxurilor magnetice, ale derivatei unghiului  $\theta$  și ale unghiului  $\theta$  la momentul  $t=t_k$ , respectiv  $\psi_{d'k}, \psi_{q'k}, \psi_{ak}, \psi_{bk}, z_k, y_k$ , se pot determina, cu ajutorul relațiilor de transformare inversă (5.50), (5.53), (5.55) fluxurile magnetice și curenții rotorici din înfășurările principale, respectiv din înfășurările auxiliare statorice și rotorice, din mașina reală, cu și valoarea cuplului electromagnetic dată de (6.7). Se remarcă faptul că, prezența înfășurărilor auxiliare, corespunzătoare pierderilor în fier, conduce la existența unui cuplu electromagnetic și atunci când înfășurările statorice principale ale mașinii sînt deschise.

În anexa 6.1 sînt prezentate toate elementele matricilor utilizate.

#### 6.4. Reconectarea mașinii electrice, funcționînd a doua treaptă a vitezei de rotație

##### 6.4.1. Ipozeze și valori inițiale

Se admit următoarele ipoteze:

a) Reconectarea mașinii electrice la rețeaua trifazată, funcționînd la a doua treaptă a vitezei de rotație, deci avînd numărul de perechi de poli  $p_{II}$ , se face după un interval de timp  $\Delta t$ , interval de timp egal cu timpul de deschidere și închidere a contactelor întrerupătoarelor de acționare.

b) În momentul reconectării, curenții prin înfășurările auxiliare și înfășurările principale statorice sînt zero, adică  $i_{d0} = i_{q0} = i_{b0} = 0$ , iar fluxurile magnetice ale înfășurărilor principale rotorice, precum și curenții din aceste înfășurări au valori cunoscute, obținute din rezolvarea sistemului de ecuații diferențiale la deconectare, pentru intervalul de timp considerat.

c) Energia magnetică corespunzătoare înfășurărilor prin-

cipale rotorice din mașina care s-a deconectat, avînd numărul perechilor de poli  $p_I$  se regăsește în înfășurările principale rotorice din mașina care se conectează.

Fie  $i_{\lambda'_i}$  ( $\lambda' = 1', 2', 3'$ ) curentul rotorice al fazei  $\lambda'$  la momentul  $t=0_-$ , fluxul magnetic corespunzător  $\psi_{\lambda'_i}$ . Energia magnetică din rotor la momentul  $t=0_-$  este

$$W_{mi} = \frac{1}{2} \sum_{\lambda' = i'}^3 i_{\lambda'_i} \psi_{\lambda'_i} \quad (6.25)$$

Energia magnetică  $W_{mi}$  de la momentul  $t=0_-$  este egală cu energia magnetică  $W_{mo}$  a mașinii funcționînd cu un număr de perechi de poli egal cu  $p_{II}$ , la momentul  $t=0_+$ . Valorile mărimilor electrice corespunzătoare momentului  $t=0_+$  (imediat după reconectare) le notăm cu indicele "0" și ele vor fi valori inițiale la rezolvarea sistemului de ecuații diferențiale ce caracterizează regimul tranzitoriu. Energia magnetică  $W_{mo}$  este:

$$W_{mo} = \frac{1}{2} \sum_{\lambda' = i'}^3 i_{\lambda'_0} \psi_{\lambda'_0} \quad (6.26)$$

o ecuație cu trei necunoscute: fie curenții  $i_{\lambda'_0}$ , fie fluxurile  $\psi_{\lambda'_0}$ , căreia i se atagează relațiile ce definesc fluxurile mașinii:

$$\begin{aligned} \psi_{1,0} &= L_{11h} (i_{1,0} + i_{2,0} \cos \frac{2\bar{u}}{3} + i_{3,0} \cos \frac{4\bar{u}}{3}) + L_{2\sigma} i_{1b} \\ \psi_{2,0} &= L_{11h} (i_{1,0} \cos \frac{4\bar{u}}{3} + i_{2,0} + i_{3,0} \cos \frac{2\bar{u}}{3}) + L_{2\sigma} i_{2,0} \\ \psi_{3,0} &= L_{11h} (i_{1,0} \cos \frac{2\bar{u}}{3} + i_{2,0} \cos \frac{4\bar{u}}{3} + i_{3,0}) + L_{2\sigma} i_{3,0} \end{aligned} \quad (6.27)$$

Se consideră că la momentul  $t=0_+$ , avem:

a) Curentul pe o fază rotorică egal cu zero, deci:

$i_{1,0} = 0$ . Mașina fiind trifazată în rotor, are - în orice moment - suma valorilor momentane ale curenților egală cu zero și deci se obțin:  $i_{2,0} = -i_{3,0} = i_0^*$ . Înlocuind valorile în expresiile fluxurilor date de (6.27) se obțin:

$$\psi_{1,0} = 0; \quad \psi_{2,0} = i_0^* (\frac{3}{2} L_{11h} + L_{2\sigma}); \quad \psi_{3,0} = -i_0^* (\frac{3}{2} L_{11h} + L_{2\sigma}), \quad (6.28)$$

în care:  $L_{11h}$ , respectiv  $L_{2\sigma}$ , reprezintă inductivitatea principală, respectiv inductivitatea de dispersie a unei faze rotorice

ce din mașina considerată trifazată în stator și în rotor, cu repartiția sinusoidală a înfășurărilor în lungul polului polar având numărul de perechi de poli egal cu  $p_{II}$ , expresiile lor fiind date de (5.35), respectiv (5.34):

Deci energia magnetică a mașinii la momentul  $t=0_0$  este:

$$w_{m0} = \frac{1}{2} i_0^2 \left( \frac{3}{2} L_{11h} + \frac{k_X X_2^*}{2 \bar{u} f} \right) \quad (6.29)$$

în care  $k_X$  este factorul de modificare a reactanței rotorice, corespunzător vitezei de rotație  $n_i$ , dar considerată în mașina care se conectează, expresia lui fiind dată de (2.12), iar  $f$  frecvența.

Energia magnetică din mașina care se conectează,  $w_{m0}$ , este aceeași cu energia magnetică din mașina care s-a deconectat,  $w_{m1}$ , și deci se obține valoarea curentului  $i_0'$ :

$$i_0' = \sqrt{\frac{2}{3} \frac{\sum_{\lambda=1}^3 i_{\lambda 1}' \psi_{\lambda 1}'}{\frac{3}{2} L_{11h} + \frac{k_X X_2^*}{2 \bar{u} f}}} \quad (6.30)$$

Cunoscând valorile inițiale ale curenților rotorici  $i_{\lambda 0}'$  ( $\lambda=1, 2, 3$ ) cu (6.28) se determină valorile inițiale ale fluxurilor magnetice rotorice,  $\psi_{\lambda 0}'$ , respectiv aplicând relațiile de transformare directă pentru mărimile rotorice (5.51), (5.54) se obțin valorile inițiale ale curentului, respectiv fluxurilor magnetice corespunzătoare înfășurărilor principale rotorice din axele  $d$  și  $q$ , precum și a fluxurilor magnetice ale înfășurărilor auxiliare din aceeași axe:

$$i_{d \cdot 0} = 0; \quad i_{q \cdot 0} = i_0' \sqrt{3}; \quad \psi_{d \cdot 0} = 0; \quad \psi_{q \cdot 0} = i_0' \sqrt{3} (L_{11h} + L_{q \cdot \sigma}) \quad (6.31)$$

$$\psi_{a0} = 0; \quad \psi_{b0} = i_0' \sqrt{3} \cdot L_{11h} \quad \text{cu } L_{q \cdot \sigma} = \frac{2}{3} \cdot \frac{k_X X_2^*}{2 \bar{u} f}$$

Relațiile (6.31) dau valorile inițiale ale mărimilor rotorice corespunzătoare înfășurărilor principale, și ale mărimilor corespunzătoare înfășurărilor auxiliare. Introducând valorile inițiale ale curenților statorici  $i_{d0} = i_{q0} = 0$  în expresiile fluxurilor magnetice date de (5.59) și ținând cont de



(6.31) se obțin:

$$\psi_{d0} = 0 ; \quad \psi_{q0} = \psi_{b0} \quad (6.32)$$

Deci relațiile (6.31) și (6.32) furnizează valorile inițiale în cazul în care se consideră că în momentul conectării, curentul unei faze rotorice trece prin zero.

b) Curentul pe o fază rotorică este maxim, deci valoarea redusă la stator va fi:  $i_{1,0} = i_{\max}'$ , iar curenții celorlalte două faze rotorice vor fi:  $i_{2,0} = i_{3,0} = -i_{\max}'$ . În acest caz, fluxurile rotorice sînt:

$$\begin{aligned} \psi_{1,0} &= i_{\max}' \left( \frac{3}{2} L_{11h} + L_{2\sigma} \right); & \psi_{2,0} &= i_{2,0} \left( \frac{3}{2} L_{11h} + L_{2\sigma} \right) \\ \psi_{3,0} &= i_{3,0} \left( \frac{3}{2} L_{11h} + L_{2\sigma} \right) \end{aligned} \quad (6.33)$$

obținîndu-se pentru  $i_{\max}'$  expresia:

$$i_{\max}' = \sqrt{\frac{\frac{3}{2} \sum_{\lambda=1}^3 i_{\lambda}' \psi_{\lambda}'}{\frac{3}{2} L_{11h} + \frac{k_X \cdot X_2'}{2 \bar{u} f}}} \quad (6.34)$$

respectiv valorile inițiale ale fluxurilor magnetice din mașina echivalentă:

$$\psi_{a0} = \frac{3}{2} L_{11h} i_{\max}' ; \quad \psi_{d,0} = \frac{3}{2} (L_{11h} + L_{d\sigma}) i_{\max}' ; \quad \psi_{d0} = \psi_{u0} \quad (6.35)$$

$$\psi_{b0} = 0 ; \quad \psi_{q0} = 0 ; \quad \psi_{q,0} = 0 \text{ cu } L_{d\sigma} = \frac{2}{3} \cdot \frac{k_X \cdot X_2'}{2 \bar{u} f}$$

Relațiile (6.35) furnizează valorile inițiale la reconectare, în cazul în care se consideră că, în momentul conectării, curentul unei faze rotorice este maxim.

Pentru a determina complet momentul reconectării este necesar să se precizeze cum sînt fluxurile rotorice față de cele statorice [46]. Dacă în momentul reconectării fluxul rotoric este în opoziție de fază față de fluxul statoric de după reconectare,

deci de la momentul  $t=0_+$ , atunci se vor obține șocuri mari de curent și de cuplu.

În cazul în care curentul unei faze rotorice este egal cu zero la momentul  $t=0_+$ , adică  $i_{10}=0$ , fluxul fazei 1' rotorice este  $\psi_{1'0}=0$ , deci pentru ca fluxul statoric să fie în opoziție de fază cu cel rotoric este necesar ca și fluxul statoric să fie:  $\psi_{10}=0$ .

Dar, în acest caz avem  $\psi_{d0}=0$ ,  $\psi_{q0} \neq 0$ , deci aplicând relația de transformare inversă pentru fluxul statoric (5.50), se obține:

$$\psi_{10} = -\psi_{q0} \sin \theta_0 \quad (6.36)$$

deci pentru ca fluxul statoric să fie zero în momentul conectării este necesar ca  $\psi_{q0}=0$ .

În cazul în care curentul unei faze rotorice este maxim la momentul  $t=0_+$ , adică  $i_{1'0}=i_{1'max}$ , fluxul fazei 1' rotorice este  $\psi_{1'0}=\psi_{1'max}$ , deci pentru ca fluxul statoric să fie în opoziție de fază cu cel rotoric - în mod analog - rezultă necesitatea ca  $\theta_0 = \bar{u}$ . Dacă însă  $\theta_0=0$ , atunci:

$$\psi_{1'0} = \psi_{1'max}, \quad \psi_{10} = \psi_{1'max}, \text{ deci fluxurile sînt în fază.}$$

În ambele cazuri, cînd  $\theta_0 = \frac{\pi}{2}$  rezultă că fluxurile statorice și rotorice sînt în cuadratură. Prin urmare, sintetizînd condițiile inițiale de reconectare pentru fluxurile statorice și rotorice se obține:

$\theta_0=0$   $i_{1'0}=0$  - fluxuri statorice în opoziție de fază cu cele rotorice, ambele fiind nule la momentul inițial

$\theta_0 = \frac{\pi}{2}$   $i_{1'0}=0$  - fluxurile statorice sînt în cuadratură cu cele rotorice, respectiv fluxul statoric trece prin valoarea maximă negativă, cel rotoric prin zero

$\theta_0=0$   $i_{1'0}=i_{1'max}$  - fluxurile statorice sînt în fază cu cele rotorice ambele avînd valoarea maximă pozitivă.

$\theta_0 = \frac{\pi}{2}$   $i_{1'0}=i_{1'max}$  - fluxurile statorice sînt în cuadratură cu cele rotorice, fluxul statoric al unei faze fiind zero, cel rotoric avînd valoarea max. pozitivă

$\theta_0 = \pi$   $i_{1'0}=i_{1'max}$  - fluxurile statorice sînt în opoziție de fază cu cele rotorice, respectiv fluxul statoric trece prin valoarea maximă negativă, iar cel rotoric prin valoarea max. negativă.

(6.37)

Prin urmare, se poate rezolva sistemul de ecuații diferențiale ce descrie comportarea mașinii în regim tranzitoriu, întrucât relațiile (6.37) corelate cu (6.30)-(6.35) furnizează valorile inițiale ale tuturor fluxurilor și a unghiului  $\alpha$  în momentul conectării.

Valoarea inițială a derivatei lui  $\alpha$  în raport cu timpul, este dată de:

$$Z_0 = 2 \bar{u} p_{11} n_i \quad (6.38)$$

în care:  $p_{11}$  este numărul perechilor de poli din mașina care se conectează la rețea, iar  $n_i$  este viteza de rotație a acesteia în momentul reconectării.

#### 6.4.2. Ecuațiile mașinii la reconectare

La reconectarea, parametrii mașinii sînt cei corespunzători numărului de perechi de poli  $p_{11}$ , iar sistemul de ecuații diferențiale corespunzător este dat de relațiile (6.13). Sistemul cuprinde 8 ecuații și tot atîtea necunoscute: valorile fluxurilor  $\psi_d, \psi_q, \psi_a, \psi_b, \psi_{d'}, \psi_{q'}$ , ale lui  $\frac{d\alpha}{dt}$ ,  $Z$  și unghiul  $\alpha$  notat  $y$ .

Sistemul de ecuații diferențiale (6.13) este neliniar, rezolvarea lui făcîndu-se numeric, prin aplicarea metodei Runge-Kutta-Gill.

Matricea  $[X]$  a funcțiilor necunoscute este o matrice coloană cu 8 elemente, iar matricea funcțiilor  $f(t, [X])$  este și ea o matrice coloană cu 8 elemente, expresiile lor fiind:

$$X = \begin{bmatrix} \psi_d \\ \psi_q \\ \psi_a \\ \psi_b \\ \psi_{d'} \\ \psi_{q'} \\ Z \\ y \end{bmatrix} \quad f(t, [X]) = \begin{bmatrix} b_1(\psi_d - \psi_a) + \psi_q Z - U_1 \sqrt{2} \sin(\omega_1 t - y) \\ b_1(\psi_q - \psi_b) - \psi_d Z + U_1 \sqrt{2} \cos(\omega_1 t - y) \\ b_3 \psi_d + b_4 \psi_{d'} + b_5 \psi_a + b_6 Z \psi_b \\ b_3 \psi_q + b_4 \psi_{q'} + b_5 \psi_b + b_6 Z \psi_a \\ b_2(\psi_{d'} - \psi_a) \\ b_2(\psi_{q'} - \psi_b) \\ b_8 + b_9 Z + \frac{b_{10}}{Z} + b_{14}(\psi_d \psi_b - \psi_q \psi_a) + b_{16}(\psi_d \psi_b - \psi_q \psi_a) + b_{15} Z(\psi_a^2 + \psi_b^2) \\ Z \end{bmatrix} \quad (6.39)$$

Valorile inițiale ale necunoscutelor sînt elementele  
trîței  $[X_0]$ , iar valorile necunoscutelor la momentul  $t_k$   
mează matricea  $[\bar{X}_k]$ :

$$Q = \begin{bmatrix} \psi_{d0} \\ \psi_{q0} \\ \psi_{a0} \\ \psi_{b0} \\ \psi_{d^*0} \\ \psi_{q^*0} \\ z_0 \\ y_0 \end{bmatrix} \quad [\bar{X}_k] = \begin{bmatrix} \psi_{dk} \\ \psi_{qk} \\ \psi_{ak} \\ \psi_{bk} \\ \psi_{d^*k} \\ \psi_{q^*k} \\ z_k \\ y_k \end{bmatrix} \quad (6.40)$$

Se introduc următoarele notații:

$$[x_{1k}] = [\bar{X}_k] + \beta_0 [K_1]; \quad [x_{2k}] = [\bar{X}_k] + \beta_1 [K_1] + \gamma_1 [K_2]; \quad (6.41)$$

$$[x_{3k}] = [\bar{X}_k] + \beta_2 [K_1] + \gamma_2 [K_2] + \delta_2 [K_3]; \quad t_{1k} = t_k + \alpha_0 h;$$

$$t_{2k} = t_k + \alpha_1 h$$

$$t_{3k} = t_k + \alpha_2 h$$

care  $[x_{ik}]$  și  $[K_i]$  ( $i=1,2,3$ ) sînt matrici coloană cu 8  
mente.

Matriciile funcțiilor de aproximare  $[K_i]$  ( $i=1,2,3,4$ ) sînt:

$$[K_1] = h f(t_k, [x_k]); \quad [K_2] = h f(t_{1k}, [x_{1k}]) \quad (6.42)$$

$$[K_3] = h f(t_{2k}, [x_{2k}]); \quad [K_4] = h f(t_{3k}, [x_{3k}])$$

valoarea aproximativă a soluției sistemului (6.13), la mo-  
mentul  $t_{k+1} = t_k + h$  vor fi elementele matricii  $[\bar{X}_{k+1}]$ , adică:

$$[\bar{X}_{k+1}] = [\bar{X}_k] + \sum_{i=1}^4 d_i [K_i] \quad (6.43)$$

valorile ponderilor  $d_i$ , respectiv a coeficienților  $\alpha_0, \alpha_1, \alpha_2, \beta_0, \beta_1, \beta_2, \delta_1, \delta_2, \delta_2^r$  fiind cunoscute (capitolul 4.3.2).

În continuare, rezolvarea sistemului de ecuații diferențiale nu mai poate fi făcută în caz general, ci numai concret, pentru mașina considerată.

Cunoscând valorile fluxurilor magnetice din mașina echivalentă, unghiul  $\theta$  și derivata lui la momentul  $t=t_k$ , respectiv

$\psi_{dk}, \psi_{qk}, \psi_{ak}, \psi_{bk}, \psi_{d^*k}, \psi_{q^*k}, z_k, y_k$  se pot determina:

- curenții din mașina echivalentă  $i_\lambda$  ( $\lambda=d, q, a, b, d^*, q^*, a^*, b^*$ ) cu relațiile (6.3), respectiv (6.5);

- cuplul electromagnetic  $M$  (rel.6.7) și cuplul mecanic  $M_{mec}$  (6.10);

- curenții din înfășurările principale, respectiv auxiliare ale mașinii reale:  $i_\lambda$  ( $\lambda=1, 2, 3$ ),  $i_\varepsilon$  ( $\varepsilon=4, 5, 6$ ), respectiv  $i_{\lambda'}$  ( $\lambda'=1^*, 2^*, 3^*$ ) și  $i_{\varepsilon'}$  ( $\varepsilon'=4^*, 5^*, 6^*$ ) folosind relațiile de transformare inversă (6.45) și (6.52);

- fluxurile magnetice ale înfășurărilor principale, respectiv auxiliare ale mașinii reale:  $\psi_\lambda$  ( $\lambda=1, 2, 3$ ),  $\psi_\varepsilon$  ( $\varepsilon=4, 5, 6$ ), respectiv  $\psi_{\lambda'}$  ( $\lambda'=1^*, 2^*, 3^*$ ),  $\psi_{\varepsilon'}$  ( $\varepsilon'=4^*, 5^*, 6^*$ ).

- viteza de rotație a mașinii:

$$n = \frac{z_k}{2\pi p} \quad (6.44)$$

Toate aceste mărimi fiind cunoscute, este cunoscută comportarea mașinii reale la momentul  $t=t_k$ .

La reconectare, se disting două procese tranzitorii:

- un proces tranzitoriu electromagnetic general, în care curenții și cuplul electromagnetic ating valori mari față de valorile nominale, care se amortizează în câteva zeci de milisecunde, iar în timpul acestui proces viteza de rotație se modifică puțin.

- un proces tranzitoriu de accelerare (la trecerea de la viteza de rotație mică la viteza de rotație mare) sau de decelerare (la trecerea de la viteza de rotație mare la viteza de rotație mică). În timpul acestui proces tranzitoriu, curenții sînt mărimi periodice, menținîndu-se la valori de 2-4 ori mai mari decît valorile nominale, cuplul electromagnetic nu mai este o mărime oscilatorie, iar viteza de rotație crește sau scade continuu. La sfîrșitul acestui proces tranzitoriu mașina atinge noua viteză

de rotație, corespunzătoare funcționării - la viteză vîntului dată - cu numărul de perechi de poli  $p_{II}$ .

In anexa 6.2 sînt date toate elementele matricilor utilizate în acest capitol.

6.5. Ecuațiile mașinii de inducție cu rotorul în scurtcircuit exprimate funcție numai de fluxurile magnetice - fără considerarea pierderilor în fier

Ecuațiile mașinii de inducție cu rotorul în scurtcircuit fără considerarea pierderilor în fier se obțin prin particularizarea ecuațiilor sistemului (3.69), pentru cazul  $u_d = 0$ ;  $u_q = 0$ , adică:

$$\begin{aligned} u_d &= -R_d i_d - \frac{d\psi_d}{dt} + \psi_q \frac{d\theta}{dt} & 0 &= -R_d i_d - \frac{d\psi_d}{dt} \\ u_q &= -R_q i_q - \frac{d\psi_q}{dt} - \psi_d \frac{d\theta}{dt} & 0 &= -R_q i_q - \frac{d\psi_q}{dt} \\ u_{o\lambda} &= -R_{o\lambda} i_{o\lambda} - \frac{d\psi_{o\lambda}}{dt} & 0 &= -R_{o\lambda} i_{o\lambda} - \frac{d\psi_{o\lambda}}{dt} \end{aligned} \quad (6.45)$$

$$\psi_d = L_{dd} i_d + L_{d\sigma} i_d, \quad \psi_d = L_{dd} i_d + L_{d\sigma} i_d,$$

$$\psi_q = L_{qq} i_q + L_{q\sigma} i_q, \quad \psi_q = L_{qq} i_q + L_{q\sigma} i_q,$$

$$M_{mec} + p(\psi_d i_q - \psi_q i_d) = \frac{J}{p} \frac{d^2\theta}{dt^2}$$

Dacă mașina cu rotorul în scurtcircuit se echivalează cu o mașină trifazată în stator și în rotor, avînd  $w_1$  spire (rel. 5.3) atât în stator, cît și în rotor și parametrii dați de relațiile (5.9), respectiv rezistența rotorică  $R_2'$ , reactanța rotorică  $X_2'$ , atunci componentele omopolare se anulează, iar inductivitățile mașinii echivalente în teoria celor două axe sînt:

$$\begin{aligned} L_{ddh} = L_{qqh} = L_{d\sigma} \cdot h = L_{q\sigma} \cdot h = L_{1lh} \\ L_{d\sigma} = L_{q\sigma} = \frac{2}{3} \cdot \frac{X_1}{2\sqrt{f}} ; \quad L_{d\sigma} = L_{q\sigma} = \frac{2}{3} \cdot \frac{X_2'}{2\sqrt{f}} \end{aligned} \quad (6.46)$$

$$L_{dd} = L_{qq} = L_{11h} + L_{\sigma} \quad ; \quad L_{d'd'} = L_{q'q'} = L_{11h} + L_{\sigma'} \quad (6.46)$$

$$L_{dd} = L_{d'd'} = L_{qq} = L_{q'q'} = L_{11h}$$

în care s-a notat,  $L_{\sigma} = L_{d\sigma} = L_{q\sigma}$  și respectiv  $L_{\sigma'} = L_{d'\sigma'} = L_{q'\sigma'}$ .

Exprimînd curenții  $i_d, i_{d'}, i_q, i_{q'}$  funcție de fluxurile magnetice, ca și în cazul considerării pierderilor în fier, se obțin expresiile (6.47):

$$i_d = \frac{L_{d'd'}}{L_{dd}L_{d'd'} - L_{11h}^2} \psi_{d'} - \frac{L_{11h}}{L_{dd}L_{d'd'} - L_{11h}^2} \psi_d$$

$$i_q = \frac{L_{q'q'}}{L_{qq}L_{q'q'} - L_{11h}^2} \psi_{q'} - \frac{L_{11h}}{L_{qq}L_{q'q'} - L_{11h}^2} \psi_q$$

(6.47)

$$i_{d'} = - \frac{L_{11h}}{L_{dd}L_{d'd'} - L_{11h}^2} \psi_d + \frac{L_{dd}}{L_{dd}L_{d'd'} - L_{11h}^2} \psi_{d'}$$

$$i_{q'} = - \frac{L_{11h}}{L_{qq}L_{q'q'} - L_{11h}^2} \psi_q + \frac{L_{qq}}{L_{qq}L_{q'q'} - L_{11h}^2} \psi_{q'}$$

respectiv expresia cuplului electromagnetic:

$$M = -p \cdot \frac{L_{11h}}{L_{dd}L_{d'd'} - L_{11h}^2} (\psi_d \psi_{q'} - \psi_{q'} \psi_d) \quad (6.48)$$

în care s-a ținut cont de egalitățile inductivităților, respectiv de  $L_{dd}L_{d'd'} - L_{11h}^2 = L_{qq}L_{q'q'} - L_{11h}^2$ .

Introducînd curenții dați de (6.47) și respectiv cuplul electromagnetic dat de (6.48), cuplul mecanic dat de (6.10) și notînd:

$$b_{17} = -R_d \frac{L_d \cdot d \cdot}{L_{dd} L_d \cdot d \cdot - L_{11h}^2} = -R_q \frac{L_q \cdot q \cdot}{L_{qq} L_q \cdot q \cdot - L_{11h}^2}$$

$$b_{18} = R_d \frac{L_{11h}}{L_{dd} L_d \cdot d \cdot - L_{11h}^2} = R_q \frac{L_{11h}}{L_{qq} L_q \cdot q \cdot - L_{11h}^2}$$

$$b_{19} = -R_d \cdot \frac{L_{dd}}{L_{dd} L_d \cdot d \cdot - L_{11h}^2} = -R_q \cdot \frac{L_{qq}}{L_{qq} L_q \cdot q \cdot - L_{11h}^2}$$

(6.49)

$$b_{20} = R_d \cdot \frac{L_{11h}}{L_{dd} L_d \cdot d \cdot - L_{11h}^2} = R_q \cdot \frac{L_{11h}}{L_{qq} L_q \cdot q \cdot - L_{11h}^2}$$

$$b_{21} = -\frac{p^2}{J} \cdot \frac{L_{11h}}{L_{dd} L_d \cdot d \cdot - L_{11h}^2}$$

se obține sistemul de ecuații diferențiale în care necunoscute sînt fluxurile magnetice  $\psi_d, \psi_q, \psi_{d \cdot}, \psi_{q \cdot}$ , respectiv unghiul (notat  $y$ ) derivata acestuia în raport cu timpul  $\frac{d\phi}{dt}$  (notat  $Z$ ):

$$\frac{d\psi_d}{dt} = b_{17} \psi_d + b_{18} \psi_{d \cdot} + \psi_q Z - U_1 \sqrt{2} \sin(\omega_1 t - y)$$

$$\frac{d\psi_q}{dt} = b_{17} \psi_q + b_{18} \psi_{q \cdot} - \psi_d Z + U_1 \sqrt{2} \cos(\omega_1 t - y)$$

$$\frac{d\psi_{d \cdot}}{dt} = b_{20} \psi_d + b_{19} \psi_{d \cdot} \quad (6.50)$$

$$\frac{d\psi_{q \cdot}}{dt} = b_{20} \psi_q + b_{19} \psi_{q \cdot}$$

$$\frac{dZ}{dt} = b_8 + b_9 Z + \frac{b_{10}}{Z} = b_{21} (\psi_d \psi_{q \cdot} - \psi_q \psi_{d \cdot})$$

$$\frac{dy}{dt} = Z.$$

În continuare, procesele tranzitorii se studiază în mod analog cu cele din cazul mașinii cu considerarea pierderilor în fier, determinîndu-se condițiile inițiale și apoi algoritmul



Runge-Kutta-Gill la deconectare și respectiv la reconectare. In acest caz sistemele de ecuații conțin mai puține ecuații; la deconectare 4 ecuații, iar la reconectare 6 ecuații, față de cazul considerării pierderilor în fier.

7. GENERATORUL ELECTRIC DE INDUCȚIE CU RĂTOR ÎN SCURT-CIRCUIT AVIND DOUA VITEZE DE ROTĂȚIE ÎN INSTALAȚIE AEROELECTRICĂ DE 1000 kW

7.1. Parametrii electrice ai generatorului de inducție

Generatorul electric de inducție cu rotor în scurtcircuit în instalația aeroelectrică de 1000 kW are două trepte ale vitezei de rotație, 750 rpm și 1000rpm, corespunzătoare numărului de perechi de poli  $p_1=4$ , respectiv  $p_2=3$  și puterile nominale de 1750 kW, respectiv 1000 kW. Mașinile electrice i se cunosc caracteristicile tehnice (tabelul nr.7.1):

Tabelul nr.7.1

Nr. crt.	Simbol	D e n u m i r e a	U. m.	V a l o a r e	
				1000 rot/min	750 rot/min
0	1	2	3	4	5
1.	$P_n$	Puterea nominală	kW	1000	500
2.	$U_1$	Tensiunea nominală	V	6000	6000
3.	$f$	Frecvența rețelei	Hz	50	50
4.	$I_{1n}$	Curentul nominal statoric	A	127,77	69,261
5.	$I_{2n}$	Curentul nominal al fazei rotorice raportat la stator	A	113,99	57,85
6.	$P_{Fej1}$	Pierderile în fierul jugului statoric	W	8463,6	3717,1
7.	$P_{FeZ1}$	Pierderile în fierul dinților statorici	W	3483,4	2752,8
8.	$P_{Cu1}$	Pierderi în cupru stator	W	9130,1	11060,0
9.	$P_{Cu2}$	Pierderi în cupru rotor	W	7010,5	3703,2
10.	$P_{mec}$	Pierderi mecanice	W	8400	3000
11.	$R_1$	Rezistența înfășurării statorice	$\Omega$	0,18642	0,76856
12.	$R_2'$	Rezistența înfășurării rotorice raportată la stator	$\Omega$	0,17984	0,36885
13.	$R_{1m}$	Rezistența electrică a circuitului de magnetizare	$\Omega$	2,5391	2,8766

0	1	2	3	4	5
14.	$X_1$	Reactanța de dispersie a fazei statorice	$\Omega$	4,4052	7,8236
15.	$X_2'$	Reactanța de dispersie a fazei rotorice, raportată la stator	$\Omega$	3,272	6,9886
16.	$X_{1m}$	Reactanța circuitului de magnetizare	$\Omega$	76,324	107,03
17.	$S_n$	Alunecarea nominală	-	0,68662 · 10 <sup>-2</sup>	0,74 · 10 <sup>-2</sup>
18.	$M_n$	Cuplul nominal	kN.m	9,75	6,3662
19.	GJ1	Masa jugului statoric	kg	1212,7	1212,7
20.	GJ2	Masa jugului rotoric	kg	581,7	581,7
21.	GZ1	Masa dinților statorici	kg	795,73	795,73
22.	GZ2	Masa dinților rotorici	kg	280,21	280,21
23.	N1	Numărul de spire al unei faze statorice	-	120	192
24.	NC1	Numărul de creștături statorice	-	36	36
25.	NC2	Numărul de creștături rotorice	-	86	86

De asemenea se cunosc: forma și dimensiunile creștăturilor statorice, întrefierul  $\delta = 2$  mm, dimensiunile geometrice: diametrul rotorului  $D = 760,5$  mm, lungimea axială a maginii  $L_1 \approx 656$  mm, constante de materiale.

Mașina electrică, avînd barele rotorice sub formă de "T" invers, prezintă un efect pelicular pronunțat, la valori ale alunecării mai mari decît alunecarea critică, valori pe care mașina le atinge în regimul tranzitoriu de trecere de la o viteză de rotație la cea de a doua. Determinarea parametrilor mașinii necesită calcularea factorilor de modificare a rezistenței  $k_R$ , respectiv reactanței  $k_X$  în prezența efectului pelicular. Factorii de reducere a curentului  $\xi_R$  și  $\xi_X$ , care depind de geometria conductorului rotoric, de alunecarea  $s$  și de constante de material, se determină ca funcții de alunecare (rel.2.11,2.12).

Inductivitatea principală  $L_{11h}$  determinată cu relația(5.35) are valoarea de 0,23984 H, pentru  $p_1=4$ , respectiv de 0,19362 H

pentru  $p_2 = 3$  perechi de poli.

Calculul rezistenței electrice a înfășurărilor auxiliare statorice  $R_3$  (rel.5.27), respectiv rotorice reduse la stator  $R_4$  (rel.5.28), ca și a valorii curenților ce parcurg aceste înfășurări,  $I_3$  (rel.5.29), respectiv  $I_4$  (rel.5.30), necesită cunoașterea pierderilor în fier atât în stator,  $p_{Fe1}$ , cât și în rotor  $p_{Fe2}$ . Pierderile în fier fiind echivalente cu pierderi numai prin curenți turbionari, depind de inducția magnetică  $B$ , de frecvența curenților din stator  $f_1$ , respectiv din rotor  $f_2$ , de constante de material, precum și de masa fierului (rel.7.1) [2f]:

$$p_{Fej} = \sqrt{w} (\Delta r B_j)^2 k_{jw} G_j \quad (7.1)$$

- in care:
- indicele  $j$  se referă la mărimile corespunzătoare jugului magnetic;
  - $\sqrt{w}$  - constanta de material ;
  - $k_{jw}$  - coeficient corespunzător repartiției neuniforme a inducției magnetice în jug, respectiv corespunzător curenților care se închid transversal pe tole prin bornele cu defecte în izolația tolelor;
  - $\Delta$  - grosimea tolei din care este executat miezul magnetic ;
  - $B_j$  - inducția magnetică în jug ;
  - $G_j$  - masa jugului.

În mod analog, pierderile în dinte, prin curenți turbionari sînt:

$$p_{Fez} = \sqrt{w} (\Delta r B_z)^2 G_z \quad (7.2)$$

Deoarece mașina echivalentă are aceeași inducție magnetică în întrefier  $B\delta$  ca și mașina reală, se exprimă inducția magnetică în dinții statorici  $B_{z1}$ , respectiv rotorici  $B_{z2}$  funcție de  $B\delta$ , obținîndu-se:

$$\frac{B_{z1}}{B_{z2}} = \frac{\zeta_{C1}}{\zeta_{C2}} \cdot \left( \frac{b_{z1m}}{b_{z2m}} \right) \quad (7.3)$$

in care: -  $\zeta_{C1}$ ,  $\zeta_{C2}$  reprezintă pasul crestăturii statorice, res-

pectiv rotorice ;

$-b_{z1m}, b_{z2m}$  reprezintă lățimea medie a dintelui statoric, respectiv rotorice;

Deci, cunoscând pierderile în dinții statorici  $P_{Fez1}$ , se pot determina pierderile în dinții rotorici:

$$P_{Fez2} = P_{Fez1} \cdot \left( \frac{B_{z2}}{B_{z1}} \cdot s \right)^2 \cdot \frac{G_{z2}}{G_{z1}} \quad (7.4)$$

În mod analog, se determină pierderile în jugul rotorice  $P_{Fej2}$ , când se cunosc pierderile în jugul statoric  $P_{Fej1}$  (rel.7.5)

$$P_{Fej2} = P_{Fej1} \cdot \left( \frac{B_{j2}}{B_{j1}} \cdot s \right)^2 \cdot \frac{G_{j2}}{G_{j1}} \quad (7.5)$$

Pierderile totale în fierul statoric  $P_{Fe1}$ , respectiv rotorice  $P_{Fe2}$  sînt:

$$P_{Fe1} = P_{Fej1} + P_{Fez1} \quad (7.6)$$

$$P_{Fe2} = P_{Fej2} + P_{Fez2}$$

Avînd determinate pierderile în fier atât în stator, cît și în rotor, se determină rezistențele electrice ale înfășurărilor auxiliare  $R_3$ , respectiv  $R_4'$  (rel.5.27, respectiv 5.28), care în cazul mașinii electrice considerate au valorile:

$$R_3 = 3652,183 \, \Omega \quad , \quad R_4' = 5715,32 \, \Omega \text{ pentru } p=3$$

$$R_3 = 5195,684 \, \Omega \quad , \quad R_4' = 8466,186 \, \Omega \text{ pentru } p=4$$

Decă se cunosc parametrii înfășurărilor principale și auxiliare ale mașinii reale, cu ajutorul relațiilor (5.37), respectiv (5.41) se determină rezistențele  $R \lambda (\lambda = d, q, a, b, d', q', a', b')$  respectiv inductivitățile  $L \lambda (\lambda = d, q, a, b, d', q', a', b')$  ale mașinii echivalente și prin urmare, se pot determina numeric coeficienții  $b_j (j=1, \dots, 16)$  - dați de rel.(6.12) ai sistemului de ecuații diferențiale ce descrie comportarea mașinii la deconectare (6.18) respectiv la reconectare (6.13).

## 7.2. Trecerea de la viteza de rotație $n_I$ la viteza de rotație $n_{II}$ .

În cazul instalației electrice de 1000 kW, pentru viteze ale vîntului mai mari decît 9 m/s, este avantajos - din punct de vedere al puterii obținabile la arborele generatorului electric - ca mașina să funcționeze cu a doua treaptă a vitezei de rotație, corespunzătoare numărului de perechi de poli  $p=3$ , iar pentru viteza ale vîntului  $v \leq 9$  m/s este avantajos să se funcționeze cu prima treaptă a vitezei de rotație, corespunzătoare numărului de perechi de poli  $p=4$ .

Se consideră că trecerea de la viteza de rotație mică la viteza de rotație mare se face la viteza vîntului  $v=9,5$  m/s, iar trecerea de la viteza de rotație mare la viteza de rotație mică se face la viteza vîntului  $v=9$  m/s.

Trecerea de la viteza de rotație  $n_I$  la viteza de rotație  $n_{II}$  se face în două etape, prin:

- deconectarea mașinii, funcționînd cu numărul de perechi de poli  $p_I$ ;

- reconectarea mașinii, funcționînd cu numărul de perechi de poli  $p_{II}$ ,

fiecărei etape, fiindu-i caracteristice anumite fenomene tranzitorii.

### 7.2.1. Fenomene tranzitorii la deconectare - cu considerarea pierderilor în fier

Mașina funcționează la o anumită viteză de rotație  $n_I$ , viteză de rotație determinată de egalitatea cuplului activ dat de turbina eoliană cu suma cuplurilor rezistente, inclusiv cuplul electromagnetic al mașinii electrice. Deci, mașina electrică are numărul de perechi de poli  $p_I$  și i se cunosc rezistențele electrice, inductivitățile și curenții ce străbat înfășurările statorice, respectiv rotorice ale mașinii. Valoșrile curenților se determină cu relațiile (5.32)  $I_1, I_2$  și (5.29), (5.30),  $I_3, I_4$ .

Relațiile de transformare (5.37) și (5.41) determină rezistențele și inductivitățile mașinii echivalente, iar cu relațiile de transformare directă (5.43) și (5.52) se obțin

curenții din mașina echivalentă, curenți notați cu indicele "i" și care corespund momentului  $t=0_-$  al regimului tranzitoriu.

Fluxurile magnetice din mașina echivalentă, corespunzătoare momentului  $t=0_-$  și notate  $\Psi_{\lambda i}$  ( $\lambda=d, q, e, b, d', q', a', b'$ ) sînt astfel cunoscute (rel.6.14), iar valorile lor inițiale - notate cu indicele "0", se obțin cu ajutorul relațiilor (6.14).

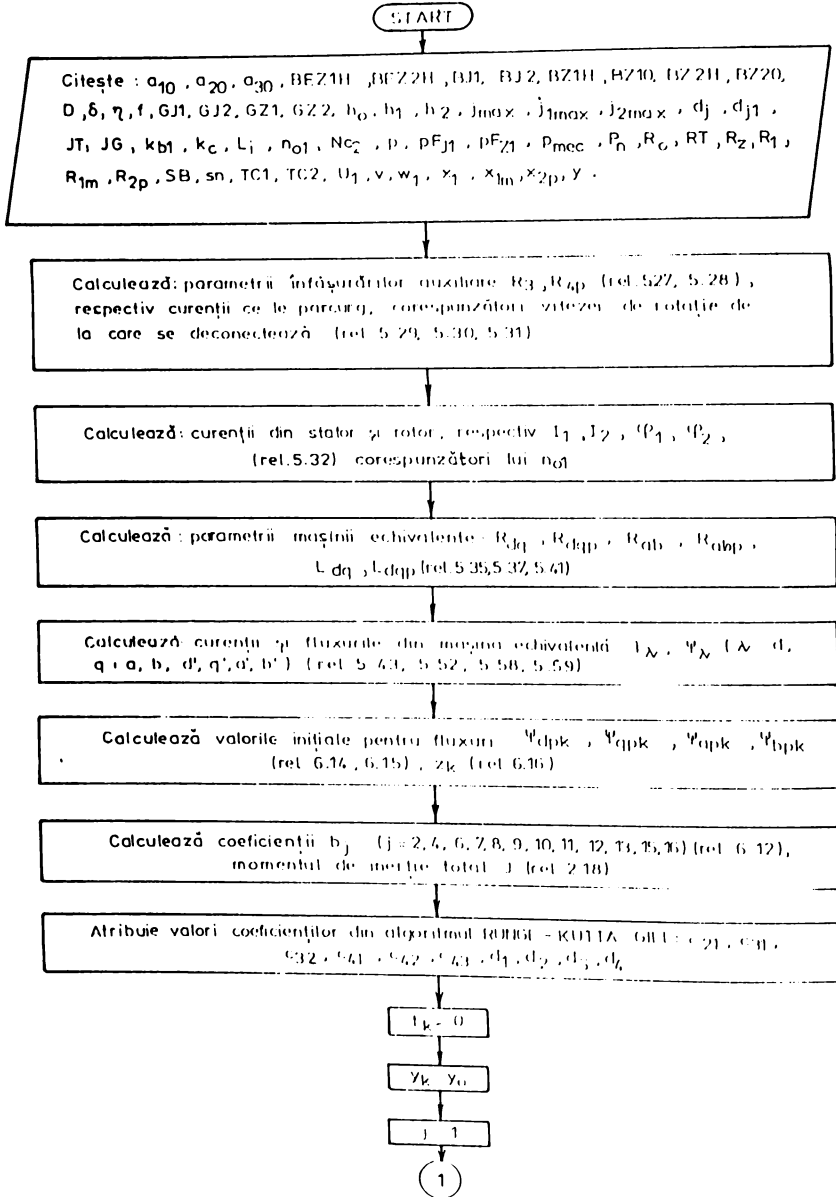
Valoarea inițială a derivatei unghiului  $\theta$  în raport cu timpul  $\frac{d\theta}{dt}$ , notată cu  $Z_0$ , este dată de relația (6.16) în care  $n_0 = n_1$ . Se alege ca moment al deconectării, momentul în care curentul ce parcurge înfășurarea fazei 1 statorice trece prin zero, iar valoarea inițială a lui  $\theta$ , notată  $y_0$ , se alege egală cu zero.

Se determină, cu ajutorul relațiilor (6.12), coeficienții  $b_j$  ( $j=1, \dots, 16$ ) ai sistemului de ecuații diferențiale (6.18).

Rezolvarea sistemului de ecuații diferențiale (6.18) se face cu ajutorul metodei numerice Runge-Kutta-Gill de ordinul 4. Programul de calcul, întocmit în limbajul BASIC al unui calculator personal SINCLAIR QL-128 k, are ordinograma prezentată în fig.7.1, notațiile folosite fiind date în anexa nr.7.1.

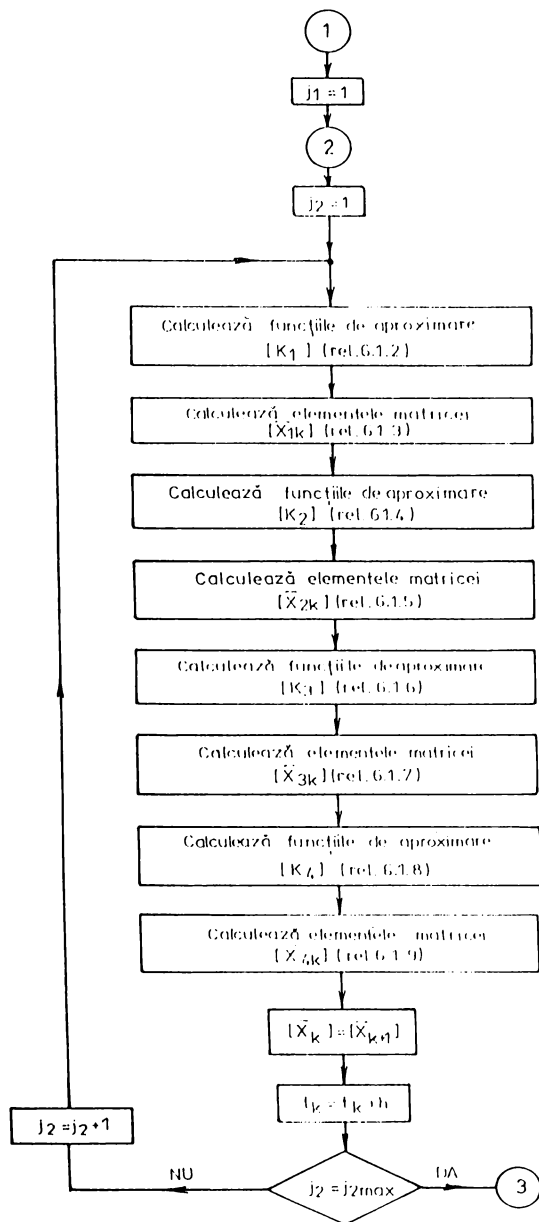
Se folosește metoda Runge-Kutta-Gill cu pas variabil, pasul inițial fiind de  $10^{-4}$  secunde, el fiind dublat pînă la valoarea  $h_0 = 5,12 \cdot 10^{-6}$  secunde, apoi calculele se efectuează cu pasul  $h=10^{-5}$  secunde. Se determină valorile curenților rotorici ai înfășurărilor principale  $i_1, i_2, i_3$ , ale curenților din înfășurările auxiliare  $i_4, i_5, i_6, i_4', i_5', i_6'$ , ale fluxurilor magnetice statorice  $\Psi_1, \Psi_2, \Psi_3$  și ale fluxurilor rotorice  $\Psi_1, \Psi_2, \Psi_3$ , toate din mașina reală, la diferite momente de timp  $t_k$ . Se determină de asemenea, cuplul electromagnetic  $M$ , cuplul mecanic  $M_{mec}$  și viteza de rotație  $n_k$ .

La deconectare, are loc un proces tranzitoriu electromagnetic în care cuplul electromagnetic scade de la valoarea lui corespunzătoare momentului  $t=0_-$ , la aproximativ 5,6% în cazul deconectării de la viteza de rotație mică, deci  $p=4$ , respectiv 5,14% în cazul deconectării de la viteza de rotație mare, deci  $p=3$  (fig.7.2).





(2)



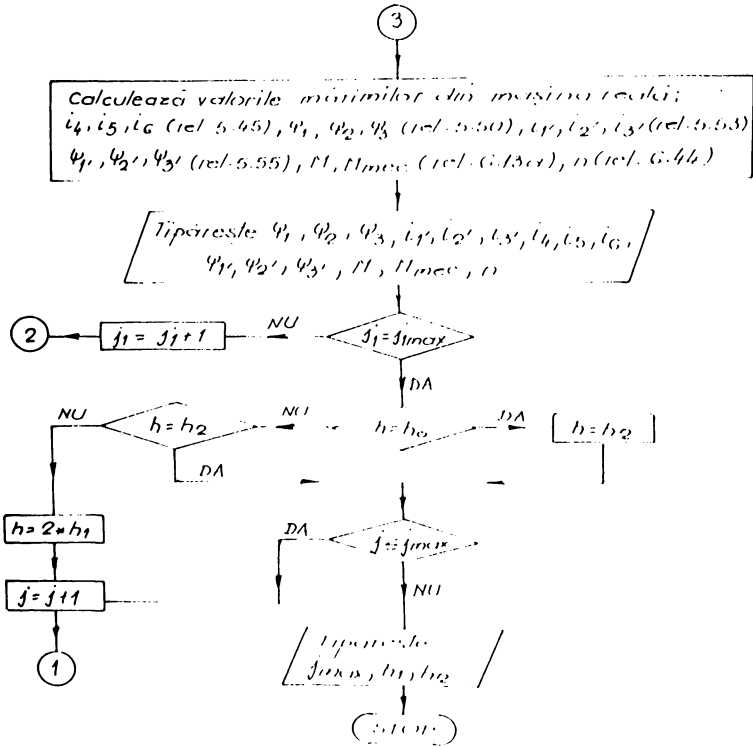


Fig. 7.1

Durata acestui proces tranzitoriu este de ordinul microsecundelor, respectiv maxim  $30 \mu\text{sec}$  și în timpul lui, viteza de rotație a mașinii este constantă. De asemenea, în timpul acestui proces tranzitoriu, deoarece s-a presupus conservarea fluxurilor din înfășurările scurtcircuitate, respectiv înfășurările rotorice și toate înfășurările auxiliare, curenții din înfășurările auxiliare (fig.7.3) cresc de aproximativ 22 ori, respectiv 31 ori, în cazul deconectării de la  $p=3$ , respectiv  $p=4$ , amortizându-se în câteva microsecunde. Acest fenomen s-ar putea explica prin faptul că în-

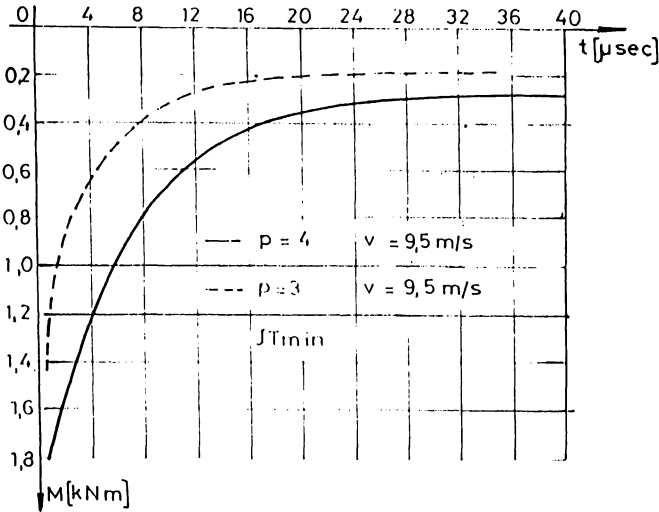


Fig. 7.2

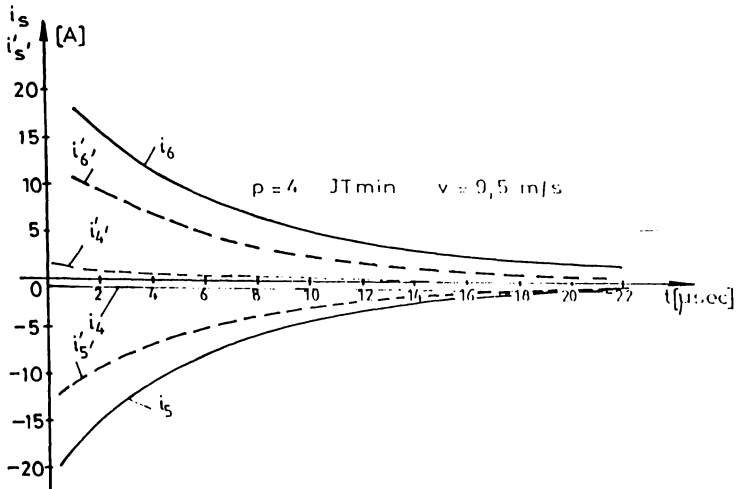


Fig. 7.3

treaga energie magnetică a statorului de la momentul anterior deconectării ( $t=0_-$ ) se transformă în pierderi în fierul statoric. Fluxul rotoric, în timpul acestui proces tranzitoriu elec-

inductivă magnetică variază foarte puțin, putând fi considerat constant (fig.7.4).

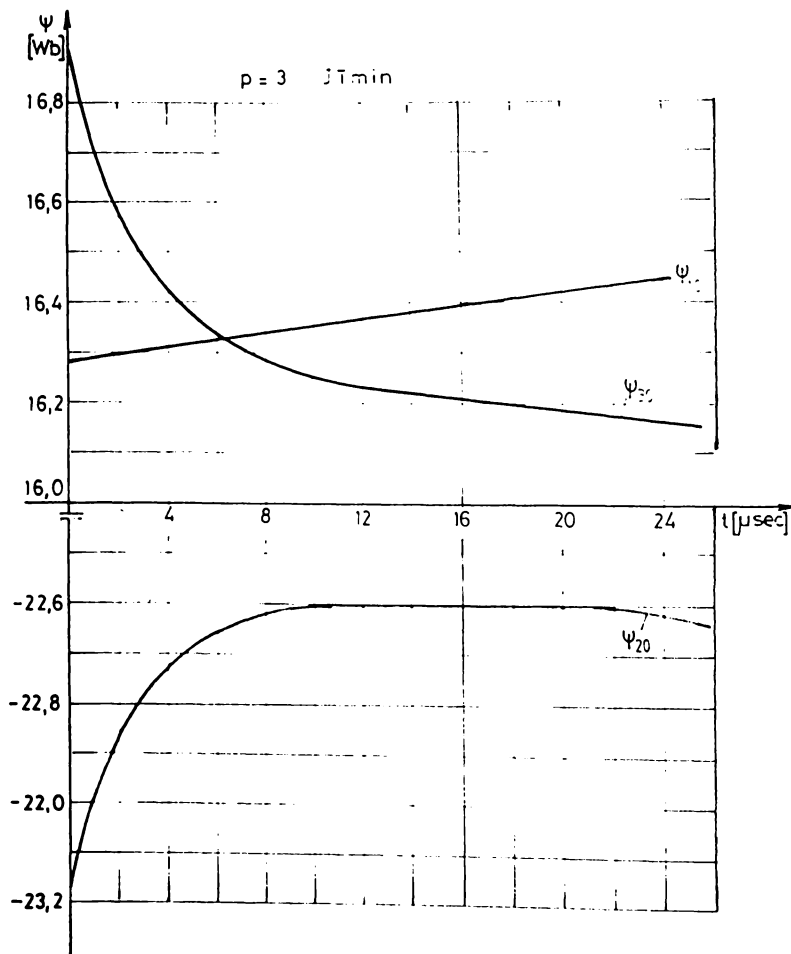


Fig. 7.4

După acest proces tranzitoriu, mărimile din înfășurările în scurtcircuit - principale rotorice și cele auxiliare statorice și rotorice - variază periodic în timp, cu perioada  $T=20$  msec, dar amortizată. În figurile 7.5, 7.6.a, 7.6.b, sînt prezentate variația în timp a curenților rotorici, respectiv din înfășurările auxiliare

in cazul deconectării de la  $p=3$ , respectiv  $p=4$ .

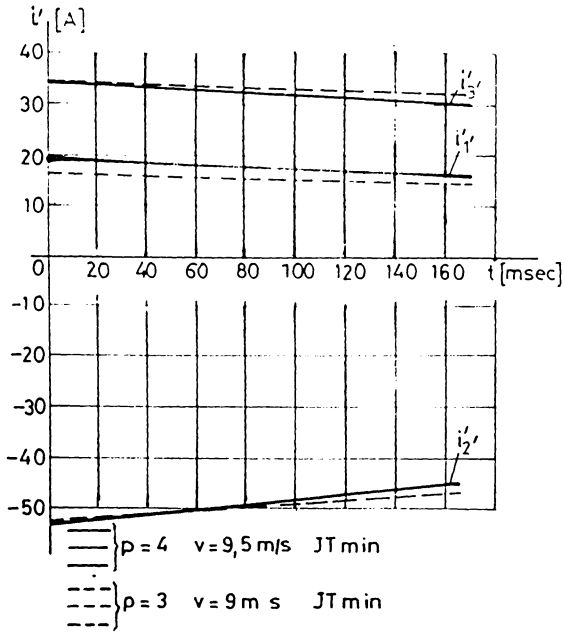


Fig.7.5

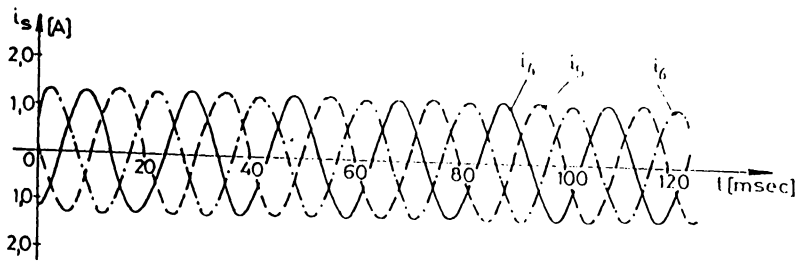


Fig.7.6,a

= 112 =

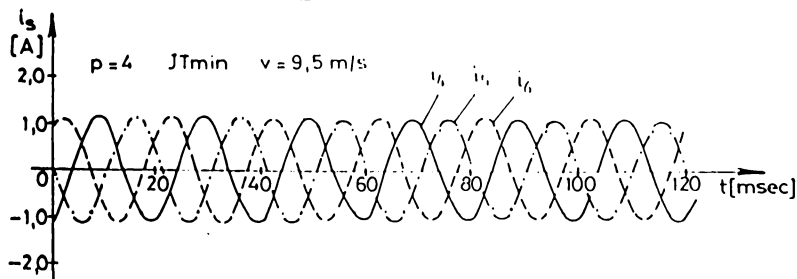


Fig.7.6,b

De asemenea sînt prezentate variațiile fluxului magnetic statoric (fig.7.7,a, 7.7,b) corespunzătoare deconectării de la  $p=3$ , respectiv  $p=4$ , în procesul tranzitoriu amortizat, respectiv variația cuplului electromagnetic pe durata aceluiași proces (fig.7.8).

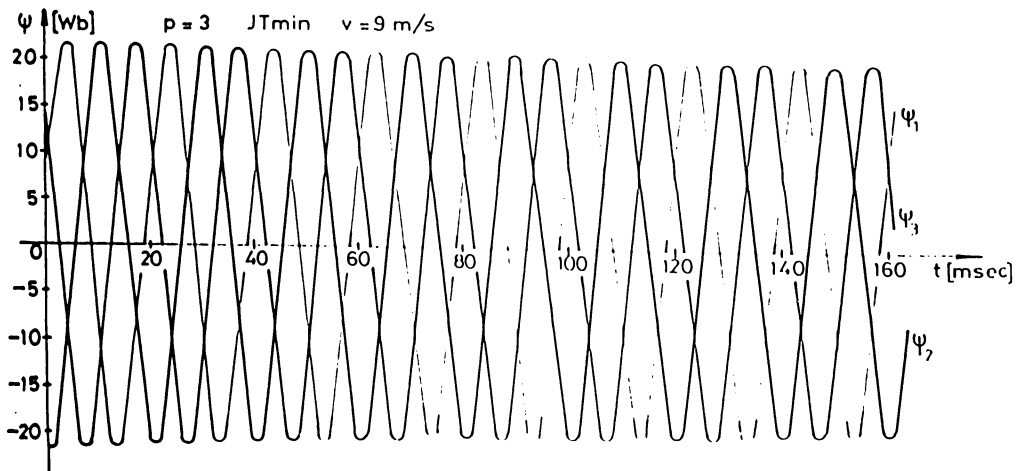


Fig. 7.7.a

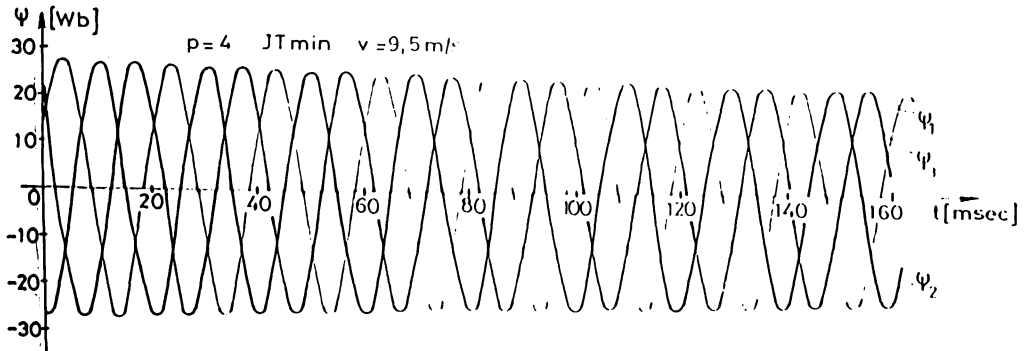


Fig.7.7, b

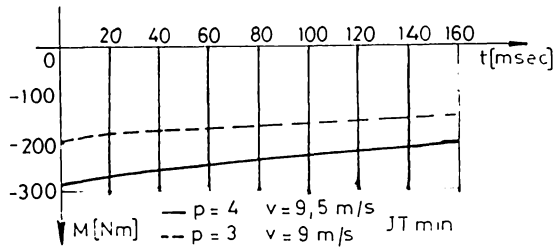


Fig.7.8

Momentul de inerție al sistemului turbină eoliană-multipliator al vitezei de rotație, moment redus la arborele generatorului electric, are valori cuprinse între  $J_{tmin}=620$  kg.m<sup>2</sup> și  $J_{tmax}=2315$  kg.m<sup>2</sup>. Valoarea lui influențează mărimile din cadrul regimului tranzitoriu de la deconectare. În fig.7.9 respectiv 7.10, sînt prezentate variațiile vitezei de rotație funcție de timp, pentru cazurile corespunzătoare deconectării de la  $p=3$ , respectiv  $p=4$ , avînd ca parametrii valorile minime, respectiv maxime ale momentelor de inerție ale turbinei.

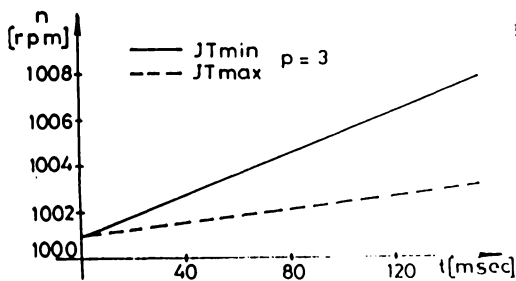


Fig.7.9

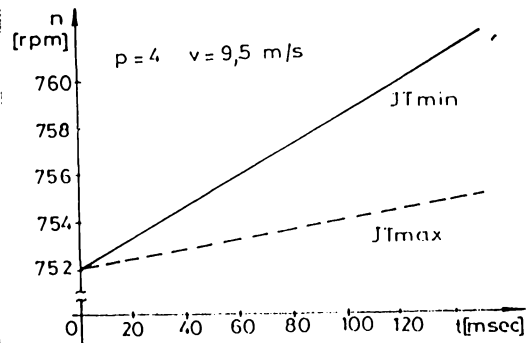


Fig.7.10

7.2.2. Fenomene tranzitorii la deconectare - fără considerarea pierderilor în fier.

Sistemul de ecuații diferențiale care descrie comportarea mașinii când nu se consideră pierderile în fier este dat de relațiile (6.50).

La deconectare, sistemul de ecuații diferențiale este dat de (7.7):

$$\begin{aligned} \frac{d\psi_{d'}}{dt} &= -\frac{R_{d'}}{L_{d'}\sigma} \psi_{d'} & \frac{dz}{dt} &= b_L + b_g z + \frac{b_{l0}}{z} \\ \frac{d\psi_{q'}}{dt} &= -\frac{R_{q'}}{L_{q'}\sigma} \psi_{q'} & \frac{dy}{dt} &= z \end{aligned} \quad (7.7)$$

Programul de calcul, precum și durata lui se reduc aproape la jumătate față de cazul în care se consideră pierderile în fier. Considerarea pierderilor în fier, influențează valorile maxime ale fluxurilor statorice (fig.7.11), respectiv rotorice (fig.7.12), în sensul că fluxurile magnetice au valorile de vîrf mai mari și amortizarea mai lentă în cazul considerării pierderilor în fier, decît în cazul în care acestea nu se consideră. De asemenea se modifică viteza de rotație (fig.7.13).



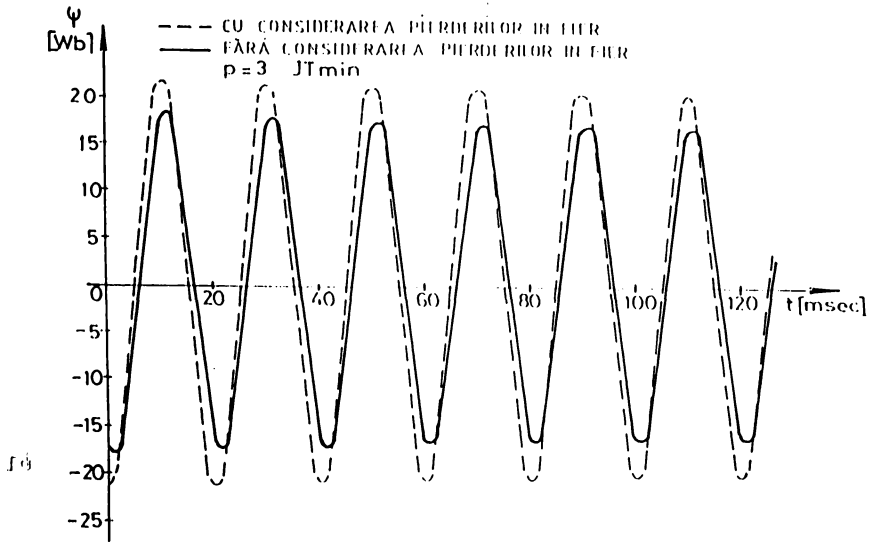


Fig.7.11

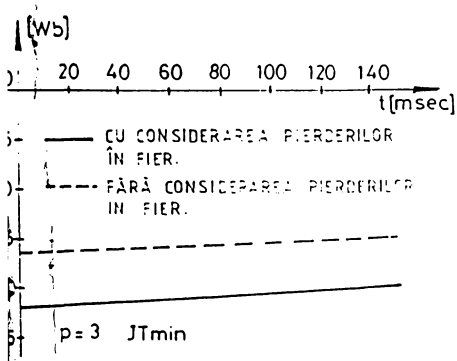


Fig.7.12

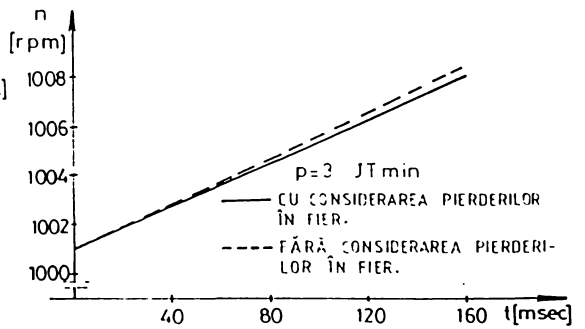


Fig.7.13

### 7.2.3. Fenomene tranzitorii la reconectare - cu considerarea pierderilor în fier

La reconectare, mașina electrică are numărul de perechi de poli  $p_{II}$ , iar parametrii ei electrici sînt cei corespunzători funcționării la viteza de rotație  $n_{II}$ . În acest caz, viteza de rotație de la momentul  $t=0$ , al reconectării, notată  $n_{II}$ , este egală cu viteza de rotație de la sfîrșitul procesului de deconectare. Deoarece mașina prezintă alt număr de perechi de poli, ea va funcționa la alunecarea mare, deci parametrii ei electrici vor fi puternic influențați de efectul pelicular, influență ce se manifestă pe întreaga durată a procesului de reconectare. Efectul pelicular nu se manifestă la deconectare, cînd alunecarea a obținut valori sub valoarea alunecării critice.

Parametrii mașinii reale, influențați de efectul pelicular se determină pentru cazul vitezei de rotație  $n_{II}$ , cu ajutorul relațiilor (2.11), (2.12), respectiv (2.13). Determinarea parametrilor mașinii echivalente cînd se cunosc parametrii mașinii reale, se face utilizînd relațiile de transformare (5.37), respectiv (5.41).

Sistemul de ecuații diferențiale care descrie comportarea mașinii la reconectare este dat de relațiile (6.13). Trebuie precizat faptul că numiți coeficienți ai sistemului (6.13) sînt afectați de efectul pelicular și deci numai pot fi considerați constanți în timpul rezolvării. Acești coeficienți sînt cei cu a căror expresie intervin rezistența, respectiv reactanța de dispersie a unei faze rotorice, adică,  $b_2$ ,  $b_4$ ,  $b_5$ ,  $b_7$ ,  $b_{14}$  (relațiile 6.12). Se admite ipoteza că, în intervalul de timp corespunzător pasului metodei numerice, acești coeficienți sînt constanți și au valoarea egală cu valoarea obținută la sfîrșitul pasului anterior. Dacă pasul de integrare  $h$  este suficient de mic, atunci variația alunecării pe intervalul considerat este atât de mică încît poate fi considerată practic constantă.

Condițiile inițiale utilizate în rezolvarea sistemului de ecuații (6.13) influențează în mod diferit procesele tranzitorii de la reconectare. Se consideră că reconectarea se face în momente în care curentul unei faze rotorice trece prin zero sau prin valoarea maximă, iar fluxul magnetic al unei fa-

ze statorice este în opoziție de fază, în fază sau defazat cu  $\frac{\pi}{2}$  față de fluxul magnetic al unei faze rotorice, fiecărui moment considerat, corespunzându-i anumite valori inițiale ale mărimilor ce intervin în sistemul de ecuații diferențiale (6.13).

În toate cazurile însă, valoarea inițială a vitezei de rotație este aceeași și egală cu  $n_{11}$ , valoarea momentului de inerție al turbinei eolice este valoarea minimă, iar viteza vântului este de 9 m/s pentru reconectarea la  $p=4$  și de 9,5 m/sec pentru reconectarea la  $p=3$ .

La reconectare se disting două procese tranzitorii:

a) un proces tranzitoriu electromagnetic caracterizat prin cureni mari de cureni și de cuplu electromagnetic, dar care se amortizează rapid (câteva zeci de milisecunde) și în timpul cărui cuplul mecanic și viteza de rotație prezintă variații mici.

b) un proces tranzitoriu electromecanic caracterizat prin cureni având valori de 3-4 ori mai mari decât curentul nominal, iar cuplul electromagnetic având valori apropiate de valorile din regimul permanent, în timpul acestui proces tranzitoriu magina electrică accelerează - dacă reconectarea se face pentru viteza mari de rotație - sau decelerează - dacă reconectarea se face pentru magina funcționând cu numărul de perechi de poli corespunzător vitezei mici de rotație. Durata acestui proces tranzitoriu este mai mare, fiind de aproximativ 1,5 secunde la trecerea de la viteza de rotație mică la viteza de rotație mare, considerând că momentul de inerție al turbinei are valoarea minimă, respectiv de 15 secunde la trecerea de la viteza de rotație mare la viteza de rotație mică, în cazul momentului de inerție minim.

Dacă se consideră că sistemul turbină eoliană-multiplicator al vitezei de rotație are momentul de inerție egal cu valoarea maximă, durata procesului tranzitoriu electromecanic crește la aproximativ 6 secunde, respectiv 60 de secunde adică, de aproximativ 4 ori față de cazul funcționării cu moment de inerție minim.

Procesul tranzitoriu electromagnetic este influențat de valorile inițiale ale mărimilor ce intervin în sistemul de ecuații diferențiale (6.13), ca și de valoarea momentului de inerție

al ansamblului turbină eoliană-multiplicator al vitezei de rotație - generator electric.

La reconectare se consideră ca moment inițial, momentul în care fluxul rotoric al unei faze trece prin valoarea zero  $\psi_{1'0} = 0$ , adică valoarea curentului pe faza respectivă este nulă, ceilalți doi curenți având valori egale și de semne contrare care se obțin cu ajutorul relației (6.30), respectiv momentul în care fluxul rotoric al unei faze trece prin valoarea maximă pozitivă, adică valoarea curentului pe faza respectivă este  $i_{\max}^*$ , dată de relația (6.34), iar valoarea inițială a unghiului  $\theta$ , (notată în program cu  $Z_0$ ) fiind respectiv  $0, \frac{\pi}{2}$ , sau  $\pi$ , obținându-se flux statoric în fază, în cuadratură sau în opoziție de fază cu fluxul rotoric.

a) La momentul inițial,  $\theta_0 = 0$  și  $i_{1'0} = i_{\max}^*$ , adică fluxul statoric este în fază cu cel rotoric, ambele având valoarea maximă pozitivă, adică  $\psi_{10} = \psi_{1\max}$ ,  $\psi_{1'0} = \psi_{1'\max}$ . În acest caz momentul inițial al reconectării îi corespund valorile date de relațiile (7.8):

$$i_{\max}^* = \sqrt{\frac{2}{3} \cdot \frac{\sum_{i=1}^3 i_{\lambda i}^* \psi_{\lambda i}^*}{\frac{3}{2} L_{11h} \frac{k_X X_2'}{2\pi f}}}$$

$$\psi_{a0} = \frac{3}{2} L_{11h} i_{\max}^*; \quad \psi_{d0} = \psi_{a0}; \quad \psi_{d'0} = \frac{3}{2} (L_{11h})' \frac{2}{3} \cdot \frac{X_2' k_X}{2\pi f} i_{\max}^*$$

$$\psi_{q0} = 0; \quad \psi_{b0} = 0; \quad \psi_{q'0} = 0; \quad \theta_0 = 0, \quad \left(\frac{d\theta}{dt}\right)_0 = 2\pi p n_i \quad (7.8)$$

în care:  $n_i$  - viteză de rotație la momentul  $t_0$ , exprimată în rad/sec.

$p$  - numărul perechilor de poli corespunzător treptei vitezei de rotație la care se reconectează mașina

$k_X$  - factorul de micșorare a reactanței corespunzător funcționării la viteză de rotație  $n_i$  și numărul de perechi de poli  $p$  de la reconectare.

$L_{11h}$  - inductivitatea principală a mașinii corespunzătoare funcționării cu numărul de perechi de poli de la reconectare

$X_2^1$  - reactanța de dispersie rotorică, mărime similară lui  $L_{11h}$ .

b) La momentul inițial  $\theta_0 = \frac{\pi}{2}$ ,  $i_1^0 = i_{1\max}^0$ , adică fluxul statoric al unei faze este zero,  $\Psi_{10} = 0$ , fluxul fazei corespunzătoare rotorice are valoarea maximă  $\Psi_{1\cdot 0} = \Psi_{1\max}^0$  (fluxul statoric este defazat cu  $\bar{u}/2$  în urma fluxului rotoric). În acest caz, momentului inițial al reconectării îi corespund valorile date de relațiile (7.9):

$$i_{\max}^0 = \sqrt{\frac{2}{3} \cdot \frac{\sum_{\lambda=1}^3 i_{\lambda i}^0 \Psi_{\lambda i}^0}{\frac{3}{2} L_{11h} + \frac{k_X X_2^0}{2\pi f}}} \quad (7.9)$$

$$\Psi_{a0} = \frac{3}{2} L_{11h} i_{\max}^0; \quad \Psi_{d0} = \Psi_{a0}; \quad \Psi_{d\cdot 0} = \frac{3}{2} (L_{11h} + \frac{2}{3} \cdot \frac{X_2^0 k_X}{2\pi f}) i_{\max}^0$$

$$\Psi_{q0} = \Psi_{b0} = \Psi_{q\cdot 0} = 0; \quad \theta_0 = \bar{u}/2; \quad \left(\frac{d\theta}{dt}\right)_0 = 2\bar{u} p n_1$$

mărimile avînd aceeași semnificație ca și în relațiile (7.6).

c) La momentul inițial:  $\theta_0 = \frac{\pi}{2}$ ,  $i_1^0 = 0$ , adică fluxul statoric al unei faze trece prin valoarea maximă negativă,  $\Psi_{10} = -\Psi_{1\max}^0$ ; iar fluxul rotoric al fazei corespunzătoare trece prin zero,  $\Psi_{1\cdot 0} = 0$ . În acest caz, momentului inițial îi corespund valorile date de relațiile (7.10):

$$i_0^0 = \sqrt{\frac{2}{3} \cdot \frac{\sum_{\lambda=1}^3 i_{\lambda i}^0 \Psi_{\lambda i}^0}{\frac{3}{2} L_{11h} + \frac{k_X X_2^0}{2\pi f}}} \quad (7.10)$$

$$\Psi_{a0} = \Psi_{d0} = \Psi_{d\cdot 0} = 0; \quad \Psi_{b0} = \sqrt{3} L_{11h} i_0^0; \quad \Psi_{q0} = \Psi_{b0};$$

$$\Psi_{q\cdot 0} = i_0^0 \sqrt{3} \left( L_{11h} + \frac{2}{3} \frac{k_X X_2^0}{2\pi f} \right); \quad \theta_0 = \bar{u}/2; \quad \left(\frac{d\theta}{dt}\right)_0 = 2\bar{u} p n_1$$

d) La momentul inițial  $\theta_0 = 0$ ,  $i_1^0 = 0$ , adică fluxul statoric este în opoziție de fază cu cel rotoric, ambele fiind la momentul

la momentul inițial zero,  $\Psi_{10}=0$ ,  $\Psi_{1'0}=0$ . În acest caz, momentul inițial îi corespund valorile date de relațiile (7.11):

$$\Psi_{b0} = \sqrt{3} L_{11h} i_{10}^* ; \Psi_{q0} = \Psi_{b0} ; \Psi_{d'0} = i_{10}^* \sqrt{3} \left( L_{11h} + \frac{2}{3} \cdot \frac{k_X X_2^*}{2\bar{\mu}f} \right) \quad (7.11)$$

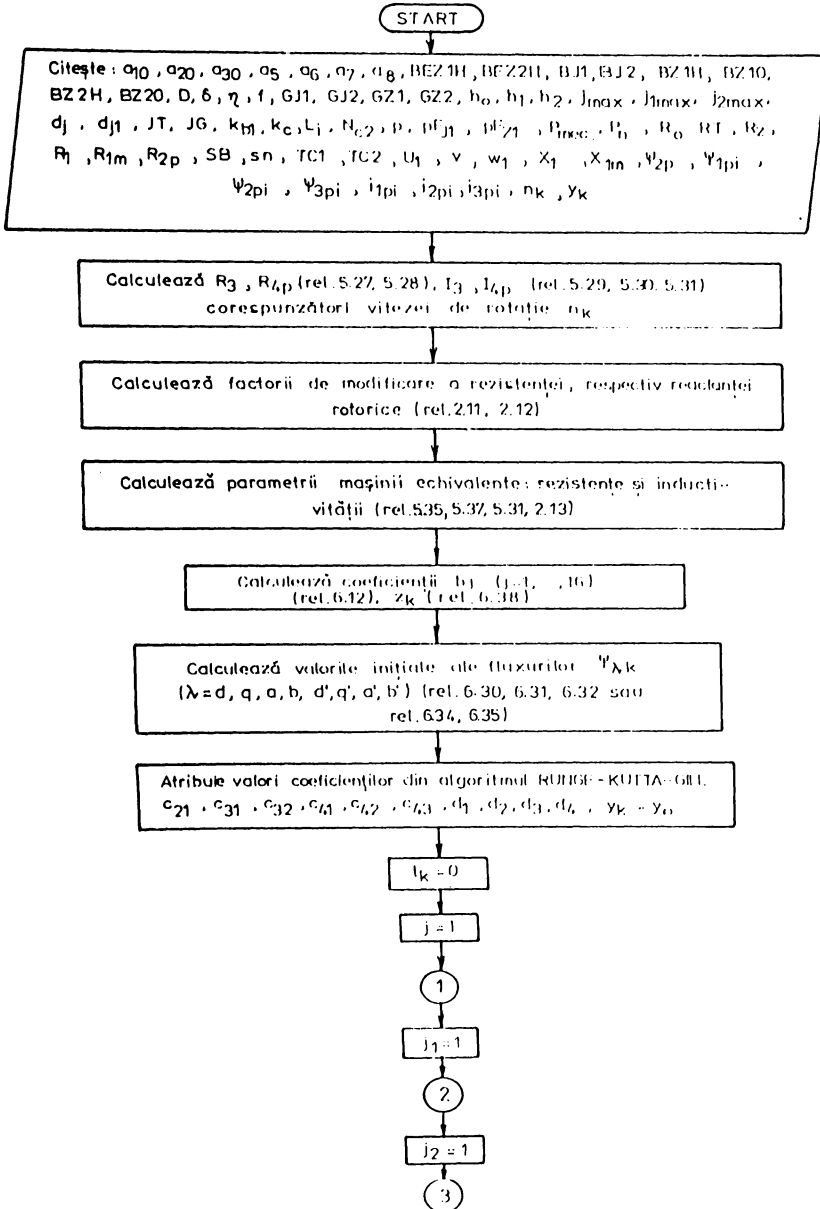
$$\theta_0 = 0, \quad \left( \frac{d\theta}{dt} \right)_0 = 2\bar{\mu} p n_i$$

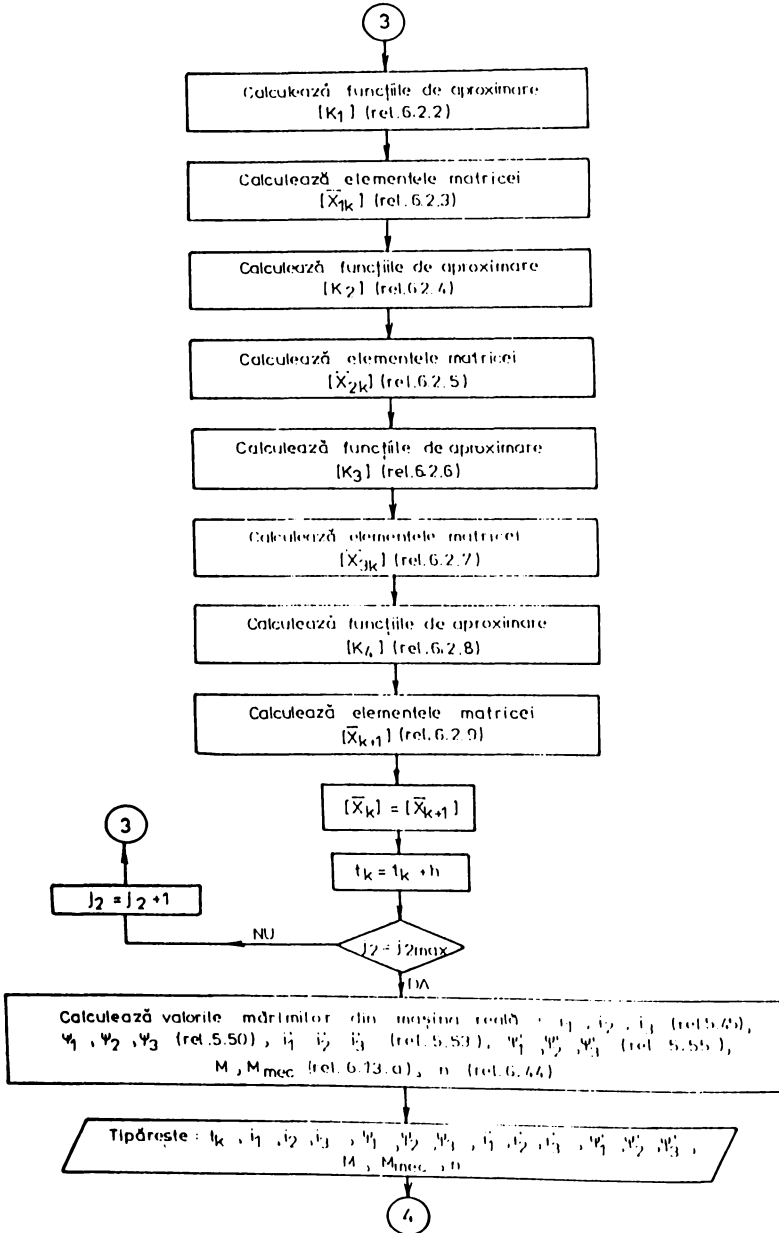
e) La momentul inițial:  $\theta_0 = \bar{\alpha}$ ,  $i_{11} = i_{1\max}^*$ , adică fluxul (statoric este în opoziție de fază cu fluxul rotoric, respectiv fluxul statoric trece prin valoarea maximă negativă  $\Psi_{10} = -\Psi_{1\max}$ , iar cel rotoric prin valoarea maximă pozitivă,  $\Psi_{1'0} = \Psi_{1\max}$ . În acest caz, momentul inițial îi corespund valorile inițiale date de relațiile:

$$\Psi_{b0} = \frac{3}{2} L_{11h} i_{1\max}^* ; \Psi_{d0} = \Psi_{b0} ; \Psi_{d'0} = \frac{3}{2} \left( L_{11h} + \frac{2}{3} \cdot \frac{k_X X_2^*}{2\bar{\mu}f} \right) i_{1\max}^* ; \Psi_{q0} = \Psi_{b0} = \Psi_{d'0} = 0 ; \theta_0 = \bar{\alpha}, \quad \left( \frac{d\theta}{dt} \right)_0 = 2\bar{\mu} p n_i \quad (7.12)$$

Fiind cunoscute valorile inițiale ale mărimilor ce intervin în sistemul de ecuații diferențiale (6.13), acesta poate fi rezolvat numeric.

Rezolvarea numerică a sistemului de ecuații diferențiale (6.13) se face cu metoda de aproximare de ordinul 4, Runge-Kutta-Gill, ordinograma programului de calcul este prezentată în fig. 7.14. Notațiile folosite în ordinogramă sînt cele prezentate în anexa nr. 7.1.







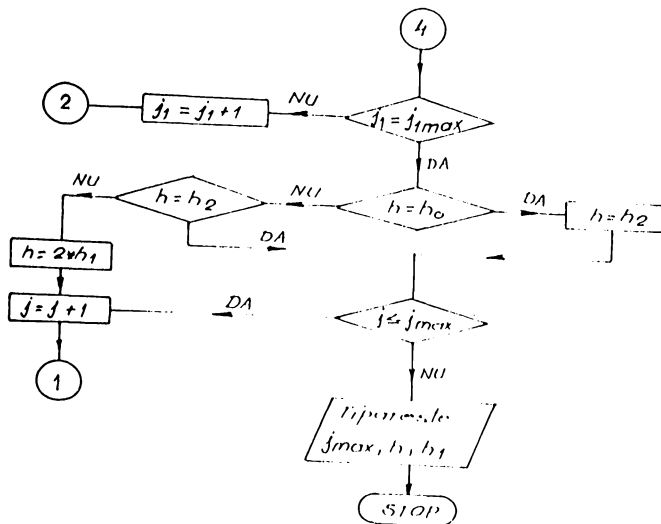


Fig.7.14

7.2.3.1. fenomene tranzitorii în cazul reconectării la viteza de rotație mare

Se consideră că la reconectare, condițiile inițiale sînt date de relațiile (7.8), respectiv (7.9)-(7.12). Variația în timp a momentului electromagnetic  $M$  și a curentului statoric  $i$  este prezentată în fig.7.15, corespunzător diverselor condiții inițiale, respectiv fluxurile statoric și rotorice în fază (rel.7.8), defazate cu  $\pi/2$  (rel.7.9 și 7.10), în opoziție de fază, dar trecînd prin valoarea zero la momentul inițial (rel. 7.11). În fig.7.16 este prezentată dependența vitezei de rotație de timp, respectiv a cuplului electromagnetic  $M$ , de viteza de rotație  $n$ , în cazul condițiilor inițiale precizate.

În cazul reconectării cu fluxurile statorice și rotorice în opoziție de fază, dependența de timp a mărimilor electromagnetice este prezentată în fig.7.17, iar dependența vitezei de rotație de timp și a cuplului electromagnetic de viteza de rota-

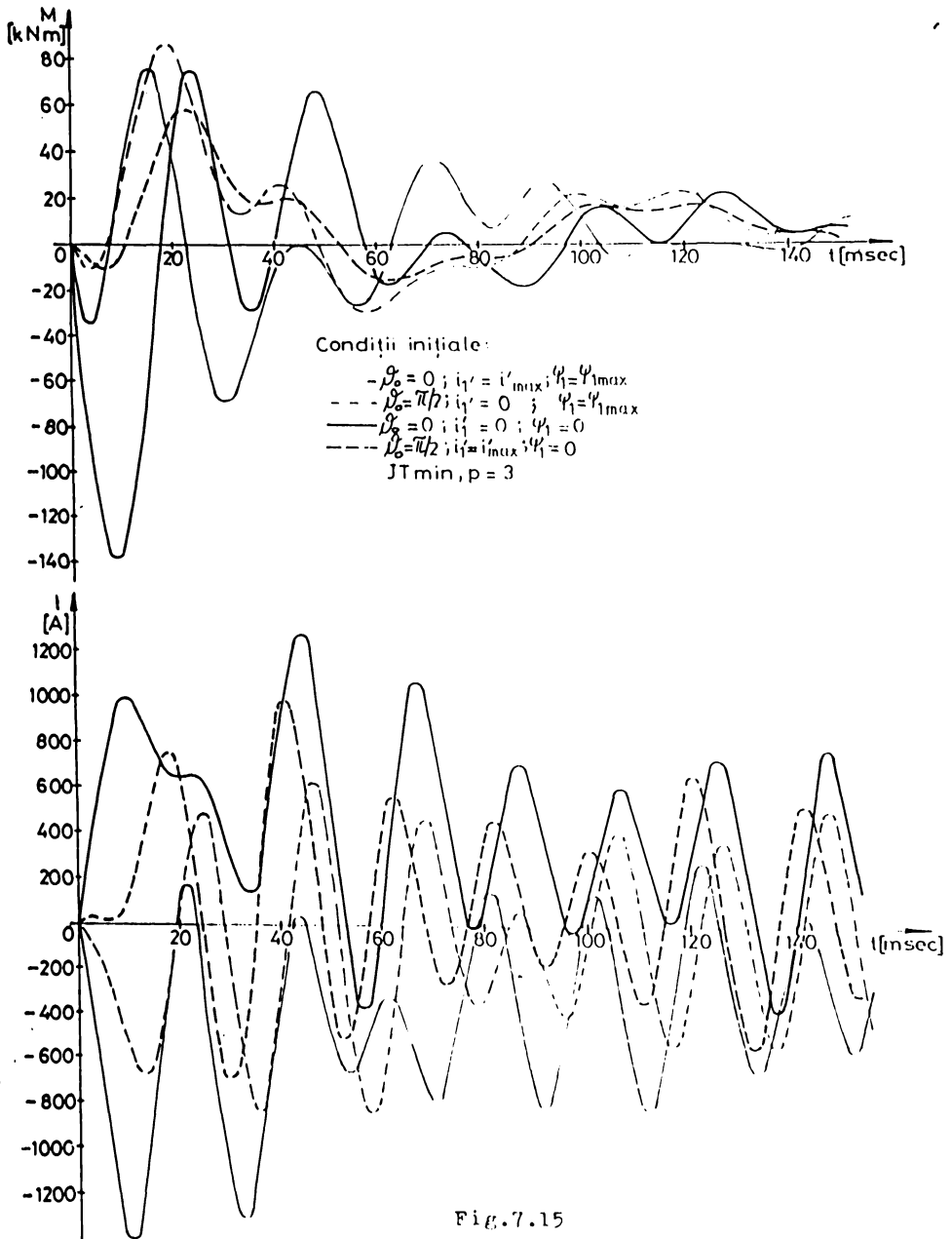


Fig.7.15

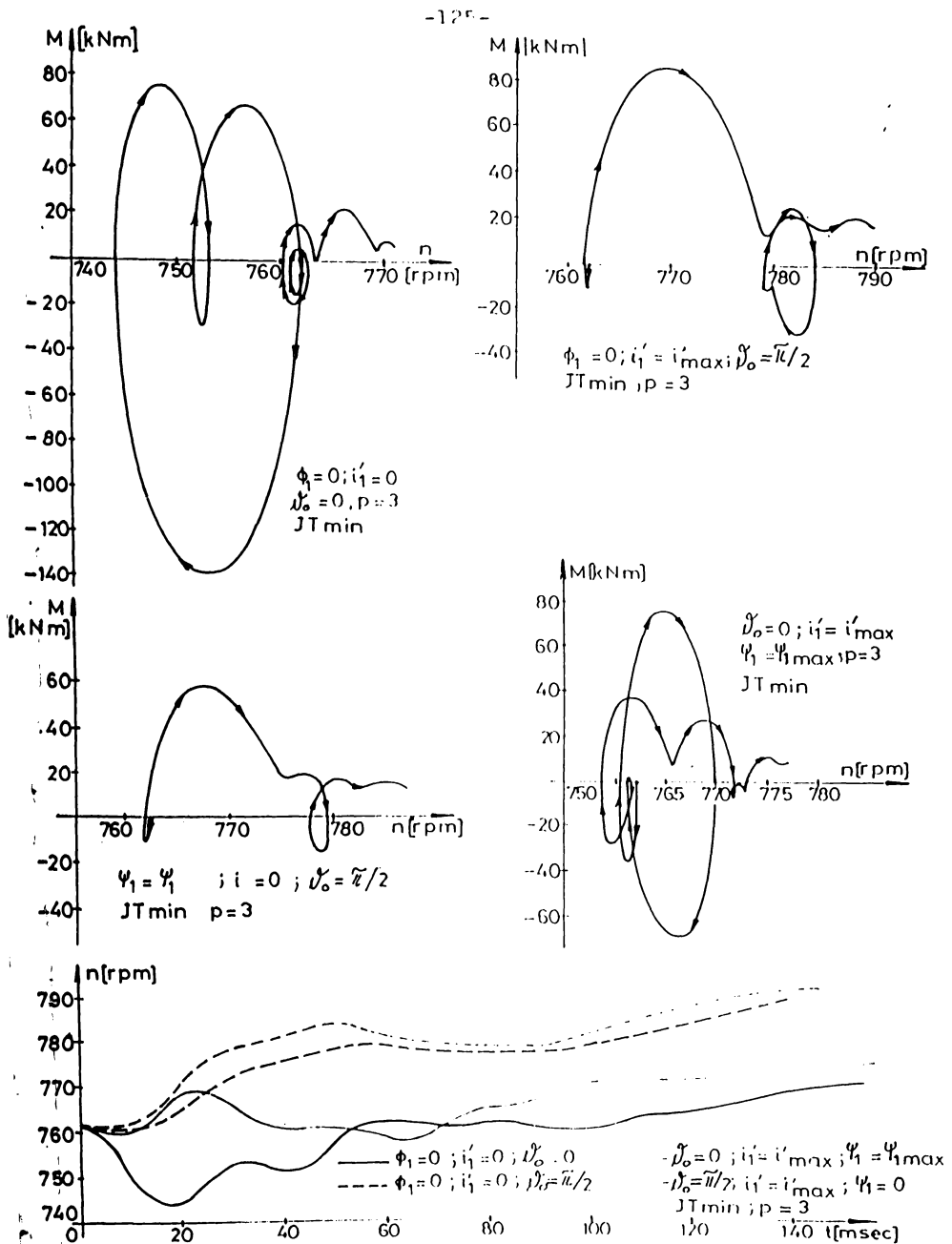


Fig. 7.16

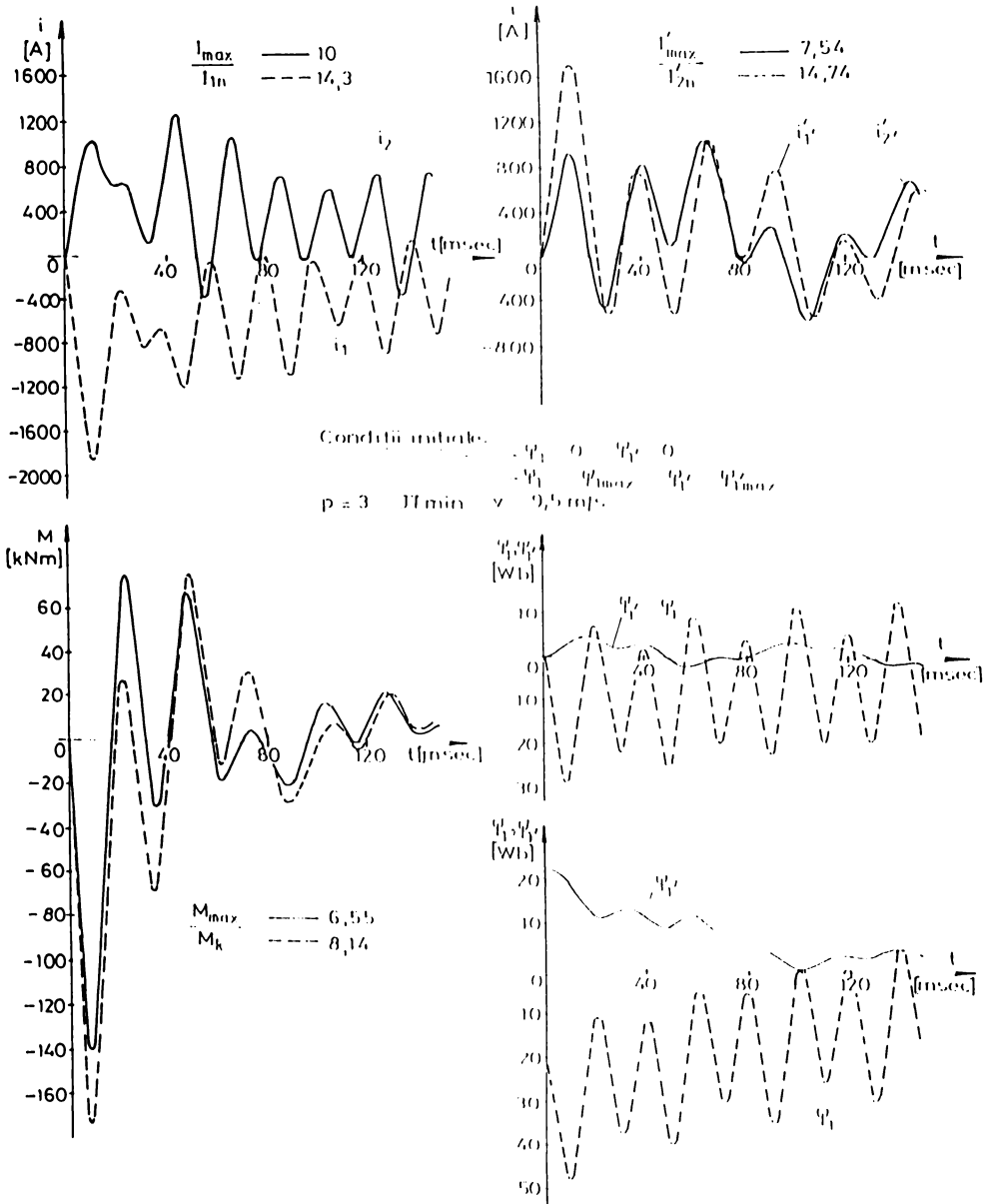


Fig. 7.17

ție este prezentată în fig.7.18.

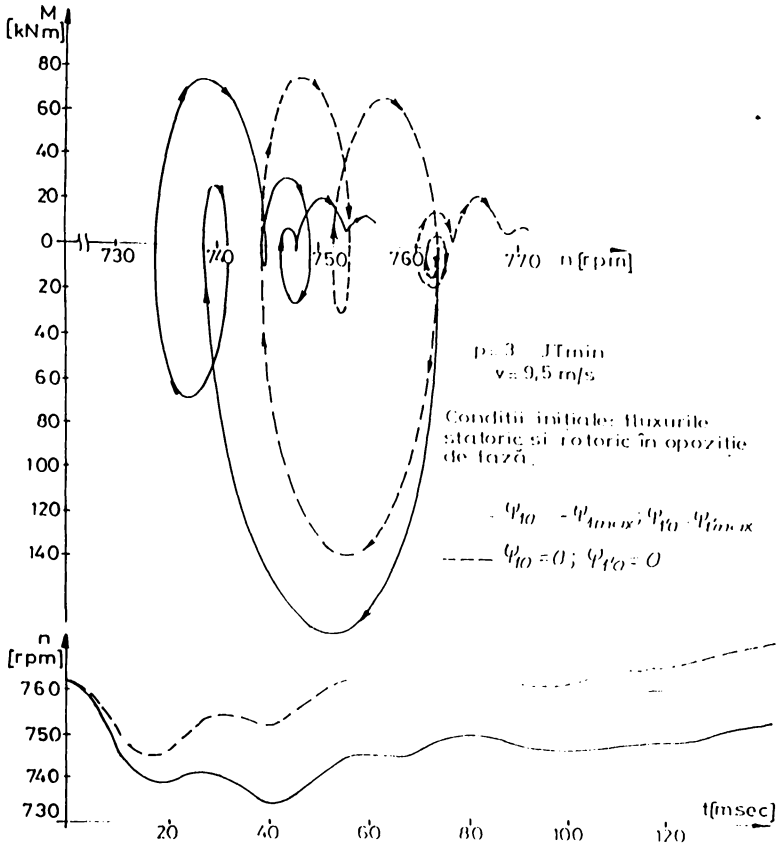


Fig.7.18

Valorile inițiale ale mărimilor electromagnetice influențează mult fenomenele tranzitorii care apar în timpul procesului de reconectare. Solicitățile electromagnetice și mecanice cele mai mari, sînt obținute în cazul în care, în momentul reconectării fluxul magnetic al unei faze rotorice trece prin

valoarea sa maximă, iar cel statoric are valoarea minimă, fluxurile fiind în opoziție de fază. Solicitățile electromagnetice și mecanice cele mai mici - dintre cazurile prezentate - sînt obținute în cazul reconectării cu fluxurile statoric și rotorice defazate cu  $\frac{\pi}{2}$ .

În tabelul nr.7.1 sînt prezentate valori numerice și raportate la valorile nominale (în cazul curenților), respectiv la valoarea critică (în cazul cuplului electromagnetic). Indicele "max" se referă la valoarea de vîrf pozitivă obținută de mărime, iar cel "min" la valoarea de vîrf negativă. De asemenea, durata de timp de la reconectare la care se obține valoarea respectivă se notează cu "moment de timp". De exemplu:  $i_{\max}$  reprezintă valoarea de vîrf pozitivă obținută de curentul statoric în timpul procesului tranzitoriu, iar momentul de timp reprezintă timpul - măsurat de la momentul  $t=0_+$  - la care curentul a obținut valoarea de vîrf pozitivă. Curentul statoric este notat cu  $i$ , cel rotoric cu  $i'$ , iar cuplul electromagnetic cu  $M$ .

Condițiile inițiale ale procesului tranzitoriu în care se obțin valorile prezentate sînt notate prin referire poziția fluxului statoric al fazei 1 față de fluxul rotoric al fazei 1 rotorice, respectiv prin valorile la  $\psi_{10}, \psi'_{10}$  nule sau maxime. Valoarea nominală a curentului statoric, respectiv rotoric raportat la stator este 127,77 A, respectiv 113,99 A, iar valoarea momentului critic, calculată ținînd cont de efectul pelicular, este de 21,37 kN.m.

Prin urmare, procesul tranzitoriu electromagnetic în care apare cele mai mari solicitări electromagnetice și mecanice este cel corespunzător reconectării în momentul în care fluxul statoric al unei faze este în opoziție de fază cu cel rotoric, ambele avînd valori maxime (negative, respectiv pozitive) în momentul reconectării.

În calcule, s-a considerat că momentul de inerție al sistemului turbină eoliană-multiplicator al vitezei de rotație are valoarea minimă.  $J_{t\min} = 620 \text{ kg}\cdot\text{m}^2$ . Considerarea valorii maxime a momentului de inerție,  $J_{t\max} = 2315 \text{ kg}\cdot\text{m}^2$ , conduce la un proces tranzitoriu electromagnetic cu solicitări electromagnetice și mecanice mai mici decît în cazul în care momentul de inerție are valoarea minimă. În fig.7.19 este prezentată variația



vitezei de rotație în timpul procesului

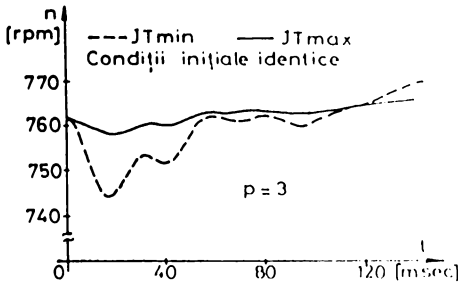


Fig.7.19

comparativ în cele două situații.

Valorile maxime obținute în situația funcționării cu moment de inerție având valoarea maximă față de situația funcționării cu moment de inerție de valoare minimă, sînt mai mici cu: 20% pentru curentul statoric, 16,6% pentru cel rotor, iar cuplul electromagnetic, obține valori maxime cu 36,9%, respectiv 36,64% mai mici.

Dacă se neglijează pierderile în fier, procesul tranzitoriu este caracterizat de sistemul de ecuații (6.50), iar condițiile inițiale - în cazul reconectării în momentul în care fluxurile statorice și rotorice sînt în opoziție de fază, cu valori nule, sînt date de rel.7.13:

$$i_0 = \sqrt{\frac{2}{3} \cdot \frac{\sum_{k=1}^3 L_k \psi_k}{\frac{3}{2} L_{1lh} + \frac{k_X X_2^2}{2r}}} \quad \psi_{d0} = 0 ; \quad \psi_{d'0} = 0 \quad (7.13)$$

$$\psi_{q0} = i_0 \sqrt{3} L_{1lh} ; \quad \psi_{q'0} = i_0 \sqrt{3} \left( L_{1lh} + \frac{2}{3} \frac{k_X X_2^2}{2r} \right)$$

Modificarea vitezei de rotație în timp, comparativ cu situația în care se consideră pierderile în fier este prezentată în fig.7.21, iar în fig.7.22 sînt prezentate comparativ variația în timpul procesului tranzitoriu electromagnetic a curentului statoric, respectiv a cuplului electromagnetic.



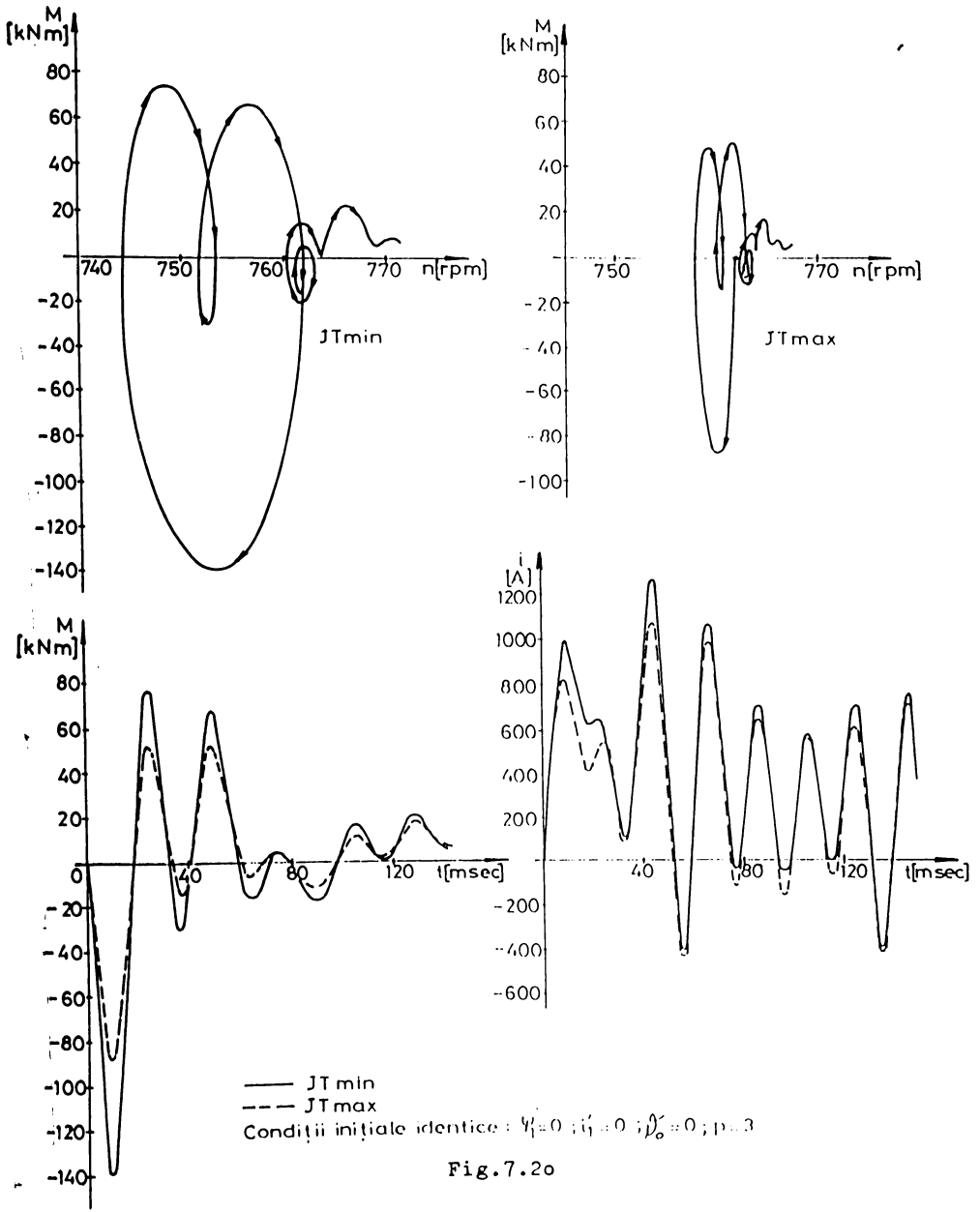


Fig.7.20

De asemenea, se prezintă dependența cuplului electromagnetic de viteza de rotație.

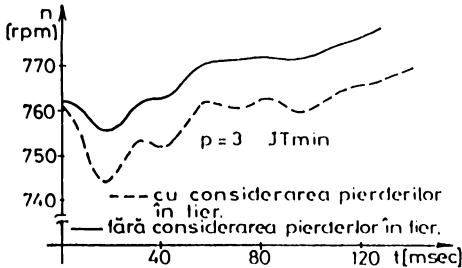


Fig.7.21

virf mai mici pentru curenți și pentru cuplu.

Virful de curent statoric este - în cazul neglijării pierderilor în fier - de 7,32 ori mai mare decât curentul nominal, cel al curentului rotoric de 7,93 ori mai mare decât curentul nominal rotoric, iar cuplul electromagnetic maxim de 2,51 ori cuplul critic, adică valori mai mici cu:

- 26,8% - în cazul curentului statoric;
- 29,84% - în cazul curentului rotoric ;
- 29% - în cazul cuplului electromagnetic,

decît în situația în care - în aceleași condiții inițiale - se consideră pierderile în fier.

În cazul reconectării cu fluxurile statoric și rotoric în opoziție de fază, se prezintă în fig.7.23 variația în raport cu timpul a celor trei curenți statorici respectiv rotorici, precum și variația fluxurilor magnetice statorice pe durata procesului tranzitoriu electromagnetic.

Durata procesului tranzitoriu electromagnetic este de aproximativ 160-200 msec, ea fiind mai mică în cazurile în care solicitările în timpul procesului sînt mai mici, respectiv în cazul în care la reconectare fluxurile magnetice statoric și rotorice sînt defazate cu  $\frac{\pi}{2}$ . De fapt, se poate considera încheiat acest proces tranzitoriu la momentul de timp de la care viteza de rotație este continuu crescătoare, deci magina accelerează.

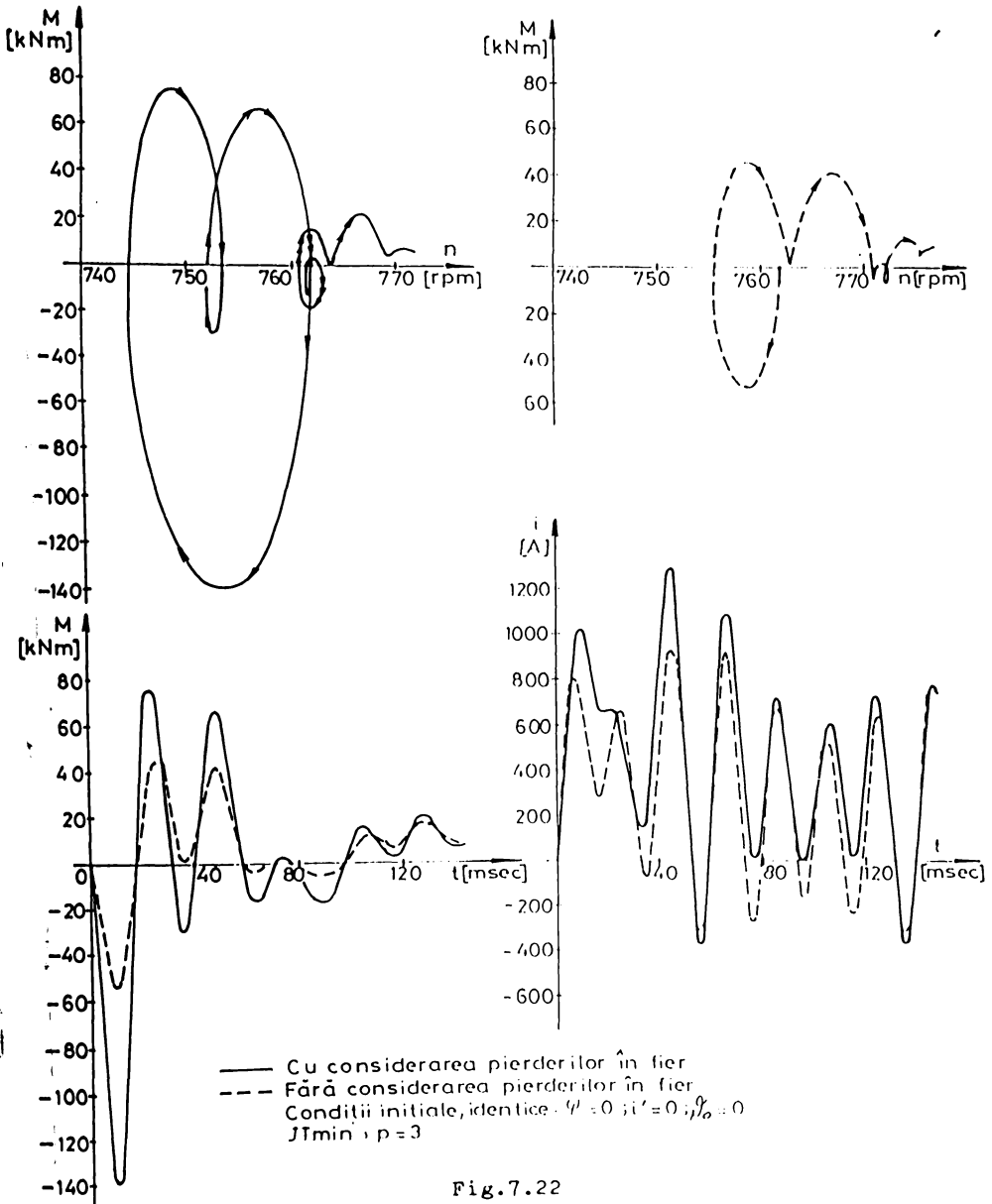


Fig.7.22

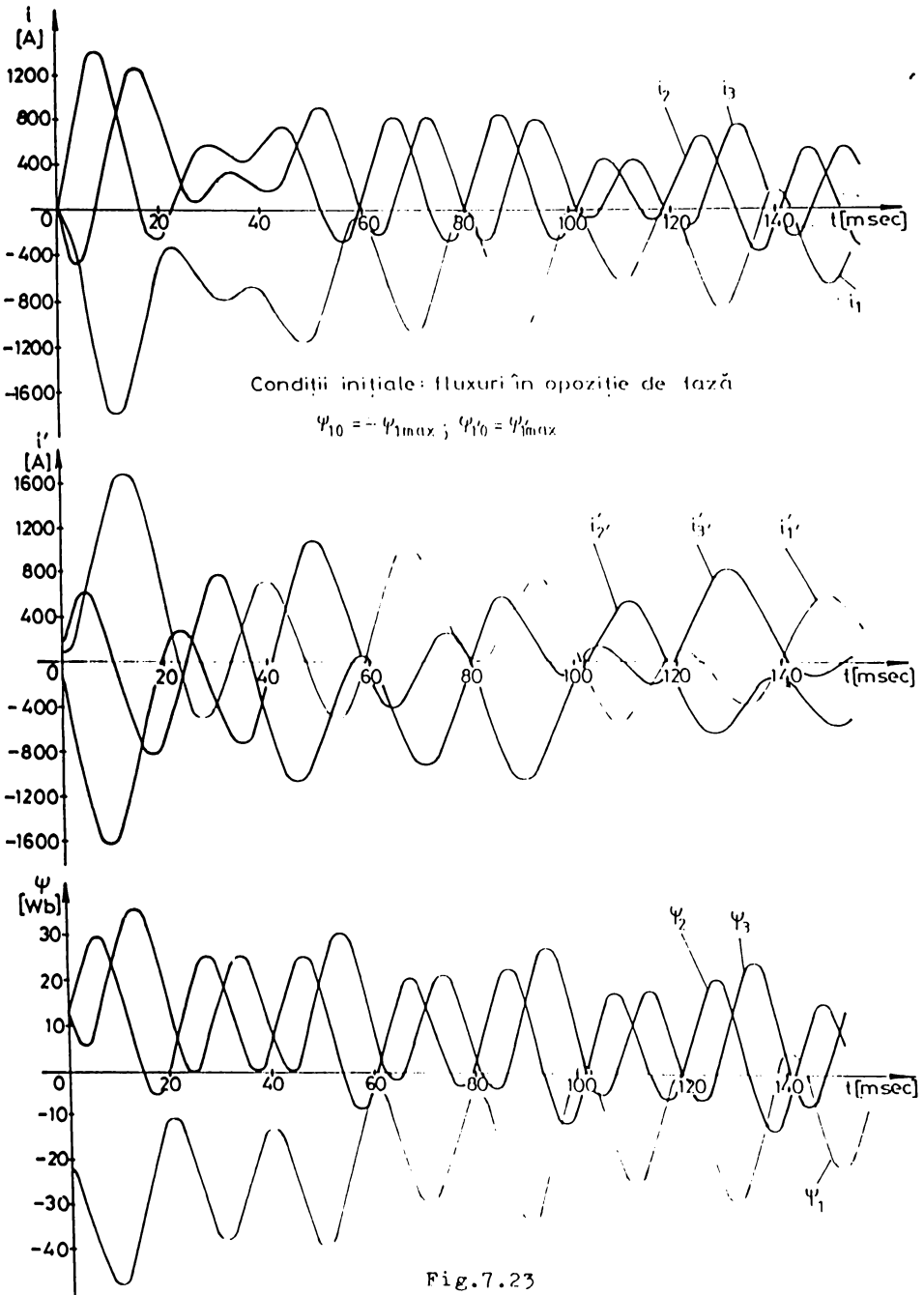
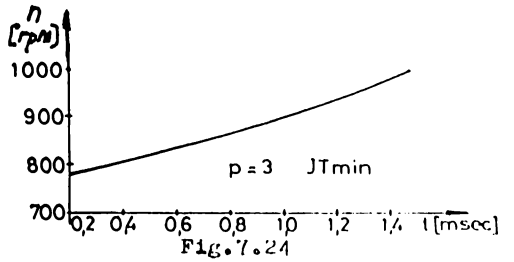


Fig.7.23

Regimul tranzitoriu nu se încheie însă, deoarece pînă la regimul permanent al sistemului, mărimile electrice magnetice și mecanice continuă să se modifice în timp. Partea a doua a regimului tranzitoriu se consideră din momentul în care viteza de rotație crește continuu în timp (fig.7.24), pînă la atingerea punctului de funcționare stabil.



Această parte a regimului tranzitoriu - denumită proces tranzitoriu electromecanic se caracterizează prin valori ale curenților variind între 2,5-4,1 ori valoarea nominală, pe 72%

din durata ei (fig.7.25), după care curenții încep să scadă.

În fig.7.25 este reprezentată variația în raport cu timpul a curenților statorici al fazei celei mai solicitate, iar în fig.7.26, fluxul magnetic corespunzător.

De asemenea, se prezintă variația în raport cu timpul a cuplului electromagnetic pe durata regimului tranzitoriu (fig. 7.27) respectiv dependența cuplului electromagnetic de viteza de rotație comparativ cu valorile obținute la considerarea regimului permanent (fig.7.28).

Valorile obținute de cuplul electromagnetic, considerînd regimul tranzitoriu, fără neglijarea pierderilor în fier, sînt mai mici cu aproximativ 20% decît în cazul regimului permanent, iar valoarea corespunzătoare alunecării critice cu 40% mai mică.

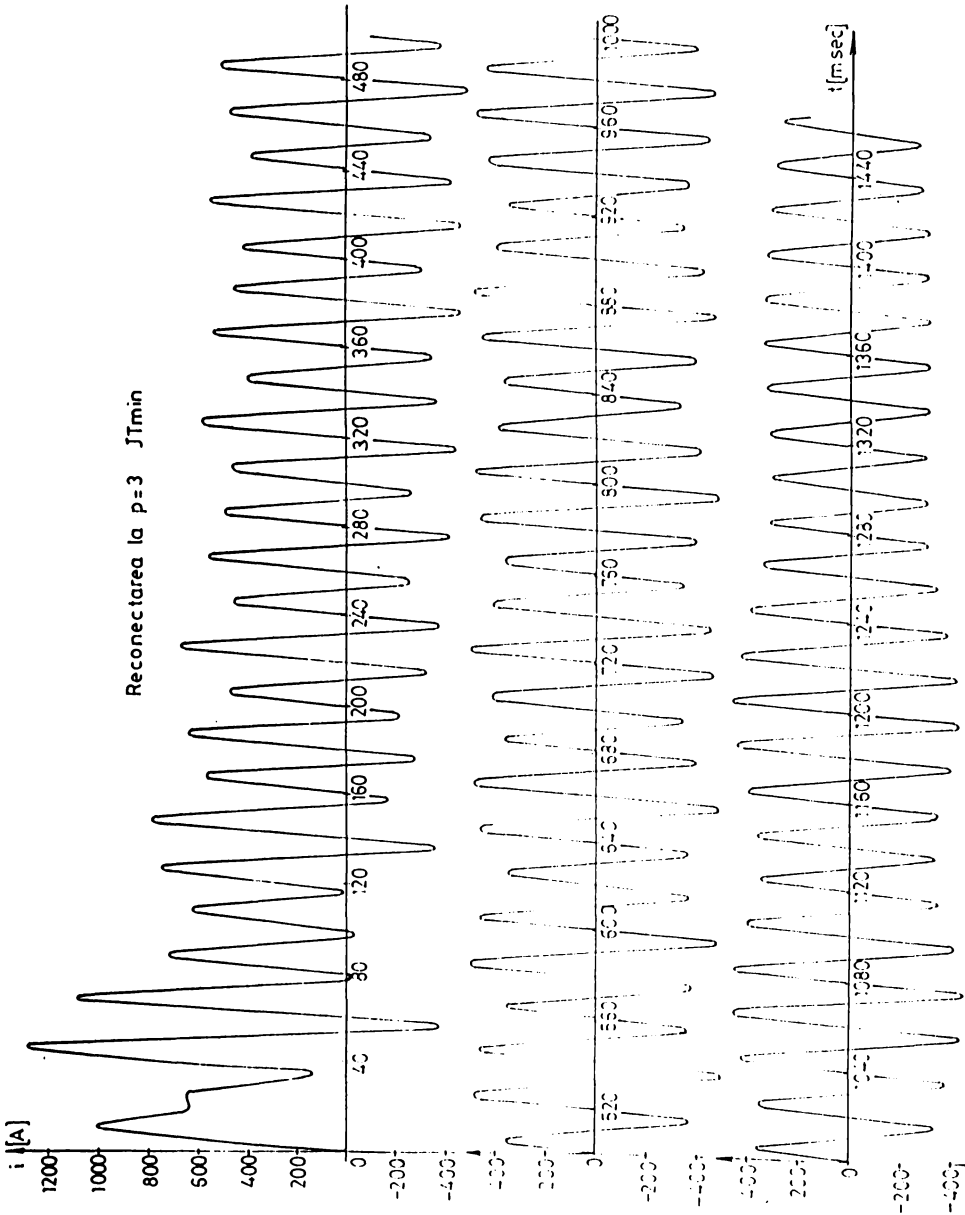


Fig.7.25

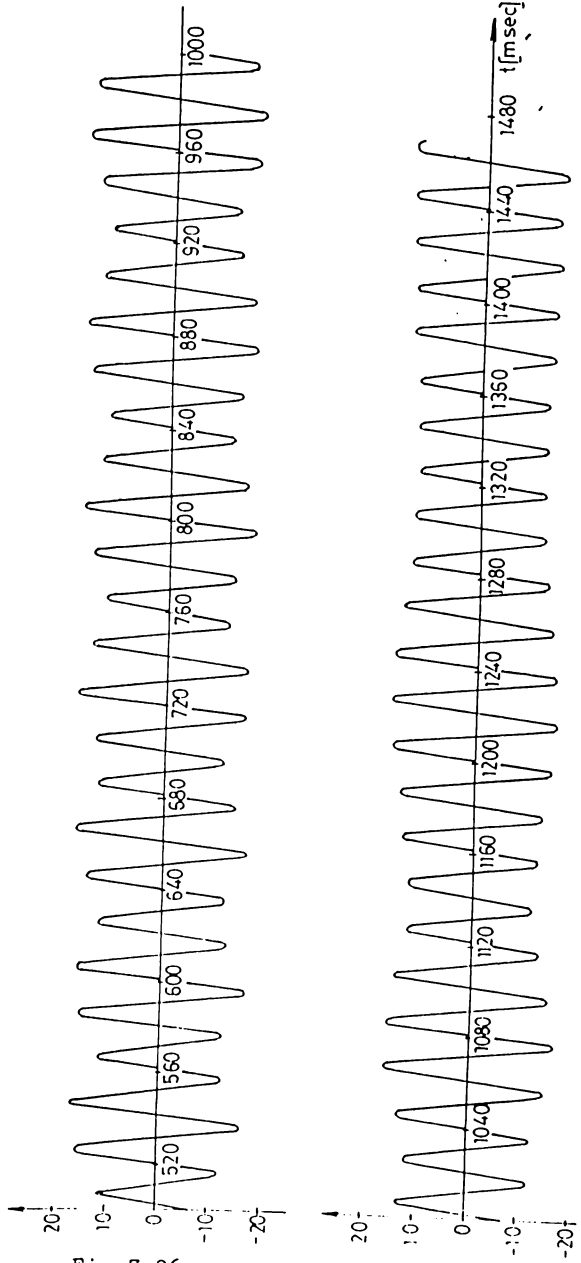
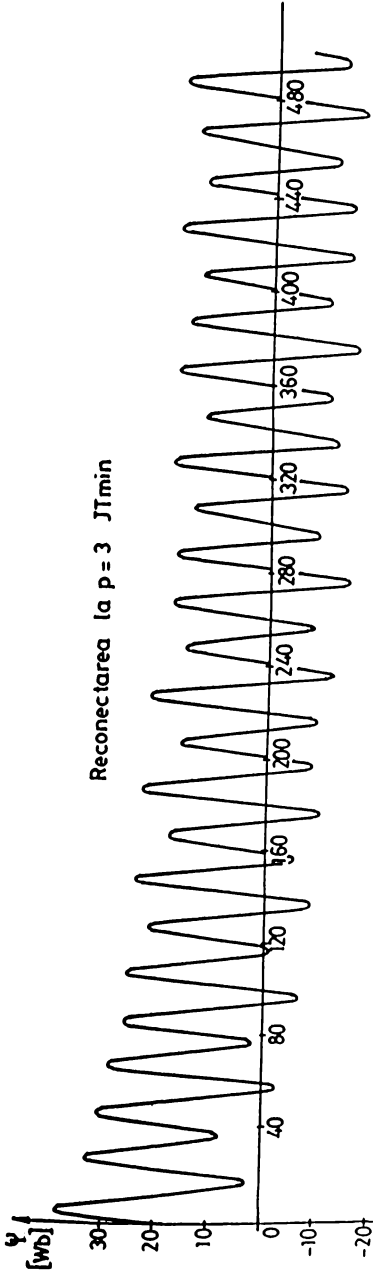


Fig. 7.26

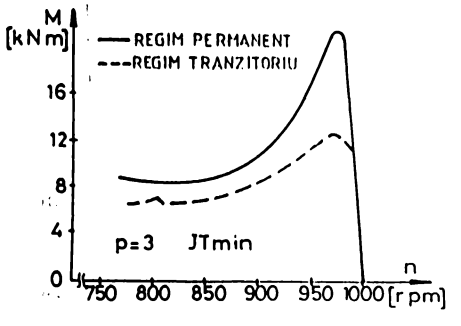


Fig.7.27

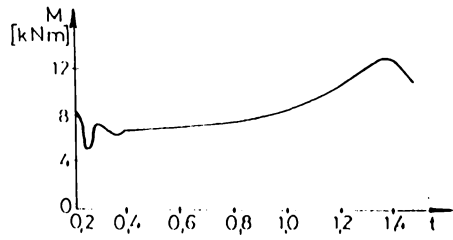


Fig.7.28

7.2.3.2. Fenomene tranzitorii în cazul reconectării la viteza de rotație mică

La reconectare condițiile inițiale sînt date de relațiile (7.8), respectiv (7.9) - (7.12). Variația în timp a curentului statoric  $i$  este prezentată în fig.7.29, iar în fig.7.30 sînt prezentate variația în timp a momentului electromagnetic și a vitezei de rotație a maginii, variații corespunzătoare proceselor tranzitorii avînd diverse condiții inițiale la reconectare, respectiv fluxurile statoric și rotorice în fază (rel.7.8) defazate cu  $\pi/2$  (rel.7.9 și 7.10), în opoziție de fază, dar trecînd prin valoarea zero la momentul inițial (rel.7.11).

De asemenea, în fig.7.31 este prezentată dependența cuplului electromagnetic de viteza de rotație  $n$ , în cazul condițiilor inițiale precizate.

În situația în care reconectarea se face în momentul în care fluxurile statorice și rotorice sînt în opoziție de fază, dependența de timp a mărimilor electromagnetice este prezentată în fig.7.32, iar dependența vitezei de rotație de timp și a cuplului electromagnetic de viteza de rotație este prezentată în figura 7.33.

Valorile inițiale ale mărimilor electromagnetice influențează mult fenomenele tranzitorii care apar în timpul procesului de reconectare. Ca și în cazul reconectării la viteza de rotație mare, și în acest caz solicitările electromagnetice și mecanice cele mai mari sînt obținute în situația în care, în



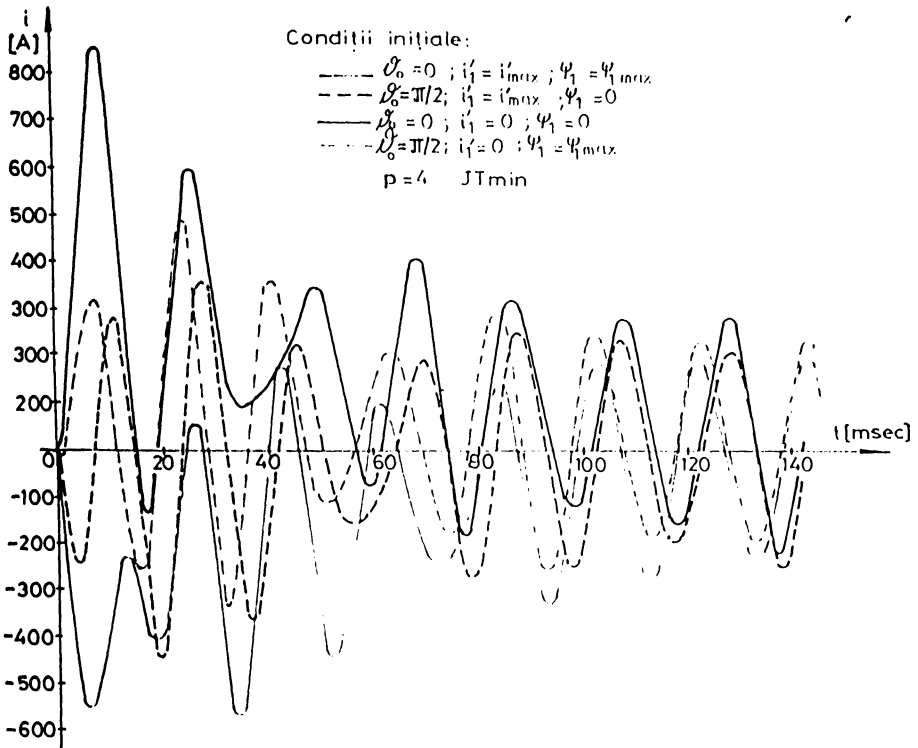


Fig.7.29

momentul reconectării fluxul magnetic al unei faze rotorice trece prin valoarea maximă, iar cel statoric are valoarea minimă (valorile inițiale sînt cele date de relațiile 7.12).

În tabelul nr.7.2 sînt prezentate valori numerice și valori raportate la valorile nominale (în cazul curenților), respectiv la valoarea critică (în cazul cuplului electromagnetic). Indicele "max" se referă la valoarea de vîrf pozitivă obținută de mărime, iar cel "min" se referă la valoarea de vîrf negativă. De asemenea, durata de timp măsurată de la momentul  $t=0_+$  al reconectării pînă la obținerea valorii respective de vîrf, se

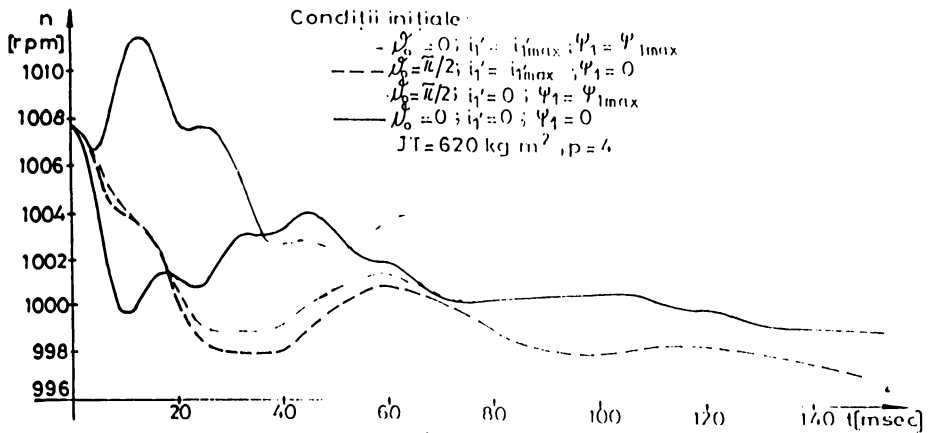
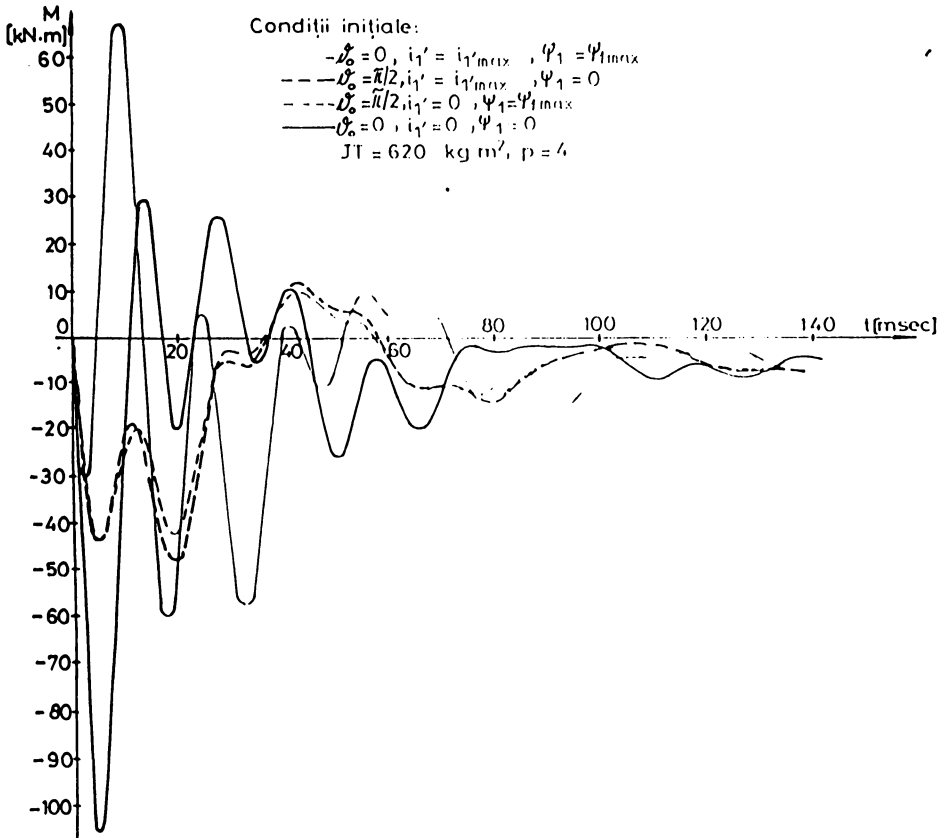


Fig. 7.30

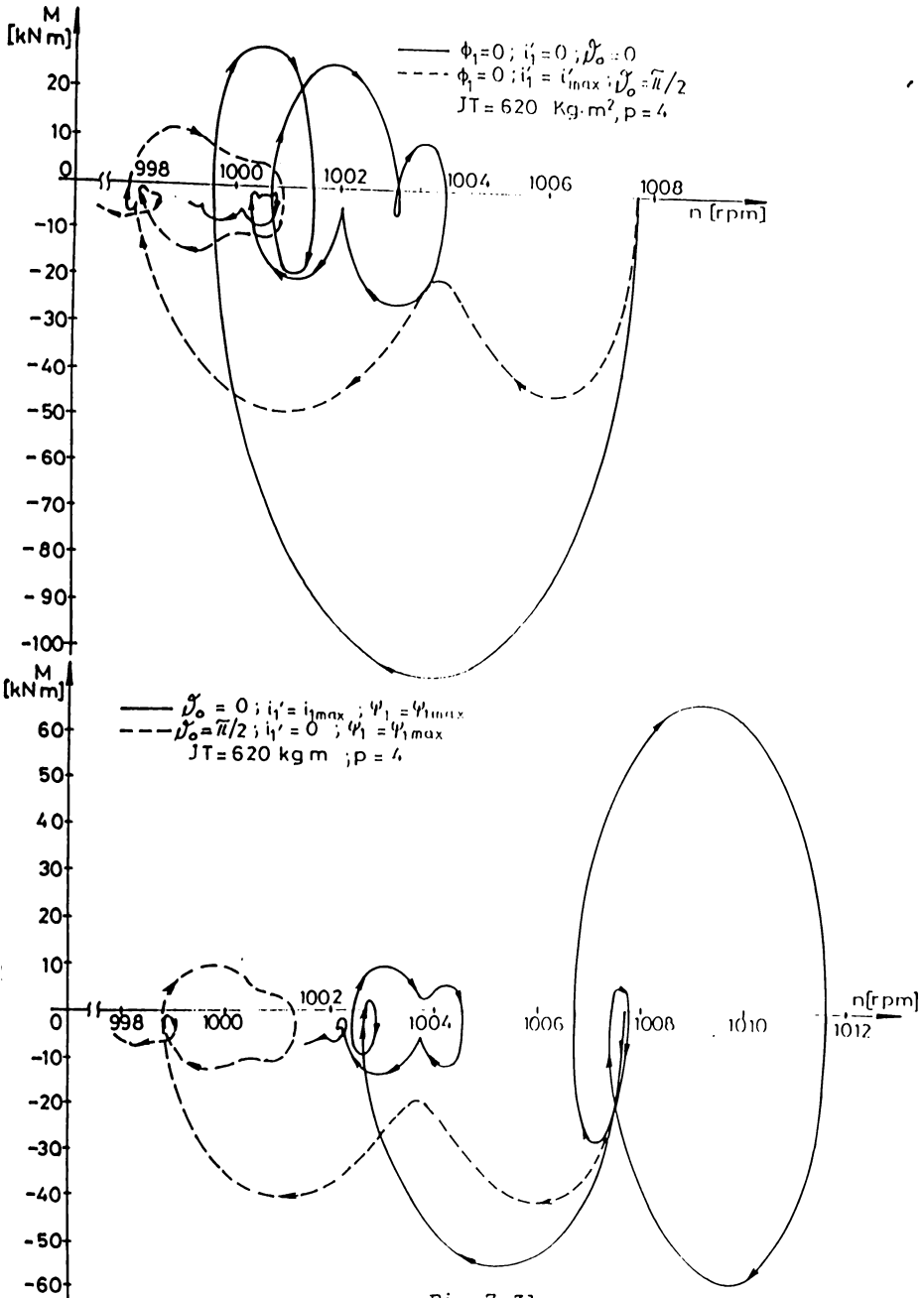
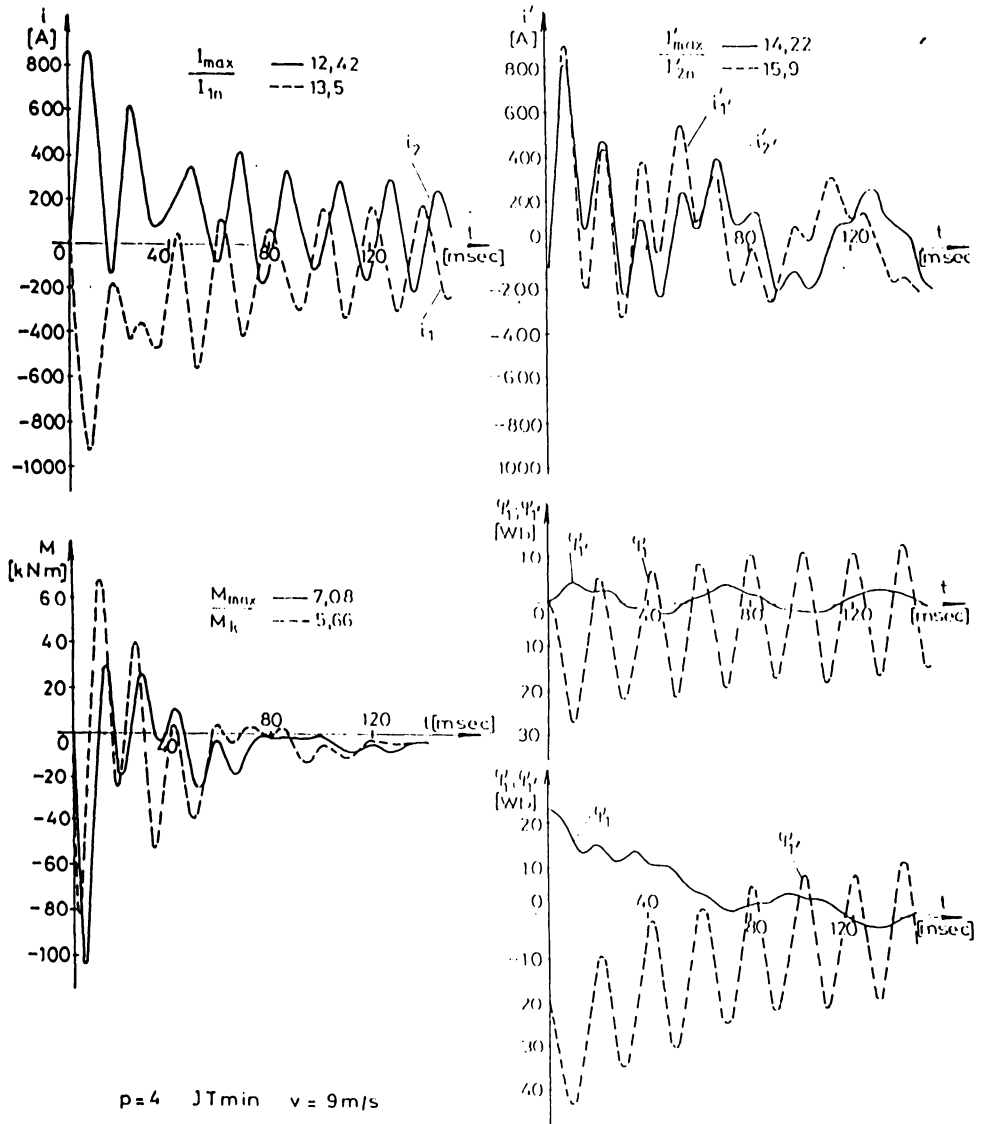


Fig. 7.31



Condiții inițiale: fluxurile statorice și rotorice în opoziție de fază  
 —  $\psi_0 = -\psi_{1max}$  ;  $\psi'_0 = \psi'_{1max}$     - - -  $\psi_0 = 0$  ;  $\psi'_0 = 0$

Fig.7.32

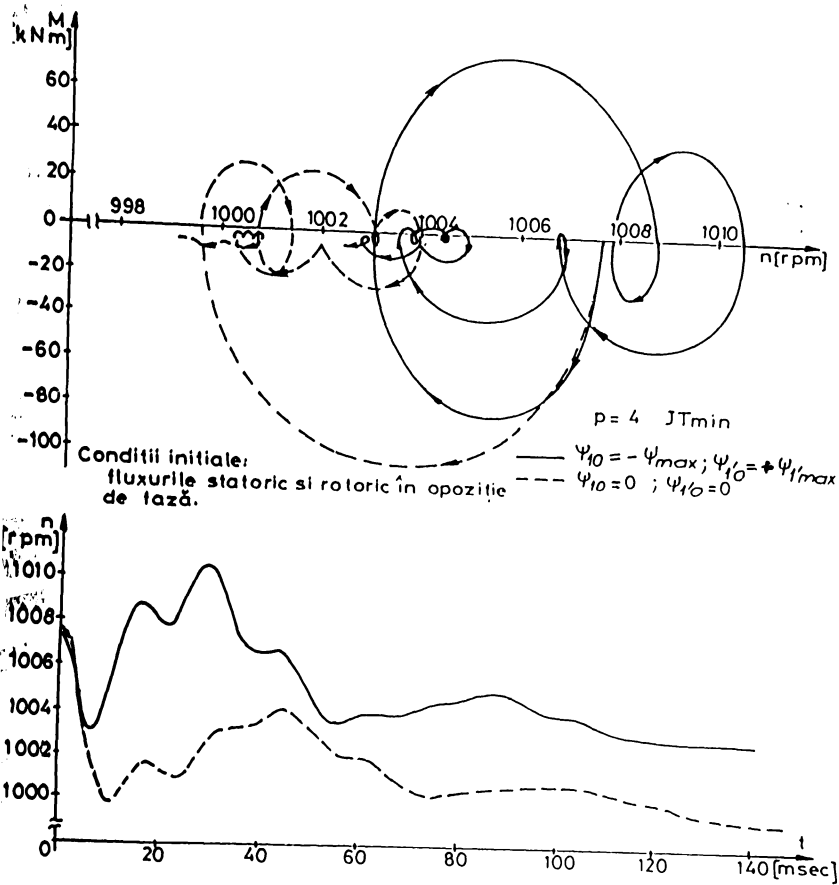


Fig.7.33

notează cu "moment de timp".

Curentul statoric se notează cu  $i$ , cel rotoric cu  $i_r$  iar cuplul electromagnetic cu  $M$ . Condițiile inițiale ale procesului tranzitoriu în care se obțin valorile prezentate sînt simbolizate prin precizarea de fazajului dintre fluxurile statoric și rotoric, precum și valorile lor la momentul  $t=0$ , respectiv

Mr. **WRI-** Conditiile initiale: fluxurile statice si rotorice sunt:

Nr. crt.	Mes	In faza, $\psi_{10} = \psi_{1max}$		defazate cu $\pi/2$ , $\psi_{10} = 0$		defazate cu $\pi/2$ , $\psi_{10} = -\psi_{1max}$		opozitie de faza $\psi_{10} = 0, \psi_{1'0} = 0$		opozitie de faza $\psi_{10} = -\psi_{1max}, \psi_{1'0} = \psi_{1max}$						
		$\psi_{1'0} = \psi_{1max}$	$\psi_{10} = \psi_{1max}$	$\psi_{10} = 0$	$\psi_{1'0} = 0$	$\psi_{10} = -\psi_{1max}$	$\psi_{1'0} = 0$	$\psi_{10} = 0$	$\psi_{1'0} = 0$	$\psi_{10} = -\psi_{1max}$	$\psi_{1'0} = \psi_{1max}$					
		Valoarea momentului de re-nu-meria UM	Valoarea-timp de re-meria UM	Valoarea-timp de re-meria UM	Valoarea-timp de re-meria UM	Valoarea-timp de re-meria UM	Valoarea-timp de re-meria UM	Valoarea-timp de re-meria UM	Valoarea-timp de re-meria UM	Valoarea-timp de re-meria UM	Valoarea-timp de re-meria UM					
1.	$i_{max}$	195,29 A	2,82 A	122,25 A	2505,47 A	30 A	21,7 A	493,57 A	13 A	23,7 A	856,4 A	12,36 A	8,22 A	164,8 A	2,38 A	120,7 A
2.	$i_{min}$	578,73 +	8,36 A	33,7 A	300,35 A	4,34 A	30,7 A	344,2 A	4,97 A	31,7 A	190,9 A	2,61 A	77,7 A	935,2 A	13,5 A	8,22 A
3.	$i_{max}$	560,89 +	9,7 A	35,7 A	493,0 A	8,52 A	22,7 A	469,91 A	8,12 A	21,7 A	822,36 A	14,2 A	7,58 A	919,03 A	15,89 A	6,94 A
4.	$i_{min}$	235,33 A	4,07 A	72,7 A	194,84 A	3,37 A	178,7 A	188,1 A	3,25 A	115,7 A	206,58 A	3,57 A	90,7 A	325,9 A	5,63 A	29,7 A
5.	$M_{max}$	57,22 +	4,53 KN.m	8,86 KN.m	12,02 +	0,81 KN.m	42,7 KN.m	10,99 KN.m	0,74 KN.m	42,7 KN.m	29,55 KN.m	2,0 KN.m	13,7 KN.m	78,04 KN.m	5,26 KN.m	11,42 KN.m
6.	$M_{min}$	60,31 -	4,07 KN.m	17,7 KN.m	48,7 -	3,28 KN.m	18,7 KN.m	43,75 -	2,95 KN.m	5,34 KN.m	105,8 KN.m	7,13 KN.m	5,02 KN.m	84,82 KN.m	5,72 KN.m	3,42 KN.m

$\psi_{10}, \psi_{10}^{\circ}$

Valoarea curentului nominal este de 69,261 A pentru stator respectiv de 57,85 A pentru rotor redus la stator, iar valoarea cuplului critic - cu efect pelicular - este de 14,83 kN.m.

Prin urmare, procesul tranzitoriu electromagnetic în care apar cele mai mari solicitări electromagnetice și mecanice este cel corespunzător reconectării la momentul în care fluxul statoric al unei faze este în opoziție de fază cu cel rotoric, ambele având valori maxime.

În calcule, s-a considerat că momentul de inerție al sistemului turbină eoliană-multiplicator al vitezei de rotație are valoarea maximă, egală cu  $620 \text{ kg.m}^2$ . Considerarea valorii maxime a momentului de inerție,  $JT_{\text{max}} = 2315 \text{ kg.m}^2$ , conduce la un proces tranzitoriu electromagnetic cu solicitări electromagnetice și

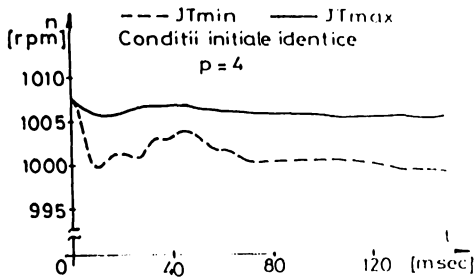


Fig.7.34

meccanice mai mici decât în cazul în care momentul de inerție are valoarea minimă, iar viteza de rotație se modifică mult mai puțin pe durata regimului tranzitoriu electromagnetic (fig.7.34) comparativ cu cazul considerării valorii minime a

momentului de inerție. Se consideră că procesul tranzitoriu are aceleași condiții inițiale - respectiv aceleași valori pentru toate mărimile, exceptând valoarea momentului de inerție. Valoarea momentului de inerție al sistemului turbină eoliană-multiplicator al vitezei de rotație, influențează și valorile curentilor ce se obțin în timpul procesului tranzitoriu, precum și a cuplului electromagnetic (fig.7.35).

Valorile de vârf obținute în situația funcționării cu moment de inerție având valoarea maximă față de situația funcționării cu moment de inerție de valoare minimă, sînt mai mici cu: 11,8 % pentru curentul statoric, 11,6% pentru curentul rotoric și 25,75% pentru cuplul electromagnetic. În schimb, la sfîrșitul procesului tranzitoriu electromagnetic, viteza de rotație este

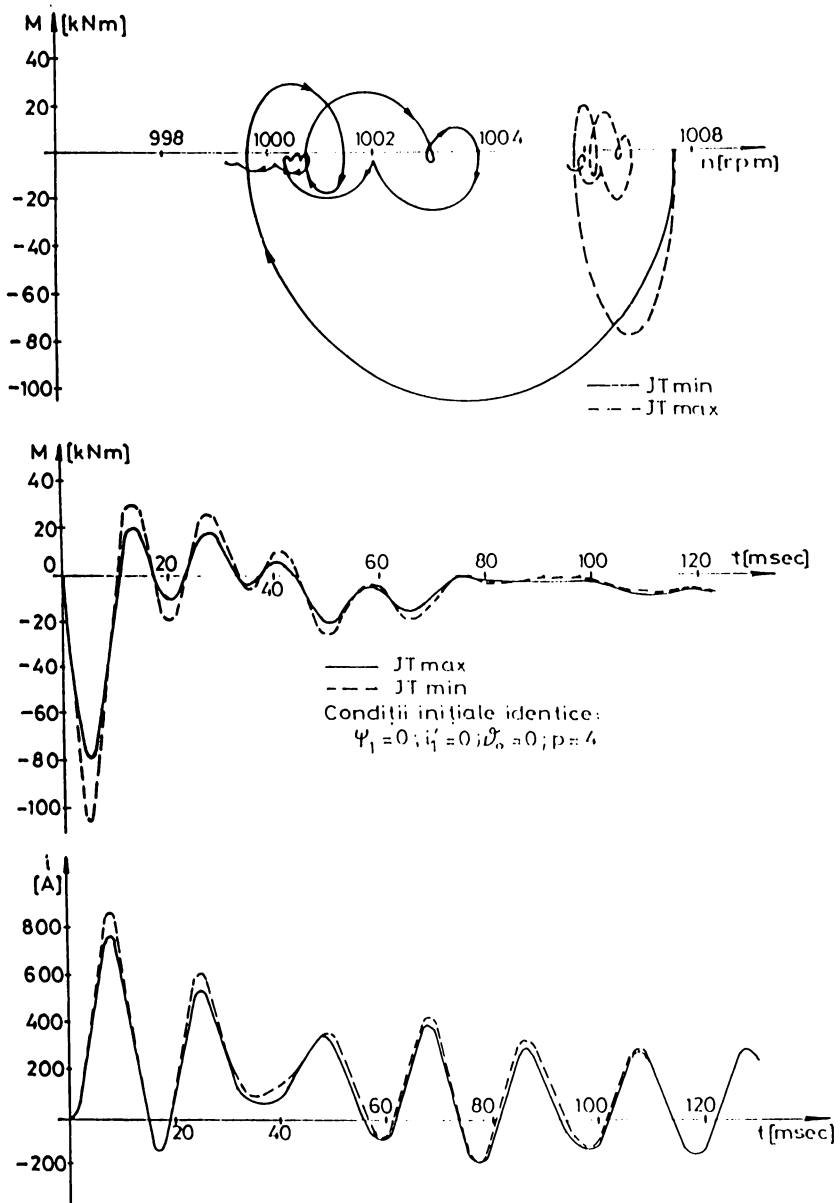


Fig.7.35



mai mare, respectiv alunecarea este cu 1% mai mare.

După aproximativ 60 msec, valoarea momentului de inerție numai influențează decît variația vitezei de rotație în timp. Aceasta se modifică de aproximativ 2 ori mai lent în situația considerării valorii maxime pentru momentul de inerție decît în situația considerării valorii minime a acestuia.

Dacă se neglijează pierderile în fier, procesul tranzitoriu este caracterizat de sistemul de ecuații (6.50), iar condițiile inițiale - în cazul reconectării în momentul în care fluxurile statoric și rotorice sînt în opoziție de fază, cu valorile, sînt date de relațiile (7.13).

Modificarea vitezei de rotație în timp, comparativ cu

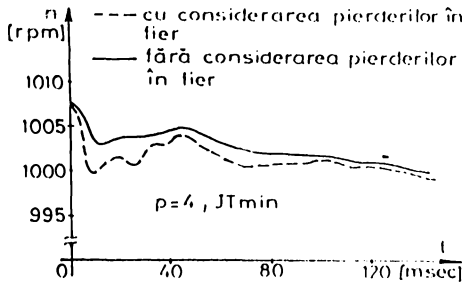


Fig.7.36

lectromagnetic de viteza de rotație.

Neglijarea pierderilor în fier conduce la valori de vîrf mai mici pentru curenți și pentru cuplul electromagnetic, respectiv valori mai mici cu 24 % în cazul curentului statoric, cu 21.86% în cazul curentului rotorice și cu 46,46% în cazul cuplului electromagnetic, decît în situația în care - în aceleași condiții inițiale - se consideră pierderile în fier.

În cazul reconectării cu fluxurile statorice și rotorice în opoziție de fază, se prezintă în fig.7.38 variația în raport cu timpul a celor trei curenți statorici, respectiv rotorici, precum și variația fluxurilor magnetice statorice de durata procesului tranzitoriu electromagnetic.

situația în care se consideră pierderile în fier, este prezentată în fig.7.36, iar în fig. 7.37, sînt prezentate - comparativ - variația în timpul procesului tranzitoriu electromagnetic a curentului statoric, respectiv a cuplului electromagnetic, precum și dependența cuplului e-

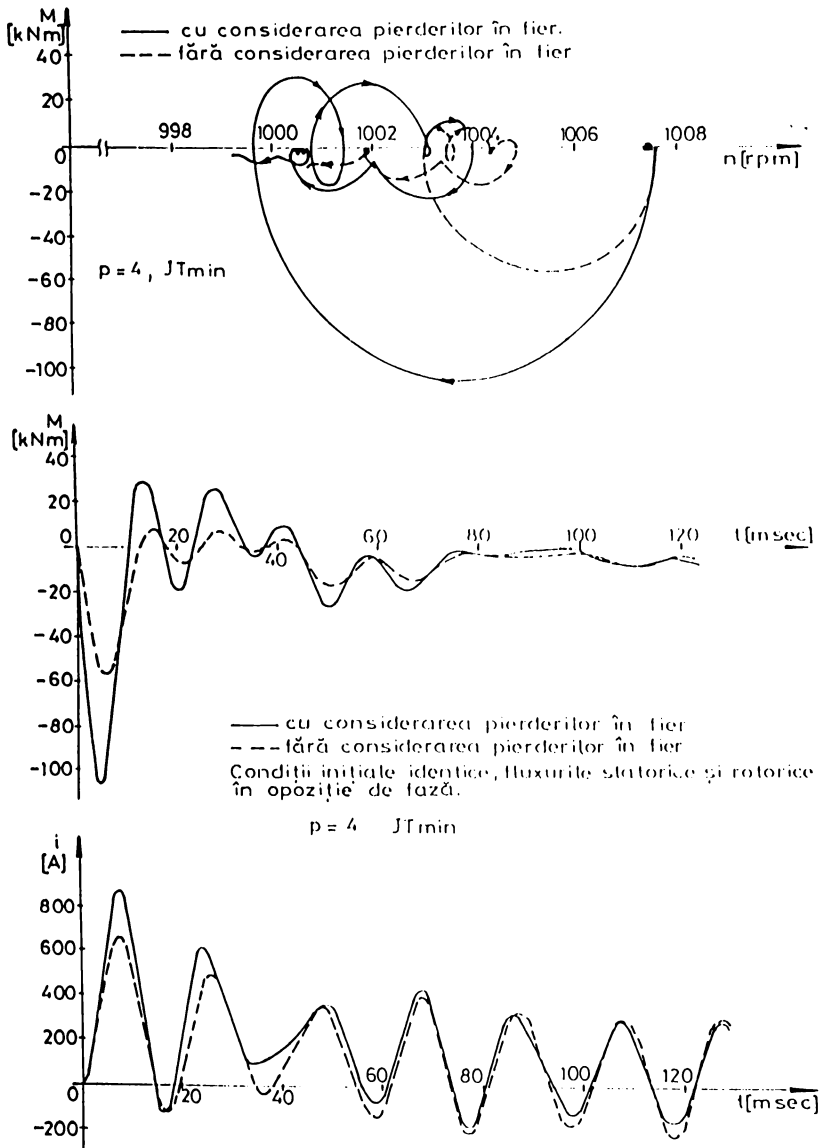


Fig.7.37

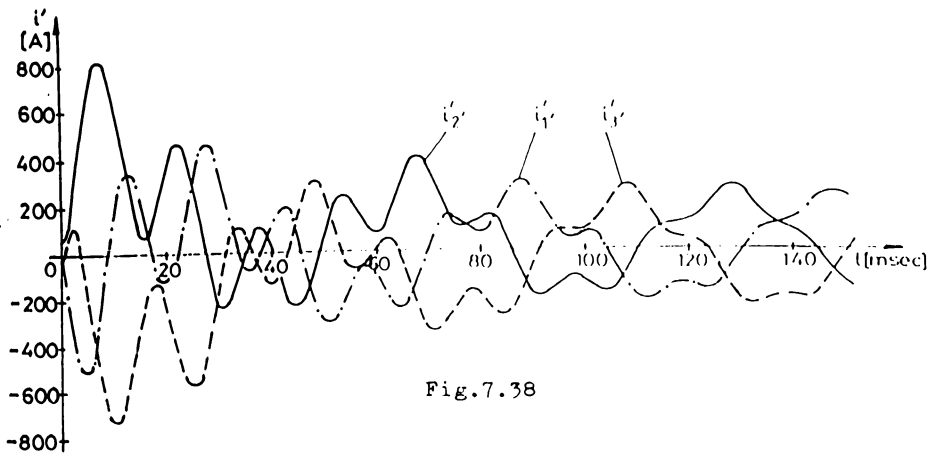
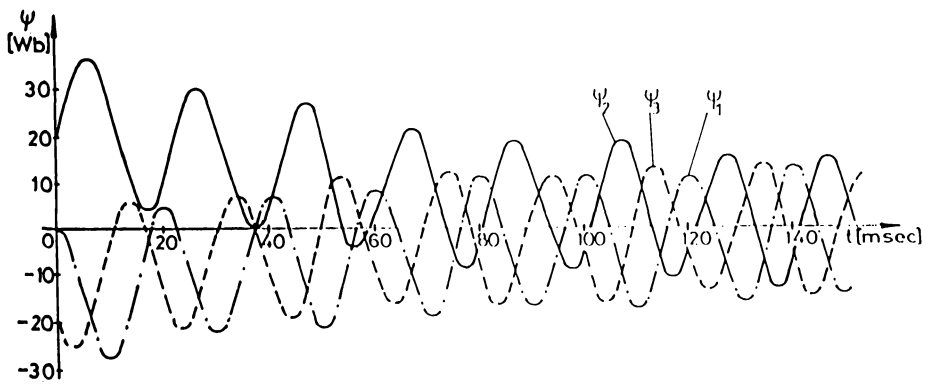
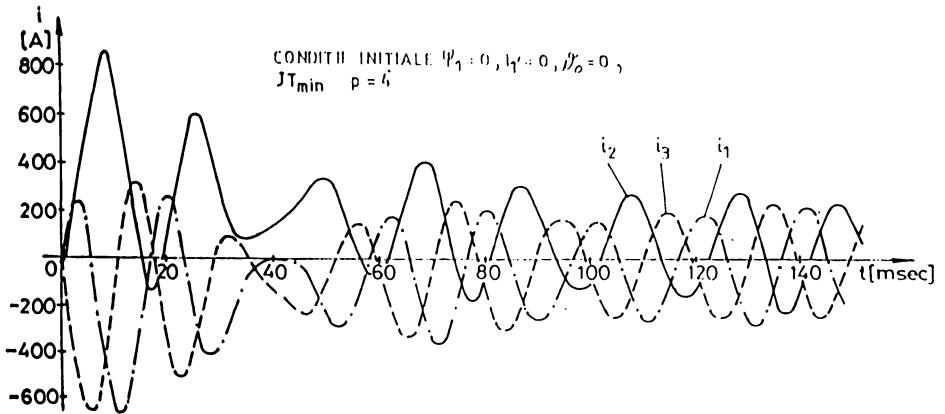
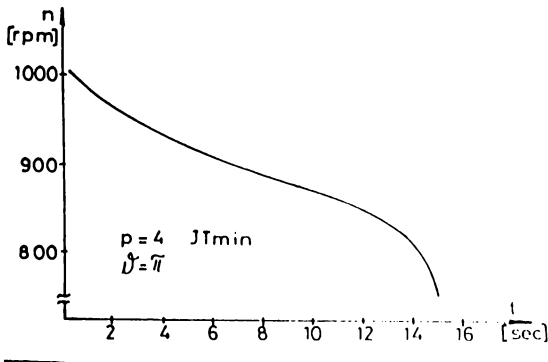


Fig. 7.38

Durata procesului tranzitoriu electromagnetic este de aproximativ 160-200 msec, ea fiind mai mică în cazurile în care solicitările în timpul procesului sînt mai mici, respectiv în situația în care la reconectare fluxurile magnetice statorice și rotorice sînt defazate cu  $\pi/2$ . Dacă se consideră că procesul tranzitoriu electromagnetic s-a încheiat la momentul de timp la care viteza de rotație este continuu descrescătoare, deci mașina încetinește continuu, atunci durata lui este cuprinsă între 120-150 msec.

Regimul tranzitoriu nu se încheie însă, deoarece pînă la cel stabil, mărimile



electrice, magnetice și mecanice continuă să se modifice în timp. Partea a doua a regimului tranzitoriu-considerată din momentul în care viteza de rotație scade continuu în timp (fig.7.39) pînă la atingerea punctului de funcționare stabilă-se caracterizează prin valori ale curenților oscilînd

Fig.7.39

între 2,75-3,5 ori valoarea nominală, pe aproximativ 80% din durata ei, după care curenții încep să scadă. În fig.7.40 s-a reprezentat variația cuplului electromagnetic pe durata trecerii, iar în fig. 7.41 s-a reprezentat dependența cuplului de viteza de rotație în cazul regimului tranzitoriu, respectiv în cazul regimului permanent.

De asemenea în fig.7.42 s-a prezintă variația curentului unei faze statorice pe intervalul de timp de 0,6 secunde înainte de atingerea punctului de funcționare stabilă.

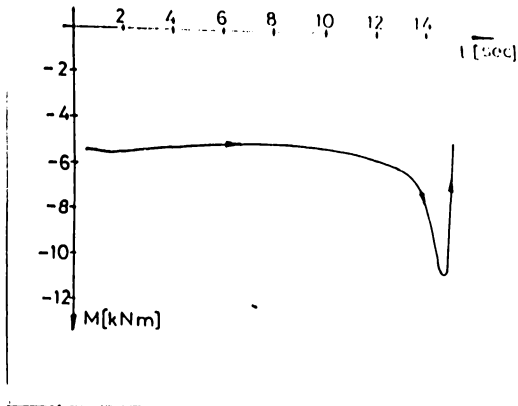


Fig.7.40

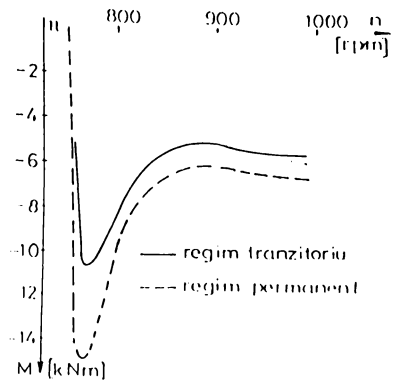


Fig.7.41

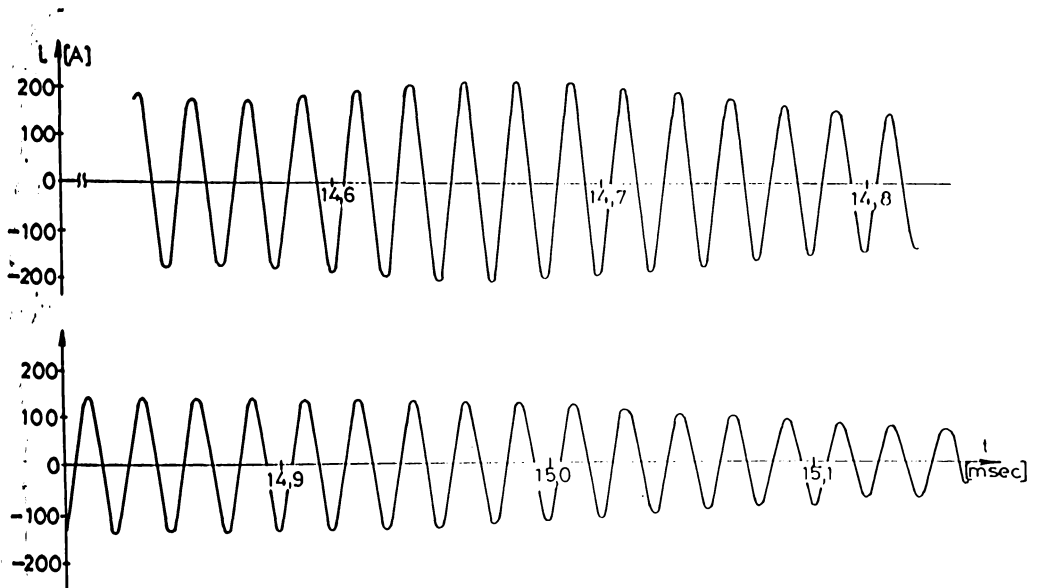


Fig.7.42

### 7.3. Încercări experimentale

Pentru a se verifica experimental rezultatele obținute din calcul, s-au realizat măsurători și oscilografieri de curenți la deconectare și reconectare, în cazul unei mașini de inducție cu rotorul în colivie avînd două trepte ale vitezei de rotație, respectiv 1500/1000 rpm, cu înfășurări distincte, puterea nominală de 3,3/1 kW, curentul nominal statoric de 8,89/3,9 A, tensiunea nominală de 380 V și conexiunea stea a ambelor înfășurări statorice.

În fig.7.43 este prezentată schema monofază a instalației cu care s-au realizat încercările, iar în figura 7.44 este prezen-

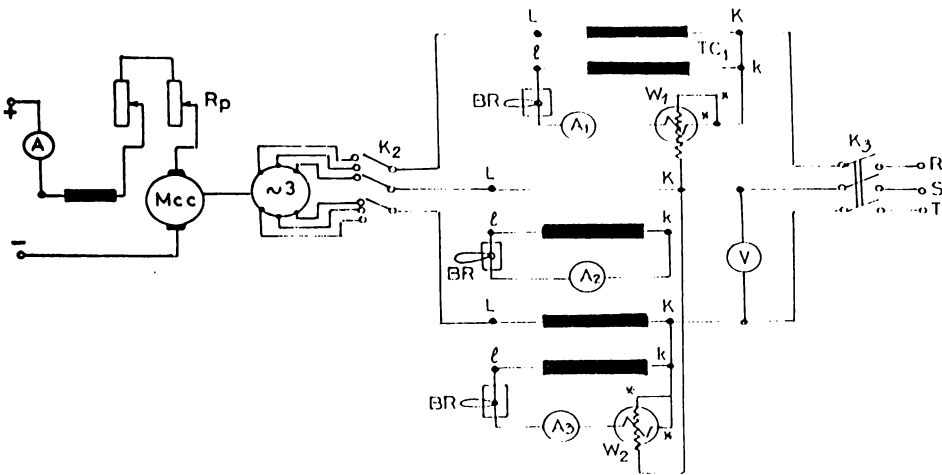


fig.7.43

tată instalația.

S-au oscilografiat curenții înfășurărilor statorice  $i_1, i_2, i_3$ , respectiv tensiunea de linie,  $u_{23}$ , în cazul deconectării de la rețea a mașinii funcționînd la treapta de 1500 rot/min (fig.7.45). Din studiul oscilogramei rezultă că tensiunea la bornele înfășurării statorice în gol, scade după 20 msec (după o perioadă) la 37,5% din valoarea ei nominală, iar curenții la același moment de timp scad la 7,9 % din valoarea dinaintea deconectării (momentul  $t=0_-$ ), iar după 80 msec,

procesele electromagnetice s-au stins complet.

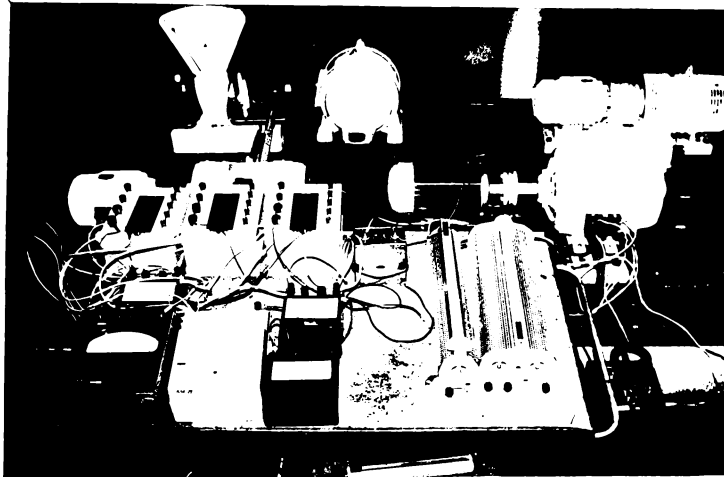


Fig.7.44

Reconectarea la viteza mică de rotație (corespunzătoare numărului de perechi de poli ai mașinii egal cu 3) - fig.7.56 evidențiază faptul că în primele 10 msec de la deconectare apare pe o fază statorică - un șoc de curent de aprox.7 ori curentul nominal, dar după 80 msec, curenții statorici scad de aproximativ 3 ori, menținându-se însă la valori de 2 ori curentul nominal.

Comparând rezultatele experimentale cu cele calculate, se observă că experimental se obțin șocuri mai mici de curent, iar alura curbelor de variație este asemănătoare cu cazul obținut la reconectarea în fază - calculată (fig.7.29).

La deconectarea de la viteza de rotație mică (de la  $p=3$ ) (fig.7.47) fenomenele sînt mai lente. Astfel, după 20 msec, tensiunea la bernele înfășurării statorice în gol scade de 30% din valoarea nominală, iar curenții obțin valori reprezentînd aproximativ 15% din valoarea nominală, dar - după 80-100 msec, atît tensiunea cît și curenții sînt zero.

Reconectarea la viteza de rotație mare, corespuuzătoare numărului de perechi de poli  $p=2$  (fig.7.48) conduce la șocuri de curenți de aproximativ 6 ori curentul nominal, virful de curent

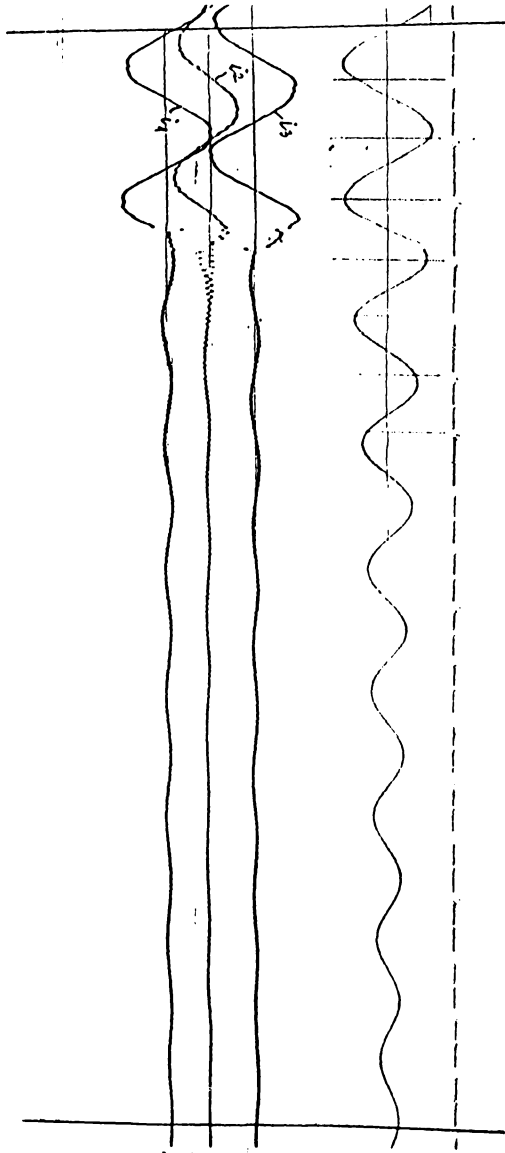


Fig. 7.45



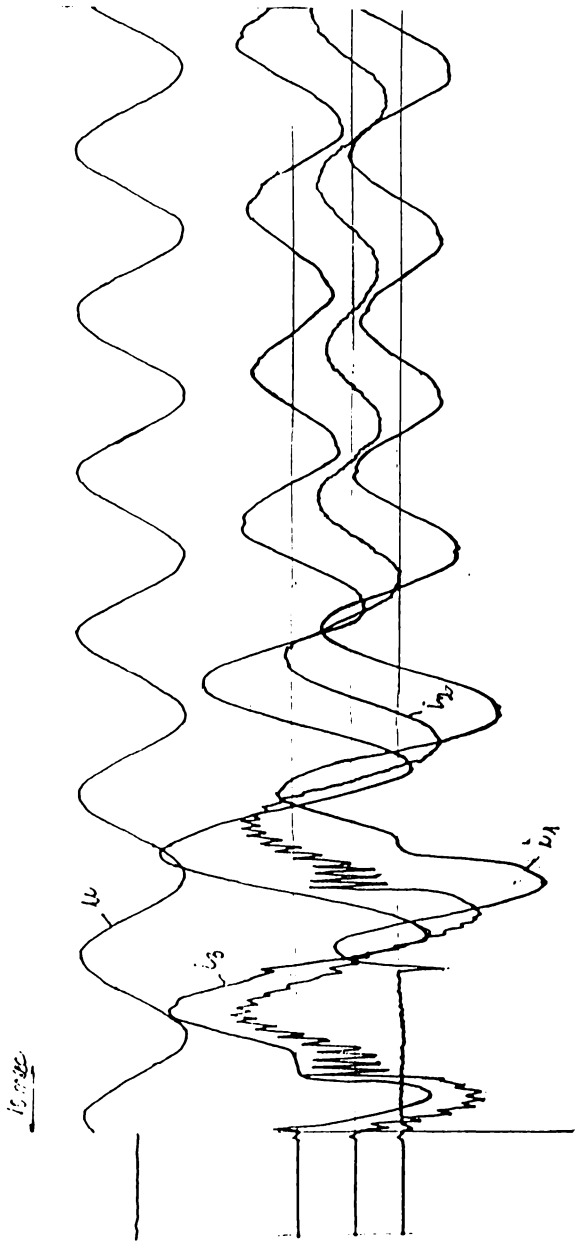


Fig. 7.46

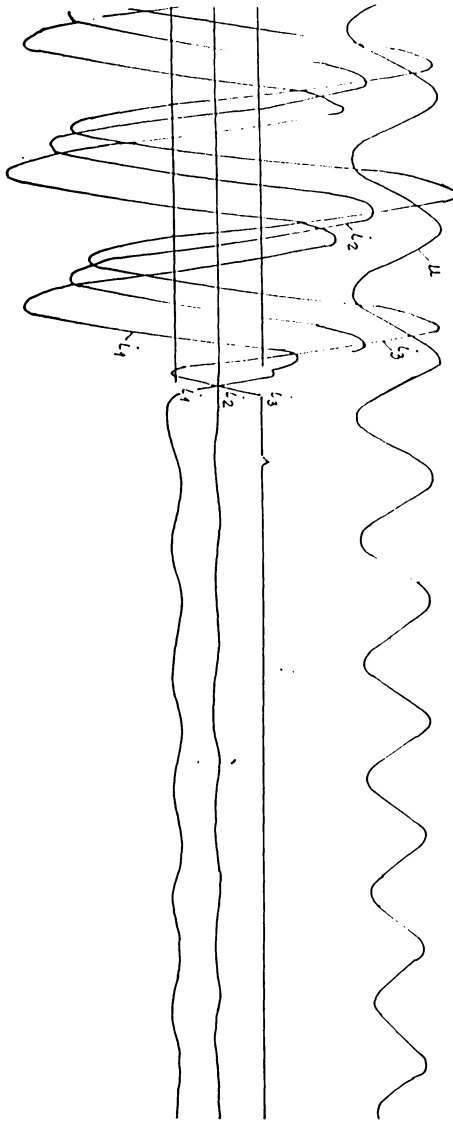


Fig. 1.0.47

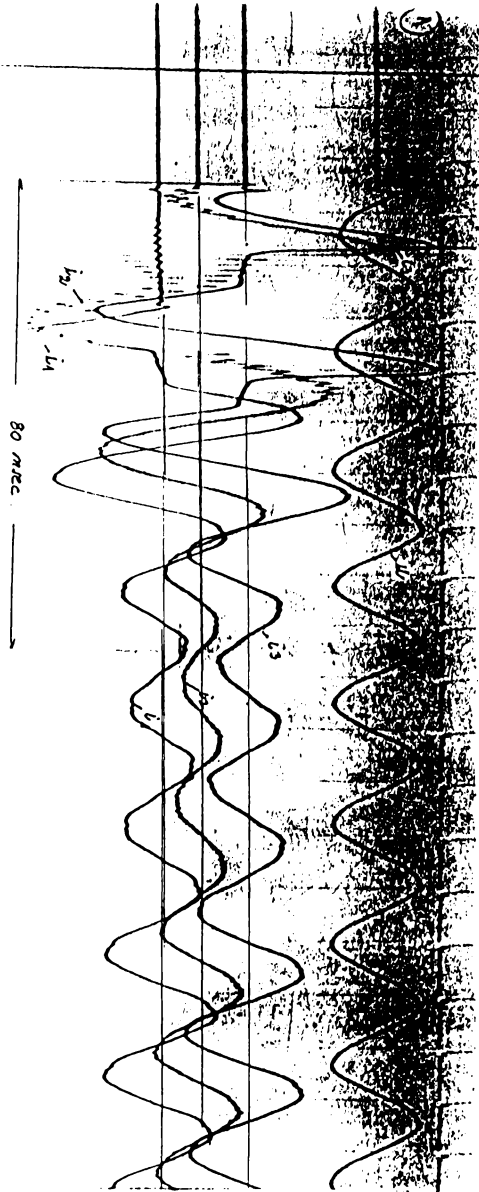


Fig.7.48

cel mai mare obținându-se așa cum s-a obținut și din calculele numerice - la aproximativ 10 msec de la reconectare (fig.7.15- reconectarea cu fluxurile atatoric și rotorice în fuză). Curenții se amortizează rapid, astfel încît la 120 msec de la reconectare regimul s-a stabilizat, valorile curenților fiind de 1,5 ori mai mari decît curentul nominal.

Încercările experimentale deși efectuate pe o mașină de putere mică, au scos în evidență faptul că - după aproximativ 10 msec de la reconectare apar vîrfurile de curent, care se amortizează rapid (aproximativ 80 msec), tinzînd spre valori cu puțin mai ridicate decît valoarea nominală, rezultat obținut și pe cale analitică, din rezolvarea numerică a sistemului de ecuații ce descriu coportarea mașinii.

8. CONCLUZII FINALE

În lucrare au fost elaborate ecuațiile ce caracterizează funcționarea mașinii de inducție cu rotor în scurtcircuit, în regim tranzitoriu, cu considerarea pierderilor în fier.

Dacă în timpul procesului tranzitoriu, viteza de rotație poate fi considerată constantă sau dacă ea se consideră constantă pe anumite intervale de timp, rezolvarea sistemului de ecuații diferențiale atât la deconectare cât și la reconectare, se poate face utilizând calculul operațional. Au fost calculate expresiile generale ale admitanțelor operaționale  $Y(p)$ , cu ajutorul cărora se poate studia în continuare comportarea mașinii în regim tranzitoriu.

Dacă în timpul procesului tranzitoriu viteza de rotație a mașinii nu poate fi considerată constantă - cazul trecerii de la o viteză de rotație la cea de a doua - rezolvarea sistemului de ecuații diferențiale ce caracterizează comportarea mașinii la deconectare, respectiv la reconectare, se face aplicând metode de integrare numerică. În lucrare s-a elaborat o metodă numerică de calcul, precum și programe de calcul pentru studiul proceselor tranzitorii ce apar în mașina de inducție la trecerea de la o viteză de rotație la cea de a doua, cu considerarea pierderilor în fier atât în stator cât și în rotor.

Rezultatele experimentale scot în evidență o bună concordanță între teorie, calcul numeric și experiment.

Studiindu-se procesele tranzitorii dintr-o mașină electrică ca generator într-o instalație coliană - lucrarea pune la dispoziția utilizatorilor instalației, date de calcul privind comportarea mașinii electrice în regimurile tranzitorii.

Din punct de vedere teoretic s-a realizat elaborarea ecuațiilor pentru regim tranzitoriu sub formă completă, considerând pierderile în fier, din care se deduce prin particularizare forma uzuală a ecuațiilor pentru mașini trifazate simetrice. Această formă generală constituie o generalizare a ecuațiilor în teoria celor două axe și ca urmare o dezvoltare a teoriei mașinilor electrice.

Prin elaborarea programelor de calcul numeric și pune la dispoziția celor interesați un mod concret de soluționare numerică

a ecuațiilor neliniare din teoria celor două axe și prin aceasta se ușurează în mare măsură abordarea concretă a studiului regimurilor transitorii, importante, azi, mai ales pentru acționări electrice de inducție asociate cu convertoare.

În ansamblu se poate concluzi că lucrarea a permis făcerea unui pas înainte, verificat atât prin calcul numeric cit și experimental, ceea ce asigură valabilitatea studiului efectuat.

În ceea ce privește valoarea contribuției științifice realizate în cadrul prezentei lucrări, trebuie să se spună că aceasta este înaltă, datorită faptului că s-a realizat o abordare originală a problemei în discuție, ceea ce a permis obținerea unor rezultate noi și importante. În plus, lucrarea este bine structurată și conține o serie de rezultate care pot fi utilizate în mod direct în proiectarea și analiza sistemelor de tracțiune electrică.

În ceea ce privește valoarea contribuției științifice realizate în cadrul prezentei lucrări, trebuie să se spună că aceasta este înaltă, datorită faptului că s-a realizat o abordare originală a problemei în discuție, ceea ce a permis obținerea unor rezultate noi și importante. În plus, lucrarea este bine structurată și conține o serie de rezultate care pot fi utilizate în mod direct în proiectarea și analiza sistemelor de tracțiune electrică.

În ceea ce privește valoarea contribuției științifice realizate în cadrul prezentei lucrări, trebuie să se spună că aceasta este înaltă, datorită faptului că s-a realizat o abordare originală a problemei în discuție, ceea ce a permis obținerea unor rezultate noi și importante.

În ceea ce privește valoarea contribuției științifice realizate în cadrul prezentei lucrări, trebuie să se spună că aceasta este înaltă, datorită faptului că s-a realizat o abordare originală a problemei în discuție, ceea ce a permis obținerea unor rezultate noi și importante.

În ceea ce privește valoarea contribuției științifice realizate în cadrul prezentei lucrări, trebuie să se spună că aceasta este înaltă, datorită faptului că s-a realizat o abordare originală a problemei în discuție, ceea ce a permis obținerea unor rezultate noi și importante.

În ceea ce privește valoarea contribuției științifice realizate în cadrul prezentei lucrări, trebuie să se spună că aceasta este înaltă, datorită faptului că s-a realizat o abordare originală a problemei în discuție, ceea ce a permis obținerea unor rezultate noi și importante.

În ceea ce privește valoarea contribuției științifice realizate în cadrul prezentei lucrări, trebuie să se spună că aceasta este înaltă, datorită faptului că s-a realizat o abordare originală a problemei în discuție, ceea ce a permis obținerea unor rezultate noi și importante.

În ceea ce privește valoarea contribuției științifice realizate în cadrul prezentei lucrări, trebuie să se spună că aceasta este înaltă, datorită faptului că s-a realizat o abordare originală a problemei în discuție, ceea ce a permis obținerea unor rezultate noi și importante.

În ceea ce privește valoarea contribuției științifice realizate în cadrul prezentei lucrări, trebuie să se spună că aceasta este înaltă, datorită faptului că s-a realizat o abordare originală a problemei în discuție, ceea ce a permis obținerea unor rezultate noi și importante.

În ceea ce privește valoarea contribuției științifice realizate în cadrul prezentei lucrări, trebuie să se spună că aceasta este înaltă, datorită faptului că s-a realizat o abordare originală a problemei în discuție, ceea ce a permis obținerea unor rezultate noi și importante.

BIBLIOGRAFIE

1. ANDRONESCU, PL. - Bazele electrotehnicii, Vol. I-II, Editura didactică și pedagogică, București, 1972.
2. ANGOT, A. - Complemente de matematici pentru regimuri din electrotehnică și din telecomunicații, Editura tehnică, București, 1965.
3. ANTONIU, I. S., ANA AMUZESCU și alții - Calculul circuitelor electrice în regimuri normale și anormale de funcționare, Editura tehnică, București, 1975.
4. ANTONIU, I. S. - Bazele electrotehnicii, Vol. I-II, Editura didactică și pedagogică, București, 1974.
5. ARNOLD, V. I. - Ecuații diferențiale ordinare - Editura științifică și enciclopedică, București, 1978.
6. BALABANIAN, N. g. a. - Teoria modernă a circuitelor electrice, Editura tehnică, București, 1974.
7. BARGATHI, ALEX., RAMACHDRAN, K. - Efficiency optimization of self excited induction generators using series capacitors - Proceeding of International Conference on Electrical Machines - Milano, 1988, pag. 453-456.
8. BALA, C. - Mașini electrice, Editura didactică și pedagogică, București, 1979.
9. BERINDE, E. - Mașina de inducție cu rotor în colivie, generator într-o instalație hidroelectrică - Inst. Politehnic Timișoara, Seminar tehnico-științific, 26 martie, 1988.
10. BERINDE, E. - Ecuațiile mașinilor de curent alternativ - Inst. Politehnic Timișoara, seminar tehnico-științific, 29 iunie, 1988.
11. BERMAN, G. - Problèmes d'analyse mathématique - Editions MIR, Moscova, 1976.
12. BOLDEA, I., ATANASIU, GH. - Analiză unitară a mașinilor electrice, Editura Academiei RSR, București, 1983.

13. BOLDEA, I., NASAR, S.A. - Unified treatment of core losses and saturation in the orthogonal  $\alpha$ -axis model of electric machines - IEE Proceedings vol.134, no.6, november 1987.
14. BUCUR, C.M. - Metode numerice - Editura Facla, Timișoara, 1973.
15. GIOC, I.G.A. - Mașini electrice. Indrumar de proiectare, vol. II, Editura Seriaul românesc Craiova, 1981.
16. CAMPEANU, A. - Mașini electrice, Editura Seriaul românesc, Craiova, 1988.
17. CORDUNEANU, A. - Ecuații diferențiale cu aplicații în electrotehnică, Editura Facla, Timișoara, 1983.
18. DANILIEVICI, Ia.B., ș.a. - Parametrii mașinilor de curent alternativ, Editura tehnică, București, 1968.
19. DRAGANESCU, O.GH. - Incercările mașinilor electrice rotative - Editura tehnică, București, 1987.
20. DEMIDOVITCH, B.Ș.A. - Recueil d'exercices et de problèmes d'analyse mathématique, Editions MIR, Moscova, 1967.
21. DEMIDOVITCH, B.P., MARON, I.A. - Computational Mathematics - Edition, MIR, Moscova, 1976.
22. DE SABATA, I. - Bazele electrotehnicii, Litografia Inst. Politehnic Timișoara, 1983.
23. DODESCU, GH. - Metode numerice în algebră, Editura tehnică, București, 1979.
24. DORDEA, T. - Mașini electrice, Editura didactică și pedagogică, 1970.
25. DORDEA, T. - Asupra ecuațiilor mașinilor electrice de curent alternativ, studii și cercetări de energetică și electrotehnică, tom. 16, nr. 1, 1966, pag. 17-31.
26. DORDEA, T. - Asupra cuplului electromagnetic al mașinilor electrice - studii și cercetări de energetică și electrotehnică, tom. 18, nr. 1, 1968, pag. 131-146.
27. DORDEA, T. - Beitrag Zur Zweiachsentheorie der elektrischen Maschinen - Archiv für Elektrotechnik, 50 Band, 6. Heft, 1966, pag. 362-371.



28. DORDEA, T. - Proiectarea și construcția mașinilor electrice, vol.1-partea 1-2, Litografia IPTV Timișoara, 1982.
29. DORDEA, T., BERINDE, E. - Instalație aeroelectrică cu generator de inducție având două viteze de rotație - Sesiune tehnico-științifică, Institutul politehnic Timișoara, Fac. de Electrotehnică, 30 martie, 1987.
30. DORDEA, T., BERINDE, E. - Funcționarea unei instalații aeroelectrice cu generator de inducție cu două viteze de rotație - Eficiență în proiectarea, fabricarea și exploatarea mașinilor electrice, Timișoara, 9-10 oct. 1987, pg. 20-32.
31. FOX, L. - Numerical solution of ordinary and partial differential equations - Pergamon Press, N.Y., 1962.
32. FUCHS, E.F., ERDEHJI, E.A. - Nonlinear magnetic field analysis of DC machines - IEE Transaction on Power Apparatus and Systems, vol. PAS-89, no. 7, sept.-oct. 1970.
33. GRESCEV, I.I. - Metodi isledovanie mašin paramenovo toca - Energiia Leningrad, 1969.
34. HEJER, A. - Electrotehnică și mașini electrice, vol. 11 - Litografia Institutului politehnic "Traian Vuia" Timișoara, 1981.
35. HUA, T.Q., TURNER L.R. - Coupling between eddy currents and rigid body rotation: analysis, computation and experiments - IEE Transaction on Magnetics vol. MAG-21, nov, 6, 1985.
36. IACOB, C.g.a. - Matematici clasice și moderne - vol. 1-4, Editura tehnică, București, 1978.
37. ILIE, V., ALMĂSI, L.g.a. - Utilizarea energiei vântului - Editura tehnică, București, 1984.
38. ILIE, V. - Energia vântului, Editura tehnică, București, 1982.
39. IOANIDES, M.G., TEGOPOULOS, I.A. - Controlled self-excited type asynchronous generator - Proceedings of ICEM Milano 1988, pag. 435-439.
40. IVANOV, A.A. - Generator asincron pentru centrale hidroelectrice de putere mică - Editura energetică de Stat, București, 1952.

41. IXARU, L. - Metode numerice pentru ecuații diferențiale cu aplicații, Editura Academiei RSR, București, 1979.
42. KAPLAN, B. - Z, KOTTICH, D. - A compact representation of asynchronous motors and nonregulated synchronous generators - IEE Transactions on Magnetics, vol. MAG-21, no. 6, nov. 1985.
43. KLADAS, A., RAZEK, A. - Numerical calculation of eddy currents and losses in squirrel cage motors due to supply harmonics - Proceedings of ICEM, Milano, 1988, pp. 65-69.
44. KONTONOVICI, M. I. - Calculul operațional și fenomene tranzitorii în circuitele electrice, Editura energetică de Stat, București, 1955.
45. KOSTENKO, M., PIOTROVSKI, L. - Machines électriques, Editions MIR Moscova, 1977.
46. KOVACS, K. P. - Analiza regimurilor tranzitorii ale mașinilor electrice, Editura tehnică, București, 1980.
47. LAW, A., DAUBT, H., COOPER, B. - Power control systems for the orkney wind-turbine generators, G.E. - Engineering, 2, 1984.
48. LUI TZEN-HU, GAO HA TANG GONG-FU - Computational and optimal solution of capacitance for wind driven double speed induction generator - Proceeding of ICEMADS-Eforie, 1986.
49. MARINESCU, GH. - Analiză numerică, Editura Academiei RSR, București, 1974.
50. MARINESCU, GH. ș.a. - Probleme de analiză numerică, Editura didactică și pedagogică, București, 1978.
51. MARINESCU, GH. ș.a. - Probleme de analiză numerică rezolvate cu calculatorul, Editura Academiei RSR, București, 1987.
52. MIHALACHE, A. - Determinarea parametrilor interni ai motorului asincron utilizând datele de catalog EEA Electrotehnică, vol. 34, no. 6, aug. 1986.

53. MONTGOMERY, J.G. - 100 kW VVAT in operation on scilly Isles - wind directions, vol. VII, no. 2, oct. 1937, pg. 14.
54. MOSZYŃSKI, K. - Metode numerice de rezolvare a ecuațiilor diferențiale ordinare - Editura tehnică, București, 1973.
55. NIEMENMAA, A. - Complex reluctivity modelling of iron losses in induction machines - Proceedings of ICEM, Milano, 1988, pag. 633-636.
56. PAPADOPOULOS, M., MALATESTAS, P., TEOPOULOS, I. - Transient behaviour of induction generator with terminal capacitors - Proceedings of ICEM, Milano, 1988, pag. 559-564.
57. PRICOV, N. AL. - Influența efectului pelicular tranzitoriu apărut în timpul, respectiv la deconectarea scurtcircuitelor asupra distribuției cimpului electromagnetic din cile de curent - EEA Electrotehnică 34, nr. 6, aug. 1986.
58. PREDĂ, M., CRISTEA, P., SPINCI, S. - Analiza circuitelor electrice neliniare în regim tranzitoriu - Litografia Inst. Politehnic București, 1973.
59. PREDĂ, M., CRISTEA, P., MANEA, F. - Bazele electrotehnicii, Probleme - Editura didactică și pedagogică, București, 1980.
60. RĂCOVEANU, N. G. N. - Metode numerice pentru ecuații cu derivate parțiale de tip hiperbolic, Editura tehnică, București, 1976.
61. RAJNA, G., MALIK, U. P. - Wind energy conversion using self-excited induction generators - IEE Transaction on Power Apparatus and Systems, PAS-102, nr. 12, dec. 1983.
62. RADULET, R. - Bazele electrotehnicii, Probleme, vol. 1-2, Editura didactică și pedagogică București, 1981.
63. RICHTER, R. - Mașini electrice, vol. 1-IV, Editura tehnică, București, 1958-1960.
64. ROSCULET, M. G. A. - Programarea și utilizarea mașinilor de calcul și elemente de calcul numeric și informatică, Editura didactică și pedagogică, București, 1980.

65. SABONADIERE, J.C.-Numerical analysis of eddy current problems: Finite Elements in Electrical and Magnetic field problems, John Willey and Sons Ltd-N.Y.1980.
66. SALUNDORI, M.G., M.L.BARON-Metode numerice în tehnică, Editura tehnică, București, 1973.
67. SAVIN, GH., ROSMAN, H.-Circuite electrice neliniare și parametrice, Editura tehnică, București, 1973.
68. SCWEICKARDT, H., SUCHANEK, V.-Converter-fed synchronous generator systems for wind power plants-Brown Boveri Revue, no.3/1982.
69. SLLWINSKI, T.-Analysis of fundamental core losses in induction motors-Proceeding of ICEM Milano, 1988, pag.87-93.
70. SOUNTAUSTA, A., LONMI, J.-Effects of saturation and eddy currents on the rotor bar impedance of induction motors- Proceeding of ICEM, Milano, 1988, pag.649-654.
71. SIMONY, K.-Electrotehnică teoretică, Editura tehnică, București, 1974.
72. SORA, C.-Bazele electrotehnicii, Editura didactică și pedagogică București, 1982.
73. TEODORESCU, N., OLARIU, V.-Ecuații diferențiale și cu derivate parțiale, Editura tehnică, București, 1978.
74. TIMOTIN, A.-Lecții de bazele electrotehnicii-Editura didactică și pedagogică, București, 1970.
75. VOIGU, GH.g.a.-Opțiuni și perspective ale utilizării forței vântului în scopul producerii energiei electrice, Energetica, vol.31, nr.7-8, 1983.
76. VRANCIU, G., POPA, A.-Metode numerice cu aplicații în tehnica de calcul, Editura Scrisul românesc, Craiova, 1982.
77. YILDIRIN, M., Usting, M., UMUREKLER-Existence and stability of equilibrium points of a wind turbine driven self-induction generator-Proceeding of ICEMADS Eforie, 1986.
78. \* \* \* Catalog de produse, Electroputere Craiova, 1986.

79. \* \* \* Protocol la subcontractul intern de la contractul de cercetare științifică nr.146/1985 al IITVT, beneficiar ICEMENERG București.
80. \* \* \* Idem, dar nr.129/1986
81. \* \* \* Idem, dar nr. 106/1987
82. \* \* \* Resursele și noua ordine internațională, Editura politică, București, 1981.
83. \* \* \* SINCLAIR-QL user guide, 1985.



Calculul expresiilor impedanțelor operationale

Sistemul de ecuații în operațional este dat de relația:

$$-\frac{\tilde{u}_d}{pL_{ddh}} + \frac{\gamma_d}{L_{ddh}} = \sigma'_{dd}\tilde{i}_d + \sigma_{nd}\tilde{i}_p + \sigma_{d\cdot d}\tilde{i}_d + \sigma_{n\cdot d}\tilde{i}_n,$$

$$-\frac{\omega}{kp}(\eta_{qq}\tilde{i}_q + \eta_{bq}\tilde{i}_b + \eta_{q\cdot q}\tilde{i}_q + \eta_{b\cdot q}\tilde{i}_b)$$

$$-\frac{\tilde{u}_q}{pL_{qqh}} + \frac{\gamma_q}{L_{qqh}} = \frac{\omega k}{p}(\sigma_{dd}\tilde{i}_d + \sigma_{ad}\tilde{i}_n + \sigma_{d\cdot d}\tilde{i}_d + \sigma_{n\cdot d}\tilde{i}_n) +$$

$$+ \eta_{q\cdot q}\tilde{i}_q + \eta_{bq}\tilde{i}_b + \eta_{q\cdot q}\tilde{i}_q + \eta_{b\cdot q}\tilde{i}_b.$$

$$\frac{\gamma_a}{L_{ddh}} = \sigma_{da}\tilde{i}_d + \sigma_{na}\tilde{i}_n + \sigma_{d\cdot a}\tilde{i}_d + \sigma_{n\cdot a}\tilde{i}_n - \frac{\omega}{kp}(\eta_{qb}\tilde{i}_q + \eta_{bb}\tilde{i}_b + \eta_{q\cdot b}\tilde{i}_q + \eta_{b\cdot b}\tilde{i}_b) \quad (4.1.1)$$

$$\frac{\gamma_b}{L_{qqh}} = \frac{\omega k}{p}(\sigma_{da}\tilde{i}_d + \sigma_{na}\tilde{i}_n + \sigma_{d\cdot a}\tilde{i}_d + \sigma_{n\cdot a}\tilde{i}_n) + \eta_{qb}\tilde{i}_q + \eta_{b\cdot b}\tilde{i}_b + \eta_{q\cdot b}\tilde{i}_q + \eta_{b\cdot b}\tilde{i}_b.$$

$$-\frac{\tilde{u}_d^*}{pL_{ddh}} + \frac{\gamma_d^*}{L_{ddh}} = \sigma_{dq}\tilde{i}_d + \sigma_{nd}\tilde{i}_n + \sigma_{d\cdot d}\tilde{i}_d + \sigma_{n\cdot d}\tilde{i}_n.$$

$$-\frac{\tilde{u}_q^*}{pL_{qqh}} + \frac{\gamma_q^*}{L_{qqh}} = \eta_{qq}\tilde{i}_q + \eta_{bq}\tilde{i}_b + \eta_{q\cdot q}\tilde{i}_q + \eta_{b\cdot q}\tilde{i}_b.$$

$$\frac{\gamma_a^*}{L_{ddh}} = \sigma_{da}\tilde{i}_d + \sigma_{na}\tilde{i}_n + \sigma_{d\cdot a}\tilde{i}_d + \sigma_{n\cdot a}\tilde{i}_n.$$

$$\frac{\gamma_b^*}{L_{qqh}} = \eta_{qb}\tilde{i}_q + \eta_{bb}\tilde{i}_b + \eta_{q\cdot b}\tilde{i}_q + \eta_{b\cdot b}\tilde{i}_b.$$

Notăm cu  $\Delta_D$  determinantul principal al sistemului. El se poate calcula cu ajutorul sumelor de produse a doi determinanți de ordinul patru.

Notăm:

$$(\sigma) = \begin{vmatrix} \sigma_{dd} & \sigma_{ad} & \sigma_{d'a} & \sigma_{a'a} \\ \sigma_{da} & \sigma_{aa} & \sigma_{d'a} & \sigma_{a'a} \\ \sigma_{dd'} & \sigma_{ad'} & \sigma_{d'd'} & \sigma_{a'd'} \\ \sigma_{da'} & \sigma_{aa'} & \sigma_{d'a'} & \sigma_{a'a'} \end{vmatrix}; \quad (\sigma_1) = \begin{vmatrix} \sigma'_{dd} & \sigma'_{ad} & \sigma'_{d'a} & \sigma'_{a'a} \\ \sigma'_{da} & \sigma'_{aa} & \sigma'_{d'a} & \sigma'_{a'a} \\ \sigma'_{dd'} & \sigma'_{ad'} & \sigma'_{d'd'} & \sigma'_{a'd'} \\ \sigma'_{da'} & \sigma'_{aa'} & \sigma'_{d'a'} & \sigma'_{a'a'} \end{vmatrix}$$

$(\sigma_{\alpha\beta}), (\sigma_1\alpha\beta)$  = determinantul de ordinul 3 obținut din  $(\sigma)$ , respectiv  $(\sigma_1)$  și care este minorul elementului  $\sigma_{\alpha\beta}$ .

$$(\sigma_{III}) = \frac{\sigma_{dd}}{T_d} (\sigma_{aa}) + \frac{\sigma_{aa}}{T_a} (\sigma_{dd}) + \frac{\sigma_{d'd'}}{T_{d'}} (\sigma_{d'd'}) + \frac{\sigma_{a'a'}}{T_{a'}} (\sigma_{a'a'})$$

Dacă unul din cei patru termeni lipsește, atunci indicele lui devine indice sus pentru  $(\sigma_{III})$ , deci:

$$(\sigma_{III})^d = \frac{\sigma_{aa}}{T_a} (\sigma_{aa}) + \frac{\sigma_{d'd'}}{T_{d'}} (\sigma_{d'd'}) + \frac{\sigma_{a'a'}}{T_{a'}} (\sigma_{a'a'})$$

$(\sigma_{\alpha\beta, \gamma\delta})$  = determinantul de ordinul doi obținut din  $(\sigma)$  prin eliminarea liniilor și coloanelor ce conțin elementele  $\sigma_{\alpha\beta}$  și  $\sigma_{\gamma\delta}$ . Analog și pentru  $(\sigma_1)$

$$\begin{aligned} (\sigma_{II}) &= \frac{\sigma_{dd}}{T_d} \cdot \frac{\sigma_{aa}}{T_a} (\sigma_{dd,aa}) + \frac{\sigma_{dd}}{T_d} \cdot \frac{\sigma_{d'd'}}{T_{d'}} (\sigma_{dd,d'd'}) + \\ &+ \frac{\sigma_{dd}}{T_d} \cdot \frac{\sigma_{a'a'}}{T_{a'}} (\sigma_{dd,a'a'}) + \frac{\sigma_{aa}}{T_a} \cdot \frac{\sigma_{d'd'}}{T_{d'}} (\sigma_{aa,d'd'}) + \\ &+ \frac{\sigma_{aa}}{T_a} \cdot \frac{\sigma_{a'a'}}{T_{a'}} (\sigma_{aa,d'a'}) + \frac{\sigma_{d'd'}}{T_{d'}} \cdot \frac{\sigma_{a'a'}}{T_{a'}} (\sigma_{d'd',a'a'}) \end{aligned}$$

Dacă  $(\sigma_{II})$  nu conține elementul  $\sigma_{dd}$ , atunci îl notăm cu  $(\sigma_{II})^d$ .

$$(\bar{\pi}\sigma) = \frac{\sigma_{dd}}{T_d} \cdot \frac{\sigma_{aa}}{T_a} \cdot \frac{\sigma_{d'd'}}{T_{d'}} \cdot \frac{\sigma_{a'a'}}{T_{a'}}$$

Dacă  $(\bar{\pi}\sigma)$  nu conține un factor în produs, atunci indicele celui factor devine indice superior al lui  $(\bar{\pi}\sigma)$ . De ex.  $(\bar{\pi}\sigma)^d$  nu conține factorul  $\frac{\sigma_{dd}}{T_d}$ .



Dacă în determinantul  $(\sigma_1)$  există termeni de forma și nu  $\sigma_{\alpha\alpha}$ , atunci indicele termenului simplu  $\sigma_{\alpha\alpha}$  devine indice superior al lui  $(\sigma_1)$ , deci:

$(\sigma_1)^\alpha$  nu conține pe  $\sigma_{\alpha\alpha}$  ci pe  $\sigma_{\alpha\alpha}$ .

Analog se stabilesc notații și pentru  $(\eta)$ .

$$(\eta) \begin{vmatrix} \eta_{aa} & \eta_{ba} & \eta_{a'a} & \eta_{b'a} \\ \eta_{ab} & \eta_{bb} & \eta_{a'b} & \eta_{b'b} \\ \eta_{a'a} & \eta_{b'a} & \eta_{a'a} & \eta_{b'a} \\ \eta_{a'b} & \eta_{b'b} & \eta_{a'b} & \eta_{b'b} \end{vmatrix}; (\eta_1) = \begin{vmatrix} \eta'_{aa} & \eta_{ba} & \eta_{a'a} & \eta_{b'a} \\ \eta_{ab} & \eta'_{bb} & \eta_{a'b} & \eta_{b'b} \\ \eta_{a'a} & \eta_{b'a} & \eta'_{a'a} & \eta_{b'a} \\ \eta_{a'b} & \eta_{b'b} & \eta_{a'b} & \eta'_{b'b} \end{vmatrix}$$

În general, din dezvoltarea determinantului  $(\sigma_1)$  se obține un polinom de gradul 4 în p, polinom cu coeficienți constanți. Din dezvoltarea unui determinant de forma  $(\sigma_1)$  se obține un polinom de gradul 3 în p, deci scizând numărul indicilor superiori a lui  $(\sigma_1)$  din 4 se obține gradul polinomului rezultat din dezvoltarea determinantului de ordinul patru.

Prin dezvoltarea determinantilor de forma:  $(\sigma)$ ,  $(\sigma_{III})$ ,  $(\sigma_{II})$  se obțin nunsi coeficienți constanți, deci care nu conțin pe p sau  $\omega$ .

Analog sînt regulile pentru determinanți cu simbolul  $(\eta)$ .

$$\Delta_D = \begin{vmatrix} \sigma'_{dd} & \sigma_{ad} & \sigma_{d'a} & \sigma_{d'a} & \frac{\omega}{kp} \eta'_{aa} & -\frac{\omega}{kp} \eta_{ba} & -\frac{\omega}{kp} \eta'_{a'a} & -\frac{\omega}{kp} \eta_{b'a} \\ \frac{\omega k}{p} \sigma_{dd} & \frac{\omega k}{p} \sigma_{ad} & \frac{\omega k}{p} \sigma_{d'a} & \frac{\omega k}{p} \sigma_{d'a} & \eta_{aa} & \eta_{ba} & \eta_{a'a} & \eta_{b'a} \\ \sigma_{da} & \sigma'_{aa} & \sigma_{d'a} & \sigma_{d'a} & -\frac{\omega}{kp} \eta_{ab} & -\frac{\omega}{kp} \eta_{bb} & -\frac{\omega}{kp} \eta_{a'b} & -\frac{\omega}{kp} \eta_{b'b} \\ \frac{\omega k}{p} \sigma_{da} & \frac{\omega k}{p} \sigma_{aa} & \frac{\omega k}{p} \sigma_{d'a} & \frac{\omega k}{p} \sigma_{d'a} & \eta_{ab} & \eta_{bb} & \eta_{a'b} & \eta_{b'b} \\ \sigma_{dd} & \sigma_{ad} & \sigma_{d'a} & \sigma_{d'a} & 0 & 0 & 0 & 0 \\ \sigma_{da} & \sigma_{aa} & \sigma_{d'a} & \sigma_{d'a} & 0 & 0 & 0 & 0 \\ 0 & 0 & 0 & 0 & \eta_{aa} & \eta_{ba} & \eta'_{a'a} & \eta_{b'a} \\ 0 & 0 & 0 & 0 & \eta_{ab} & \eta_{bb} & \eta_{a'b} & \eta_{b'b} \end{vmatrix}$$

(...)

semnul minus e aplicat datorită schimbării între ele a liniilor

lor 6 și 7 sînt diferite de zero și se pot produce formate cu minorii ce conțin coloanele 5,6,7,8 și liniile 1278,1378,1478,2378,2478,3478. Aplicînd regulile de dezvoltare a determinantului obținem:

$$\Delta_D = (\sigma_1)(\eta_1) + \frac{\omega^2}{p^2} [(\sigma_1)^d(\eta_1)^q + (\sigma_1)^a(\eta_1)^b + \frac{\sigma_{aa}}{p^2} \cdot \frac{\eta_{qq}}{p^2} (\sigma_{1ad}) \cdot (\eta_{1qb}) + \frac{\sigma_{dd}}{p^2} \cdot \frac{\eta_{bb}}{p^2} (\sigma_{1da}) (\eta_{1bd})] + \frac{\omega^4}{p^4} (\sigma_1)^d \cdot (\eta_1)^{q,b} \quad (4.1.3)$$

Aplicînd regulile de dezvoltare ale determinantilor precum și notațiile stabilite, se obține  $\Delta_D$  ca raport între un polinom de gradul 8 în  $p$  și  $p^8$  de forma:

$$\Delta_D = \frac{1}{p^8} \sum_{\alpha=0}^8 C_{D\alpha} p^\alpha \quad \alpha = 0, 1, 2, \dots, 7, 8 \quad (4.1.4)$$

în care coeficienții  $C_{D\alpha}$  sînt de forma:

$$C_{D\alpha} = C_{D\alpha 0} + \omega^2 C_{D\alpha 2} + \omega^4 C_{D\alpha 4} \quad (4.1.5)$$

$C_{D\alpha 0}$ ,  $C_{D\alpha 2}$ ,  $C_{D\alpha 4}$  fiind constante reale, obținute prin dezvoltarea determinantilor și ele depind numai de rapoartele  $\frac{\sigma_{ij}}{\sigma_{jj}}$ ,  $\frac{\eta_{ij}}{\eta_{jj}}$ , unde  $\alpha_j = d, d', a, d'$ ,  $\beta_j = q, q', b, b'$ .

Deci coeficienții  $C_D$  vor fi dați de relațiile (4.1.6)

$$C_{D80} = (\sigma)(\eta); \quad C_{D82} = 0; \quad C_{D84} = 0$$

$$C_{D70} = (\sigma)(\eta_{II}) + (\sigma_{III})(\eta); \quad C_{D72} = 0; \quad C_{D74} = 0$$

$$C_{D60} = (\sigma)(\eta_{II}) + (\sigma_{III})(\eta_{III}) + (\sigma_{II})(\eta);$$

$$C_{D62} = 2(\sigma)(\eta)$$

$$C_{D64} = 0$$

$$C_{D50} = (\sigma)(\eta)(T_q + T_b + T_{q'} + T_{b'}) + (\sigma_{III})(\eta_{II}) + (\sigma_{II})(\eta_{III}) + (\sigma)(T_d + T_a + T_{d'} + T_{a'}) (\eta)$$

$$C_{D52} = (\sigma) [(\eta_{III})^q + (\eta_{III})^b] + (\eta) [(\sigma_{III})^d + (\sigma_{III})^{d'}]$$

$$C_{D54} = 0$$

$$C_{D40} = (\sigma)(\eta) + (\sigma_{III})(\eta)(T_q + T_b + T_{q'} + T_{b'}) + (\sigma_{II})(\eta_{II}) + (\sigma)(T_d + T_a + T_{d'} + T_{a'}) (\eta_{III}) + (\sigma)(\eta) \quad (4.1.6)$$

$$C_{D42} = (\sigma) \left[ (\eta_{II})^{a_+} (\eta_{II})^{b_+} + (\sigma_{III})^d (\eta_{III})^{a_+} (\sigma_{III})^n (\eta_{III})^{b_+} \right. \\ \left. + (\eta) \left[ (\sigma_{II})^d + (\sigma_{II})^n \right] + (\sigma_{ad})^d (\eta_{qb})^{b_+} + (\sigma_{ad})^n (\eta_{ca})^a \right]$$

$$C_{D44} = (\sigma) (\eta)$$

$$D_{D30} = (\sigma_{III}) (\eta) + (\sigma_{II}) (\bar{\eta}) (T_q + T_b + T_{a^*} + T_{b^*}) + (\bar{\eta}) (T_d + T_{a^*} + T_{d^*} + \\ + T_{a^*}) (\eta_{II}) + (\bar{\eta}) (\eta_{III})$$

$$E_{D32} = (\sigma) (\bar{\eta}) (T_q + T_b) + (\sigma_{III})^d (\eta_{II})^{a_+} (\sigma_{II})^d (\eta_{III})^{a_+} + (\bar{\eta}) (T_d + \\ + T_{a^*}) (\eta)$$

$$E_{D34} = (\sigma) (\eta_{III})^{a_+, b_+} + (\sigma_{III})^d (\eta)$$

$$E_{D20} = (\sigma_{II}) (\bar{\eta}) + (\bar{\eta}) (T_d + T_{d^*} + T_{a^*} + T_{b^*}) (\bar{\eta}) (T_q + T_b + T_{q^*} + T_{b^*}) + \\ + (\bar{\eta}) (\eta_{II})$$

$$E_{D22} = (\bar{\eta}) \left[ (\sigma_{III})^d T_q + (\sigma_{III})^d T_b \right] + (\sigma_{II})^d (\eta_{II})^{a_+} + (\sigma_{II})^n (\eta_{II})^{b_+} \\ + (\bar{\eta}) \left[ (\eta_{III})^{a_+} T_d + (\eta_{III})^{b_+} T_{d^*} \right] + (\sigma_{ad})^d (\bar{\eta})^b \eta_{bq} + \\ + \frac{\sigma_{aa}}{T_a} (\sigma_{ad})^d (\eta_{qb})^{a_+, b_+} + \frac{\sigma_{aa}}{T_q} (\eta_{qb})^{a_+, b_+} + \frac{\sigma_{ad}}{T_d} (\sigma_{da})^n (\eta_{ba})^{a_+, b_+} + \frac{\sigma_{bb}}{T_b} (\eta_{ba})^{a_+, b_+}$$

$$C_{D24} = (\sigma) (\eta_{II})^{a_+, b_+} + (\sigma_{III})^d (\eta_{III})^{a_+, b_+} + (\sigma_{II})^d (\eta)$$

$$C_{D10} = (\bar{\eta}) (\bar{\eta}) (T_d + T_{d^*} + T_{a^*} + T_{b^*} + T_q + T_b + T_{q^*} + T_{b^*})$$

$$D_{D12} = (\bar{\eta}) \left[ (\sigma_{II})^d T_q + (\sigma_{II})^n T_b \right] + (\bar{\eta}) \left[ (\eta_{II})^{a_+} T_d + (\eta_{II})^{b_+} T_{d^*} \right] + \\ + \frac{\sigma_{aa}}{T_a} (\sigma_{ad})^d (\bar{\eta})^b \eta_{bq} + (\bar{\eta})^d \eta_{da} - \frac{\sigma_{aa}}{T_q} (\eta_{qb})^{a_+, b_+} + \\ + \frac{\sigma_{ad}}{T_d} (\sigma_{da})^d (\bar{\eta})^a \eta_{qb} + (\bar{\eta})^n \sigma_{ad} - \frac{\sigma_{bb}}{T_b} (\eta_{ba})^{b_+, a_+}$$

$$C_{D14} = (\sigma_{III})^d (\eta_{II})^{a_+, b_+} + (\sigma_{III})^d (\eta_{III})^{a_+, b_+}$$

$$D_{D00} = (\bar{\eta}) (\eta)$$

$$C_{DO2} = (\overline{\sigma})^{d,a} (\overline{\eta})^{a,b} \left[ \overline{\sigma}_{da} \frac{\overline{\eta}_{bb}}{T_a} \overline{\eta}_{qa} + \overline{\sigma}_{ba} \frac{\overline{\eta}_{dd}}{T_d} \frac{\overline{\eta}_{qa}}{T_a} \overline{\eta}_{bb} + \right. \\ \left. + \frac{\overline{\sigma}_{aa}}{T_a} \overline{\sigma}_{da} \frac{\overline{\eta}_{qq}}{T_q} \overline{\eta}_{ba} + \frac{\overline{\sigma}_{dd}}{T_d} \overline{\sigma}_{nd} \frac{\overline{\eta}_{bb}}{T_b} \overline{\eta}_{qb} \right]$$

$$C_{DO4} = (\overline{\sigma}_{II})^{d,a} (\overline{\eta}_{II})^{a,b}$$

Calculul imaginilor curenților necesită și calculul determinantilor obținuți din determinantul principal înlocuind co-leana corespunzătoare coeficienților imaginii curenților i cu termenii liberi. Dezvoltînd după coloana termenilor liberi, obținem expresia impedanțelor operaționale  $Y(p)$  și ale parametrilor  $G(p)$ , care înmulțesc valorile inițiale ale fluxurilor. Dacă se cunosc parametrii  $G(p)$  atunci:

$$Y(p) = - \frac{G(p)}{p} \quad (4.1.7)$$

Expresiile parametrilor operaționali  $G(p)$  vor fi dați de relațiile (4.1.8), pentru  $\xi = d, a, d', a'$ .

$$G_{d\xi} = (-1)^{S'} \frac{p^B}{L_{dhh}} \frac{1}{\sum_{\alpha=0}^{\xi} C_{D\alpha} p^\alpha} \left[ (\overline{\sigma}_{1\xi d}) (\overline{\eta}_1)^a + \frac{\omega^2}{p^2} (\overline{\sigma}_{1\xi d}) (\overline{\eta}_1)^{a'} \right] \cdot (\overline{\eta}_1)^b - \frac{\omega^2}{p^2} \frac{\overline{\eta}_{bb}}{T_b} (\overline{\sigma}_{1\xi d})^d (\overline{\eta}_{1bq}) ] = (-1)^{S'} \frac{p}{L_{dhh}} \cdot \frac{\sum_{\alpha=0}^{\xi} C_{d\alpha} p^\alpha}{\sum_{\alpha=0}^{\xi} C_{D\alpha} p^\alpha} \quad (4.1.8)$$

în care:  $C_{d\xi\alpha} = C_{d\xi\alpha 0} + \omega^2 C_{d\xi\alpha 2}$

$$G_{q\xi} = (-1)^{S'} \frac{\omega}{p} \frac{p^b}{L_{dhh}} \frac{1}{\sum_{\alpha=0}^{\xi} C_{D\alpha} p^\alpha} \left[ (\overline{\sigma}_{1\xi q}) (\overline{\eta}_1)^a - (\overline{\sigma}_{1\xi q}) (\overline{\eta}_{1bc}) + \frac{\omega^2}{p^2} (\overline{\sigma}_{1\xi q})^a (\overline{\eta}_1)^{a,b} \right] = (-1)^{S'} \frac{p}{L_{dhh}} \cdot \frac{\sum_{\alpha=0}^{\xi} C_{q\alpha} p^\alpha}{\sum_{\alpha=0}^{\xi} C_{D\alpha} p^\alpha} \quad (4.1.8.1)$$

în care:  $C_{q\xi\alpha} = C_{q\xi\alpha 0} + \omega^2 C_{q\xi\alpha 2}$

$$G_{a\xi} = (-1)^{S''} \frac{p^B}{L_{dhh}} \frac{1}{\sum_{\alpha=0}^{\xi} C_{D\alpha} p^\alpha} \left[ (\overline{\sigma}_{1\xi a}) (\overline{\eta}_1)^a + \frac{\omega^2}{p^2} (\overline{\sigma}_{1\xi a})^d (\overline{\eta}_1)^{a'} \right. \\ \left. + \frac{\omega^2}{p^2} (\overline{\sigma}_{1\xi a})^b (\overline{\eta}_{1qb}) \right] = (-1)^{S''} \frac{p}{L_{dhh}} \cdot \frac{\sum_{\alpha=0}^{\xi} C_{a\alpha} p^\alpha}{\sum_{\alpha=0}^{\xi} C_{D\alpha} p^\alpha} \quad (4.1.8.3)$$

in case:  $C_{a\beta\alpha} = C_{a\beta\alpha 0} + \omega^2 C_{a\beta\alpha 2}$

$$G_{b\beta} = (-1)^{\beta+1} \frac{p^{\beta}}{p} \frac{1}{L_{d\beta h}} \frac{1}{\sum_{\alpha=0}^{\beta-1} C_{D\alpha} p^{\alpha}} \left\{ (\sigma_{1\beta a}) (\eta_1)^{\beta} - \frac{\eta_{aa}}{pT_a} (\sigma_{1\beta d}) (\eta_{1\beta b}) + \right. \\ \left. + \frac{\omega^2}{p^2} (\sigma_{1\beta a})^d (\eta_1)^{\beta, b} \right\} = (-1)^{\beta+1} \frac{p}{L_{d\beta h}} \frac{\sum_{\alpha=0}^{\beta-1} C_{b\beta\alpha} p^{\alpha}}{\sum_{\alpha=0}^{\beta-1} C_{D\alpha} p^{\alpha}} \quad (4.1.8.4)$$

in case:  $C_{b\beta\alpha} = C_{b\beta\alpha 0} + \omega^2 C_{b\beta\alpha 2}$

$$G_{d\beta} = (-1)^{\beta} \frac{p^{\beta}}{L_{d\beta h}} \frac{1}{\sum_{\alpha=0}^{\beta-1} C_{D\alpha} p^{\alpha}} \left\{ (\sigma_{1\beta d}) (\eta_1)^{\beta} + \frac{\omega^2}{p^2} (\sigma_{1\beta a})^d (\eta_1)^{\beta, a} + \right. \\ \left. + (\sigma_{1\beta d})^d (\eta_1)^{\beta, b} + \frac{\sigma_{aa}}{pT_a} \frac{\eta_{aa}}{pT_a} (\sigma_{1\beta d}) (\eta_{1\beta b}) + \frac{\sigma_{dd}}{pT_d} \frac{\eta_{bb}}{pT_b} \cdot \right. \\ \left. \cdot (\sigma_{da}) (\eta_{1\beta a}) \right\} + \frac{\omega^4}{p^4} (\sigma_{1\beta d})^{d, a} (\eta_1)^{\beta, b} = \\ = (-1)^{\beta} \frac{p}{L_{d\beta h}} \frac{\sum_{\alpha=0}^{\beta-1} C_{d\beta\alpha} p^{\alpha}}{\sum_{\alpha=0}^{\beta-1} C_{D\alpha} p^{\alpha}} \quad (4.1.8.5)$$

in case:  $C_{d\beta\alpha} = C_{d\beta\alpha 0} + \omega^2 C_{d\beta\alpha 2} + \omega^4 C_{d\beta\alpha 4}$  si

$$(\sigma_{ad, ad}) = 0; (\sigma_{da, da}) = 0$$

$$G_{a\beta} = (-1)^{\beta} \frac{p^{\beta}}{L_{d\beta h}} \frac{1}{\sum_{\alpha=0}^{\beta-1} C_{D\alpha} p^{\alpha}} \left\{ (\sigma_{1\beta a}) (\eta_1)^{\beta} + \frac{\omega^2}{p^2} [(\sigma_{1\beta a})^d (\eta_1)^{\beta, a} + \right. \\ \left. + (\sigma_{1\beta a})^a (\eta_1)^{\beta, b} + \frac{\sigma_{aa}}{pT_a} \frac{\eta_{aa}}{pT_a} (\sigma_{1\beta d}) (\eta_{1\beta b}) + \frac{\sigma_{dd}}{pT_d} \frac{\eta_{bb}}{pT_b} \cdot \right. \\ \left. \cdot (\sigma_{1\beta a})^d (\eta_{1\beta a}) \right\} + \frac{\omega^4}{p^4} (\sigma_{1\beta a})^{d, a} (\eta_1)^{\beta, b} = (-1)^{\beta} \frac{p}{L_{d\beta h}} \cdot \\ \cdot \frac{\sum_{\alpha=0}^{\beta-1} C_{a\beta\alpha} p^{\alpha}}{\sum_{\alpha=0}^{\beta-1} C_{D\alpha} p^{\alpha}} \quad (4.1.8.6)$$

in case:  $C_{a\beta\alpha} = C_{a\beta\alpha 0} + \omega^2 C_{a\beta\alpha 2} + \omega^4 C_{a\beta\alpha 4}$  si  $(\sigma_{da, da}) = 0; (\sigma_{ad, da}) = 0$

$$G_{q\beta} = (-1)^{\beta+1} \frac{p^{\beta}}{L_{d\beta h}} \frac{1}{p} \frac{1}{\sum_{\alpha=0}^{\beta-1} C_{D\alpha} p^{\alpha}} \left\{ \frac{\eta_{aa}}{pT_a} (\sigma_{1\beta d}) (\eta_{1\beta a}) + \right. \\ \left. + \frac{\eta_{bb}}{pT_b} (\sigma_{1\beta a}) (\eta_{1\beta b}) + \frac{\omega^2}{p^2} \left[ \frac{\eta_{aa}}{pT_a} (\sigma_{1\beta d})^a (\eta_{1\beta a})^b + \right. \right.$$

$$+ \frac{q_{bb}}{pT_b} (\sigma_{1q_a})^d (\eta_{1qb^*})^q \} = (-1)^{s'} \frac{\omega p}{L_{ddh}} \frac{\sum_{\alpha=0}^5 C_{q^*} \rho_{\alpha}^p}{\sum_{\alpha=0}^5 C_{D\alpha} \rho^{\alpha}} \quad (4.1.6.7)$$

in care:  $C_{q^*} \rho_{\alpha} = C_{q^*} \rho_{\alpha 0} + \omega^2 C_{q^*} \rho_{\alpha 2}$

$$G_{b^*}^{\xi} = (-1)^{s'} \frac{\omega}{p} \frac{p^8}{L_{ddh}} \frac{1}{\sum_{\alpha=0}^5 C_{D\alpha} \rho^{\alpha}} \left\{ \frac{q_{qa}}{pT_a} (\sigma_{1q_a}) (\eta_{1qb^*})^+ + \frac{q_{bb}}{pT_b} (\eta_{1bb^*})^+ + \frac{\omega^2}{p^2} \left[ \frac{q_{qa}}{pT_a} (\sigma_{1q_a})^a (\eta_{1qb^*})^b + \frac{q_{bb}}{pT_b} (\sigma_{1q_a})^d (\eta_{1bb^*})^q \right] \right\} =$$

$$= (-1)^{s'} \frac{\omega p}{L_{ddh}} \frac{\sum_{\alpha=0}^5 C_{b^*} \rho_{\alpha}^p}{\sum_{\alpha=0}^5 C_{D\alpha} \rho^{\alpha}} \quad (4.1.8.8)$$

in care:  $C_{b^*} \rho_{\alpha} = C_{b^*} \rho_{\alpha 0} + \omega^2 C_{b^*} \rho_{\alpha 2}$

In relatiile (4.1.8)  $\xi = 0$  pentru  $\xi = d, d^*$  și  $s' = 1$  pentru  $\xi = a, a^*$ .

Analog se scriu expresiile parametrilor  $G_{k\xi}$  pentru  $\xi = a, b, q^*, b^*$ . Avind parametri  $G_{k\xi}$ , se obțin și impedanțele  $Y_{k\xi}$  cu relația (4.1.7).

Calculul expresiilor coeficienților A, B și U

Sistemul de ecuații ce trebuie rezolvat este (4.2.1):

$$\begin{aligned}
 & -\sigma'_{dd} \tilde{i}_d + \frac{\omega}{kp} \eta_{aa} \tilde{i}_q + \frac{\psi_a}{L_{ddh}} = 0 \cdot \tilde{u}_d + \sigma'_{ad} \tilde{i}_a + \sigma'_{d \cdot d} \tilde{i}_d + \sigma'_{a \cdot d} \tilde{i}_a + \\
 & + 0 \cdot \tilde{u}_q - \frac{\omega}{kp} [\eta_{bq} \tilde{i}_b + \eta_{q \cdot a} \tilde{i}_q + \eta_{b \cdot q} \tilde{i}_b] \\
 & - \frac{\omega k}{p} \sigma'_{da} \tilde{i}_d - \eta'_{qa} \tilde{i}_q + \frac{\psi_q}{L_{qah}} = 0 \cdot \tilde{u}_d + \frac{\omega k}{p} [\sigma'_{ad} \tilde{i}_a + \sigma'_{d \cdot d} \tilde{i}_d + \sigma'_{a \cdot d} \tilde{i}_a] + \\
 & + \frac{\tilde{u}_q}{p L_{qah}} + \eta_{bq} \tilde{i}_b + \eta_{q \cdot a} \tilde{i}_q + \eta_{b \cdot q} \tilde{i}_b \\
 & - \sigma'_{da} \tilde{i}_d + \frac{\omega}{kp} \eta_{qb} \tilde{i}_q + \frac{\psi_a}{L_{ddh}} = 0 \cdot \tilde{u}_d + \sigma'_{ad} \tilde{i}_a + \sigma'_{d \cdot a} \tilde{i}_d + \sigma'_{a \cdot a} \tilde{i}_a - \\
 & - 0 \cdot \tilde{u}_q - \frac{\omega}{kp} [\eta_{bb} \tilde{i}_b + \eta_{q \cdot b} \tilde{i}_q + \eta_{b \cdot b} \tilde{i}_b] \\
 & - \frac{\omega k}{p} \sigma'_{da} \tilde{i}_d - \eta_{qb} \tilde{i}_q + \frac{\psi_b}{L_{qah}} = 0 \cdot \tilde{u}_d + \frac{\omega k}{p} [\sigma'_{ad} \tilde{i}_a + \sigma'_{d \cdot a} \tilde{i}_d + \\
 & + \sigma'_{a \cdot a} \tilde{i}_a] + 0 \cdot \tilde{u}_q + \eta'_{bb} \tilde{i}_b + \eta_{q \cdot b} \tilde{i}_q + \eta_{b \cdot b} \tilde{i}_b \tag{4.2.1} \\
 & - \frac{\tilde{u}_d}{p L_{ddh}} - \sigma'_{dd} \tilde{i}_d + \frac{\psi_a}{L_{ddh}} = 0 \cdot \tilde{u}_d + \sigma'_{ad} \tilde{i}_a + \sigma'_{d \cdot d} \tilde{i}_d + \sigma'_{a \cdot d} \tilde{i}_a \\
 & - \frac{\tilde{u}_q}{p L_{qah}} - \eta'_{qa} \tilde{i}_q + \frac{\psi_q}{L_{qah}} = 0 \cdot \tilde{u}_d + \eta_{bq} \tilde{i}_b + \eta_{q \cdot a} \tilde{i}_q + \eta_{b \cdot q} \tilde{i}_b \\
 & - \sigma'_{da} \tilde{i}_d + \frac{\psi_a}{L_{ddh}} = 0 \cdot \tilde{u}_d + \psi_{ad} \tilde{i}_a + \sigma'_{d \cdot a} \tilde{i}_d + \sigma'_{a \cdot a} \tilde{i}_a \\
 & - \eta_{qb} \tilde{i}_q + \frac{\psi_b}{L_{qah}} = 0 \cdot \tilde{u}_d + \eta_{bb} \tilde{i}_b + \eta_{q \cdot b} \tilde{i}_q + \eta_{b \cdot b} \tilde{i}_b
 \end{aligned}$$

Rezolvăm sistemul de ecuații algebric în raport cu marginile curenților și tensiunilor, în care valorile inițiale ale fluxurilor joacă rolul unor constante. Notăm cu  $\Delta$  determinantul principal al sistemului.

$$\Delta = (4.2.2) \begin{vmatrix} \frac{1}{pL_{dgh}} & \sigma_{ad} & \sigma_{d \cdot d} & \sigma_{a \cdot d} & 0 & -\frac{\omega}{kp} \eta_{b \cdot q} & -\frac{\omega}{kp} \eta_{q \cdot q} & -\frac{\omega}{kp} \eta_{b \cdot q} \\ 0 & \frac{\omega k}{p} \sigma_{ad} & \frac{\omega k}{p} \sigma_{d \cdot d} & \frac{\omega k}{p} \sigma_{a \cdot d} & \frac{1}{pL_{qgh}} & \eta_{bq} & \eta_{q \cdot q} & \eta_{b \cdot q} \\ 0 & \sigma'_{aa} & \sigma'_{d \cdot a} & \sigma'_{a \cdot a} & 0 & -\frac{\omega}{kp} \eta_{bb} & -\frac{\omega}{kp} \eta_{q \cdot b} & -\frac{\omega}{kp} \eta_{b \cdot b} \\ 0 & \frac{\omega k}{p} \sigma_{aa} & \frac{\omega k}{p} \sigma_{d \cdot a} & \frac{\omega k}{p} \sigma_{a \cdot a} & 0 & \eta'_{bb} & \eta_{q \cdot b} & \eta_{b \cdot b} \\ 0 & \sigma_{ad \cdot} & \sigma'_{d \cdot d \cdot} & \sigma_{a \cdot d \cdot} & 0 & 0 & 0 & 0 \\ 0 & 0 & 0 & 0 & 0 & \eta_{bq \cdot} & \eta'_{q \cdot q \cdot} & \eta_{b \cdot q \cdot} \\ 0 & \sigma_{aa \cdot} & \sigma_{d \cdot a \cdot} & \sigma'_{a \cdot a \cdot} & 0 & 0 & 0 & 0 \\ 0 & 0 & 0 & 0 & 0 & \eta_{bb \cdot} & \eta_{q \cdot b \cdot} & \eta'_{b \cdot b \cdot} \end{vmatrix}$$

Dezvoltind determinantul după coloana 1, obținem un nou determinant, dar de ordinul 7, pe care îl dezvoltăm din nou după coloana 4, obținind astfel un determinant de ordinul șase.

$$\Delta' = (4.2.3) -\frac{1}{p^2 L_{dgh} L_{qgh}} \begin{vmatrix} \sigma'_{aa} & \sigma_{d \cdot d} & \sigma_{a \cdot a} & -\frac{\omega}{kp} \eta_{bb} & -\frac{\omega}{kp} \eta_{q \cdot b} & -\frac{\omega}{kp} \eta_{b \cdot b} \\ \frac{\omega k}{p} \sigma_{aa} & \frac{\omega k}{p} \sigma_{d \cdot a} & \frac{\omega k}{p} \sigma_{a \cdot a} & \eta'_{bb} & \eta_{q \cdot b} & \eta_{b \cdot b} \\ \sigma_{ad \cdot} & \sigma'_{d \cdot d \cdot} & \sigma_{a \cdot d \cdot} & 0 & 0 & 0 \\ 0 & 0 & 0 & \eta_{bq \cdot} & \eta'_{q \cdot q \cdot} & \eta_{b \cdot q \cdot} \\ \sigma_{aa \cdot} & \sigma_{d \cdot a \cdot} & \sigma'_{a \cdot a \cdot} & 0 & 0 & 0 \\ 0 & 0 & 0 & \eta_{bb \cdot} & \eta_{q \cdot b \cdot} & \eta'_{b \cdot b \cdot} \end{vmatrix}$$

(4.2.3)

În acest determinant, schimbăm între ele liniile 4 și 5, ceea ce conduce la schimbarea semnului acestuia.

Dezvoltind determinantul în produse de câte doi determinanți



de ordinul 3, obținem:

$$\Delta^1 = \frac{1}{p^2 L_{ddh} L_{qqh}} \left[ -\frac{\omega^2}{p^2} \begin{vmatrix} \sigma_{aa} & \sigma_{d'a} & \sigma_{a'a} \\ \sigma_{ad} & \sigma_{d'd} & \sigma_{a'd} \\ \sigma_{aa} & \sigma_{d'a} & \sigma_{a'a} \end{vmatrix} \begin{vmatrix} \eta_{bb} & \eta_{q'b} & \eta_{b'b} \\ \eta_{bq} & \eta_{q'q} & \eta_{b'q} \\ \eta_{bb} & \eta_{q'b} & \eta_{b'b} \end{vmatrix} - \begin{vmatrix} \sigma'_{aa} & \sigma'_{d'a} & \sigma'_{a'a} \\ \sigma'_{ad} & \sigma'_{d'd} & \sigma'_{a'd} \\ \sigma'_{aa} & \sigma'_{d'a} & \sigma'_{a'a} \end{vmatrix} \begin{vmatrix} \eta'_{bb} & \eta'_{q'b} & \eta'_{b'b} \\ \eta'_{bq} & \eta'_{q'q} & \eta'_{b'q} \\ \eta'_{bb} & \eta'_{q'b} & \eta'_{b'b} \end{vmatrix} \right] \quad (4.2.4)$$

Notăm:

$$(\sigma_{l_{dd}}) = \begin{vmatrix} \sigma_{aa} & \sigma_{d'a} & \sigma_{a'a} \\ \sigma_{ad} & \sigma_{d'd} & \sigma_{a'd} \\ \sigma_{aa} & \sigma_{d'a} & \sigma_{a'a} \end{vmatrix}; \quad (\sigma_{l_{dd}})^a = \begin{vmatrix} \sigma_{aa} & \sigma_{d'a} & \sigma_{a'a} \\ \sigma_{ad} & \sigma_{d'd} & \sigma_{a'd} \\ \sigma_{aa} & \sigma_{d'a} & \sigma_{a'a} \end{vmatrix} \quad (4.2.5)$$

$$(\eta_{l_{qq}}) = \begin{vmatrix} \eta_{bb} & \eta_{q'b} & \eta_{b'b} \\ \eta_{bq} & \eta_{q'q} & \eta_{b'q} \\ \eta_{bb} & \eta_{q'b} & \eta_{b'b} \end{vmatrix}; \quad (\eta_{l_{qq}})^b = \begin{vmatrix} \eta_{bb} & \eta_{q'b} & \eta_{b'b} \\ \eta_{bq} & \eta_{q'q} & \eta_{b'q} \\ \eta_{bb} & \eta_{q'b} & \eta_{b'b} \end{vmatrix}$$

în care  $(\sigma_{l_{dd}})$  și  $(\eta_{l_{qq}})$  sînt polinoame de ordinul 3 în  $p$ , înmulțite cu  $1/p^2$ , iar  $(\sigma_{l_{dd}})^a$ ,  $(\eta_{l_{qq}})^b$  sînt polinoame de ordinul 2 în raport cu  $p$ , înmulțite cu  $1/p^2$ , deci:

$$\Delta^1 = -\frac{1}{p^2 L_{ddh} L_{qqh}} \left[ (\sigma_{l_{dd}}) (\eta_{l_{qq}}) + \frac{\omega^2}{p^2} (\sigma_{l_{dd}})^a (\eta_{l_{qq}})^b \right] \quad (4.2.6)$$

adică determinantul  $\Delta^1$  va fi de forma unui raport între un polinom de gradul 6 în  $p$  și  $p^8$ .

$$\Delta^1 = -\frac{1}{p^8 L_{ddh} L_{qqh}} \sum_{\alpha=0}^6 K_{D\alpha} p^\alpha \quad (4.2.7)$$

În relația (4.2.7) coeficienții lui  $p$  sînt constante obținute din dezvoltarea determinantilor dați de (4.2.5) și înmulțirea

lor.

Notăm:

$$(\sigma_{dd}) = \begin{pmatrix} \sigma_{aa} & \sigma_{d^*a} & \sigma_{a^*a} \\ \sigma_{ad^*} & \sigma_{d^*d^*} & \sigma_{a^*d^*} \\ \sigma_{aa^*} & \sigma_{d^*a^*} & \sigma_{a^*a^*} \end{pmatrix}; (\bar{\sigma}_{dd})^d = \frac{\sigma_{aa}}{T_a} \begin{pmatrix} \sigma_{d^*d^*} & \sigma_{a^*d^*} \\ \sigma_{d^*a^*} & \sigma_{a^*a^*} \end{pmatrix} +$$

$$+ \frac{\sigma_{d^*d^*}}{T_{d^*}} \begin{pmatrix} \sigma_{aa} & \sigma_{a^*a} \\ \sigma_{aa^*} & \sigma_{a^*a^*} \end{pmatrix} + \frac{\sigma_{a^*a^*}}{T_{a^*}} \begin{pmatrix} \sigma_{aa} & \sigma_{d^*a} \\ \sigma_{ad^*} & \sigma_{d^*d^*} \end{pmatrix} \quad (4.2.8)$$

$(\sigma_{dd})^{d,a}$  nu conține primul termen al lui  $(\sigma_{dd})^d$

$(\sigma_{dd})^{d,d^*}$  nu îl conține pe al doilea și este mai departe

$(\bar{\eta}\sigma)^{d,a} = \frac{\sigma_{aa}}{T_a} + \frac{\sigma_{d^*d^*}}{T_{d^*}} + \frac{\sigma_{a^*a^*}}{T_{a^*}}$ ;  $(\bar{\eta}\sigma)^{d,b}$  nu conține primul produs, etc.

Analog folosim notații pentru  $(\eta)$  în care indicii din simbolurile lui  $(\sigma)$  se permută din  $d, a, d^*, a^*$  în  $q, b, q^*, b^*$ .

Coefficienții  $K_D$  sînt de forma:

$$K_{D\alpha} = K_{D1}\alpha_0 + \omega^2 K_{D2}\alpha_2 \text{ pentru } \alpha = 0, 1, \dots, 6 \text{ și } \alpha \neq 2 \quad (4.2.9)$$

pot calcula, fiind constante reale. De remarcă este faptul că  $K_{D2} = 0$  pentru  $\alpha = 6, 5$  și  $K_{D2} \neq 0$  pentru  $\alpha = 4, 3, 2, 1$ .

Cu aceste precizări, putem scrie expresiile coeficienților

$K_D$  (4.2.10):

$$\begin{aligned} K_{D60} &= (\sigma_{dd})(\eta_{qq}); K_{D62} = 0 \\ K_{D50} &= (\sigma_{dd})(\eta_{qq})^q + (\sigma_{dd})^d(\eta_{qq}); K_{D52} = 0 \\ K_{D40} &= (\sigma_{dd})(\bar{\eta}\eta)^q(T_b + T_q + T_{b^*}) + (\sigma_{dd})^d(\eta_{qq})^q + (\bar{\eta}\sigma)^d \\ & (T_a + T_{d^*} + T_{a^*})(\eta_{qq}) \quad (4.2.10) \\ K_{D42} &= (\sigma_{dd})(\eta_{qq}) \\ K_{D30} &= (\sigma_{dd})(\bar{\eta}\eta)^q + (\sigma_{dd})^d(\bar{\eta}\eta)^q(T_b + T_q + T_{b^*}) + (\bar{\eta}\sigma)^d(T_a + T_{d^*} + T_{a^*}). \end{aligned}$$

$$\begin{aligned} & \cdot (\eta_{qq})^q + (\bar{\eta})^d (\eta_{qq}) \\ K_{D32} &= (\sigma_{dd}) (\eta_{qq})^q + (\sigma_{dd})^d (\eta_{qq}) \\ K_{D20} &= (\sigma_{dd})^d (\bar{\eta})^q + (\bar{\eta})^d (T_a + T_d + T_a) (\eta) (\eta) (T_b + T_q + T_b) + (\bar{\eta})^d (\eta_{qq})^q \\ K_{D22} &= (\sigma_{dd}) (\bar{\eta})^q + (\eta_{bb}) (\sigma_{dd})^d (\eta_{qq})^q + (\bar{\eta})^d (\sigma_{da}) (\eta_{qq}) \\ K_{D10} &= (\bar{\eta})^d (T_a + T_d + T_a) (\eta) (\eta) (\eta) (\eta) (T_b + T_q + T_b) \\ K_{D12} &= (\sigma_{dd})^d (\bar{\eta})^q + (\eta_{bb}) (\bar{\eta})^d (\eta_{qq})^q \\ K_{D00} &= (\bar{\eta})^d (\eta) \\ K_{D02} &= (\bar{\eta})^d (\sigma_{aa}) (\eta) (\eta) (\eta_{bb}) \end{aligned}$$

Pentru determinarea imaginii curentului  $i_{\xi}$ , ca raport între determinantul  $\Delta_{\xi}$  și  $\Delta^1$  este necesară dezvoltarea lui  $\Delta_{\xi}$  după coloana  $\xi$ , care conține termenii liberi.

Notăm:  $(\sigma_{dd}^{\alpha\beta})$  minorul termenului  $\sigma_{\alpha\beta}$  din determinantul  $(\sigma_{dd})$  cu  $(\sigma_{ldd}^{\alpha\beta})$  minorul termenului  $\sigma_{\alpha\beta}$  din determinantul  $(\sigma_{ldd})$  și analog pentru minorii termenului  $\eta_{\alpha\beta}$  din determinantul  $(\eta_{qq})$  și  $(\eta_{lqq})$ . De asemenea notăm  $(\sigma_{ldd}^{\alpha\beta})$  minorul termenului  $\sigma_{\alpha\beta}$  din determinantul  $(\sigma_{ldd})$ , dar care conține pe  $\sigma_{\alpha\alpha}$  și nu pe  $\sigma_{\alpha\alpha}'$ , respectiv analog pentru notațiile cu  $\eta$ . Cu aceste precizări, coeficienții  $Q_{\alpha\xi}$  din expresia imaginii curentului  $i_{\xi}$  vor fi dați de relațiile (4.2.1) pentru  $\xi = a, d, a'$ . În relațiile (4.2.11) avem  $\xi^1 = 1$  pentru  $\xi = d'$  și  $\xi^1 = 2$  pentru  $\xi = a, a'$ .

$$\begin{aligned} Q_{a\xi} &= (-1)^{\xi^1} \frac{1}{L_{ddh}} \cdot \frac{p^6}{\sum_{\alpha=0}^6 K_{D\alpha} p^{\alpha}} (\sigma_{ldd}^{\xi a'}) (\eta_{lqq}) \\ Q_{d\xi} &= (-1)^{\xi^1+1} \frac{1}{L_{ddh}} \cdot \frac{p^6}{\sum_{\alpha=0}^6 K_{D\alpha} p^{\alpha}} \left[ (\sigma_{ldd}^{\xi d'}) (\eta_{lqq}) + \frac{\omega^2}{p^2} (\sigma_{ldd}^{\xi d'}) (\eta_{lqq})^b \right] \\ Q_{a'\xi} &= (-1)^{\xi^1} \frac{1}{L_{ddh}} \cdot \frac{p^6}{\sum_{\alpha=0}^6 K_{D\alpha} p^{\alpha}} \left[ (\sigma_{ldd}^{\xi a'}) (\eta_{lqq}) + \frac{\omega^2}{p^2} (\sigma_{ldd}^{\xi a'}) (\eta_{lqq})^b \right] \\ Q_{b\xi} &= (-1)^{\xi^1} \frac{\omega}{p} \frac{1}{L_{ddh}} \cdot \frac{p^6}{\sum_{\alpha=0}^6 K_{D\alpha} p^{\alpha}} (\sigma_{ldd}^{\xi a}) (\eta_{lqq})^b \end{aligned} \quad (4.2.11)$$

$$Q_a \cdot \xi = (-1)^{\xi'} \frac{\omega}{p} \frac{1}{L_{ddh}} \frac{c p^6}{\sum_{\alpha=0}^c K_{D\alpha} p^\alpha} (\sigma_{1dd})^{\xi a} (\eta_{1qq})^{\xi' b'}$$

$$Q_b \cdot \xi = (-1)^{\xi'} \frac{\omega}{p} \frac{1}{L_{ddh}} \frac{c p^6}{\sum_{\alpha=0}^c K_{D\alpha} p^\alpha} (\sigma_{1dd})^{\xi a} (\eta_{1qq})^{\xi' b'}$$

Analog, vom obține și coeficienții  $Q_{q\xi}$  pentru  $\xi = b, a', b'$  și respectiv  $\xi' = 0$  pentru  $\xi = a'$  și  $\xi' = 1$  pentru  $\xi = b, b'$ .

$$Q_a \xi = (-1)^{\xi'} \frac{\omega}{p} \frac{1}{L_{qqh}} \frac{c p^6}{\sum_{\alpha=0}^c K_{D\alpha} p^\alpha} (\sigma_{1dd})^{\xi a} (\eta_{1qq})^{\xi' b'}$$

$$Q_d \cdot \xi = (-1)^{\xi'} \frac{\omega}{p} \frac{1}{L_{qqh}} \frac{c p^6}{\sum_{\alpha=0}^c K_{D\alpha} p^\alpha} \frac{\sigma_{na}}{nT_n} (\sigma_{1dd})^{\xi a} (\eta_{1qq})^{\xi' b'}$$

$$Q_a \cdot \xi' = (-1)^{\xi''} \frac{1}{L_{qqh}} \frac{c p^6}{\sum_{\alpha=0}^c K_{D\alpha} p^\alpha} \frac{\sigma_{na}}{nT_n} (\sigma_{1dd})^{\xi a'} (\eta_{1qq})^{\xi' b'}$$

$$Q_b \xi = (-1)^{\xi''} \frac{1}{L_{qqh}} \frac{c p^6}{\sum_{\alpha=0}^c K_{D\alpha} p^\alpha} (\sigma_{1dd})^{\xi a'} (\eta_{1qq})^{\xi' b'}$$

(4.2.12)

$$Q_a \cdot \xi = (-1)^{\xi'} \frac{1}{L_{qqh}} \frac{c p^6}{\sum_{\alpha=0}^c K_{D\alpha} p^\alpha} \left[ (\sigma_{1dd})^{\xi a'} (\eta_{1qq})^{\xi' b'} + \frac{\omega^2}{p^2} (\sigma_{1dd})^{\xi a} (\eta_{1qq})^{\xi' b} \right]$$

$$Q_b \cdot \xi = (-1)^{\xi''} \frac{1}{L_{qqh}} \frac{c p^6}{\sum_{\alpha=0}^c K_{D\alpha} p^\alpha} \left[ (\sigma_{1dd})^{\xi a'} (\eta_{1qq})^{\xi' b'} + \frac{\omega^2}{p^2} (\sigma_{1dd})^{\xi a} (\eta_{1qq})^{\xi' b} \right]$$

Coeficienții  $A_d \xi$  și  $A_q \xi$  se obțin cu ajutorul coeficienților  $Q_{\xi\xi}$ , astfel:

$$A_d \xi = L_{ddh} \left[ \sigma_{da} (Q_a \xi + \frac{\omega}{p} Q_d \xi) + (\sigma_{ad} \cdot Q_d \xi + \sigma_{da} \cdot Q_a \xi) \right] \quad (4.2.13)$$

$$A_q = L_{qqh} \left[ \eta_{qb} (-\frac{\omega}{p} Q_a \xi + Q_b \xi) + (\eta_{qa} \cdot Q_a \xi + \eta_{qb} \cdot Q_b \xi) \right]$$

iar coeficienții imaginilor tensiunilor sînt dați de:

$$B_{d'\xi} = - \frac{Q_{d'\xi}}{p} \quad (4.2.14)$$

$$B_{q'\xi} = - \frac{Q_{q'\xi}}{p}$$

Coeficienții  $Q_{d'\xi}$  sînt fracții polinomiale în raport cu  $p$ , avînd numitorul un polinom de gradul 6 în  $p$ , iar numărătorul un polinom cu gradul maxim 5 și minimum 2, înmulțit cu  $p$  și respectiv  $p^2$ , astfel încît în final, numărătorul are maxim gradul 6 și minim gradul 4 în raport cu  $p$ .

Avînd determinați coeficienții  $A_{d\xi}$ ,  $A_{q\xi}$ ,  $B_{d'\xi}$ ,  $B_{q'\xi}$  și  $Q_{d'\xi}$  se pot calcula parametrii operaționali ai mașinii.



Algoritmul metodei Runge-Kutta-Gill la deconectare

La deconectare sistemul de ecuații diferențiale ce trebuie rezolvat este dat de (6.18), respectiv este:

$$\begin{aligned}
 \frac{d\psi_d}{dt} &= b_2(\psi_d - \psi_a) & \frac{d\psi_q}{dt} &= b_2(\psi_q - \psi_a) \\
 \frac{d\psi_a}{dt} &= b_4\psi_d + b_7\psi_a + b_6Z\psi_b & \frac{d\psi_b}{dt} &= b_4\psi_q + b_7\psi_b - b_6Z\psi_a \\
 \frac{dZ}{dt} &= b_8 + b_9Z + \frac{b_{10}}{Z} + b_{14}(\psi_d\psi_b - \psi_q\psi_a) + b_{15}Z(\psi_a^2 + \psi_b^2) \\
 \frac{dy}{dt} &= Z
 \end{aligned} \tag{6.1.1}$$

în care coeficienții  $b_j$  ( $j=2,4,6,7,8,9,10,14,15$ ), dați de relațiile (6.12), sînt funcție de parametrii mașinii, numărul perechilor de poli și, de momentul de inerție al sistemului turbină eoliană-multiplicator al vitezei de rotație, precum și de parametrii turbinei eoliene, de asemenea s-a adăugat următoarele notații:  $Z = \frac{d\psi}{dt}$ ,  $y = \psi$ . Rezolvarea sistemului de ecuații (6.1.1) se face numeric cu metoda Runge-Kutta-Gill.

funcțiile necunoscute sînt valorile fluxurilor magnetice  $\psi_d$ ,  $\psi_q$ ,  $\psi_a$ ,  $\psi_b$ , respectiv valorile lui  $Z$  și  $y$  la momentul  $t$ . Valorile inițiale ale acestor mărimi se notează cu indicele "0", iar valorile corespunzătoare unui moment de timp  $t_k$ , se notează cu indicele "k".

Metoda Runge-Kutta-Gill calculează valorile numerice ale funcțiilor necunoscute corespunzătoare momentului  $t_{k+1} = t_k + h$ ,  $h$  fiind pasul metodei, respectiv  $\psi_{d,k+1}$ ,  $\psi_{q,k+1}$ ,  $\psi_{a,k+1}$ ,  $\psi_{b,k+1}$ ,  $Z_{k+1}$ ,  $y_{k+1}$  cu ajutorul valorilor numerice ale funcțiilor corespunzătoare momentului  $t_k$  - respectiv  $\psi_{d,k}$ ,  $\psi_{q,k}$ ,  $\psi_{a,k}$ ,  $\psi_{b,k}$ ,  $Z_k$ ,  $y_k$  - ale unor funcții de aproximare  $[K_i]$  ( $i=1,2,3,4$ ) și ale funcțiilor  $f(x, [X])$  date de relațiile (6.1.1).

Elementele matricii primei funcții de aproximare  $[K_1]$  pe intervalul  $t_k, t_{k+1}$  sînt date de relațiile (6.1.2):

$$k_{1d} = hb_2(\psi_{d \cdot k} - \psi_{ak})$$

$$k_{1q} = hb_2(\psi_{q \cdot k} - \psi_{bk})$$

$$k_{1a} = h(b_4 \psi_{d \cdot k} + b_7 \psi_{ak} + b_6 z_k \psi_{bk})$$

(6.1.2).

$$k_{1b} = h(b_4 \psi_{q \cdot k} + b_7 \psi_{bk} + b_6 z_k \psi_{ak})$$

$$k_{1z} = h \left[ b_8 + b_9 z_k + \frac{b_{10}}{z_k} + b_{14} (\psi_{d \cdot k} \psi_{bk} - \psi_{q \cdot k} \psi_{ak}) + b_{15} (\psi_{ak}^2 + \psi_{bk}^2) z_k \right]$$

$$k_{1y} = h z_k$$

(f.f.) Cunoscind funcțiile de aproximare  $[K_1]$ , se determină valorile numerice aproximative ale funcțiilor  $f(x, [X])$  la momentul  $t_{1k} = t_k + \alpha_0 h$ , valori care sînt elementele matricii  $[X_{1k}]$ , respectiv:

$$\psi_{d \cdot 1k} = \psi_{d \cdot k} + \beta_0 k_{1d}$$

$$\psi_{q \cdot 1k} = \psi_{q \cdot k} + \beta_0 k_{1q}$$

$$\psi_{a \cdot 1k} = \psi_{a \cdot k} + \beta_0 k_{1a}$$

$$\psi_{b \cdot 1k} = \psi_{b \cdot k} + \beta_0 k_{1b}$$

(6.1.3)

$$y_{1k} = y_k + \beta_0 k_{1y}$$

Cu ajutorul valorilor numerice corespunzătoare momentului  $t_{1k} = t_k + \alpha_0 h$ ,  $[X_{1k}]$  se determină funcțiile de aproximare  $[K_2]$  respectiv:

$$k_{2d} = hb_2(\psi_{d \cdot 1k} - \psi_{a \cdot 1k})$$

$$k_{2q} = hb_2(\psi_{q \cdot 1k} - \psi_{b \cdot 1k})$$

$$k_{2a} = h(b_4 \psi_{d \cdot 1k} + b_7 \psi_{a \cdot 1k} + b_6 z_{1k} \psi_{b \cdot 1k})$$

(6.1.4)

$$k_{2b} = h(b_4 \psi_{q \cdot 1k} + b_7 \psi_{b \cdot 1k} + b_6 z_{1k} \psi_{a \cdot 1k})$$

$$k_{2z} = h \left[ b_8 + b_9 z_{1k} + \frac{b_{10}}{z_{1k}} + b_{14} (\psi_{d \cdot 1k} \psi_{b \cdot 1k} - \psi_{q \cdot 1k} \psi_{a \cdot 1k}) + b_{15} (\psi_{a \cdot 1k}^2 + \psi_{b \cdot 1k}^2) z_{1k} \right]$$

$$k_{2y} = h z_{1k}$$

Valorile numerice ale funcțiilor  $f(x, [X])$  corespunzătoare momentului  $t_{2k} = t_k + \alpha_1 h$ , notate cu indicele "2k", și elemente



ale matricei  $[X_{2k}]$  sînt:

$$\psi_{d \cdot 2k} = \psi_{d \cdot k} + \beta_{1k1d} + \delta_{1k2d}$$

$$\psi_{q \cdot 2k} = \psi_{q \cdot k} + \beta_{1k1q} + \delta_{1k2q}$$

$$\psi_{a2k} = \psi_{a2k} + \beta_{1k1a} + \delta_{1k2a} \quad (6.1.5)$$

$$\psi_{b2k} = \psi_{b2k} + \beta_{1k1b} + \delta_{1k2b}$$

$$z_{2k} = z_{2k} + \beta_{1k1z} + \delta_{1k2z}$$

$$y_{2k} = y_{2k} + \beta_{1k1y} + \delta_{1k2y}$$

(Se) pot determina apoi, funcțiile de aproximare  $[K_3]$ , respectiv:

$$k_{3d} = hb_2(\psi_{d \cdot 2k} - \psi_{a2k})$$

$$k_{3d} = hb_2(\psi_{q \cdot 2k} - \psi_{b2k})$$

$$k_{3a} = h(b_4 \psi_{d \cdot 2k} + b_7 \psi_{a2k} + b_6 z_{2k} + \psi_{b2k})$$

(6.1.6)

$$k_{3b} = h(b_4 \psi_{q \cdot 2k} + b_7 \psi_{b2k} - b_6 z_{2k} + \psi_{a2k})$$

$$k_{3z} = h \left[ b_8 + b_9 z_{2k} + \frac{b_{10}}{z_{2k}} + b_{14} (\psi_{d \cdot 2k} \psi_{b2k} - \psi_{q \cdot 2k} \psi_{a2k}) + \right.$$

$$\left. (b_{15} (\psi_{a2k}^2 + \psi_{b2k}^2) z_{2k}) \right]$$

$$k_{3y} = h z_{2k}$$

Valorile numerice ale funcțiilor  $f(x, [X])$  la momentul  $t_{3k} = t_k + \alpha_2 h$ , notate cu indicele "3k" și elemente ale matricei  $[X_{3k}]$  sînt:

$$\psi_{d \cdot 3k} = \psi_{d \cdot k} + \beta_{2k1d} + \delta_{2k2d} + \delta_{2k3d}$$

$$\psi_{q \cdot 3k} = \psi_{q \cdot k} + \beta_{2k1q} + \delta_{2k2q} + \delta_{2k3q}$$

$$\begin{aligned} \psi_{a3k} &= \psi_{ak} + \beta_2 k_{1a} + \gamma_2 k_{2a} + \delta_2 k_{3a} \\ \psi_{b3k} &= \psi_{bk} + \beta_2 k_{1b} + \gamma_2 k_{2b} + \delta_2 k_{3b} \end{aligned} \quad (6.1.7)$$

$$z_{3k} = z_k + \beta_2 k_{1z} + \gamma_2 k_{2z} + \delta_2 k_{3z}$$

$$y_{3k} = y_k + \beta_2 k_{1y} + \gamma_2 k_{2y} + \delta_2 k_{3y}$$

Cu ajutorul valorilor numerice ale lui  $\{X_{3k}\}$  se pot calcula funcțiile de aproximare  $\{K_4\}$ :

$$k_{4d} = hb_2(\psi_{d \cdot 3k} - \psi_{a3k}) \quad ; \quad k_{4q} = hb_2(\psi_{q \cdot 3k} - \psi_{b3k})$$

$$k_{4a} = h(b_4 \psi_{d \cdot 3k} + b_7 \psi_{a3k} + b_6 z_{3k} \psi_{b3k})$$

$$- \text{si } k_{4b} = h(b_4 \psi_{q \cdot 3k} + b_7 \psi_{b3k} + b_6 z_{3k} \psi_{a3k}) \quad (6.1.8)$$

$$\begin{aligned} k_{4z} &= h \left[ b_8 + b_9 z_{3k} + \frac{b_{10}}{z_{3k}} + b_{14} (\psi_{d \cdot 3k} \psi_{b3k} - \psi_{q \cdot 3k} \psi_{a3k}) \right. \\ &\quad \left. + b_{15} (\psi_{a3k}^2 + \psi_{b3k}^2) z_{3k} \right] \end{aligned}$$

Fiind determinate funcțiile de aproximare  $\{K_i\}$ ,  $i=1,2,3,4$  se determină valorile numerice aproximative ale funcțiilor necunoscute, elemente ale matricei  $\{X_{k+1}\}$ , la capătul intervalului  $h = [t_{k+1}, t_k]$ :

$$\psi_{d \cdot k+1} = \psi_{d \cdot k} + d_1 k_{1d} + d_2 k_{2d} + d_3 k_{3d} + d_4 k_{4d}$$

$$\psi_{q \cdot k+1} = \psi_{q \cdot k} + d_1 k_{1q} + d_2 k_{2q} + d_3 k_{3q} + d_4 k_{4q}$$

$$\psi_{ak+1} = \psi_{ak} + d_1 k_{1a} + d_2 k_{2a} + d_3 k_{3a} + d_4 k_{4a} \quad (6.1.9)$$

$$\psi_{bk+1} = \psi_{bk} + d_1 k_{1b} + d_2 k_{2b} + d_3 k_{3b} + d_4 k_{4b}$$

$$z_{k+1} = z_k + d_1 k_{1z} + d_2 k_{2z} + d_3 k_{3z} + d_4 k_{4z}$$

$$y_{k+1} = y_k + d_1 k_{1y} + d_2 k_{2y} + d_3 k_{3y} + d_4 k_{4y}$$

Valorile date de relațiile (6.1.9) devin valori inițiale pentru un nou interval de timp  $h$ .

Algoritmul metodei Runge-Kutta-Gill la reînconectare

La reînconectare, sistemul de ecuații diferențiale ce trebuie rezolvat este dat de relațiile (6.13), respectiv este:

$$\frac{d\psi_d}{dt} = b_1(\psi_d - \psi_a) + \psi_q Z - U_1 \sqrt{2} \sin(\omega_1 t - y)$$

$$\frac{d\psi_q}{dt} = b_1(\psi_q - \psi_b) - \psi_d Z + U_1 \sqrt{2} \cos(\omega_1 t - y)$$

$$\frac{d\psi_{d^*}}{dt} = b_2(\psi_{d^*} - \psi_a)$$

$$\frac{d\psi_{q^*}}{dt} = b_2(\psi_{q^*} - \psi_b)$$

(6.2.1)

$$\frac{d\psi_a}{dt} = b_3 \psi_d + b_4 \psi_{d^*} + b_5 \psi_a + b_6 Z \psi_b$$

$$\frac{d\psi_b}{dt} = b_3 \psi_q + b_4 \psi_{q^*} + b_5 \psi_b - b_6 Z \psi_a$$

$$\frac{dZ}{dt} = b_8 + b_9 Z + \frac{b_{10}}{Z} + b_{14}(\psi_d \psi_b - \psi_q \psi_a) + b_{16}(\psi_d \psi_b - \psi_q \psi_a) + b_{15} Z (\psi_a^2 + \psi_b^2)$$

$$\frac{dy}{dt} = Z$$

În care coeficienții  $b_i$  ( $i=1,2,3,4,5,6,8,9,10,14,15,16$ ), dați de relațiile (6.12) sînt funcție de rezistențele și inductivitățile mașinii electrice, numărul perechilor de poli, de momentul de inerție al sistemului turbină eoliană-multiplicator al vitezei de rotație, precum și de parametrii geometrici ai turbinei eoliene și de viteza vîntului. De asemenea s-au folosit următoarele notații:  $Z = \frac{d\theta}{dt}$ ,  $y = \theta$ .

Rezolvarea sistemului de ecuații (6.2.1) se face cu metoda numerică Runge-Kutta-Gill.

funcțiile necunoscute sînt valorile fluxurilor magnetice  $\psi_d, \psi_q, \psi_{d^*}, \psi_{q^*}, \psi_a, \psi_b$ , respectiv valorile lui  $Z$  și  $y$ , toate

funcții de timp. Valorile inițiale ale acestor mărimi se notează cu indicele "0", cele corespunzătoare unui moment de timp  $t_0$  se notează cu indicele "k", iar cele corespunzătoare momentului de timp  $t_{k+1}$  se notează cu indicele "k+1".

Metoda Runge-Kutta-Gill calculează valorile numerice ale funcțiilor necunoscute corespunzătoare momentului  $t_{k+1} = t_k + h$ ,  $h$  fiind pasul metodei, respectiv  $\psi_{dk+1}, \psi_{qk+1}, \psi_{dk+1}, \psi_{qk+1}, \psi_{ak+1}, \psi_{bk+1}, z_{k+1}, y_{k+1}$  cu ajutorul valorilor numerice ale funcțiilor corespunzătoare momentului  $t_k$  - respectiv  $\psi_{dk}, \psi_{qk}, \psi_{dk}, \psi_{qk}, z_k, y_k$  - ale unor funcții de aproximare  $K_i, i=1,2,3,4$  și ale funcțiilor  $f(x, [X])$ , date de relațiile (6.2.1):

Elementele matricii primei funcții de aproximare  $[K_1]$  pe intervalul  $[t_k, t_{k+1}]$  sînt:

$$k_{1d} = h [b_1(\psi_{dk} - \psi_{ak}) + \psi_{qk} z_k - U_1 \sqrt{2} \sin(\omega_1 t_k - y_k)]$$

$$k_{1q} = h [b_1(\psi_{qk} - \psi_{bk}) - \psi_{dk} z_k + U_1 \sqrt{2} \cos(\omega_1 t_k - y_k)]$$

$$k_{1d} = h b_2 (\psi_{dk} - \psi_{ak})$$

$$k_{1q} = h b_2 (\psi_{qk} - \psi_{bk}) \quad (6.2.2)$$

$$k_{1a} = h (b_3 \psi_{dk} + b_4 \psi_{dk} + b_5 \psi_{ak} + b_6 z_k \psi_{bk})$$

$$k_{1b} = h (b_3 \psi_{qk} + b_4 \psi_{qk} + b_5 \psi_{bk} - b_6 z_k \psi_{ak})$$

$$k_{1z} = h (b_8 + b_9 z_k + \frac{b_{10}}{z_k} + b_{14} (\psi_{dk} \psi_{bk} - \psi_{qk} \psi_{ak}) + b_{16} (\psi_{dk} \psi_{bk} - \psi_{qk} \psi_{ak}) + b_{15} z_k (\psi_{ak} + \psi_{ak}))$$

Cu ajutorul primei funcții de aproximare  $[K_1]$  se determină

valorile numerice aproximative ale funcțiilor date de relațiile (6.2.1) la momentul  $t_{ik} = t_k + \alpha_0 h$ , elemente ale matricii  $[X_{1k}]$ :

soțengam soțifiraușt aia def  
soțsoț , y iș s int aia soț soț vitoș

$$\begin{aligned}
 \psi_{dk} &= \psi_{dk} + \beta_0^{k1d} & \psi_{q1k} &= \psi_{qk} + \beta_0^{k1q} \\
 \psi_{d \cdot 1k} &= \psi_{d \cdot k} + \beta_0^{k1d \cdot} & \psi_{q \cdot 1k} &= \psi_{q \cdot k} + \beta_0^{k1q \cdot} \\
 \psi_{alk} &= \psi_{ak} + \beta_0^{k1a} & \psi_{blk} &= \psi_{bk} + \beta_0^{k1b} \\
 z_{1k} &= z_k + \beta_0^{k1z} & y_{1k} &= y_k + \beta_0^{k1y}
 \end{aligned} \tag{6.2.3}$$

Se determină valorile celei de a doua funcții de aproximare  $[K_2]$ , respectiv:

$$\begin{aligned}
 k_{2d} &= h \left[ b_1 (\psi_{dk} - \psi_{alk}) + \psi_{q1k} z_{1k} - U_1 \sqrt{z_1} \sin(\omega_1 t_{1k} - y_{1k}) \right] \\
 k_{2q} &= h \left[ b_1 (\psi_{q1k} - \psi_{blk}) - \psi_{dk} z_{1k} + U_1 \sqrt{z_1} \cos(\omega_1 t_{1k} - y_{1k}) \right] \\
 k_{2a} &= h \left[ b_2 (\psi_{d \cdot 1k} - \psi_{a1k}) \right] \\
 k_{2q \cdot} &= h \left[ b_2 (\psi_{q \cdot 1k} - \psi_{b1k}) \right] \\
 k_{2a} &= h (b_3 \psi_{dk} + b_4 \psi_{d \cdot 1k} + b_5 \psi_{alk} + b_6 z_{1k} \psi_{blk}) \\
 k_{2b} &= h (b_3 \psi_{q1k} + b_4 \psi_{q \cdot 1k} + b_5 \psi_{blk} - b_6 z_{1k} \psi_{alk}) \\
 k_{2z} &= h \left[ b_8 + b_9 z_{1k} + \frac{b_{10}}{z_{1k}} + b_{14} (\psi_{d \cdot 1k} \psi_{blk} - \psi_{q \cdot 1k} \psi_{alk}) + b_{16} (\psi_{dk} \psi_{blk} - \right. \\
 &\quad \left. - \psi_{q1k} \psi_{alk}) + b_{15} z_{1k} (\psi_{alk}^2 + \psi_{blk}^2) \right] \\
 k_{2y} &= h z_{1k}
 \end{aligned} \tag{6.2.4}$$

Pentru a determina funcțiile de aproximare  $K_3$  este necesară calcularea valorilor funcțiilor date de (6.2.1) la momentul  $t_{2k} = t_k + \alpha h$ , valori care sînt elemente ale matricei  $[X_{2k}]$ :

$$\begin{aligned}
 \psi_{d2k} &= \psi_{dk} + \beta_1^{k1d} + \beta_1^{k2d} \\
 \psi_{q2k} &= \psi_{qk} + \beta_1^{k1q} + \beta_1^{k2q}
 \end{aligned}$$

$$\psi_{d \cdot 2k} = \psi_{d \cdot k} + \beta_1^{k1d} + \delta_1^{k2d}$$

$$\psi_{q \cdot 2k} = \psi_{q \cdot k} + \beta_1^{k1q} + \delta_1^{k2q}$$

$$\psi_{a2k} = \psi_{ak} + \beta_1^{k1a} + \delta_1^{k2a} \quad (6.2.5)$$

$$\psi_{b2k} = \psi_{bk} + \beta_1^{k1b} + \delta_1^{k2b}$$

$$z_{2k} = z_k + \beta_1^{k1z} + \delta_1^{k2z}$$

$$y_{2k} = y_k + \beta_1^{k1y} + \delta_1^{k2y}$$

Se determină valorile pentru funcția de aproximare  $K_3$  respectiv:

$$k_{3d} = h [b_1(\psi_{d2k} - \psi_{a2k}) + \psi_{q2k} z_{2k} - U_1 \sqrt{2} \sin(\omega_1 t_{2k} - y_{2k})]$$

$$k_{3q} = h [b_1(\psi_{q2k} - \psi_{b2k}) - \psi_{d2k} z_{2k} + U_1 \sqrt{2} \cos(\omega_1 t_{2k} - y_{2k})]$$

$$k_{3d} = nb_2(\psi_{d \cdot 2k} - \psi_{a2k})$$

$$k_{3q} = nb_2(\psi_{q \cdot 2k} - \psi_{b2k})$$

(6.2.6)

$$k_{3a} = h(b_3 \psi_{d2k} + b_4 \psi_{d \cdot 2k} + b_5 \psi_{a2k} + b_6 z_{2k}) \psi_{b2k}$$

$$k_{3b} = h(b_3 \psi_{q2k} + b_4 \psi_{q \cdot 2k} + b_5 \psi_{b2k} + b_6 z_{2k}) \psi_{a2k}$$

$$k_{3z} = h \left[ b_8 + b_9 z_{2k} + \frac{b_{10}}{z_{2k}} + b_{14} (\psi_{d \cdot 2k} \psi_{b1k} - \psi_{q \cdot 2k} \psi_{a1k}) + b_{16} (\psi_{d2k} \psi_{b2k} - \psi_{q2k} \psi_{a2k}) + b_{15} z_{2k} (\psi_{a2k}^2 + \psi_{b2k}^2) \right]$$

$$k_{3y} = h z_{2k} \psi_{a2k} \psi_{b2k} \quad (6.2.7)$$

: Valorile funcțiilor date de (6.2.1), la momentul  $t_{3k} = t_k + \alpha_2 h$ , valori care sînt elemente ale matricii  $[X_{3k}]$  se determină cu relațiile:

$$x \psi_{d3k} = \psi_{dk} + \beta_2^{k1d} + \delta_2^{k2d} + \int_2^{k3d}$$

$$\psi_{q3k} = \psi_{qk} + \beta_2^{k1q} + \delta_2^{k2q} + \int_2^{k3q}$$

$$\psi_{d^*3k} = \psi_{d^*k} + \beta_2^{k_{1d^*}} + \gamma_2^{k_{2d^*}} + \delta_2^{k_{3d^*}}$$

$$\psi_{q^*3k} = \psi_{q^*k} + \beta_2^{k_{1q^*}} + \gamma_2^{k_{2q^*}} + \delta_2^{k_{3q^*}}$$

$$\psi_{a3k} = \psi_{ak} + \beta_2^{k_{1a}} + \gamma_2^{k_{2a}} + \delta_2^{k_{3a}}$$

(6.2.7)

$$\psi_{b3k} = \psi_{bk} + \beta_2^{k_{1b}} + \gamma_2^{k_{2b}} + \delta_2^{k_{3b}}$$

$$z_{3k} = z_k + \beta_2^{k_{1z}} + \gamma_2^{k_{2z}} + \delta_2^{k_{3z}}$$

$$y_{3k} = y_k + \beta_2^{k_{1y}} + \gamma_2^{k_{2y}} + \delta_2^{k_{2y}}$$

Cu ajutorul valorilor date de relațiile (6.2.7) se determină funcția de aproximare  $[K_4]$  :

$$k_{4d} = h \left[ b_1 (\psi_{d3k} - \psi_{a3k}) + \psi_{q3k} z_{3k} - u_1 \sqrt{2} \sin(\omega_1 t_{3k} - y_{3k}) \right]$$

$$k_{4q} = h \left[ b_1 (\psi_{q3k} - \psi_{b3k}) - \psi_{d3k} z_{3k} + u_1 \sqrt{2} \cos(\omega_1 t_{3k} - y_{3k}) \right]$$

$$k_{4d^*} = h b_2 (\psi_{d^*3k} - \psi_{a3k})$$

$$k_{4q^*} = h b_2 (\psi_{q^*3k} - \psi_{b3k})$$

$$k_{4a} = h (b_3 \psi_{d3k} + b_4 \psi_{d^*3k} + b_5 \psi_{a3k} + b_6 z_{3k} \psi_{a3k})$$

(6.2.8)

$$k_{4b} = h (b_3 \psi_{q3k} + b_4 \psi_{q^*3k} + b_5 \psi_{b3k} - b_6 z_{3k} \psi_{b3k})$$

$$k_{4z} = h \left[ b_8 \beta b_9 z_{3k} + \frac{b_{10}}{z_{3k}} + b_{14} (\psi_{d^*3k} \psi_{b3k} - \psi_{q^*3k} \psi_{a3k}) + b_{16} (\psi_{d3k} \psi_{b3k} - \psi_{q3k} \psi_{a3k}) + b_{15} z_{3k} (\psi_{a3k}^2 + \psi_{b3k}^2) \right]$$

$$k_{4y} = h z_{3k}$$

Prin urmare se pot calcula valorile numerice ale funcțiilor necunoscute corespunzătoare momentului  $t_{k+1} = t_k + h$ , elemente ale matricei  $[\bar{X}_{k+1}]$

$$Y_{dk+1} = Y_{dk} + d_1 k_{1d} + d_2 k_{2d} + d_3 k_{3d} + d_4 k_{4d}$$

$$Y_{qk+1} = Y_{qk} + d_1 k_{1q} + d_2 k_{2q} + d_3 k_{3q} + d_4 k_{4q}$$

$$Y_{d \cdot k+1} = Y_{d \cdot k} + d_1 k_{1d \cdot} + d_2 k_{2d \cdot} + d_3 k_{3d \cdot} + d_4 k_{4d \cdot}$$

$$Y_{q \cdot k+1} = Y_{q \cdot k} + d_1 k_{1q \cdot} + d_2 k_{2q \cdot} + d_3 k_{3q \cdot} + d_4 k_{4q \cdot}$$

$$Y_{ak+1} = Y_{ak} + d_1 k_{1a} + d_2 k_{2a} + d_3 k_{3a} + d_4 k_{4a}$$

(6.2.9)

$$Y_{bk+1} = Y_{bk} + d_1 k_{1b} + d_2 k_{2b} + d_3 k_{3b} + d_4 k_{4b}$$

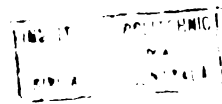
$$Z_{k+1} = Z_k + d_1 k_{1z} + d_2 k_{2z} + d_3 k_{3z} + d_4 k_{4z}$$

$$Y_{k+1} = Y_k + d_1 k_{1y} + d_2 k_{2y} + d_3 k_{3y} + d_4 k_{4y}$$



Notatii utilizate in programele de calcul

- $a_1, a_2, a_3$  - coeficienti pentru calculul coeficientului de moment al turbinei eoliene, corespunzatori coeficientilor  $A_1, B_1, C_1$  (re.2.3).
- $a_2, a_3, a_4$  - coeficienti ai variabilei  $t$  din algoritmul Runge-Kutta Gill, introdusi in program, corespunzatori coeficientilor  $\alpha_1, \alpha_2, \alpha_3, \alpha_4$ .
- $a_5, a_6, a_7, a_8$  - coeficienti pentru calculul factorilor de refulare ai curentului  $\beta, R, \beta, x_i$  (rel.2.11), corespunzatori respectiv coeficientilor  $a, b, c, d$ .
- $B_{J1}, B_{J2}$  - inducția magnetică în jugul statoric, respectiv rotoric.
- $BZ1H, BZ2H$  - lățimea rădăcinii dintelui statoric, respectiv rotoric.
- $BZ1e, BZ2e$  - lățimea capătului dintelui statoric, respectiv rotoric.
- $b_j (j=1, \dots, 16)$  - coeficienți ce intervin în sistemul de ecuații diferențiale al mașinii (necunoscutele se consideră fluxuri le, respectiv rel.6.13, 6.14)
- $C_{21}, C_{31}, C_{32}, C_{41}, C_{42}, C_{43}$  - coeficienți ai algoritmului Runge-Kutta-Gill corespunzatori coeficienților  $\beta_0, \beta_1, \beta_2, \beta_3, \beta_4$  din expresiile funcțiilor de aproximare.
- $d_1, d_2, d_3, d_4$  - ponderile cu care se calculează valoarea de la sfârșitul intervalului în metoda Runge-Kutta-Gill
- $D$  - diametrul interior al mașinii
- $d$  - întrefierul mașinii, corespunzător lui  $\delta$
- $ETA$  - randamentul multiplicatorului vitezei de rotație, corespunzător lui  $\eta$
- $f$  - frecvența ( $f=50$  Hz)
- $GJ1, GJ2$  - masa jugului statoric, respectiv rotoric
- $GZ1, GZ2$  - masa dinților statorici, respectiv rotorici
- $h_{max}$  - valoarea maximă a pasului din metoda Runge-Kutta-Gill pentru care a-n admis dublarea acestuia
- $h_1$  - valoarea inițială a pasului folosit în algoritm
- $h_2$  - valoarea maximă a pasului de iterare
- $i_\lambda (\lambda=1, 2, 3, 4, 5, 6)$  - curenții ce parcurg înfășurările principale, respectiv auxiliare ale statorului mașinii reale
- $i_\lambda' (\lambda=1, 2, 3, 4, 5, 6)$  - mărimi similare lui  $i_\lambda$  dar pentru rotor
- $i_\lambda (\lambda=d, q, a, b, d', q', a', b')$  - curenții ce parcurg înfășurările principale, respectiv auxiliare ale mașinii echivalente



I. V. AXEAMA

- $i_{1pi}, i_{2pi}, i_{3pi}$  - valorile inițiale ale curenților rotorici (numărate la reînchidere) din mașina reală.
- $j_{max}$  - numărul maxim de iterații al programului
- $j_{pas}$  - numărul de iterații efectuat cu același pas.
- $j_{1max}$  - numărul maxim de iterații efectuat cu același pas
- $j_{2max}$  - numărul maxim de iterații, cu același pas, după care se efectuează calculul mărimilor din mașina echivalentă și se face tipărirea.
- $J_{min}$  - momentul de inerție al ansamblului turbină eoliană-multiplicator al vitezei de rotație, considerat la arborele generatorului electric  $J_{min} = 520 \text{ kg}\cdot\text{m}^2$ ,  $J_{max} = 2315 \text{ kg}\cdot\text{m}^2$ .
- $J_G$  - momentul de inerție al generatorului electric  $J_G = GD^2/4$
- $k_b$  - factor de bobinaj
- $k_c$  - factorul lui Carter
- $L_p$  - inductivitatea principală, mărime corespunzătoare lui  $L_{1lh}$ .
- $L_{dq}$  - inductivitatea de dispersie a înfășurării principale statorice din mașina echivalentă corespunzătoare lui  $L_{d\sigma}$ ,  $L_{q\sigma}$  ( $L_{dq} = L_{d\sigma} = L_{q\sigma}$ ).
- $L_{dq}$  - mărime similară lui  $L_{dq}$ , dar corespunzătoare înfășurării principale rotorice ( $L_{dq} = L_{d\sigma} = L_{q\sigma}$ )
- $L_{1lh}$  - inductivitatea principală a unei faze din mașina reală.
- $L_A$  - lungimea ideală a mașinii
- $M$  - moment (cuplu) electromagnetic
- $M_{mec}$  - moment (cuplu) mecanic, obținut la arborele generatorului electric (rel.6.10)
- $n_k$  - viteza de rotație corespunzătoare momentului de timp  $t_k$
- $n_{el}$  - viteza de rotație de la care are loc deconectarea mărime corespunzătoare lui  $n_k$
- $n_{cr}$  - numărul de creștături rotorice

- $P_{I}, P_{II}$  - numărul perechilor de poli ai generatorului electric  
 - faze se deconectează, respectiv se reconectează.
- $p_{F1}, p_{F2}$  - pierderile principale din jugul statoric, respectiv  
 - din jugul rotorului
- $P_{mec}$  - pierderile mecanice din mașina electrică
- $P_n$  - puterea nominală a mașinii electrice
- $R_{ab}, R_{abp}$  - rezistențele înfășurărilor auxiliare statorice, res-  
 pectiv rotorice raportate la stator ale mașinii echi-  
 valente  $R_{ab}=R_a=R_b$ ,  $R_{abp}=R_{a^*}=R_{b^*}$ .
- $R_{dq}, R_{dqp}$  - mărimi similare lui  $R_{ab}, R_{abp}$ , dar referite la înfășu-  
 rările principale ale mașinii echivalente  $R_{dq}=R_d=R_q$ ;  
 $R_{dqp}=R_{d^*}=R_{q^*}$ .
- $R_o$  - densitatea aerului, mărime corespunzătoare lui  $\rho$  (rel.  
 2.1)
- $RT$  - raportul de multiplicare al multiplicatorului vitezei  
 de rotație
- $R_Z$  - raza paletelor turbinei eoliene
- $R_1$  - rezistența electrică a fazei statorice din mașina  
 reală
- $R_{1m}$  - rezistența electrică a circuitului de magnetizare -  
 din mașina reală
- $R_{2p}$  - rezistența electrică a fazei rotorice reduse la stator,  
 din mașina reală
- $SB$  - aria baleiată de paletele turbinei eoliene
- $s_n$  - alunecarea nominală a mașinii
- $t_k, t_{k+1}$  - timpul la momentul  $k$ , respectiv  $k+1$
- $TC1, TC2$  - pasul creștăturii statorice, respectiv rotorice
- $U_1$  - tensiunea de fază la bornele statorului
- $v$  - viteza vântului
- $w_1$  - numărul de spire al fazei statorice
- $w_m$  - energia magnetică din mașină
- $X_1, X_{2p}$  - reactanța de dispersie a fazei statorice, respectiv ro-  
 torice raportată la stator, pentru mașina reală
- $X_{1m}$  - reactanța circuitului de magnetizare
- $y_o$  - valoarea inițială a lui  $\theta$ , deci  $y_o = \theta_o$
- $Z_k$  - valoarea lui  $\frac{d\theta}{dt}$  la momentul  $t_k$
- $\theta$  - unghiul electric al mașinii
- $\Psi$  - fluxul magnetic total:

- $\psi_{1pi}, \psi_{2pi}, \psi_{3pi}$  - fluxul magnetic rotoric corespunzător fazei 1, respectiv 2, 3 la momentul inițial (considerat la reconectare)
- $\psi_{dk}, \psi_{ak}$  - fluxul magnetic corespunzător înfășurării principale statorice din axa d, respectiv a b maginii echivalente la momentul  $t_k$ .
- $\psi_{dpk}, \psi_{qpk}$  - mărimi similare, dar pentru înfășurările principale rotorice
- $\psi_{apk}, \psi_{bpk}$  - mărimi similare, dar pentru înfășurările auxiliare rotorice.